



UNIVERZITET U NOVOM SADU  
FAKULTET TEHNIČKIH NAUKA U  
NOVOM SADU



---

Tijana Kosanić

# UTICAJ PROCESNIH PARAMETARA NA PIROLIZU DRVNE BIOMASE

DOKTORSKA DISERTACIJA

Novi Sad, 2015.



UNIVERZITET U NOVOM SADU  
FAKULTET TEHNIČKIH NAUKA U  
NOVOM SADU



# UTICAJ PROCESNIH PARAMETARA NA PIROLIZU DRVNE BIOMASE

DOKTORSKA DISERTACIJA

Mentor

Dr Slavko Đurić, vanredni profesor

Kandidat

MSc Tijana Kosanić

Novi Sad, 2015.



## KLJUČNA DOKUMENTACIJSKA INFORMACIJA

Redni broj, RBR:			
Identifikacioni broj, IBR:			
Tip dokumentacije, TD:	Monografska dokumentacija		
Tip zapisa, TZ:	Tekstualni štampani materijal		
Vrsta rada, VR:	Doktorski rad		
Autor, AU:	Tijana Kosanić, dipl. inž. zaštite životne sredine - master		
Mentor, MN:	Dr Slavko Đurić, vanredni profesor		
Naslov rada, NR:	Uticaj procesnih parametara na pirolizu drvne biomase		
Jezik publikacije, JP:	Srpski		
Jezik izvoda, JI:	Srpski/Engleski		
Zemlja publikovanja, ZP:	Srbija		
Uže geografsko područje, UGP:	Vojvodina		
Godina, GO:	2015.		
Izdavač, IZ:	Autorski reprint		
Mesto i adresa, MA:	Novi Sad, Trg Dositeja Obradovića 6		
Fizički opis rada, FO: (poglavlja/strana/citata/tabela/slika/grafika/priloga)	6/205/120/38/52/-/13		
Naučna oblast, NO:	Inženjerstvo zaštite životne sredine i zaštite na radu		
Naučna disciplina, ND:	Inženjerstvo zaštite životne sredine i zaštite na radu		
Predmetna odrednica/Ključne reči, PO:	Drvna biomasa, piroliza, prinos gasa, prinos čvrstog (koksnog) ostatka, prinos bio-ulja		
UDK			
Čuva se, ČU:	U biblioteci Fakulteta tehničkih nauka, Trg Dositeja Obradovića 6, Novi Sad		
Važna napomena, VN:			
Izvod, IZ:	U doktorskoj disertaciji vršeno je istraživanje mogućnosti konverzije energije različitih vrsta drvne biomase procesom pirolize. Ispitivanu drvnu biomasu predstavljale su strugotina hrasta, bukve, trešnje, oraha, jеле, lipe, kao i mešavina navedenih vrsta. Dobijeni eksperimentalni rezultati ukazuju da prinos gasa, tečne i čvrste faze tokom odvijanja procesa pirolize zavise od reakcionog vremena, temperature i brzine zagrevanja.		
Datum prihvatanja teme, DP:			
Datum odbrane, DO:			
Članovi komisije, KO:	Predsednik:	Dr Vojin Grković, redovni profesor	
	Član:	Dr Aleksandar Jovović, redovni profesor	
	Član:	Dr Branka Nakomčić - Smaragdakis, vanredni profesor	
	Član:	Dr Dragana Šrbac, docent	
	Član, mentor:	Dr Slavko Đurić, vanredni profesor	
		Potpis mentora	



## KEY WORDS DOCUMENTATION

Accession number, <b>ANO:</b>			
Identification number, <b>INO:</b>			
Document type, <b>DT:</b>	Monograph documentation		
Type of record, <b>TR:</b>	Textual printed material		
Contents code, <b>CC:</b>	Ph.D. thesis		
Author, <b>AU:</b>	Tijana Kosanić, Master of Environmental Engineering		
Mentor, <b>MN:</b>	Ph.D. Slavko Đurić, associate professor		
Title, <b>TI:</b>	Influence of process parameters on the pyrolysis of woody biomass		
Language of text, <b>LT:</b>	Serbian		
Language of abstract, <b>LA:</b>	Serbian/English		
Country of publication, <b>CP:</b>	Serbia		
Locality of publication, <b>LP:</b>	Vojvodina		
Publication year, <b>PY:</b>	2015		
Publisher, <b>PB:</b>	Author's reprint		
Publication place, <b>PP:</b>	Novi Sad, Trg Dositeja Obradovića 6		
Physical description, <b>PD:</b> (chapters/pages/ref./tables/pictures/graphs/appendixes)	6/205/120/38/52/-/13		
Scientific field, <b>SF:</b>	Environmental Engineering and Safety at Work		
Scientific discipline, <b>SD:</b>	Environmental Engineering and Safety at Work		
Subject/Key words, <b>S/KW:</b>	Woody biomass, pyrolysis, gas yield, char yield, bio-oil yield		
<b>UC</b>			
Holding data, <b>HD:</b>	The Library of Faculty of Technical Sciences, Novi Sad, Trg Dositeja Obradovića 6		
Note, <b>N:</b>			
Abstract, <b>AB:</b>	Doctoral dissertation investigates possibilities for energy conversion of different woody biomass types through pyrolysis process. Investigated woody biomass included oak, beech, cherry, walnut, fir, lime wood chips and their mixture. Obtained experimental results imply that gas, liquid and solid phase yields during pyrolysis process depend on reaction time, temperature and heating rate.		
Accepted by the Scientific Board on, <b>ASB:</b>			
Defended on, <b>DE:</b>			
Defended Board, <b>DB:</b>	President:	Ph.D. Vojin Grković, full professor	
	Member:	Ph. D. Aleksandar Jovović, full professor	
	Member:	Ph.D. Branka Nakomčić - Smaragdakis, associate professor	
	Member:	Ph.D. Dragana Šrbac, assistant professor	
	Member, Mentor:	Ph.D. Slavko Đurić, associate professor	
		Menthor's sign	

## SADRŽAJ

Popis slika	i
Popis tabela	iv
Popis oznaka i simbola	vi
1. Uvod	1
1.1. Pregled vladajućih stavova i shvatanja u literaturi u području istraživanja	2
1.2. Predmet i cilj istraživanja	5
1.3. Polazne hipoteze	6
1.4. Naučne metode istraživanja	6
1.5. Struktura rada	6
Literatura	8
2. Zakonska regulativa o obnovljivim izvorima energije	11
2.1. Zakonodavstvo Evropske unije	11
2.2. Zakonodavstvo Republike Srbije	13
2.3. Usklađivanje zakonske regulative Srbije sa EU	18
Literatura	20
3. Karakteristike drvne biomase kao goriva	21
3.1. Sastav drvne biomase kao goriva	21
3.2. Toplotna moć drvne biomase	28
3.3. Poređenje rezultata elementarne i tehničke analize sa literaturnim podacima	31
3.4. Kvalitativna ocena karakteristika drvne biomase	32
Literatura	36
4. Termohemijski procesi prerade biomase	37
4.1. Piroliza	38
4.1.1. Sastav produkata pirolize i njihova primena	38
4.1.2. Procesi pirolize	39
4.1.2.1. Brza piroliza	40
4.1.2.2. Spora piroliza	44
4.1.2.3. Fleš piroliza	45
4.1.5. Prednosti korišćenja procesa pirolize sa stanovišta životne sredine	45
4.2. Gasifikacija	46
4.2.1. Gasifikator sa pokretnim ili fiksnim slojem	48
4.2.1.1. Gasifikator sa uzlaznom strujom oksidanta	48
4.2.1.2. Gasifikator sa silaznom strujom oksidanta	49
4.2.1.3. Unakrsni gasifikator	50
4.2.2. Gasifikator sa fluidizovanim slojem	50

4.2.3. Istosmerni protočni gasifikator	51
4.3. Sagorevanje	52
4.3.1. Ložišta kotlova koja koriste drvnu biomasu kao gorivo	53
4.3.2. Stehiometrijske jednačine sagorevanja drvne biomase	58
4.3.2.1. Brojčani primer proračuna materijalnog bilansa procesa sagorevanja drvne biomase	61
4.3.3. Određivanje adijabatske temperature sagorevanja drvne biomase	64
4.3.3.1. Brojčani primer proračuna entalpije dimnih gasova	66
4.4. Emisija zagadjujućih materija iz procesa sagorevanja biomase	69
Literatura	71
 5. Eksperimentalno ispitivanje pirolize drvne biomase	73
5.1. Priprema uzorka	73
5.2. Postavka eksperimentalnog postrojenja i postupak merenja	75
5.3. Rezultati i diskusija eksperimentalnog ispitivanja	80
5.3.1. Uticaj temperature na proces pirolize	80
5.3.2. Promena mase uzorka drvne biomase u zavisnosti od reakcionog vremena	82
5.3.3. Uticaj brzine zagrevanja na prinos produkata pirolize	83
5.3.4. Uticaj vrste drvne biomase na prinos produkata pirolize	84
5.3.5. Poređenje prinosa produkata pirolize sa podacima iz literature	86
5.3.6. Sastav produkata pirolize	86
5.3.6.1. Sastav pirolitičkog gasa	86
5.3.6.2. Sastav bio-ulja	91
5.3.6.3. Sastav čvrstog ostatka	93
5.4. Obrada rezultata ispitivanja procesa pirolize mešavine drvne biomase	94
5.4.1. Karakteristike proizvedenog gasa	94
5.4.2. Materijalni bilans	96
5.4.3. Toplotni bilans	100
5.4.4. Stepen korisnosti pirolitičkog reaktora	102
5.5. Analiza greške pri eksperimentalnom ispitivanju	102
Literatura	112
 6. Zaključak	115
 Prilozi	118
Prilog 1. Mase i zapremine produkata sagorevanja mešavine drvne biomase u zavisnosti od koeficijenta viška vazduha	118
Prilog 2. Zapreminske udeli gasova u vlažnom dimnom gasu	119

Prilog 3. Srednje specifične toplove	120
Prilog 4. i-t dijagram procesa sagorevanja drvne biomase	121
Prilog 5. Piroliza strugotine hrasta (ispitivanje 1)	122
Prilog 6. Piroliza strugotine bukve (ispitivanje 2)	132
Prilog 7. Piroliza strugotine trešnje (ispitivanje 3)	142
Prilog 8. Piroliza strugotine oraha (ispitivanje 4)	152
Prilog 9. Piroliza strugotine jele (ispitivanje 5)	162
Prilog 10. Piroliza strugotine lipe (ispitivanje 6)	172
Prilog 11. Piroliza mešavine drvne biomase (ispitivanje 7)	182
Prilog 12. Piroliza mešavine drvne biomase pri brzini zagrevanja od 32 °C/min	192
Prilog 13. Piroliza mešavine drvne biomase pri brzini zagrevanja od 55 °C/min	194

## Popis slika

Naziv slike		Broj stranice
Slika 3.1.	D ksiloza	22
Slika 3.2.	Celuloza	22
Slika 3.3.	Lignin	23
Slika 3.4.	Grafi ki prikaz analize sastava drvne biomase	25
Slika 3.5.	Uticaj sadržaja vlage na toplotnu modrvne biomase	27
Slika 3.6.	Zavisnost donje toplotne mo i goriva od masenog udela vlage i pepela	30
Slika 3.7.	Zavisnost donje toplotne mo i drvne biomase i ugljenika, svedeno na sagorljivu masu	34
Slika 3.8.	Zavisnost donje toplotne mo i drvne biomase i isparljivih materija, svedeno na sagorljivu masu	34
Slika 3.9.	Zavisnost fiksnog ugljenika i koeficijenta M, svedeno na sagorljivu masu	35
Slika 3.10.	Zavisnost isparljivih materija i koeficijenta M, svedeno na sagorljivu masu	35
Slika 4.1.	Termohemijski procesi prerade biomase	37
Slika 4.2.	Postupak ablativne pirolize	41
Slika 4.3.	Proces brze pirolize u reaktoru sa barbotažnim fluidizovanim slojem	42
Slika 4.4.	Proces brze pirolize u reaktoru sa cirkulacionim fluidizovanim slojem	43
Slika 4.5.	Vakuum piroliti ki proces	44
Slika 4.6.	Procesna šema spore pirolize	45
Slika 4.7.	Tok reakcija pirolize i gasifikacije	47
Slika 4.8.	Šematski prikaz gasifikatora sa uzlaznom strujom oksidanta	49
Slika 4.9.	Šematski prikaz gasifikatora sa silaznom strujom oksidanta	49
Slika 4.10.	Šematski prikaz unakrsnog gasifikatora	50
Slika 4.11.	Šematski prikaz gasifikatora sa fluidizovanim slojem	51
Slika 4.12.	Istosmerni prototipni gasifikator	52
Slika 4.13.	Šema procesa potpunog i nepotpunog sagorevanja	52
Slika 4.14.	Podela ložišta za biomasu prema vrsti i brzini strujanja	54
Slika 4.15.	Ložišta sa sagorevanjem u sloju	55
Slika 4.16.	Šematski prikaz procesa u ložištu sa pokretnom rešetkom	56

Slika 4.17.	Šematski prikaz ložišta sa zakošenom rešetkom	56
Slika 4.18.	Ložišta se sagorevanjem u fluidizovanom sloju	57
Slika 4.19.	Ložište sa sistemom za uduvavanje biomase u komoru za sagorevanje	57
Slika 4.20.	Šematski prikaz materijalnog bilansa procesa sagorevanja drvne biomase	63
Slika 4.21.	Zapremina dimnih gasova u zavisnosti od koeficijenta viška vazduha	64
Slika 4.22.	Sastav vlažnih dimnih gasova u zavisnosti od koeficijenta viška vazduha	64
Slika 4.23.	Zavisnost entalpije vlažnih dimnih gasova od temperature sagorevanja drvne biomase i koeficijenta viška vazduha	68
Slika 5.1.	Mlin za drveni otpad i biomasu TFS-420, proizvođač Termis MKM doo, Knjaževac	73
Slika 5.2.	Metoda uzorkovanja pomoću etvrtina	74
Slika 5.3.	Fotografski prikaz uzoraka različitih vrsta drvne biomase korištenih za eksperimentalno ispitivanje procesa pirolize	74
Slika 5.4.	Šema eksperimentalnog postrojenja i mernih mesta za pirolizu drvne biomase	75
Slika 5.5.	Šema elektronefeline	77
Slika 5.6.	Šema reaktorske posude	78
Slika 5.7.	Fotografski izgled elektronefeline i reaktorske posude	78
Slika 5.8.	Fotografski izgled laboratorijskog postrojenja za pirolizu drvne biomase	79
Slika 5.9.	Promena masenog udela uzoraka drvne biomase u zavisnosti od temperature pirolize	81
Slika 5.10.	Kriva promene masenog udela uzorka drvne biomase u zavisnosti od reakcionog vremena	82
Slika 5.11.	Kriva gubitka mase uzorka mešavine drvne biomase u zavisnosti od reakcionog vremena i brzine zagrevanja uzorka	84
Slika 5.12.	Prikaz uzoraka drvne biomase pre procesa pirolize, vrstog ostatka i te ne faze	84
Slika 5.13.	Maseni udio produkata pirolize drvne biomase pri temperaturi 650 °C	85
Slika 5.14.	Promene zapreminske udeli CO <sub>2</sub> tokom procesa pirolize različitih vrsta drvne biomase u zavisnosti od reakcione temperature	87
Slika 5.15.	Promene zapreminske udeli CH <sub>4</sub> tokom procesa pirolize različitih vrsta drvne biomase u zavisnosti od reakcione temperature	88

Slika 5.16.	Pore enje zapreminske udela CO <sub>2</sub> i CH <sub>4</sub> u gasu dobijenom pirolizom hrasta sa podacima iz literature	90
Slika 5.17.	Pore enje zapreminske udela CO <sub>2</sub> , CH <sub>4</sub> i H <sub>2</sub> u gasu dobijenom pirolizom bukve sa podacima iz literature	90
Slika 5.18.	Šema bilansa materije u piroliti kom reaktoru	100
Slika 5.19.	Šema bilansa topline u piroliti kom reaktoru	102

## Popis tabela

Naziv tabele	Broj stranice
Tabela 3.1. Elementarni hemijski sastav nekih vrsta drveta	23
Tabela 3.2. Faktori konverzije za elementarne analize	25
Tabela 3.3. Maseni udeo mineralnih materija u absolutno suvom drvetu	27
Tabela 3.4. Vlažnost različitih vrsta drvne mase	28
Tabela 3.5. Gornje toplotne mase i količine i kore nekih domaćih vrsta drveća	28
Tabela 3.6. Toplotne mase i razlike tih vrsta goriva	30
Tabela 3.7. Gustina različitih vrsta drveta	30
Tabela 3.8. Elementarna i tehnička analiza različitih vrsta drvne biomase	31
Tabela 3.9. Elementarna i tehnička analiza mešavine drvne biomase korištenje pri eksperimentalnom ispitivanju	31
Tabela 3.10. Kvalitativne karakteristike drvne biomase	33
Tabela 4.1. Karakteristike bio-ulja dobijene pirolizom drvne biomase	39
Tabela 4.2. Zavisnost konstanti ravnoteže hemijskih reakcija od temperature	68
Tabela 4.3. Specifične emisije gasovitih zadataku ih materija nastalih prisagorevanju goriva	69
Tabela 4.4. Udeo teških metala i organskih jedinjenja u kompostu (suva osnova)	70
Tabela 5.1. Elementarna i tehnička analiza mešavine drvne biomase korištenje pri eksperimentalnom ispitivanju	75
Tabela 5.2. Opis mernih instrumenata korištenih tokom eksperimentalnog ispitivanja	76
Tabela 5.3. Promena masenog udela uzoraka drvne biomase u zavisnosti od temperature pirolize	81
Tabela 5.4. Elementarna i tehnička analiza različitih vrsta drvne biomase	85
Tabela 5.5. Porečajne prinose produkata pirolize drvne biomase sa podacima iz literature	86
Tabela 5.6. Porečajne sastava gasa dobijenog pirolizom drvne biomase sa podacima iz literature	89
Tabela 5.7. Karakteristike bio-ulja dobijenog pirolizom drvne biomase	92
Tabela 5.8. Osnovne karakteristike bio-ulja dobijenog pirolizom drvne biomase	93
Tabela 5.9. Osobine vrstog ostatka dobijenog pirolizom različitih vrsti drvne biomase	94

Tabela 5.10.	Greške merenja prinosa produkata strugotine hrasta na kraju procesa pirolize (ispitivanje 1)	104
Tabela 5.11.	Greške merenja zapreminske udela $\text{CO}_2$ , $\text{O}_2$ i $\text{CH}_4$ u gasu dobijenom pirolizom strugotine hrasta na $650\text{ }^{\circ}\text{C}$ (ispitivanje 1)	105
Tabela 5.12.	Greške merenja prinosa produkata strugotine bukve na kraju procesa pirolize (ispitivanje 2)	105
Tabela 5.13.	Greške merenja zapreminske udela $\text{CO}_2$ , $\text{O}_2$ i $\text{CH}_4$ u gasu dobijenom pirolizom strugotine bukve na $650\text{ }^{\circ}\text{C}$ (ispitivanje 2)	106
Tabela 5.14.	Greške merenja prinosa produkata strugotine trešnje na kraju procesa pirolize (ispitivanje 3)	106
Tabela 5.15.	Greške merenja zapreminske udela $\text{CO}_2$ , $\text{O}_2$ i $\text{CH}_4$ u gasu dobijenom pirolizom strugotine trešnje na $650\text{ }^{\circ}\text{C}$ (ispitivanje 3)	107
Tabela 5.16.	Greške merenja prinosa produkata strugotine oraha na kraju procesa pirolize (ispitivanje 4)	107
Tabela 5.17.	Greške merenja zapreminske udela $\text{CO}_2$ , $\text{O}_2$ i $\text{CH}_4$ u gasu dobijenom pirolizom strugotine oraha na $650\text{ }^{\circ}\text{C}$ (ispitivanje 4)	108
Tabela 5.18.	Greške merenja prinosa produkata strugotine jеле na kraju procesa pirolize (ispitivanje 5)	108
Tabela 5.19.	Greške merenja zapreminske udela $\text{CO}_2$ , $\text{O}_2$ i $\text{CH}_4$ u gasu dobijenom pirolizom strugotine jеле na $650\text{ }^{\circ}\text{C}$ (ispitivanje 5)	109
Tabela 5.20.	Greške merenja prinosa produkata strugotine lipe na kraju procesa pirolize (ispitivanje 6)	109
Tabela 5.21.	Greške merenja zapreminske udela $\text{CO}_2$ , $\text{O}_2$ i $\text{CH}_4$ u gasu dobijenom pirolizom strugotine lipe na $650\text{ }^{\circ}\text{C}$ (ispitivanje 6)	110
Tabela 5.22.	Greške merenja prinosa produkata mešavine drvne biomase na kraju procesa pirolize (ispitivanje 7)	110
Tabela 5.23.	Greške merenja zapreminske udela $\text{CO}_2$ , $\text{O}_2$ i $\text{CH}_4$ u gasu dobijenom pirolizom mešavine drvne biomase na $650\text{ }^{\circ}\text{C}$ (ispitivanje 7)	111
Tabela 5.24.	Rezultati eksperimentalnog ispitivanja procesa pirolize sa greškama merenja	111

## Popis oznaka i simbola

A	maseni udeo pepela u gorivu, kg/kg ili %
$A_p$	poprečni presek reaktora, $m^2$
C	maseni udeo ugljenika u gorivu, kg/kg ili %
$C_{fix}$	maseni udeo fiksног ugljenika u gorivu, kg/kg ili %
$C_v$	koeficijent varijacije, %
$c_p$	specifični topotni kapacitet, kJ/kg
d	unutrašnji prečnik reaktora, m
D	broj ponovljenih direktnih merenja
$E_G$	toplota (energija) grejača, kJ/kg
$g_i$	maseni udeo komponente i u dimnim gasovima, kg/kg
H	maseni udeo vodonika u gorivu, kg/kg ili %
$H_d$	donja topotna molarna močvorica, kJ/kg
$H_g$	gornja topotna molarna močvorica, kJ/kg
H	entalpija reakcije, kmol
i	entalpija, kJ/kg
$i_f$	fizička toplota, kJ/kg
$K_p$	konstanta ravnoteže hemijske reakcije
L	količina vazduha, kg/kg
M	molarna masa, kg/kmol
m	masa uzorka koja se menja tokom vremena, g
$m_0$	početna masa uzorka, g
$m_i$	masa komponente i u dimnim gasovima, kg/kg
$m_{vl}$	masa vlažnog drveta, kg
$m_s$	masa apsolutno suvog drveta, kg
N	maseni udeo azota u gorivu, kg/kg ili %
n	broj uzoraka
O	maseni udeo kiseonika u gorivu, kg/kg ili %
R	raspon
S	maseni udeo sumpora u gorivu, kg/kg ili %
t	temperatura, °C
T	apsolutna temperatura, K
$V_i$	zapremina komponente i u dimnim gasovima, $m^3/kg$
VM	maseni udeo isparljivih materija u gorivu, kg/kg ili %
$x_i$	relativna greška merenja
c	stepen korisnosti pirolitičkog reaktora, %
$\eta_{N_2}$	stepen konverzije ugljenika, %
$\eta_{O_2}$	stepen konverzije azota, %
	stepen konverzije kiseonika, %

s	stepen konverzije sumpora, %
	koeficijent viška vazduha
	gustina, kg/m <sup>3</sup>
	standardno odstupanje
x	srednja kvadratna greška merenja
	vreme, min ili h
$\bar{x}_i$	zapreminski udeo komponente i u dimnim gasovima
$\bar{x}$	srednja vrednost merenja
$\bar{X}$	aritmetička sredina
X <sub>i</sub>	vrednosti razmatranih (obeležja) karakteristika drvne biomase
x <sub>D</sub>	izmerena vrednost
x <sub>i</sub>	absolutna greška merenja
Q	toplotno opterećenje, kJ/m <sup>3</sup>
W	maseni udeo vlage u gorivu, kg/kg ili %

## 1. UVOD

Procesi konverzije energije prisutni su ve hiljadama godina. Može se re i da su stari koliko i vegetacija. Plamen koji nastaje pri šumskom požaru jedan je od prvih primera pirolize. Me utim, prošlo je mnogo vremena dok je ljudski rod stekao znanje kako da iskoristi pomenute procese. Koriš enje biomase za dobijanje energije nije se razvijalo istom brzinom kao i proces industrijalizacije usled tada velikih zaliha i niskih cena nafte i prirodnog gasa. Tek nedavno je došlo do porasta interesovanja za konverziju energije iz biomase, usled sve ve e zaga enosti vazduha “gasovima staklene bašte”, sve manjih zaliha i ve ih cena nafte i gasa i okretanja obnovljivim i lokalno dostupnim izvorima energije.

Uprkos dugoj tradiciji u koriš enju drveta kao energenta (najviše za ogrev), u Srbiji se i dalje koriste fosilna goriva, koja se uvoze u velikim koli inama i po visokim cenama. Iskustva iz razvijenih zemalja pokazuju da su dobro organizovane i prakti no utedeljene promotivne aktivnosti imale masovne tržišne efekte koji su rezultirali naglim rastom koriš enja drvne biomase koji traje duži niz godina, a prema prognozama, taj trend e se nastaviti i u budu nosti. Zbog toga je danas u razvijenim zemljama drvna biomasa postala jedan od veoma zastupljenih energenata u ukupnoj proizvodnji i potrošnji energije.

Mnoge zemlje širom sveta su uklju ene u projekte osavremenjavanja energetskih tehnologija za konverziju hemijski vezane energije drveta i druge biomase u topotnu energiju. To su savremeni multidisciplinarni projekti kojima se omogu ava koriš enje energetskih šuma ili poljoprivredne biomase u energetskim postrojenjima visoke efikasnosti za proizvodnju toplotne ili toplotne i elektri ne energije. Navedeni projekti dokazuju da energija iz biomase može biti tehni ki efikasna, ekonomski isplativa i alternativa fosilnim gorivima. Stvaranje pozitivnog okruženja za upotrebu drvne biomase nosi sa sobom održivo rešenje za budu e energetske potrebe.

Prema podacima JP “Srbijašume”, ukupna površina šuma i šumskog zemljišta u Srbiji iznosi 2252000 ha. Šumovitost Srbije iznosi 29.1%, a razlikuje se po pojedinim regionima: Vojvodina 7.1%, a Centralna Srbija 37.6% (prema Nacionalnoj inventuri šuma Republike Srbije, 2009.). Na osnovu toga, može se zaklju iti da je šumovitost bliska svetskoj, koja iznosi 30%, ali je znatno niža od evropske, koja dostiže 46% (2000.). Uve anje šumovitosti u odnosu na referentnu 1979. godinu iznosi 5.2%, što je imalo pozitivan uticaj na stanje i kvalitet životne sredine. U odnosu na broj stanovnika, šumovitost iznosi 0.3 ha po stanovniku. Od ukupne površine šuma i šumskog zemljišta u državnom i društvenom vlasništvu se nalazi 53% , a u privatnom 47% [1].

Srbija ima veliki potencijal neiskoriš enih drivnih izvora energije. Procenjena koli ina drvne biomase u Srbiji, koja se može koristiti kao gorivo, iznosi približno 1.65 miliona m<sup>3</sup> godišnje,

dok se energetski potencijal šumske biomase, ostavljene da se razlaže posle proizvodnje drvnih sortimenata, procenjuje na 15.6 miliona GJ godišnje. Međutim, uprkos ovom potencijalu, drvo zauzima još uvek niske pozicije u zadovoljenju energetskih potreba. Glavni razlog za to je veliko nerazumevanje da domaće snabdevanje drvnom biomasom može da obezbedi istu energiju iz obnovljivog izvora, kao i dodatne koristi koje drvo pruža. Za Srbiju, neke od ovih koristi uključuju povećanje investicija u razvoj šuma koje rezultirati povećanim ekonomskim aktivnostima u šumarstvu, povećanjem održivim gazdovanjem šuma, značajnim smanjenjem troškova fosilnih goriva koja se uvoze kao i smanjenjem efekta staklene baštice, koji nastaju upotrebom efikasnih i nisko emisionih uređaja i tehnologija na bazi drvene biomase. Sa više od 12 miliona tona proizvodnje drvnog otpada godišnje, Srbija ima u budućnosti potencijal da razvija svoj bioenergetski sektor, narođeno ito za proizvodnju električne i toplotne energije [2].

## 1.1. Pregled vladajućih stavova i shvatanja u literaturi u području istraživanja

Drvo se smatra jednim od najzajedničkih obnovljivih izvora energije [3]. Drvena biomasa može se dobiti od zasada koji su namenjeni upravo za proizvodnju drvene biomase, ali i od šumskog otpada ili separacijom komunalnog vrstog otpada [4]. Kao izvor energije, drvena biomasa može da se koristi direktno, primenom procesa sagorevanja, ali i drugih termičkih procesa, kao što su piroliza i gasifikacija, koji omogućavaju pretvaranje drvene biomase u vredne gasovite i te ne proizvode [5]. Piroliza predstavlja prvu fazu svakog termohemografskog procesa prerade biomase [6], zbog čega proizvodi i kinetika pirolize imaju značajan uticaj na procese gasifikacije i insineracije. Gasovite proizvode pirolize uglavnom su CO, H<sub>2</sub>, CO<sub>2</sub>, CH<sub>4</sub> i drugi laki ugljovodonici [7-10]. Katran i ugljovodonici sa visokim udjelom ugljenika i druga organska jedinjenja koji isparavaju na temperaturi pirolize kondenzuju se pri niskoj temperaturi [3]. Vrsti ostatak pirolize sastoji se od vrstih jedinjenja ugljenika sa visokim odnosom C/H [3].

Mnogi istraživači u oblasti pirolize drvene biomase [11-15] bavili su se ispitivanjem kinetike procesa pirolize. Najjednostavniji modeli bili su zasnovani na jednoj reakciji razlaganja, što nije omogućavalo predviđanje uticaja parametara procesa pirolize na prinos produkata [16]. Drugi modeli su bili zasnovani na reakcijama koje se odvijaju paralelno i predviđaju kinetiku proizvodnje gase, katrana i vrstog ostatka [17-19]. Razvijeni su i složeniji sistemi reakcija, koji razmatraju dalje razlaganje katrana [20, 21] ili nastanak međuproizvoda primarnog razlaganja biomase [14, 22-24]. Takođe, pri procesu pirolize biomase korišten je i model raspodele energije aktivacije [25, 26]. Većina pomenutih modela razvijena je na osnovu eksperimentalnih rezultata dobijenih ispitivanjem procesa pirolize biomase. Grieco i Baldi [3] su u svom radu poredili eksperimentalne rezultate pirolize drvene biomase sa predloženim kinetičkim modelom, bazirajući se pri tome na pretpostavci gubitka mase, proizvodnje gase i bioulja. Eksperimentalni rezultati koji su dobili pri manjoj brzini zagrevanja (0.05-1 K/s) i pri većoj brzini zagrevanja (na površini uzorka do 100 K/s; u središtu uzorka približno 10 K/s) bili su u saglasnosti sa rezultatima dobijenim modelom. Dupont i ostali [27] su analizirali i razmatrali osnovne karakteristike pirolize drvene biomase, na osnovu niza eksperimentiranih, kao i korišćenjem detaljnog kinetičkog modela devolatilizacije koji obuhvata i uzastopne reakcije gasovite faze i može da predviđa osnovni sastav gasova. Uticaj veličine estica i temperature ispitivan je u odnosu na vreme boravka u reaktoru. Zaključili su da je veličina estica najzajednički parametar.

Većina ranih istraživanja u oblasti pirolize drvene biomase bila je usmerena na pirolizu pri niskim temperaturama i sporom zagrevanju radi pospešivanja produkcije vrstog (koksnog)

ostatka. Nasuprot tome, interes za proizvodnju lepkova i vodonika podstakao je istraživanja pri visokim temperaturama i brzom zagrevanju. Pomenuti uslovi pospešuju proizvodnju te nih i gasovitih produkata uz minimizovanje proizvodnje vrstog ostatka.

Sastav i kolićina produkata pirolize biomase zavise od niza faktora, koje predstavljaju radni uslovi (brzina zagrevanja, temperatura, vreme reakcije, pritisak i sl.), tip i kvalitet sirovine, konfiguracija reakcionog sistema i drugo, što otežava poređenje rezultata. Mnogi istraživači su u svojim radovima analizirali promenu mase vrstog ostatka u zavisnosti od temperature i došli do zaključka da se sa porastom temperature pirolize smanjuje prinos vrstog ostatka kao i da su najveće promene zabeležene u intervalu od 200 do 400 °C. Müller-Hagedorn i ostali [28] ispitivali su pirolizu tri različite vrste drveta: graba, oraha i škotskog bora i pokazali da za hemijski tretirano drvo graba dolazi do najznačajnije promene masenog udela u opsegu temperature od 200 do 400 °C. Park i ostali [29] razmatrali su pirolizu belog hrasta iz Koree. Režim gubitka mase kod belog hrasta je takav da je između 250 i 400 °C došlo do kompletne razgradnje. Ispitivanjem pirolize hrasta i bora, Braadbart i ostali [30] došli su do podatka da se u opsegu temperature od 220 do 310 °C izgubi oko 60% od početne mase uzorka.

Horne i Williams [31] ispitivali su pirolizu mešavine drvnog otpada u reaktoru sa fluidizovanim slojem pri temperaturama od 400, 450, 500 i 550 °C. Došli su do zaključka da se prinos tehnologije proizvoda pirolize biomase može povećati korišćenjem reaktora sa fluidizovanim slojem pri umerenim temperaturama od 400 do 550 °C i pri kratkom vremenu boravka. Pri temperaturama u opsegu od 500 do 550 °C, dobijeni tehnologiji proizvod pirolize bio je homogen i male viskoznosti.

Samolada i ostali [32] proučavali su pirolizu uzoraka drveta gume u reaktoru sa fluidizovanim slojem. Ispitivali su sledeće parametre: temperaturu pirolize, srednju veličinu estica, pritisak, vreme boravka volatila, sadržaj lignina u biomasi i sadržaj vlage. Statistička analiza podataka pokazala je da je temperatura pirolize jedini parametar koji značajno utiče na prinos proizvoda pirolize. Prinos pirolitičkih gasova rastao je proporcionalno sa porastom temperature.

Parametri procesa pirolize kao što su temperatura i brzina zagrevanja utiču na prinos i sastav dobijenih produkata [33]. Brza piroliza pri velikim brzinama zagrevanja (do 1000 °C) i temperaturama ispod 650 °C sa brzim rashalom ivanjem izaziva kondenzovanje te nih međuproizvoda pirolize pre nego što sekundarne hemijske reakcije razbiju jedinjenja sa velikom molekulskom masom na gasovite proekte [10]. Prinos vrstog ostatka smanjuje velike brzine reakcija. Velike brzine zagrevanja i visoke temperature utiču na povećanje prinsa gasovitih proizvoda. Male brzine zagrevanja i niska temperatura na kraju procesa (do 500 °C), kao i dugo vreme boravka gase u vrstog ostatku, povećavaju prinos vrstog ostatka usled sekundarnih reakcija koksovanja i repolimerizacije. Međutim, ukoliko se brzina zagrevanja poveća na 20 do 100 °C/min sa maksimalnom temperaturom 600 °C, dolazi do znacajnog povećanja prinsa te neke faze i gase [33]. Bridgwater i Bridge [34] razmatrali su širok opseg pirolitičkih reaktora za sporu i brzu pirolizu i osobine proizvoda pirolize koji nastaju korišćenjem različitih tehnologija. Na primer, za brzu pirolizu se koriste reaktori sa fluidizovanim slojem, ciklonski, istosmerni prototipni i ablativni reaktori. Spora piroliza izvodi se u reaktorima sa fiksnim slojem i rotacionim pomerajima.

Williams i Besler [10] su u svom radu eksperimentalno istraživali sporu pirolizu drveta bora u šaržnom reaktoru sa fiksnim slojem u opsegu temperature od 300 do 720 °C i pri brzinama zagrevanja od 5 do 80 K/min. Sastav i karakteristike dobijenih gasova, pirolitičkih ulja i

vrstog ostatka odre eni su u zavisnosti od temperature pirolize i brzine zagrevanja. U stati kom šaržnom reaktoru, razlaganjem pri nižoj temperaturi nastaju u najve oj meri voda, CO i CO<sub>2</sub>, a pri visokoj temperaturi, osnovni produkti razlaganja su ulje, voda, H<sub>2</sub>, ugljovodonici i gasovi i CO i CO<sub>2</sub> u manjim udelima. Šaržni reaktor sa fiksnim slojem koristili su i Beaumont i Schwob [35] za sporu pirolizu drveta. Potvrdili su da temperatura i brzina zagrevanja imaju najzna ajniji uticaj na proizvode pirolize. Zaklju ili su i da veli ina estica uti e na prinos vrstog ostatka, bioulja i gasa, ali ne i na sastav bioulja. Rezultati koje su dobili pokazali su i da vrsta reaktora uti e na reakcije pirolize.

Prema nekim istraživa ima, ak 45 70% suve biomase može se prevesti u kondenzibilne pare (bio-ulje), 10 25% prelazi u nekondenzibilne gasove i oko 10 30% prelazi u vrsti ostatak [36]. Rezultati istraživanja procesa spore pirolize biomase u obliku bukove piljevine, u šaržnom reaktoru na temperaturama od 350 do 450 °C i vremenu reakcije od 95 min, prikazao je u svom radu Bajus [37], i ustanovio da je odnos masenih udela krajnjih produkata pirolize slede i: 25.1% piroliti kog gase, 44.3% te ne faze i 30.6% vrstog (koksnog) ostatka. Raspodela prinosa produkata pirolize umnogome zavisi od vrste goriva, reaktora i uslova odvijanja procesa, ime se može objasniti razli itost podataka prikazanih u literaturi.

Brza piroliza biomase predstavlja jednu od tehnologija od koje se najviše o ekufe u pogledu pretvaranja biomase u te no gorivo. Te nost dobijena pirolizom, poznatija kao piroliti ko ulje ili bio-ulje, može da predstavlja alternativu naftnim gorivima u mnogim termi kim ure ajima [38]. Me utim, bio-ulje je u potpunosti razli ito od naftnih goriva, usled ega koriš enje bio-ulja zahteva i razumevanje njegovih karakteristika kao goriva i uvo enje odre enih standarda. U toku je izgradnja prvih komercijalnih postrojenja za proizvodnju bio-ulja u Finskoj (Fortum) i Holandiji (Empyro) i projektovanje još jednog komercijalnog postrojenja, od strane brazilske kompanije Ensyn [39]. Ispitivanjem sagorevanja bio-ulja u industrijskim postrojenjima, došlo se do zaklju ka da je bio-ulje dobijeno pirolizom u tehni kom pogledu odgovaraju a alternativa teškim loživim uljima u sistemima daljinskog grejanja. Trenutno postoje dva ASTM standarda za upotrebu bioulja dobijenog brzom pirolizom kao goriva u ložistima, a u toku je i izrada evropskog standarda za ocenu kvaliteta bio-ulja kao goriva.

Istraživanja procesa pirolize biomase naj eš e imaju za cilj modifikovanje uslova odvijanja procesa kako bi se pove ao prinos bio-ulja, zato što bio-ulje predstavlja neprera eno te no biogorivo koje se bez dalje obrade može koristiti u stacionarnim tehni kim jedinicama za dobijanje toplotne ili elektri ne energije ili se može preraditi kako bi se koristilo kao "drop-in" biogorivo. Nasuprot tome, vrsti ostatak dobijen pirolizom smatran je otpadnim proizvodom koji se naj eš e sagoreva kako bi obezbedio toplotu potrebnu za odvijanje procesa pirolize. Me utim, skorija istraživanja ukazuju da se vrsti ostatak dobijen pirolizom može koristiti kao ubrivo koje zna ajno uti e na plodnost zemljišta [40 45]. Kako bi se proizveo vrsti ostatak visokog kvaliteta namenjen za upotrebu u poljoprivredi, uglavnom se primenjuje proces spore pirolize [46]. Direktno koriš enje biomase kao goriva podrazumeva suo avanje sa poteško ama kao što su mala nasipna gustina, mala gustina energije i teško usitnjavanje. Abdullah i Wu [47] pokazali su u svom radu da vrsti ostatak proizveden pirolizom biomase može predstavljati kvalitetno gorivo. vrsti ostatak ima ve u nasipnu gustinu u odnosu na biomasu i veoma lako se usitjava, ime se može posti i da njegova zapreminska gustina energije bude približno jednaka zapreminskoj gustini energije uglja. Pregledom literature iz oblasti pirolize drvne biomase može se zaklju iti da ve ina istraživa a najve u pažnju pridaje optimizaciji parametara procesa pirolize u cilju dobijanja ve eg prinsa željenog proizvoda, kao i da su temperatura i brzina zagrevanja parametri za koje se smatra da u najve oj meri uti u na sastav i prinos proizvoda pirolize.

## 1.2. Predmet i cilj istraživanja

Istraživanje i izrada doktorske disertacije započeti su u okviru projekta Ministarstva za nauku i tehnološki razvoj Republike Srbije, pod nazivom „Tehnologije korišćenja biomase za proizvodnju električne energije i za kogeneraciju“ i nastavljeni u okviru projekta Ministarstva za prosvetu i nauku Republike Srbije pod nazivom „Razvoj i izgradnja demonstracionog postrojenja za kombinovanu proizvodnju toplotne i električne energije sa gasifikacijom biomase“.

Predmet istraživanja doktorske disertacije predstavljaju mogunosti konverzije energije procesom pirolize različitih vrsta drvne biomase, i to: hrasta, bukve, trešnje, oraha, jele, lipe, kao i mešavine navedenih vrsta drveta u jednakoj razmeri. Tokom pomenutog procesa pirolize ispitivani su prinos gasa, te neke vrste faze, kao i promena mase uzorka i sastav gasa u zavisnosti od vremena i temperature.

Literaturni podaci [3-5, 9, 12, 15-20, 22, 24-29] o modelovanju i kinetici pirolize biomase ne mogu dovoljno precizno da predvide prinos i distribuciju proizvoda pirolize. U razmatranoj literaturi nema dovoljno podataka o gasnoj hromatografiji i termogravimetrijskoj analizi mešavine drvne biomase. U tom pogledu, cilj doktorske disertacije je eksperimentalno ispitivanje procesa pirolize različitih vrsta drvne biomase (strugotina drveta hrasta, bukve, oraha, trešnje, jele, lipe i mešavine navedenih vrsta biomase) kao potencijalnih izvora energije i eksperimentalno ispitivanje sastava mešavine drvne biomase, koje podrazumeva tehniku i elementarnu analizu. Poznavanje sastava goriva definiše potrebne uslove za određivanje materijalnog i toplotnog bilansa procesa pirolize, i može predstavljati polaznu osnovu u fazi projektovanja i dimenzionisanja pirolitičkih reaktora. Dalja istraživanja prikazana u disertaciji definišu uticaj procesnih parametara (pirolitičke temperature, reakcionog vremena i brzine zagrevanja) na prinos vrstog (koksnog) ostatka i pirolitičkog gasa. Kondenzacijom pirolitičkog gasa dobijene su i određene mase te neke faze različitih uzoraka biomase. Zbog zadovoljavanja materijalnog bilansa procesa pirolize, eksperimentalno je određen sastav vrstog (koksnog) ostatka.

Težište većine istraživanja je na primeni produkata pirolize u energetske svrhe, s obzirom na rastuće zahteve u pogledu smanjenja emisije gasova staklene baštice, jer se radi o obnovljivom izvoru i CO<sub>2</sub> neutralnom izvoru energije. Međutim, pored korišćenja produkata pirolize kao goriva, isti se mogu koristiti i za druge namene. Te ni produkti sadrže niz hemijskih jedinjenja koja se mogu koristiti kao sirovine za sintezu drugih jedinjenja, adheziva, ubriva, smola, za proizvodnju vodonika, dodataka hrani, hidroksiacetat aldehida, levoglukozana, itd. Koksnii ostatak ima široku primenu kao gorivo, aktivni ugalj, sirovina za proizvodnju baruta, sastojak gasne maske, u metalurgiji kao bio-ugalj, kao ubrivo. Proizvedeni gas iz procesa pirolize može se koristiti za dobijanje toplotne energije u procesu sagorevanja.

Rezultati dobijeni u okviru izrade doktorske disertacije trebalo bi da koriste u daljem razvoju sistema za termohemiju konverziju biomase.

## 1.3. Polazne hipoteze

Potreba za projektovanjem efikasnih sistema za korišćenje energije drvne biomase i smanjenjem troškova uvoza energetskih resursa, kao i pregled dosadašnjih istraživanja u oblasti pirolize drvne biomase predstavljali su osnovu za definisanje polaznih hipoteza doktorske disertacije:

- Razvojem laboratorijskog postrojenja za pirolizu drvne biomase moguće je dati novi uvid u prirodu složenog procesa pirolize koji se odvija u realnim uslovima rada laboratorijskog postrojenja
- Pirolizom drvne biomase u reaktoru moguće je dobiti vredne proekte koji se dalje mogu koristiti kao emergent ili kao polazna sirovina za druge procese
- Temperatura, vreme proticanja i brzina zagrevanja uti u na proces pirolize drvne biomase
- Povećanje temperature pirolize uti u smanjenje prinosa vrstog ostanika i povećanje prinosa piroliti kog gase
- Sa porastom temperature pirolize prinos metana raste, dok prinos ugljen dioksida opada,
- Do najvećih promena mase uzorka dolazi u opsegu temperature 200-400 °C
- Sa porastom brzine zagrevanja tokom procesa pirolize povećava se prinos volatila (isparljivih materija), dok prinos vrstog ostanika opada
- Korišćenje različitih vrsta drvne biomase uti u na proekte pirolize.

#### 1.4. Naučne metode istraživanja

Kako bi se istraživanja u okviru doktorske disertacije uspešno realizovala, primjenjeni su savremeni istraživački postupci i izvršeno je eksperimentalno ispitivanje na laboratorijskom postrojenju konstruisanom za pirolizu vrstih goriva u laboratoriji Departmana za zaštitu životne sredine i zaštite na radu i Departmana za energetiku i procesnu tehniku Fakulteta tehničkih nauka u Novom Sadu. Korišćene su sledeće metode:

- Metode prikupljanja podataka:
  - analiza podataka iz objavljenih relevantnih naučnih publikacija
  - elementarna i tehnička analiza uzorka mešavine drvne biomase i vrstog (koksnog) ostanaka procesa pirolize
  - gravimetrijska metoda određivanja mase uzorka
  - eksperimentalna ispitivanja procesa pirolize pomoći u termogravimetrijske analize
- Metode obrade podataka:
  - statističke metode obrade eksperimentalnih podataka
  - komparativna metoda analize (poređenje dobijenih rezultata sa teorijskim i eksperimentalnim rezultatima drugih istraživača).

#### 1.5. Struktura rada

Doktorska disertacija podeljena je na šest celina. U uvodnom delu dat je pregled dosadašnjih istraživanja u oblasti pirolize, predmet i cilj rada, postavljene su polazne hipoteze i razmotrene korišćene naučne metode.

U drugom poglavljju prikazana je zakonska regulativa o obnovljivim izvorima energije u Evropskoj Uniji (EU) i Republici Srbiji, kao i prilagođavanje domaćeg pravnim okvirima Evropske Unije u oblasti energetike.

Treće poglavlje opisuje karakteristike drvne biomase kao goriva. Prikazana je tehnička i elementarna analiza mešavine drvne biomase, koja je bila predmet istraživanja u ovoj disertaciji, kao i poređenje sa podacima sastava drvne biomase iz literature. Razmatran je

uticaj sastava drvne biomase na toplotnu mo , što je posebno zna ajno za termi ku preradu drvne biomase, i prikazana je kvalitativna ocena drvne biomase kao goriva.

U etvrtom poglavlju razmatrani su termohemski postupci prerade drvne biomase: piroliza, gasifikacija i sagorevanje. Izvršena je analiza postoje ih rešenja za termohemsku preradu biomase. Osim toga, prikazana je stehiometrija sagorevanja mešavine drvne biomase, sa broj anim primerom prora una materijalnog bilansa i odre ivanjem teorijske temperature sagorevanja mešavine drvne biomase. Razmatrana je i emisija zaga uju ih materija iz postrojenja za sagorevanje biomase.

U petom poglavlju prikazano je eksperimentalno ispitivanje procesa pirolize razli itih vrsta drvne biomase, i to: hrasta, bukve, trešnje, oraha, jеле, lipe, kao i mešavine navedenih vrsta drveta. Promena mase uzorka u zavisnosti od temperature i reakcionog vremena prikazana je tabelarno i grafi ki. Uticaj brzine zagrevanja (21, 32 i 55 °C/s) na promenu masenog udela objašnjen je i prikazan grafi ki, kao i prinos proizvoda pirolize (gasa, te ne faze i vrstog ostatka). Ispitan je sastav dobijenog piroliti kog gase (CO<sub>2</sub>, CH<sub>4</sub>, O<sub>2</sub>), kao i sastav vrstog ostatka i bio-ulja. Tako e, u okviru navedenog poglavlja prikazan je materijalni i toplotni bilans piroliti kog reaktora.

U zaklju ku se navodi doprinos koji doktorska disertacija daje istraživanju u razmatranoj oblasti, objašnjava da li su polazne hipoteze potvr ene ili opovrgnute i razmatra u kom pravcu bi trebalo da idu dalja istraživanja u oblasti pirolize drvne biomase.

## LITERATURA

- [1] www.srbijasume.rs (10.01.2015.)
- [2] Jovanović B, Parović M. Stanje i razvoj biomase u Srbiji, Beograd.
- [3] Grieco E, Baldi G. 2011. Analysis and modelling of wood pyrolysis. *Chemical Engineering Science* 66(4): 650–660.
- [4] Orfao J. J. M, Antunes F. J. A, Figueiredo J. L. 1999. Pyrolysis kinetics of lignocellulosic materials-three independent reaction model. *Fuel* 78(3): 349–358.
- [5] Janse A. M. C, Westerhout R. W. J, Prins W. 2000. Modelling of flash pyrolysis of a single wood particle. *Chemical Engineering and Processing* 39(3): 239–252.
- [6] Rajeswara R. T, Sharma A. 1998. Pyrolysis rate of biomass materials. *Energy* 23(11): 973–978.
- [7] Fagbemi L, Khezami L, Carpat L. 2001. Pyrolysis products from different biomasses: application to the thermal cracking of tar. *Applied Energy* 69(4): 293–306.
- [8] Sharypov V. I, Marin N, Beregovtsova N. G, Baryshnikov S. V, Kuznetsov B. N, Cebolla,V. N, Weber J. W. 2002. Co-pyrolysis of wood biomass and synthetic polymer mixtures. Part I: influence of the experimental conditions on the evolution of solids, liquids and gases. *Journal of Analytical and Applied Pyrolysis* 64(1): 15–28.
- [9] Boroson M. L, Howard J. B, Longwell J. P, Peters W. A. 1989. Products yields and kinetics from the vapour phase cracking of wood pyrolysis tars. *AIChE Journal* 35(1): 120–128.
- [10] Williams P. T, Besler S. 1996. Influence of temperature and heating rate on the slow pyrolysis of biomass. *Renewable Energy* 7(3): 233–250.
- [11] Müller-Hagedorn M, Bockhorn H. 2007. Pyrolytic behaviour of different biomasses (angiosperms) (maize plants, straws, and wood) in low temperature pyrolysis. *Journal of Analytical and Applied Pyrolysis* 79(1-2): 136–146.
- [12] Di Blasi C. 2008. Modeling chemical and physical processes of wood and biomass pyrolysis. *Progress in Energy and Combustion Science* 34(1): 47–90.
- [13] Bridgwater A. V, Meier D, Radlein D. 1999. An overview of fast pyrolysis of biomass. *Organic Geochemistry* 30(12): 1479–1493.
- [14] Park W. C, Atreya A, Baum H. 2010. Experimental and theoretical investigation of heat and mass transfer processes during wood pyrolysis. *Combustion and Flame* 157(3): 481–494.
- [15] Helsen L. E, den Bulck V. 2000. Kinetics of the low-temperature pyrolysis of chromated copper arsenate-treated wood. *Journal of Analytical and Applied Pyrolysis* 53(1): 51–79.
- [16] Di Blasi C. 1998. Comparison of semi-global mechanisms for primary pyrolysis of lignocellulosic fuels. *Journal of Analytical and Applied Pyrolysis* 47(1): 43–64.
- [17] Thurner F, Mann U. 1981. Kinetic investigation of wood pyrolysis. *Industrial and Engineering Chemistry Process Design and Development* 20(3): 482–488.
- [18] Chan W. R, Kelbon M, Krieger B. B. 1985. Modelling and experimental verification of physical and chemical processes during pyrolysis of a large biomass particle. *Fuel* 64(11): 1505–1513.
- [19] Font R, Marcilla A, Verdu E, Devesa J. 1990. Kinetics of the pyrolysis of almond shells and almond shells impregnated with  $\text{CoCl}_2$  in a fluidized bed reactor and in a Pyroprobe 100. *Industrial and Engineering Chemistry Research* 29: 1846–1855.
- [20] Liden A. G, Berruti F, Scott D. S. 1988. A kinetic model for the production of liquids from the flash pyrolysis of biomass. *Chemical Engineering Communications* 65(1): 207–221.

- [21] Di Blasi C. 1993. Analysis of convection and secondary reaction effects within porous solid fuels undergoing pyrolysis. *Combustion Science and Technology* 90(5-6): 315–340.
- [22] Koufopanos C. A, Maschio G, Lucchesi A. 1989. Kinetic modelling of the pyrolysis of biomass and biomass components. *Canadian Journal of Chemical Engineering* 67(1): 75–84.
- [23] Shafizadeh F, Bradbury A. G. 1979. Thermal degradation of cellulose in air and nitrogen at low temperatures. *Journal of Applied Polymer Science* 23(5): 1431–1442.
- [24] Bradbury A. G, SakaI Y, Shafizadeh F. 1979. A kinetic model for pyrolysis of cellulose. *Journal of Applied Polymer Science* 23(11): 3271–3280.
- [25] Rostami A. A, Hajaligol M. R, Wrenn S. E. 2004. A biomass pyrolysis sub-model for CFD applications. *Fuel* 83(11-12): 1519–1525.
- [26] Wojtowicz M. A, Bassilakis R, Smith W, Chen Y, Carangelo R. M. 2003. Modeling the evolution of volatile species during tobacco pyrolysis. *Journal of Analytical and Applied Pyrolysis* 66(1): 235–261.
- [27] Dupont C, Chen L, Cances J, Commandre J. M, Cuoci A, Pierucci S, Ranzi E. 2009. Biomass pyrolysis: Kinetic modelling and experimental validation under high temperature and flash heating rate conditions. *Journal of Analytical and Applied Pyrolysis* 85(1-2): 260–267.
- [28] Müller Hagedorn M, Bockhorn H, Krebs L, Müller U. 2003. A comparative kinetic study on the pyrolysis of three different wood species. *Journal of Analytical and Applied Pyrolysis* 68-69: 231–249.
- [29] Park H. J, Park Y. K, Dong J. I, Kim J. S, Jeon J. K, Kim S. S, Kim J, Song B, Park J, Lee K. J. 2009. Pyrolysis characteristics of Oriental white oak: Kinetic study and fast pyrolysis in a fluidized bed with an improved reaction system. *Fuel Processing Technology* 90(2): 186–195.
- [30] Braadbaart F, Poole I. 2008. Morphological, chemical and physical changes during charcoalification of wood and its relevance to archaeological contents. *Journal of Archaeological Science* 35(9): 2434–2445.
- [31] Horne P. A, Williams P. T. 1996. Influence of temperature on the products from the flash pyrolysis of biomass *Fuel* 75(9): 1051–1059.
- [32] Samolada M. C, Stoicos T, Vasalos I. A. 1990. An investigation of the factors controlling the pyrolysis product yield of greek wood biomass in a fluidized bed. *Journal of Analytical and Applied Pyrolysis* 18: 127–141.
- [33] Bridgwater A. V. 1990. Biomass pyrolysis technologies. In *Biomass for Energy and Industry*, eds. Grassi G, Gosse G, dos Santos G. Elsevier, London.
- [34] Bridgwater A. V, Bridge S. A. 1991. A review of biomass pyrolysis and pyrolysis technologies. In *Biomass Pyrolysis Liquids Upgrading and Utilisation*, eds. Bridgwater A. V, Grassi G. Elsevier Applied Science, London.
- [35] Beaumont O, Schwob Y. 1984. Influence of physical and chemical parameters on wood pyrolysis. *Industrial and Engineering Chemistry Process Design and Development* 23(4): 637–641.
- [36] Bridgwater, A. V, Peacocke G. V. C. 2000. Fast pyrolysis processes for biomass. *Renewable and Sustainable Energy Reviews* 4(1): 1–73.
- [37] Bajus M. 2010. Pyrolysis of woody material. *Petroleum & Coal* 52(3): 207–214.
- [38] Lu Q, Li W. Z, Zhu X. F. 2009. Overview of fuel properties of biomass fast pyrolysis oils. *Energy Conversion and Management* 50(5): 1376–1383.
- [39] Oasmaa A, van de Beld B, Saari P, Elliott D, Solantausta Y. Norms, Standards & Legislation for Fast Pyrolysis Bio-Oils from Lignocellulosic Biomass. *Energy and Fuels*, DOI: 10.1021/acs.energyfuels.5b00026.

- [40] Chan K. Y, Van Zwieten L, Meszaros I, Downie A, Joseph S. 2007. Agronomic values of greenwaste biochar as a soil amendment. *Australian Journal of Soil Research* 45(8): 629–634.
- [41] Laird D. A, Brown R. C, Amonette J. E, Lehmann J. 2009. Review of the pyrolysis platform for co-producing bio-oil and biochar. *Biofuels, Bioproducts and Biorefineries* 3(5): 547–562.
- [42] Novak J. M, Busscher W. J, Laird D. A, Ahmedna M, Watts D. M, Niandou M. 2009. Impact of biochar amendment on fertility of a southeastern Coastal Plain soil. *Soil Science* 174(2): 105–112.
- [43] Major J, Rondon M, Molina D, Riha S. J, Lehmann J. 2010. Maize yield and nutrition during 4 years after biochar application to a Colombian savanna oxisol. *Plant and Soil* 333(1-2): 117–128.
- [44] Jeffery S, Verheijen F. G. A, van der Velde M, Bastos A. C. 2011. A quantitative review of the effects of biochar application to soils on crop productivity using meta-analysis. *Agriculture, Ecosystems and Environment* 144(1): 175–187.
- [45] Song W, Guo M. 2012. Quality variations of poultry litter biochar generated at different pyrolysis temperatures. *Journal of Analytical and Applied Pyrolysis* 94: 138–145.
- [46] Abdullah H, Wu H. 2009. Biochar as a Fuel: 1. Properties and Grindability of Biochars Produced from the Pyrolysis of Mallee Wood under Slow-Heating Conditions. *Energy and Fuels* 23(8): 4174–4181.

## **2. ZAKONSKA REGULATIVA O OBNOVLJIVIM IZVORIMA ENERGIJE**

Veće korišćenje obnovljivih izvora energije je prihvaćeno kao jedno od rešenja u pogledu usporavanja klimatskih promena. Većina zemalja je prihvatile dugoročne energetske programe koji uključuju ove ciljeve. Dok nekoliko razvijenih zemalja većima u bilansu značajne udeležbe obnovljivih izvora, neke druge učepravljene korake ka povećanju doprinosa obnovljivih izvora. Niz međunarodnih ugovora na putu integracije Republike Srbije u Evropsku Uniju, otvara mogućnost i obaveze izgradnje i uključivanja obnovljivih izvora energije. Proces pridruživanja Evropskoj uniji zahteva usklađivanje energetske politike Srbije. Preuzete obaveze definišu ciljeve smanjivanja emisije gasova sa efektom „staklene baštice“. Planove izgradnje i učešće obnovljivih izvora energije podupire itav niz dokumenata iz domena legislative, a dinamika je okvirno definisana dugoročnim planskim dokumentima u oblasti energetike. Odredbe su podsticajne mere i model preuzimanja energije iz obnovljivih izvora.

### **2.1. Zakonodavstvo Evropske unije**

Težnja Evropske unije jeste da 20% od ukupne energije potiče iz obnovljivih izvora. Obnovljivi izvori energije uključuju vetar, solarnu energiju, hidroenergiju, energiju plame i oseke, kao i geotermalnu energiju i biomasu. Više energije iz obnovljivih izvora omogućuje Evropskoj uniji da postigne smanjenje emisije gasova staklene baštice i da u manjoj meri zavisi od uvozne energije. Unapredovanje industrije obnovljive energije poveća tehnološke inovacije i zaposlenost u Evropi.

Sve značajniji pokazatelji klimatskih promena i rasta zavisnosti od energije doprinose odluci Evropske unije da ostvari koncept male potrošnje energije i da energija koja se koristi bude sigurna, bezbedna, konkurentna, lokalno proizvedena i održiva.

Još jedan korak u omogućavanju efikasnog funkcionisanja energetskog tržišta Evropske unije jeste energetska politika koja promoviše međusobnu povezanost energetskih mreža i energetsku efikasnost. Energetska politika obuhvata širok opseg izvora energije, od fosilnih goriva, preko nuklearne energije, do obnovljivih izvora.

Zakonska regulativa Evropske unije u oblasti energetike podeljena je na sledeće oblasti:

- Evropska energetska politika
- Unutrašnje energetsko tržište
- Energetska efikasnost
- Obnovljiva energija
- Nuklearna energija
- Obezbeđenje snabdevanja, spoljna dimenzija i proširenje.

Zakonski okvir Evropske unije koji se odnosi na obnovljivu energiju obuhvata sledećih pet oblasti: osnovne smernice, elektrinu energiju, grejanje i grijanje, biogoriva i energiju veta [1].

- **Osnovne smernice**

- *Promovisanje korištenja energije iz obnovljivih izvora*

**Direktiva 2009/28/EC Evropskog parlamenta i saveta o promovisanju upotrebe energije iz obnovljivih izvora**, kojom se menjaju i dopunjavaju i na osnovu koje prestaju da važe direktive 2001/77/EC i 2003/30/EC, određuje osnovni okvir korištenja energije iz obnovljivih izvora kako bi se ograničile emisije gasova staklene baštine i promovisao isti transport. U tom cilju, definisani su nacionalni akcioni planovi kao i procedure za upotrebu biogoriva. Direktiva 2009/28/EC je deo regulative koja se odnosi na energiju i klimatske promene i koja predstavlja zakonski okvir za predviđene ciljeve Evropske zajednice u pogledu smanjenja emisije gasova staklene baštine [2].

- *Mapa puta obnovljive energije*

**Mapa puta obnovljive energije** prikazuje dugoročnu strategiju Evropske komisije u pogledu korištenja obnovljive energije u Evropskoj uniji. Cilj pomenute strategije jeste da Evropska unija postigne istovremeno povećanje sigurnosti pri snabdevanju energijom i smanjenje emisije gasova staklene baštine. Pomenuti dokument objavljen je kao prepiska Evropske komisije 10. januara 2007. godine pod nazivom „Mapa puta obnovljive energije. Obnovljive energije u 21. veku: izgradnja održivije budućnosti“ koji nije dat u okviru Službenog glasnika Evropske unije.

- *Globalna energetska efikasnost i fond obnovljive energije (GEEREF - The Global Energy Efficiency and Renewable Energy Fund)*

**GEEREF inicijativa** je sastavni deo pristupa predstavljenog u Zelenoj knjizi „Evropska strategija za održivu, konkurentnu i sigurnu energiju“. GEEREF bi trebalo da podstakne partnerstva privatnog i javnog sektora nudeći mogućnost raspodele rizika i zajedno kog finansiranja projekata kojima će se investirati u obnovljivu energiju i energetsku efikasnost [1].

- **Elektrina energija**

- *Podržavanje proizvodnje elektrine energije iz obnovljivih izvora energije*

**„Podržavanje proizvodnje elektrine energije iz obnovljivih izvora energije“** (COM(2005) 627 final - Službeni glasnik C 49) analizira napredak u oblasti obnovljivih izvora energije, izveštava o porastu proizvodnje i opticaja obnovljive energije na unutrašnjem tržištu [3].

- **Grejanje i hla enje**

- *Akcioni plan za biomasu*

**Akcioni plan za biomasu** (COM(2005) 628 final - Službeni glasnik C 49) postavlja niz akcija Evropske zajednice posebno u cilju poveanja potražnje za biomasom, poboljšavanja snabdevanja, prevazilaženja tehničkih prepreka i razvoja istraživanja. Biomasa, odnosno svi organski, biljni i životinjski proizvodi koji se koriste za proizvodnju energije ili u poljoprivredi, trenutno zauzima približno polovinu (44 do 65%) od ukupne obnovljive energije koja se koristi u EU [3].

- **Biogoriva**

- *EU strategija za biogoriva*

**EU strategija za biogoriva** (COM(2006)34 final - Službeni glasnik C 67) prikazuje sedam strateških oblasti za razvoj proizvodnje i upotrebe biogoriva od strane država članica i zemalja u razvoju. Evropska komisija ovom strategijom definiše ulogu koju biogoriva proizvedena iz biomase mogu imati u budućnosti kao obnovljivi izvor energije i alternativa fosilnim gorivima (pre svega nafti) korišćenim u saobraćaju [4].

- **Energija vetra**

- *Promovisanje energije vetra sa puine*

**“Energija vetra sa punine: akcija koju bi trebalo sprovesti kroz ciljeve energetske politike za 2020. godinu i kasnije”** (COM(2008) 768 final - nije objavljena u Službenom glasniku) promoviše razvoj morske i priobalne energije veta u Evropskoj uniji. Navedena vrsta energije predstavlja isti obnovljiv izvor, a može da doprinese i zaštiti održenih morskih ekosistema [1].

## 2.2. Zakonodavstvo Republike Srbije

Energetski sektor je ključan, kako sa stanovišta ekonomskog razvoja tako i u odnosu na rešavanje mnogih važnih problema životne sredine. Novi Zakon o energetici Republike Srbije, koji ima za cilj usaglašavanje domaćeg zakonodavstva u toj oblasti sa evropskim, pripremljen je i trebalo bi da bude usvojen u skorijoj budućnosti. Jedan od najvažnijih ciljeva novog zakona o energetici je primena Trećeg energetskog paketa, direktiva Evropskog parlamenta i saveta o jedinstvenim pravilima internog evropskog tržišta električne energije. Takođe, namena je i da se stvori osnova za primenu uredbi o uslovima za pristup mrežama radi prekogranične razmene električne energije, da se primeni direktiva o promovisanju korišćenja energije iz obnovljivih izvora, da se pospeši razvoj energetskog tržišta, odnosno da efikasnije funkcioniše tržište električne energije i prirodnog gasa.

Nacrt novog Zakona o energetici je veoma obiman i kompleksan i sastoji se od 25 poglavlja i 333 člana. Poglavlje VI novog Zakona odnosi se na energiju iz obnovljivih izvora energije i podsticajne mere. Nacionalni ciljevi i plan korišćenja obnovljivih izvora uređeni su sledećim članovima, prikazanim u skraćenom obliku:

- **član 56**

Korišćenje energije iz obnovljivih izvora je u interesu Republike Srbije. Vlada, na predlog Ministarstva, donosi Nacionalni akcioni plan kojim se utvrđuju ciljevi za korišćenje

obnovljivih izvora energije za period od najmanje 10 godina. Nacionalni akcioni plan za koriš enje obnovljivih izvora energije iz stava 2. ovog lana posebno sadrži:

- 1) ideo energije iz obnovljivih izvora u ukupnoj bruto finalnoj potrošnji energije
- 2) ideo energije iz obnovljivih izvora u ukupnoj potrošnji elektri ne energije
- 3) ideo energije iz obnovljivih izvora u ukupnoj potrošnji za grejanje i hla enje
- 4) ideo energije iz obnovljivih izvora u ukupnoj energiji utrošenoj u svim oblicima saobra aja
- 5) dinamiku za ostvarenje udela iz ta aka 1), 2), 3) i 4) ovog lana po godinama
- 6) mere i procenjena finansijska sredstva za ostvarenje planiranih udela energije iz obnovljivih izvora
- 7) nosioce aktivnosti i rokove za ostvarenje planiranih aktivnosti.

- **lan 57**

Izgradnja objekata ili koriš enje postrojenja koja koriste obnovljive izvore energije za proizvodnju elektri ne energije u okviru mehanizama saradnje realizuje se u skladu sa potvr enim me unarodnim ugovorima.

Garancija porekla obuhva ena je slede im lanovima novog Zakona:

- **lan 58**

Garanciju porekla izdaje operator prenosnog sistema na zahtev proizvo a a elektri ne energije iz obnovljivih izvora energije i proizvo a a elektri ne i toplotne energije iz kombinovane proizvodnje sa visokim stepenom iskoriš enja primarne energije, na osnovu podataka operatora na iji sistem je objekat proizvo a a priklju en, javnog snabdeva a i izjave podnosioca zahteva o koriš enju investicione podrške.

- **lan 59**

Garancija porekla za energiju proizvedenu iz obnovljivih izvora energije sadrži:

- 1) naziv, lokaciju, vrstu i snagu proizvodnog kapaciteta
- 2) datum puštanja objekta u rad
- 3) podatak da li se garancija porekla odnosi na elektri nu energiju ili na energiju za grejanje ili hla enje
- 4) datum po etka i kraja proizvodnje energije za koju se izdaje garancija porekla
- 5) podatak iz pismene izjave podnosioca zahteva da li je za izgradnju proizvodnog kapaciteta bila koriš ena investiciona podrška iz nacionalnih sredstava i vrsta te podrške
- 6) podatak da li je koriš ena podsticajna otkupna cena energije
- 7) datum i zemlju izdavanja i jedinstveni identifikacioni broj.

- **lan 60**

Garancija porekla izdata u drugim državama važi pod uslovima reciprociteta i u Republici Srbiji i u skladu sa potvr enim me unarodnim ugovorom.

Status povlaš enog proizvo a a elektri ne energije objašnjen je u lanovima 61 do 66:

- **lan 61**

Proizvo a elektri ne energije može ste i status povlaš enog proizvo a a za elektranu koja:

- 1) u procesu proizvodnje elektri ne energije koristi obnovljive izvore energije i/ili separisanu frakciju komunalnog otpada, osim za hidroelektrane instalisane snage ve e od 30 MW
- 2) je priklju ena na prenosni, odnosno distributivni sistem elektri ne energije
- 3) ima posebno merno mesto za merenje ukupno proizvedene elektri ne energije u elektrani

4) koristi energiju veta ili energiju sunca u procesu proizvodnje elektri ne energije, ako je instalisana snaga elektrane manja ili jednaka slobodnom kapacitetu.

• **lan 62**

Ministarstvo o zahtevu za sticanje statusa, odnosno privremenog statusa povlaš enog proizvo a a elektri ne energije odlu uje rešenjem, u roku od 30 dana od dana podnošenja urednog zahteva.

• **lan 63**

Status povlaš enog proizvo a a elektri ne energije ili elektri ne i toplotne energije može se preneti na drugo lice.

• **lan 64**

Podsticajne mere za koriš enje obnovljivih izvora energije za proizvodnju elektri ne energije obuhvataju obavezu otkupa elektri ne energije od povlaš enog proizvo a a, cene po kojima se ta energija otkupljuje, period važenja obaveze otkupa elektri ne energije, preuzimanje balansne odgovornosti kao i druge podsticajne mere propisane ovim zakonom i propisima donetim na osnovu njega.

• **lan 65**

Povlaš eni proizvo a ima pravo na:

- 1) skup podsticajnih mera koje važe u trenutku sticanja privremenog statusa povlaš enog proizvo a a
- 2) prvenstvo pri preuzimanju ukupno proizvedene elektri ne energije u prenosni ili distributivni sistem, osim u slu aju kada je ugrožena sigurnost rada tih sistema
- 3) druga prava u skladu sa ovim zakonom, propisom iz lana 61. stav 9. ovog zakona, drugim zakonima i propisima kojima se ure uju porezi, carine i druge dažbine, odnosno subvencije i druge mere podsticaja, zaštita životne sredine i energetska efikasnost.

• **lan 66**

Povlaš eni proizvo a elektri ne energije gubi status povlaš enog proizvo a a u slede im slu ajevima:

- 1) ako je rešenje o sticanju statusa doneto na osnovu neistinitih podataka
- 2) ako se utvrdi da su se svojstva postrojenja promenila zbog neodržavanja tehnoloških karakteristika
- 3) ako povlaš eni proizvo a ne izvršava svoje obaveze prema javnom snabdeva u
- 4) ako je proizvo a u istekla licenca u slu ajevima propisanim ovim zakonom
- 5) ako proizvodi elektri nu energiju suprotno uslovima pod kojima je stekao status povlaš enog proizvo a a [5].

Pored Zakona o energetici, kao osnovnog zakonskog okvira, koriš enje obnovljivih izvora energije definisano je brojnim drugim zakonima, propisima i uredbama, me u kojima su najzna ajnji:

- **Ugovor o osnivanju energetske zajednice jugoisto ne Evrope** („Službeni glasnik RS”, broj 62/2006), kojim Srbija preuzima obavezu reformi usmerenih ka pripremi energetskog tržišta za punu primenu evropskih pravila primenom direktiva EU, i u eš e na jedinstvenom evropskom energetskom tržištu
- **Strategija razvoja energetike Republike Srbije od 2006. do 2015. godine** („Službeni glasnik RS”, broj 44/2005), propisana Zakonom o energetici, sadrži dugoro ne ciljeve

razvoja pojedinih energetskih delatnosti, prioritete razvojnih aktivnosti, mere i instrumente za ostvarivanje ciljeva energetske politike, odnosno same Strategije, prioritetne programe i drugo

- **Program ostvarivanja Strategije razvoja energetike Republike Srbije** detaljno obra uje sadržaj pojedinih programa i dinamiku njihove realizacije za sve sektore energetike po modulima za svaki pojedini sektor energetike
- **Energetski bilans Republike Srbije** izra uje se svake godine. Bilansom su obuhva eni energetski tokovi za tri godine: realizacija bilansa prethodne godine, procena stanja za teku u godinu i plan za narednu godinu
- **Drugi nacionalni plan za energetsku efikasnost Republike Srbije od 2013. do 2015. godine** ima za cilj postizanje kvantifikovanih ušteda energije primenom mera energetske efikasnosti u sektorima doma instva, javne i komercijalne delatnosti, industrije i saobra aja
- **Nacionalni akcioni plan za obnovljive izvore energije Republike Srbije**, izra en u skladu sa obrascem predvi enim Direktivom 2009/28/EC, prikazuje okvirnu politiku Republike Srbije i utvr uje putanju u oblasti obnovljivih izvora energije do 2020. godine
- **Uredba o uslovima i postupku sticanja statusa povlaš enog proizvo a a elektri ne energije** („Službeni glasnik RS”, broj 8/2013 i 70/2014)
- **Uredba o merama podsticaja za povlaš ene proizvo a e elektri ne energije** („Službeni glasnik RS”, broj 8/2013)
- **Uredba o na inu obra una i na inu raspodele prikupljenih sredstava po osnovu naknade za podsticaj povlaš enih proizvo a a elektri ne energije** („Službeni glasnik RS”, broj 8/2013)
- **Uredba o visini posebne naknade za podsticaj u 2014. godini** („Službeni glasnik RS”, broj 3/2014)
- **Nacionalna strategija održivog razvoja od 2009. do 2017. godine** („Službeni glasnik RS”, broj 57/2008) je multisektorski dokument koji posredno uti e i na energetiku, kroz osnovno na elo da ekonomski rast mora biti u saglasnosti sa investiranjem u istiju proizvodnju, energetsku efikasnost, smanjenje emisija i zaštitu životne sredine
- **Akcioni plan za sprovo enje Nacionalne strategije održivog razvoja** („Službeni glasnik RS”, broj 22/2009), sadrži mere za ostvarivanje Nacionalne strategije; deo Akcionog plana ini i **Strategija uvo enja istije proizvodnje u Republici Srbiji** („Službeni glasnik RS”, broj 17/2009).

Nacionalni zakoni koji su indirektno povezani sa oblastima energetike su:

- **Zakon o zaštiti vazduha** („Službeni glasnik RS”, broj 36/2009 i 10/2013)
- **Zakon o integrisanom spre avanju i kontroli zaga ivanja životne sredine** („Službeni glasnik RS”, broj 135/2004)
- **Zakon o zaštiti prirode** („Službeni glasnik RS”, broj 36/2009 i 88/2010)
- **Zakon o nacionalnim parkovima** („Službeni glasnik RS”, broj 39/1993 i 44/1993, prestao da važi osim odredaba 1. 6. i 7. i opisa podru ja nacionalnih parkova, a do donošenja posebnih zakona)
- **Zakon o zaštiti od buke u životnoj sredini** („Službeni glasnik RS”, broj 36/2009 i 88/2010)
- **Zakon o planiranju i izgradnji** („Službeni glasnik RS”, broj 72/2009, 81/2009, 64/2010, 24/2011, 121/2012, 42/2013, 50/2013 i 98/2013)
- **Zakon o upravljanju otpadom** („Službeni glasnik RS”, broj 36/2009 i 88/2010)
- **Zakon o vodama** („Službeni glasnik RS”, broj 30/2010 i 93/2012)

- **Zakon o zaštiti od ionizuju ih zra enja i o nuklearnoj sigurnosti** („Službeni glasnik RS”, broj 36/2009 i 88/2010)
- **Uredba o metodologiji prikupljanja podataka za nacionalni inventar gasova sa efektom staklene bašte** („Službeni glasnik RS”, broj 81/2010)
- **Uredba o kriterijumima za odre ivanje najboljih dostupnih tehnika, za primenu standarda kvaliteta, kao i za odre ivanje grani nih vrednosti emisija u integrisanoj dozvoli** („Službeni glasnik RS”, broj 84/2005).

U 2006. godini, Republika Srbija je ratifikovala Ugovor o osnivanju energetske zajednice, tako e poznat kao Ugovor o energetskoj zajednici jugoisto ne Evrope ili ECSEE (potpisani izme u EU i zemalja jugoisto ne Evrope). Zakonom o energetici predvi ene su mere za stvaranje uslova za stimulisanje koriš enja obnovljivih izvora energije. Tako e, Strategijom razvoja energetike Srbije do 2015. za jedan od prioriteta u srpskoj energetici je postavljeno i ve e koriš enje obnovljivih izvora energije, što tako e predstavlja prioritet Strategije za održivi razvoj u kontekstu unapre enja zaštite životne sredine i racionalnog koriš enja prirodnih resursa. Krajem 2009. godine usvojene su uredbe kojima su uvedene podsticajne mere za proizvodnju energije iz obnovljivih izvora energije – uredbe o uslovima za sticanje statusa povlaš enog proizvo a a elektri ne energije iz obnovljivih izvora i uredbe kojom se uvode garantovane otkupne cene (fid-in tarife) za tako proizvedenu struju i garantovani period otkupa od 12 godina.

Na putu zna ajnijeg koriš enja energije iz obnovljivih izvora postoji više prepreka, jer su procedure za investiranje duge i složene, propisi nedovoljni, a standardi tek delimi no definisani. Zna ajnu prepreku predstavlja cena elektri ne energije koja nije ekomska, odnosno energija iz obnovljivih izvora ne bi bila konkurentna zbog niske regulisane cene struje. Otvoreno je i pitanje koliko bi distributivna mreža mogla da podrži priklju ivanje kapaciteta iz obnovljivih izvora energije bez ulaganja i kako bi se to odrazilo na cenu struje. Kada se govori o obnovljivim izvorima energije, uvek se postavlja i pitanje stabilnosti snabdevanja iz takvih izvora energije, jer neki od njih, ta nije vetrar i sunce, ne mogu obezbediti ravnomerno snabdevanje tokom cele godine. Proizvodnja elektri ne energije iz obnovljivih izvora energije je skuplja od proizvodnje energije iz fosilnih goriva i zbog toga se uvode mere podsticaja za investiranje u postrojenja.

U januaru 2009. godine Srbija je postala lanica i osniva Meunarodne agencije za obnovljivu energiju (IRENA), prve meunarodne organizacije koja se bavi isklju ivo obnovljivom energijom i iji je cilj da podstakne upotrebu tih izvora energije u svetu.

Radi o uvanja životne sredine, tendencija globalne energetike je da se sve više oslanja na obnovljive izvore, a sve manje na iscrpive resurse. Na osnovu statistike „zelenog“ energetskog sistema Srbije, obnovljivi energetski potencijali su najviše koriš eni u hidrotokovima dok su preostali obnovljivi izvori još uvek u fazi razvoja. Uvo enjem principa „ istije“ i štedljivije proizvodnje energeta, razvija se i koristi sve efikasnija oprema i tehnologija, podstti u se projekti širokog spektra primene, od malih doma instava koji se priklju uju na distributivnu mrežu do kapaciteta industrijskih razmara. Strateški nacionalni ciljevi su da se raspoloživi obnovljivi resursi koriste u proizvodnji elektri ne energije, u toplanama i finalnoj potrošnji, kao i u saobra aju.

## 2.3 Uskla ivanje zakonske regulative Srbije sa EU

Pristupanje Evropskoj uniji može se posmatrati kao proces uskla ivanja doma ih propisa i njihove primene sa pravnim tekovinama EU, odnosno kao prilago avanje unutrašnjih odnosa doma e infrastrukture standardima koji su usvojeni u EU. Stoga su potrebne promene u doma em pravnom okviru, u odre enim modelima ponašanja komercijalnih i društvenih odnosa kao i promene u fizi koj infrastrukturi.

EU propisuje odgovaraju e promene u pravnom okviru u oblasti energetike. Prilago avanje doma eg prava pravnom okviru EU može se smatrati harmonizacijom doma eg prava u odnosu na pravo energetike Evropske unije. Me utim, pored neposrednih propisa koje je donela EU postoje i propisi koji su šireg me unarodnog karaktera, koji se tako e smatraju sastavnim delom evropskog pravnog okvira. Drugim re ima, o ekuje se da država kandidat za lanstvo u EU sagleda i primeni i pomenute me unarodne standarde, da ih uvede u svoj unutrašnji pravni sistem i obezbedi njihovu primenu.

Veliki zna aj imaju odgovaraju i propisi i konvencije Ujedinjenih nacija kao i evropske organizacije koje imaju šire lanstvo od neposrednog lanstva EU. Bitno je pomenuti Ugovor o energetskoj povelji (The Energy Charter Treaty), Organizaciju za ekonomsku saradnju i razvoj (Organization for Economic Co-operation and Development – OECD) i Me unarodnu agenciju za energiju (International Energy Agency – IEA). Tokom godina delovanja Komisije Ujedinjenih nacija za Evropu (United Nation Economic Commission for Europe UNECE), nastali su brojni standardi i konvencije koji su su mahom prihva eni od svih država lanica EU i transponovani u njene propise.

Ratifikacijom Ugovora o osnivanju energetske zajednice 2006., Srbija je prihvatile obavezu da primeni evropske direktive u oblasti obnovljivih izvora energije. Direktivom EU o obnovljivoj energiji iz 2009. postavljeni su obavezuju i ciljevi za lanice EU kako bi se obezbedilo da do 2020. godine obnovljiva energija ini 20% ukupne potrošnje energije u Evropskoj uniji. To ne zna i da e sve lanice morati da ostvare taj ideo ve se obra un vrši na osnovu podataka o u eš u u 2005. godini uz koeficijent uve anja od 5%, ali se pritom uzima u obzir i bruto doma i proizvod (BDP), što zna i da e ekonomski najja e zemlje imati i zahtevnije ciljeve. Ciljevi za zemlje Energetske zajednice se utvr uju na osnovu podataka iz 2008. godine.

Utvr ivanje po istoj metodi cilja u eš a obnovljivih izvora energije u potrošnji za 2020. i njegovo ostvarivanje predstavlja poseban izazov za Srbiju, jer je, prema prvobitnom izveštaju gr kog Centra za obnovljive izvore energije i uštedu (CRES), ideo obnovljivih izvora energije u Srbiji iznosio ak 25%. Prema ranijim statisti kim podacima srpskih institucija, taj ideo je bio 14%, ali istraživanja nisu obuhvatala sve aspekte potrošnje biomase zbog ega su podaci bili nepotpuni. Nacrt završnog izveštaja CRES-a koji je na jesen 2011. dostavljen nadležnim vlastima u Srbiji je, me utim, bio više u skladu sa procenama srpskih vlasti o udelu obnovljivih izvora energije, odnosno nešto niži u odnosu na prvobitni izveštaj [7].

Radna grupa Energetske zajednice jugoisto ne Evrope prihvatile je 6. decembra 2011. da ideo energije iz obnovljivih izvora iznosi 21.2% u ukupnoj potrošnji energije u Srbiji, odnosno da to bude osnovica za utvr ivanje obaveze Srbije za pove anje u eš a obnovljivih izvora energije u potrošnji do 2020. Na osnovu toga, Srbija je preuzeila obavezu da do 2020. godine pove a ideo energije iz obnovljivih izvora u ukupnoj potrošnji sa sadašnjih 21.2 na 27% [8].

Direktiva EU tako predvi da do 2020. godine koriš enje obnovljive energije u transportu iznosi najmanje 10% od ukupne potrošnje goriva u Evropskoj uniji. Kako je najavljen, Srbija e u okviru Energetske zajednice zahtevati da se ta obaveza smanji sa 10 na 6.5% zbog kraeg vremenskog perioda za ostvarivanje cilja u odnosu na lanice EU [7].

Nova direktiva EU predvi mere za saradnju sa potpisnicima Ugovora o energetskoj zajednici nakon primene direktive, ali su i pre toga predvi eni odre eni podsticaji. Direktiva omoguava saradnju lanica EU u zajedni kim projektima sa zemljama koje nisu u EU i pruža mogu nost da se uvezena obnovljiva energija uklju i u dostizanje nacionalnih obavezuju ih ciljeva.

Prema Nacionalnom akcionom planu za obnovljive izvore energije u Srbiji, da bi se do 2020. godine ostvario cilj od 27% udela obnovljivih izvora energije potrebno je izgraditi 1.092 megavata novih kapaciteta za proizvodnju elektri ne energije, što zahteva ulaganje od dve milijarde evra u narednih sedam godina [5].

Akcioni plan, koji je predstavljen u februaru 2013., predvi da do 2020. u pogonu budu objekti snage 500 megavata za proizvodnju struje iz vetra, 438 megavata mini hidroelektrana, 100 megavata elektrana na biomasu, 30 megavata na biogas, po 10 megavata na deponijski gas i sun evu energiju, tri megavata za elektrane na otpad i jedan megavat na geotermalnu energiju. Prema planu, u eše obnovljivih izvora u sektoru elektri ne energije trebalo bi da se pove a sa sadašnjih 29% na 37% do 2020. godine, u energiji za grejanje i hla enje sa 26 na 30%, i u sektoru saobra aja kroz upotrebu biogoriva sa sadašnjih nula na 10% [5].

U cilju uskla ivanja sa ciljevima EU do 2020. u oblasti obnovljivih izvora energije i energetske efikasnosti Elektroprivreda Srbije (EPS) je u maju 2011. objavila strateški dokument, Belu knjigu, koja sadrži pregled obaveza i planiranih aktivnosti. Procenjuje se da e za realizaciju tih planova biti potrebno približno etiri milijarde evra. U oblasti obnovljivih izvora energije EPS planira izgradnju i revitalizaciju 35 malih hidroelektrana i u tom cilju je sa Ministarstvom poljoprivrede potpisana Protokol o saradnji u realizaciji projekata energetske efikasnosti i koriš enja obnovljivih izvora energije. EPS planira i ulaganje u vetroparkove i solarne elektrane [9].

Vlada Srbije je 2010. godine usvojila Akcioni plan za biomasu kojim su obuhvatele procedure za investicije, utvr eni problemi i predložena rešenja i rokovi, kao i nadležne ustanove. Me utim, za bilo kakvo delovanje i preduzimanje koraka bilo je klju no utvr ivanje stvarne potrošnje biomase i utvr ivanje obaveze o udelu obnovljivih izvora energije prema propisima EU. U Srbiji, kao i u Evropi, osnovni problem pri koriš enju biomase jeste dugoro no snabdevanje.

Pridruživanje EU u sektoru energije, uklju uju i realizaciju zacrtanih ciljeva evropske energetske politike je verovatno najsloženije, kako finansijski i pravno, tako i u smislu infrastrukture i drugih neophodnih resursa. Srbija je donošenjem novih zakonskih i podzakonskih akata u oblasti energetike napravila zna ajan iskorak u pogledu približavanja zakonodavstva normama Evropske unije, ali je i dalje prisutan visok nivo zavisnosti Srbije od uvoza energenata kao i neracionalno i neplansko koriš enje svih prirodnih resursa i vidova energije. Raznolikost mera podsticaja govori u prilog injenici o motivisanosti zemalja Evrope da u bliskoj budu nosti obezbede konkurentnost obnovljivih izvora energije i na taj na in podstaknu energetsku efikasnost i obim koriš enja obnovljivih izvora.

## LITERATURA

- [1] <http://eur-lex.europa.eu> (21.11.2015.)
- [2] \*\*\*, 2009. Directive 2009/28/EC of the European Parliament and of the Council of 23 April 2009 on the promotion of the use of energy from renewable sources and amending and subsequently repealing Directives 2001/77/EC and 2003/30/EC (1). Official Journal of the European Union 52(L 140): 16–62.
- [3] \*\*\*, 2006. COM documents other than legislative proposals adopted by the Commission. Official Journal of the European Union 49 (C 49): 23–34.
- [4] \*\*\*, 2006. COM documents other than legislative proposals adopted by the Commission. Official Journal of the European Union 49 (C 67): 32–33.
- [5] [www.merz.gov.rs](http://www.merz.gov.rs) (23.11.2015.)
- [6] \*\*\*, 2011. Vodi za učešće javnosti u oblastima energetike i klimatskih promena, Projekat Evropske Unije „Uključivanje organizacija civilnog društva u proces donošenja energetskih i klimatskih politika na lokalnom nivou“.
- [7] Karakosta C, Doukas H, Flouri M, Dimopoulou S, Papadopoulou A. G, Psarras J. 2011. Review and analysis of renewable energy perspectives in Serbia. International Journal of Energy and Environment 2(1): 71–84.
- [8] Ministarstvo infrastrukture i energetike Republike Srbije. 2012. Izveštaj o realizaciji prvog Nacionalnog akcionog plana energetske efikasnosti u periodu od 2010. do 2011. godine
- [9] Marković D, Čepirković B, Vlajić A, Resl S. 2011. Bela knjiga Elektroprivrede Srbije. JP „Elektroprivreda Srbije“, Beograd.

### 3. KARAKTERISTIKE DRVNE BIOMASE KAO GORIVA

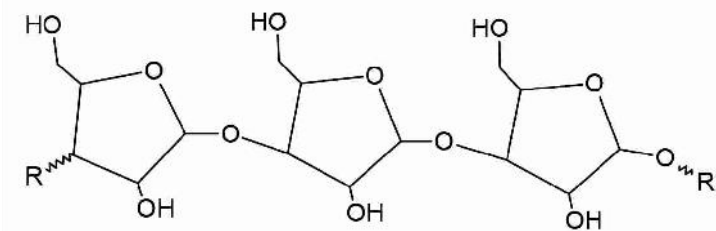
Osnovne karakteristike pri upotrebi drvne biomase kao energenta iste su kao kod svakog goriva i podrazumevaju: hemijski sastav, rezultate tehnike i elementarne analize, sadržaj isparljivih materija, toplotnu moć, sadržaj vlage, gustinu, raspodelu veličine estica, sadržaj i karakteristike pepela, temperature paljenja, samozapaljenja i sagorevanja.

#### 3.1. Sastav drvne biomase kao goriva

Osnovne strukturne komponente drvne biomase su celuloza, hemiceluloza i lignin, koji čine 99% drvne materije. Celulozu i hemicelulozu čine dugački lanci ugljenih hidrata, dok je lignin veoma složena komponenta sa injenom fenolnih polimera [1]. Lignin je bogat ugljenikom i vodonikom, koji predstavljaju osnovne elemente za proizvodnju toplove. Stoga, toplotna moć lignina je veća u odnosu na toplotnu moć celuloze i hemiceluloze. Drvna biomasa sadrži i ekstraktivne materije, kao što su terpeni, lipidi i fenoli. Količina ekstraktivnih materija je znatno veća u listi i kori drveta, dok je u samom drvetu veoma mala [1].

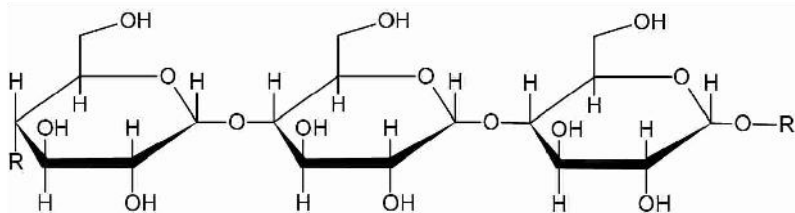
Hemiceluloza obuhvata kompleksne polimere koji su osnovni lanac čineksilani, glukomanani i galaktani, a bočni lanci su galaktoza, arabinoza i razne uronske kiseline. Ksilani su linearni polimeri koji se sastoje od D-ksiloze, odnosno pentoz, dok su glukomanani linearni polimeri koji se sastoje od dve heksoze i to D-glukoze i D-manoze. Galaktani su linearni polimeri koji se sastoje od heksoze, odnosno D-galaktoze. U osnovnim molekulskim lancima šećeri su vezani β-1,4 vezama, kao i kod celuloze, te se lanci ne uvijaju, nego ostaju linearni. Bočni lanci su vezani na svaki drugi ili treći molekul šećera u polimeru. Sastav šećera u makromolekulu hemiceluloze zavisi od njenog porekla.

Smatra se da je hemijska formula hemiceluloze  $C_5H_{10}O_5$ . Slika 3.1. prikazuje D-ksilozu ( $C_5H_{10}O_4$ ) koja je prisutna u lancima hemiceluloze [2]. Hemiceluloza čini 15-25% drvne biomase, rastvorljiva je u bazama i lakše hidrolizuje u odnosu na celulozu. Rastvorljivost hemiceluloze takođe se koristi za izolovanje iz uzorka biomase, kako bi se odredio udjel ostalih komponenata. Sa stanovišta kinetike, hemiceluloza je manje stabilna od celuloze, prema Frassoldati et al. [3], stoga se razlaže ranije, odnosno pri nižoj temperaturi u poređenju sa celulozom.



Slika 3.1. D ksiloza [2]

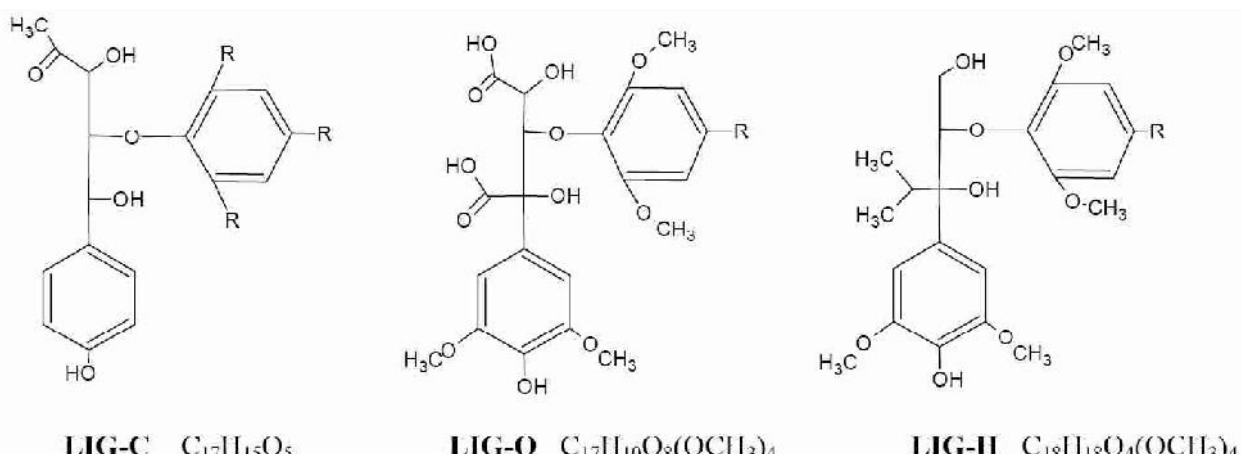
Hemijska formula celuloze (slika 3.2.) je  $C_{6}H_{10}O_5$ . Po hemijskom sastavu je poliglukan razli ite dužine lanaca kod koga su molekuli glukoze vezani  $\beta$ -1,4 glikozidnom vezom. Makromolekul celuloze je linearan i ne obrazuje spiralne oblike, ve fibrile i kristale nerastvorljive u vodi i u skoro svim vodenim rastvorima.  $\beta$ -glukozni lanci su postavljeni paralelno jedan prema drugom. Iako svaki lanac može biti nekoliko hiljada jedinica dug, oni po inju i završavaju se na razli itom mestu tako da su mikrofibrili veoma dugi i mogu da se obmotaju oko svake elije.



Slika 3.2. Celuloza [2]

Celuloza ini 40-50% drvne biomase. Karakteriše je nerastvorljivost u veini rastvara a, što se ponekad koristi pri odvajanju razli itih komponenata biomase. Lanci celuloze povezani su na isti na in kao i kod hemiceluloze, ali zbog razli ite strukture, potrebna je vea sila za kidanje veza lanaca celuloze. Usled toga se transformacija celuloze dešava pri veoj temperaturi, približno pri  $350^{\circ}\text{C}$  [4].

Lignin se sastoji iz više razli itih jedinjenja ugljenika. Imava u energetsku vrednost u odnosu na ostale komponente drvne biomase. Ugljenik ini 60% mase lignina, dok kiseonik ini približno 30%. Hemiceluloza i celuloza imaju udeo ugljenika manji od 50%, dok udeo kiseonika dostiže skoro 50%. U drvnoj biomasi, 15-30% mase ini lignin. Lignin karakteriše amorfna struktura i visok stepen unakrsne povezanosti, bez jasno definisanog ure enja i ponavljanja jedinica. U amorfnoj strukturi lanci nisu paralelni ve se obavijaju jedni oko drugih. Usled velikih razlika izme u lanaca lignina, temperaturski opseg termi kog razlaganja je ve i u odnosu na druge komponente. Postoje tri razli ita modela koji karakterišu strukturu lignina, što je prikazano na slici 3.3. Struktura lignina zavisi od vrste biomase. Termi ko razlaganje lignina odvija se pri temperaturi od približno  $390^{\circ}\text{C}$  [4]. Celulozna vlakna obavijena su ligninom, koji je otporan na hidrolizu zbog svoje nepravilne hemijske strukture.



Slika 3.3. Lignin [2]

Elementarni hemijski sastav drveta zavisi od vrste drveta, starosti drveta, dela drveta odakle se uzima uzorak. U pore enju sa mnogim drugim gorivima, drvo ima relativno nizak sadržaj ugljenika (približno 50% suve drvne biomase) i visok sadržaj kiseonika (esto više od 40%) što dovodi do relativno male toplotne mo i po jedinici suve mase [5]. U tabeli 3.1. dati su podaci za masene udele ugljenika, kiseonika i vodonika za najzastupljenije vrste drveta u Vojvodini.

Tabela 3.1. Elementarni hemijski sastav nekih vrsta drveta [6]

Vrsta drveta	Ugljenik, C (maseni udeo, %)	Kiseonik, O (maseni udeo, %)	Vodonik, H (maseni udeo, %)
Bukva	48.5	45.2	6.4
Hrast	49.4	44.5	6.1
Topola	49.7	44.0	6.3
Jela	50.0	43.6	6.4
Smr a	49.6	44.0	6.4

Pored elementarne analize biogoriva, koja je važna za sagledavanje hemijskog sastava, da bi se ocenila mogu nost primene goriva, neophodno je izvršiti i tehni ku analizu. Pod tehnikom analizom se prevashodno podrazumeva odre ivanje: koliki ne isparljivih delova biogoriva, gornje i donje toplotne mo i goriva, sadržaja vlage i pepela.

Drvna biomasa, kao i svako prirodno gorivo, sastoji se od ugljenika (C), vodonika (H), azota (N), sumpora (S), kiseonika (O), mineralnih materija (A) i vlage (W). Mineralne materije u procesu sagorevanja stvaraju pepeo, pa se esto i pre sagorevanja nazivaju pepelom, što nije sasvim precizno, jer se sastav mineralnih materija pre i posle sagorevanja znatno razlikuje.

U sastav goriva ulaze organska masa i takozvani balast. Pod organskom masom se podrazumeva deo goriva stvoren od organskih materija koje ine njegovu osnovu. Organsku masu goriva ine ugljenik, vodonik, azot i kiseonik. Balast je deo goriva unet u materiju pretežno u procesu njene transformacije i ine ga sumpor, mineralne primeuse i vlaga.

Gorivo koje sagoreva u kotlovima ili pe ima naziva se radnim gorivom. Ako se odredi njegova elementarna analiza dobija se [7]:

$$C + H + O + N + S + A + W = 100\%, \quad (3.1)$$

gde su:

$C, H, O, N, S, A$  i  $W$  maseni udeli ugljenika, vodonika, kiseonika, azota, sumpora, pepela i vlage u radnoj masi goriva, izraženi u %.

Elementarna analiza suvog goriva ( $W = 0$ ) definisana je izrazom [7]:

$$C^s + H^s + O^s + N^s + S^s + A^s = 100\%, \quad (3.2)$$

gde su:

$C^s, H^s, O^s, N^s, S^s$  i  $A^s$  maseni udeli ugljenika, vodonika, kiseonika, azota, sumpora i pepela u suvoj masi goriva, izraženi u %.

Elementarna analiza sagorljive mase goriva određena je izrazom [7]:

$$C^g + H^g + O^g + N^g + S^g = 100\%, \quad (3.3)$$

gde su:

$C^g, H^g, O^g, N^g$  i  $S^g$  maseni udeli ugljenika, vodonika, kiseonika, azota i sumpora u sagorljivoj masi goriva, izraženi u %.

Elementarna analiza organske mase goriva data je izrazom [8]:

$$C^o + H^o + O^o + N^o = 100\%, \quad (3.4)$$

gde su:

$C^o, H^o, O^o$  i  $N^o$  maseni udeli ugljenika, vodonika, kiseonika i azota u organskoj masi goriva, izraženi u %.

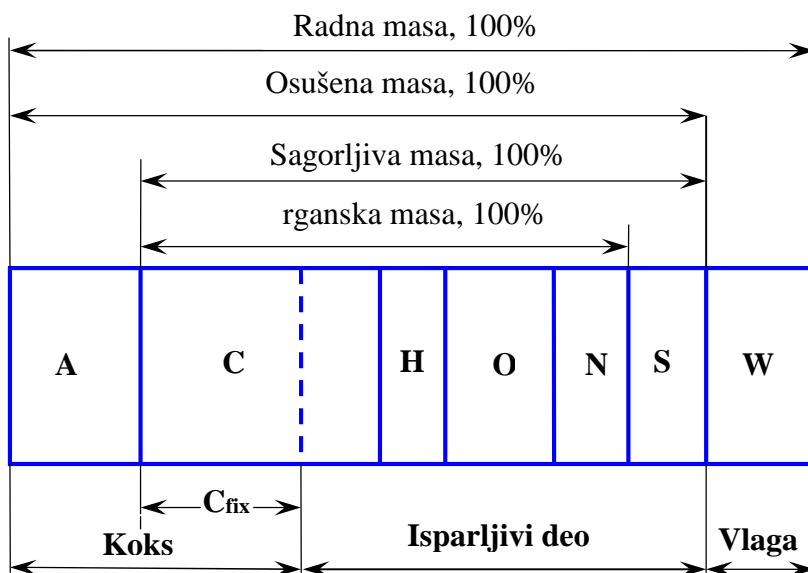
Prera unavanje pojedinih elemenata sa jedne mase na drugu vrši se pomoću obrazaca prikazanih u tabeli 3.2.

Tabela 3.2. Faktori konverzije za elementarne analize

Zadata masa goriva	Tražena masa goriva			
	Organska	Sagorljiva	Osušena	Radna
Organska	1	$\frac{100 - S^g}{100}$	$\frac{100 - (S^s - A^s)}{100}$	$\frac{100 - (S + A + W)}{100}$
Sagorljiva	$\frac{100 - S^g}{100}$	1	$\frac{100 - A^s}{100}$	$\frac{100 - (A + W)}{100}$
Osušena	$\frac{100}{100 - (S^s + A^s)}$	$\frac{100}{100 - A^s}$	1	$\frac{100 - W}{100}$
Radna	$\frac{100}{100 - (S + A + W)}$	$\frac{100}{100 - (A + W)}$	$\frac{100}{100 - W}$	1

Sadržaj isparljivih materija ili volatila (VM) ima veliki značaj pri oceni kvaliteta goriva. Ako se gorivo zagreva bez prisustva vazduha, pri visokim temperaturama (u granicama od 200 do 800 °C) dođe do izdvajanja gasova kao što su vodonik, metan, teški ugljovodonici, oksidi ugljenika, malo sumpora, ugljene kiseline, katran i drugo. Navedene materije se zovu isparljive materije i rađaju se u sagorljivoj masi. Sadržaj volatila, kao i temperatura pri kojoj se izdvajaju zavisi od geološkog porekla goriva. Što je gorivo starije, to je sadržaj volatila manji i viša je temperatura pri kojoj se izdvajaju. Isparljive materije u drvetu su uglavnom lakši ugljovodonici. Maseni udio volatila u drvetu određuje se merenjem vrstog ostatka nakon sedmominsutnog zagrevanja uzorka drveta u peći, na temperaturi od 900 °C bez prisustva kiseonika. Srednji maseni udio volatila u domaćim vrstama drveta je oko 75%, vrstog (koksnog) ostatka od 15% do 20%, a pepela do 0.6% [6]. Navedene vrednosti se razlikuju u zavisnosti od vrste drveta i dela stabla odakle se uzima uzorak. Ostatak vrste mase posle isparavanja volatila naziva se koks i sastoji se od takozvanog fiksnog ugljenika ( $C_{fix}$ ) i mineralnih primesa pepela.

Na slici 3.4. je radi preglednosti, grafički prikazan sastav goriva sa svim navedenim masama.



Slika 3.4. Grafički prikaz analize sastava drvne biomase

Ugljenik (C) je osnovni element organske i sagorljive mase vrstog i te nog goriva. Udeo ugljenika u organskoj masi goriva kreće se od 50 do ak 94% u zavisnosti od vrste goriva. Pri potpunom sagorevanju ugljenika nastaje ugljen dioksid ( $\text{CO}_2$ ) pri emu se osloba a toplota od približno 33900 kJ/kg. Pri nepotpunom sagorevanju ugljenika stvara se ugljen monoksid (CO) pri emu se osloba a znatno manja koli ina toploote (približno 10200 kJ/kg). Ugljenik se u gorivu nalazi u složenim organskim jedinjenjima sa kiseonikom, azotom, vodonikom i sumporom [7].

Vodonik (H) je sastavni deo svakog goriva i predstavlja korisnu komponentu ukoliko se pojavljuje u sklopu ugljovodonika ( $\text{C}_m\text{H}_n$ ) ili kao slobodan ( $\text{H}_2$ ). Ako se vodonik pojavljuje sjedinjen sa kiseonikom u vodi ( $\text{H}_2\text{O}$ ), onda predstavlja balast u gorivu, pošto se za isparavanje 1 kg vode pri atmosferskom pritisku troši približno 2500 kJ/kg. Pri potpunom sagorevanju 1 kg vodonika osloba a se koli ina toploote od 143200 kJ/kg ako se produkt sagorevanja (voda) nalazi u te noj fazi, odnosno 119600 kJ/kg ako se nalazi u parnoj fazi [7].

Kiseonik (O) je nepoželjan sastojak goriva. Pošto nije sagorljiv, a vezuje se za ugljenik i vodonik iz goriva, kiseonik smanjuje koli inu toploote oslobo enu pri sagorevanju.

Azot (N) je element koji predstavlja unutrašnji balast goriva, jer svojim prisustvom smanjuje procenat sagorljivih elemenata. Pri sagorevanju goriva azot se izdvaja u slobodnom stanju i udaljava se sa gasovitim produktima sagorevanja. Međutim, pri visokim temperaturama sagorevanja azot se jedini sa kiseonikom u azotne okside ( $\text{NO}_x$ ) koji su veoma toksi ni.

Sumpor (S) se u gorivu nalazi u dva oblika: organskom i neorganskom. Neorganski sumpor može da bude piritni ili sulfatni, pa je ukupan sumpor zapravo zbir organskog, piritnog i sulfatnog sumpora. Organski sumpor ulazi u sastav složenih visokomolekularnih organskih jedinjenja goriva. Piritni sumpor se nalazi u jedinjenjima sa metalima, pre svega sa gvožđem ( $\text{FeS}_2$ ) i spada u mineralni deo goriva. Organski i piritni sumpor sagorevaju i ine sagorljivi deo ukupnog sadržaja sumpora. Sulfatni sumpor ulazi u mineralni deo goriva u vidu sulfata  $\text{CaSO}_4$  i  $\text{FeSO}_4$  i zato u procesu dalje ne oksidiše. Sulfatna jedinjenja pri sagorevanju prelaze u pepeo. Sagorljivi sumpor pri oksidaciji stvara  $\text{SO}_2$  uz osloba anje toploote od približno 10500 kJ/kg, a ako oksidiše u  $\text{SO}_3$ , osloba a toplotu od približno 13800 kJ/kg. Sumpor trioksid ( $\text{SO}_3$ ) predstavlja anhidrid sumporne kiseline, koja, u određenoj koncentraciji, vrlo agresivno deluje na metal. Zbog toga sumpor predstavlja nepoželjan sastojak goriva, bez obzira na to što je sagorljiv [7].

Mineralne materije (A) predstavljaju balast goriva. Prisustvo mineralnih materija smanjuje sadržaj sagorljivih sastojaka goriva, smanjuju i na taj način i njegovu topotnu moć. Sastojci pepela, tj. mineralnih materija posle sagorevanja su silikati (pesak, kvarc) -  $\text{SiO}_2$ , oksidi metala ( $\text{Al}_2\text{O}_3$  - glina,  $\text{Fe}_2\text{O}_3$ ), sulfidi ( $\text{FeS}_2$ ), karbonati ( $\text{CaCO}_3$ ,  $\text{MgCO}_3$ ), sulfati ( $\text{CaSO}_4$ ,  $\text{MgSO}_4$ ), kalcijumovi, magnezijumovi, natrijumovi, kalijumovi i titanovi oksidi ( $\text{CaO}$ ,  $\text{MgO}$ ,  $\text{Na}_2\text{O}$ ,  $\text{K}_2\text{O}$ ,  $\text{TiO}_2$ ), sumpor trioksid ( $\text{SO}_3$ ) i drugi.

Najčešći elementi koji ostaju u pepelu su: kalijum, natrijum i magnezijum koji imaju od 0.5 do 4% mase drveta [6]. U kori ima više mineralnih materija nego u samom drvetu. Razlike od uzorka do uzorka su velike, jer na koli inu i sastav mineralnih materija značajno utiče stanište, odnosno sastav zemljišta na kome je drvo raslo. U tabeli 3.3. dati su okvirni maseni udeli mineralnih materija u drvnoj biomasi. Navedeni podaci su važni pri izboru ložišta kotla namenjenog za termohemijsku konverziju drvne biomase.

Tabela 3.3. Maseni udeo mineralnih materija u absolutno suvom drvetu [6]

Vrsta drveta	Maseni udeo, %						
	K <sub>2</sub> O	Na <sub>2</sub> O	MgO	CaO	P <sub>2</sub> O <sub>3</sub>	SO <sub>3</sub>	SiO <sub>2</sub>
Bukva	0.09	0.02	0.06	0.31	0.03	0.01	0.03
Hrast	0.05	0.02	0.02	0.37	0.03	0.02	0.01
Bor	0.04	0.04	0.03	0.14	0.02	0.01	0.04

Vлага predstavlja štetnu komponentu goriva. Pored toga što smanjuje sadržaj sagorljivih materija, vлага ima značajan uticaj na donju toplotnu moć koja se postiže pri procesima termohemijiske konverzije. Naime, voda koja isparava troši energiju iz termohemijiskog procesa (približno 2500 kJ/kg), smanjujući tako donju toplotnu moć goriva (slika 3.5.). Sadržaj vlage izražava se u vidu masenog udela u vlažnoj osnovi.

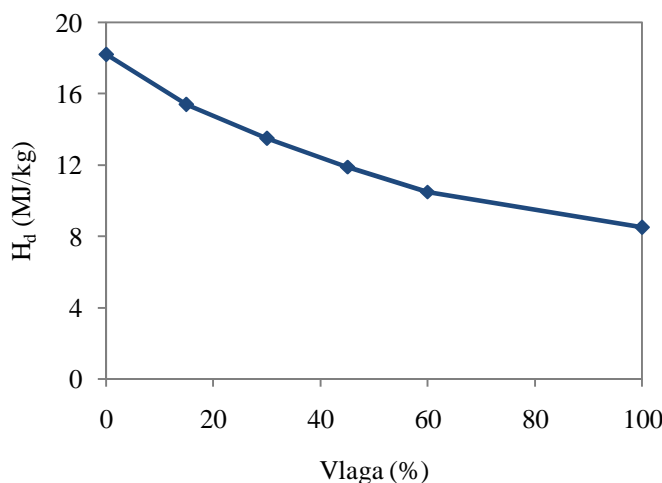
Relativno udeo vlage u drvetu se razvija u odnosu na absolutno suvu materiju [5]:

$$W = \frac{(m_{vl} - m_s)}{m_s} \cdot 100 \quad (\%) , \quad (3.5)$$

gdje su:

$m_{vl}$  masa vlažnog drveta, (kg)

$m_s$  masa absolutno suvog drveta osušenog na temperaturi od 103 °C, (kg) .



Slika 3.5. Uticaj sadržaja vlage na toplotnu moć drvene biomase [9]

Sadržaj vlage u drvnoj biomasi znatno varira i na njega utiču, između ostalih i sledeći parametri:

- klimatski uslovi
- godišnje doba
- vrsta drveta
- deo stabla
- faza skladištenja [1].

Prema sadržaju vlage u drvetu postoji podela na: suvo drvo sa 10-20% vlažnosti, polusuvo drvo sa 20-35% vlažnosti i sirovo ili vlažno drvo sa vlažnošću od preko 35% [6]. Tokom termohemijskih procesa konverzije, za isparavanje vlage se troši značajan deo oslobodene toplote usled čega se smanjuje toplotna mogaćnost drveta, smanjuje energetska efikasnost postrojenja za termohemiske proceze konverzije i povećava emisiju štetnih gasova u atmosferu.

Ukoliko maseni udio vlage iznosi 70 do 80%, energetska vrednost drvne biomase ne može da podrži procese termohemiske konverzije. U tabeli 3.4. prikazana je vlažnost različitih vrsta drvne mase, na osnovu podataka koje su prikazali Brkić i ostali [6].

Tabela 3.4. Vlažnost različitih vrsta drvne mase [6]

Vrsta drvne biomase		Vlažnost (maseni udio, %)
Šumski ostaci		40 60
Ostaci u pilani		40 50
Furnirski ostaci	Mokri tretman	60 70
	Suvi tretman	8 10
Ostaci pri izradi ploča i iverica		7 9
Ostaci u finalnoj preradi	Proizvodnja nameštaja	6 9
	Proizvodnja građevinske stolarije	~ 12

### 3.2. Toplotna mogaćnost drvne biomase

Osnovna veličina za proračun energije iz određene količine drveta jeste njegova toplotna mogaćnost. Najveći uticaj na toplotnu mogaćnost ima vлага (vlažnost, sadržaj ili udio vlage), potom hemijski sastav, gustina i zdravost drveta. Trebalo bi uvrdati i vrstu drveta, radi određivanja njegove toplotne vrednosti, da li je listopadno ili etinarsko, odnosno tvrdo ili meko, jer je udio pojedinih sastojaka pri tome različit, kao i materija koja se može koristiti kao gorivo.

Upotrebljiva vrednost drveta kao goriva može se dobro proceniti ukoliko se zna ili može izračunati njegova gornja toplotna mogaćnost. U tabeli 3.5. prikazane su gornje toplotne mogaćnosti i količina domaćih vrsta drveća.

Tabela 3.5. Gornje toplotne mogaćnosti i količina nekih domaćih vrsta drveća [6]

Vrsta drveta	Gornja toplotna mogaćnost (MJ/kg)	
	Drvo	Kora
Bukva	18.82	18.00
Hrast	18.36	19.70
Crna topola	17.26	18.00
Smrča	19.66	21.20
Jela	19.46	21.00
Bor	21.21	20.62

Iz tabele 3.5. može se primetiti da se gornja toplotna mogaćnost razlikuje, što je i očekivano, usled razlika u udelu osnovnih komponenata i ekstraktivnih materija. Opšte gledano, etinari imaju veću toplotnu mogaćnost od listopadnog drveća, što se može objasniti većom količinom smolastih materija i lignina u drvetu.

Donja i gornja toplotna mo goriva mogu se izra unati kada je poznat elementarni hemijski sastav. Donja toplotna mo goriva,  $H_d$  realnije odražava energetski potencijal goriva u odnosu na gornju toplotnu mo i izra unava se uz pomo posebno prilago enog obrasca [8]:

$$H_d = 33900 \cdot C + 121400 \cdot \left( H - \frac{O}{8} \right) + 10460 \cdot S - 2510 \cdot W \quad (\text{kJ/kg}), \quad (3.6)$$

gde su:

$C$ ,  $H$ ,  $O$ ,  $S$  i  $W$  – maseni udeli ugljenika, vodonika, kiseonika, sumpora i vlage u drvetu, ( $\text{kg/kg}$ ).

Veza izme u gornje i donje toplotne mo i kod vrstih goriva može se predstaviti slede im izrazom [8]:

$$H_g = H_d + 2500 \cdot (9 \cdot H + W) \quad (\text{kJ/kg}), \quad (3.7)$$

gde su  $W$  i  $H$  maseni udeli vlage i vodonika u gorivu ( $\text{kg/kg}$ ).

Uticaj balasta (masenih udela pepela i vlage) na donju toplotnu mo vlažnog goriva može se proceniti pomo u izraza:

$$H_d = H_d^g \cdot (1 - A - W) - 2500 \cdot W \quad (\text{kJ/kg}), \quad (3.8)$$

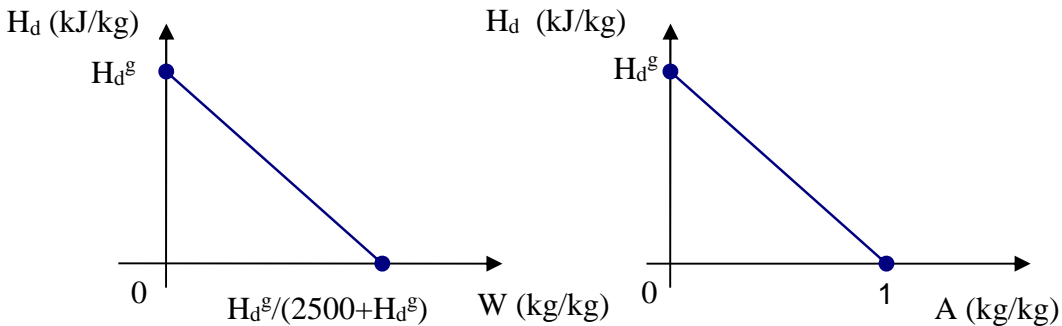
gde je  $H_d^g$  donja toplotna mo sagorljive mase goriva.

Definisanjem grani nih uslova  $A = 0$  i  $W = 0$  pri  $H_d^g = \text{const.}$  jedna ina (3.8) transformiše se u jedna ine:

$$\frac{\frac{W}{H_d^g} + \frac{H_d}{H_d^g}}{2500 + H_d^g} = 1, \quad (3.9)$$

$$\frac{A}{1} + \frac{H_d}{H_d^g} = 1, \quad (3.10)$$

iji grafici predstavljaju opadaju u linearu funkciju, kao što je prikazano na slici 3.6. Može se uo iti smanjenje donje toplotne mo i goriva sa pove anjem masenih udela vlage i pepela.



Slika 3.6. Zavisnost donje toplotne moći goriva od masenog udela vlage i pepela

Tabela 3.6. prikazuje uobičajene vrednosti donje toplotne moći različitih vrsta goriva.

Tabela 3.6. Toplotne moći različitih vrsta goriva [5]

Vrsta goriva	Donja toplotna moć (kJ/kg)
Slama	15827
Drvo	18600
Drveni ugalj	30100
Mrki ugalj	22500
Kameni ugalj	32500
Koks	28800
Ulje za loženje	
lako	42080
teško	41780
Benzin	42040

Na tehničke karakteristike (toplota moći i brzinu sagorevanja) drveta utiče njegova gustina. Sa povećanjem gustine drveta povećava se toplotna moć, dok se brzina sagorevanja smanjuje. Na gustinu drveta utiče vrsta i starost drveta, deo drveta (stablo, grane, koren, lišće itd.) i vreme sezone (period vegetacije, zima ili leto). Gustina drveta se kreće u granicama od 550 do 900 kg/m<sup>3</sup>, što se može videti u tabeli 3.7.

Tabela 3.7. Gustina različitih vrsta drveta [9]

Vrsta drveta	Prose na donja toplotna moć (kJ/kg)	Prose na gustinu drveta (kg/m <sup>3</sup> )
Bukva	18820	720
Hrast	18360	690
Crna topola	17260	450
Smrka	19660	470
Jela	19460	450
Bor	21210	520

### 3.3. Pore enje rezultata elementarne i tehni ke analize sa literaturnim podacima

Drvna biomasa predmet je istraživanja u mnogim nau nim publikacijama. Rezultati elementarne i tehni ke analize drvne biomase razli itih autora prikazani su u tabeli 3.8.

Tabela 3.8. Elementarna i tehni ka analiza razli itih vrsta drvne biomase

Literatura	Elementarna analiza					Tehni ka analiza				
	C	H	N	S	O	W	VM	A	C <sub>fix</sub>	H <sub>d</sub>
	(maseni ideo, %)					(maseni ideo, %)				(kJ/kg)
Drvna piljevina [10]	46.20	5.10	1.50	0.06	35.40	10.40	70.40	1.30	17.90	16226.49
Iverica [11]	45.01	6.25	0.09	0.01*	40.94	7.45	75.08	0.25	17.22	16447.30
Drvo eukaliptusa [12]	38.49	4.86	0.25	0.00	37.19	16.40	62.99	2.81	17.81	12982.93
Šumski ostaci [13]	49.27	5.72	0.28	0.08	37.15	7.32	73.96	0.18	18.54	17833.73
Strugotina bora [14]	44.05	6.20	0.16	0.00	42.65	6.69	80.23	0.25	12.84	15819.69
Drvni ostatak [15]	43.53	5.71	0.39	0.00	40.80	7.94	75.65	1.63	14.79	15297.92
Drvna strugotina [15]	30.79	3.97	0.13	0.00	29.95*	34.90	51.60	0.26	13.30	9836.49
Kora bora [16]	48.02	5.17	0.43	0.00	42.12*	3.00	69.84	1.26	25.87	16098.40
Hrast [16]	47.06	5.67	0.28	0.09	39.90	6.50	73.00	0.50	20.00	16628.16
Piljevina hrasta [17]	44.19	5.20	0.09	0.01	38.72	11.5	76.30	0.30	11.90	15129.85
Piljevina bora [17]	43.15	5.08	0.08	0.01	36.28	15.30	70.40	0.10	14.20	14906.50
Jela [17]	48.53	5.66	0.28	0.09	38.24	6.70	75.70	0.50	17.10	17361.23
Topola [17]	47.06	5.56	0.55	0.02	38.01	6.80	79.70	2.00	11.50	16766.57
Vrba [17]	44.07	5.40	0.53	0.05	38.45	10.10	74.20	1.40	14.30	15412.26
Vrba [18]	44.82	5.56	3.34	0.00	41.24	2.27	78.91	2.77	16.05	15628.67

\*dobijeno prora unom

Elementarna i tehni ka analiza mešavine drvne biomase koja je bila predmet istraživanja u doktorskoj disertaciji, izvršena je od strane Rudarskog Instituta u Beogradu i prikazana u tabeli 3.9.

Tabela 3.9. Elementarna i tehni ka analiza mešavine drvne biomase koriš ene pri eksperimentalnom ispitivanju [19]

Elementarna analiza					Tehni ka analiza				
C	H	N	S	O	W	VM	A	C <sub>fix</sub>	H <sub>d</sub>
(maseni ideo, %)					(maseni ideo, %)				(kJ/kg)
42.00	4.96	1.05	0.28	40.86	8.90	76.40	1.99	12.71	16299.99

Maseni udeli ugljenika, vodonika, azota i kiseonika udrvnoj biomasi u pregledanoj literaturi kretali su se u opsegu 30.79 49.27%, 3.97 6.25%, 0.09 1.50% i 29.95 42.65%, respektivno. Vrednosti masenih udela ugljenika, vodonika, azota i kiseonika u ispitivanoj mešavini drvne biomase bile su u okviru navedenog opsega za razmatrani element. Maseni ideo sumpora u mešavini drvne biomase iznosi 0.28%, što je van opsega masenog udela sumpora drugih istraživa a, koji se kretao od 0 do 0.09%.

Najzna ajnije razlike uo ene su za maseni ideo vlage udrvnoj biomasi, ija je vrednost u opsegu od 3.00 do ak 34.90%. Maseni ideo vlage u ispitivanoj mešavini drvne biomase iznosio je 8.90%. Maseni udeli isparljivih materija, pepela, fiksnog ugljenika i donja toplotna

mo prikazani u rezultatima drugih autora iznosili su: 51.60 80.23%, 0.10 2.81%, 11.50 25.87% i 9836.49 17833.73 kJ/kg, respektivno. Rezultati tehni ke analize mešavine drvne biomase bili su u navedenim opsezima.

### 3.4. Kvalitativna ocena karakteristika drvne biomase

Poznavanje karakteristika drvne biomase zna ajno je u mnogim procesima: sagorevanju, pirolizi, gasifikaciji, pre iš avanju dimnih gasova. Tehni ka i elementarna analiza drvne biomase predstavlja polaznu osnovu u raznim tehni kim prora unima. Kvalitativnom analizom obuhvate su slede e karakteristike drvne biomase: maseni udeli vlage (W), isparljivih materija (VM), pepela (A), kao i donja toplotna mo (H<sub>d</sub>). Uzorci ije se karakteristike analiziraju su dostupni rezultati tehni kih i elementarnih analiza za petnaest razli itih vrsti drvne biomase i rezultati tehni ke i elementarne analize ispitivane mešavine drvne biomase (tabele 3.8. i 3.9.). Odre eni su slede i statisti ki parametri [20]:

1. apsolutni raspon

$$R = \max X_i - \min X_i, (i=1,2,3,\dots,n) \quad (3.11)$$

2. aritmeti ka sredina

$$\bar{X} = \frac{1}{n} \sum_{i=1}^n X_i, \quad (3.12)$$

3. standardno odstupanje

$$= \left[ \frac{1}{n-1} \sum_{i=1}^n (X_i - \bar{X})^2 \right]^{\frac{1}{2}}, \quad (3.13)$$

4. koeficijent varijacije

$$C_v = \frac{\bar{X}}{X}, \quad (3.14)$$

gde su:

n broj uzoraka,

X<sub>i</sub> vrednosti razmatranih (obeležja) karakteristika drvne biomase.

Koriš enjem broj anih vrednosti karakteristika drvne biomase iz tabela 3.8. i 3.9, kao i izraza 3.11 do 3.14, vrednosti pojedinih statisti kih parametara za karakteristiku drvne biomase „maseni ideo vlage“ iznose:

$$R = \max X_i - \min X_i = 34.90 - 2.27 = 32.63 \frac{\text{kgW}}{\text{kgB}}$$

$$\bar{X} = \frac{\sum_{i=1}^n X_i}{16} = \frac{10.40 + 7.45 + 16.40 + 7.32 + \dots + 2.27 + 8.90}{16} = 10.14 \frac{\text{kgW}}{\text{kgB}}$$

$$\begin{aligned}
 &= \left( \frac{1}{n-1} \sum_{i=1}^n (X_i - \bar{X})^2 \right)^{\frac{1}{2}} = \left( \frac{(X_1 - \bar{X})^2 + (X_2 - \bar{X})^2 + \dots + (X_n - \bar{X})^2}{n-1} \right)^{\frac{1}{2}} = \\
 &= \left( \frac{(10.40 - 10.14)^2 + (7.45 - 10.14)^2 + \dots + (2.27 - 10.14)^2 + (8.90 - 10.14)^2}{15} \right)^{\frac{1}{2}} = 7.59 \frac{\text{kgW}}{\text{kgB}}
 \end{aligned}$$

$$C_v = \frac{7.59}{10.14} = 0.7485 = 74.85\%$$

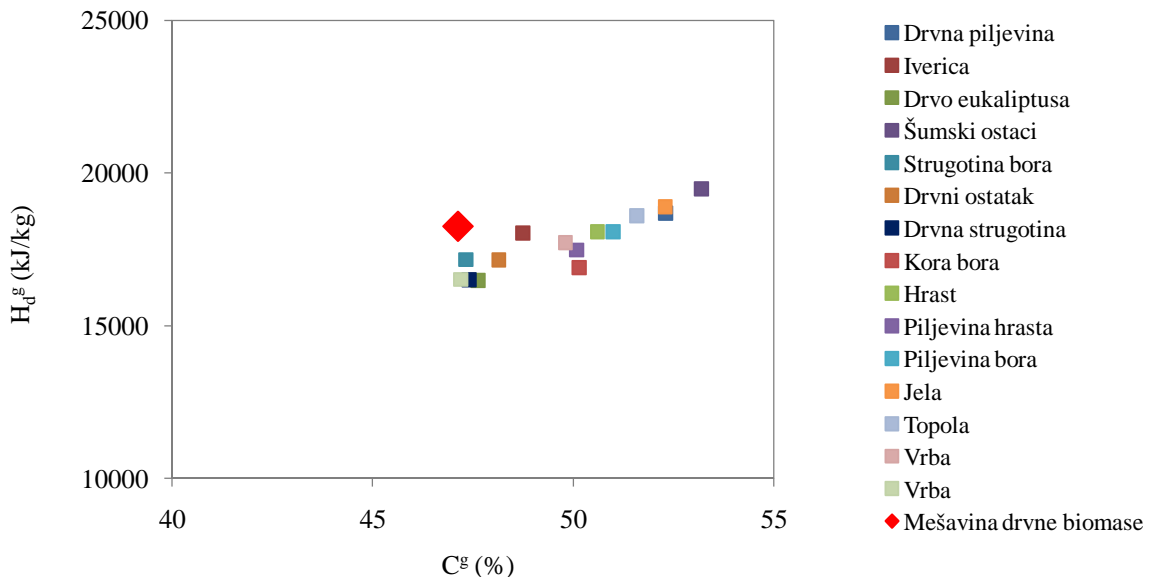
Na isti na in su izra unati statisti ki parametri za maseni ideo isparljivih materija, pepela i donju toplotnu mo drvne biomase i prikazani u tabeli 3.10.

Tabela 3.10. Kvalitativne karakteristike drvne biomase

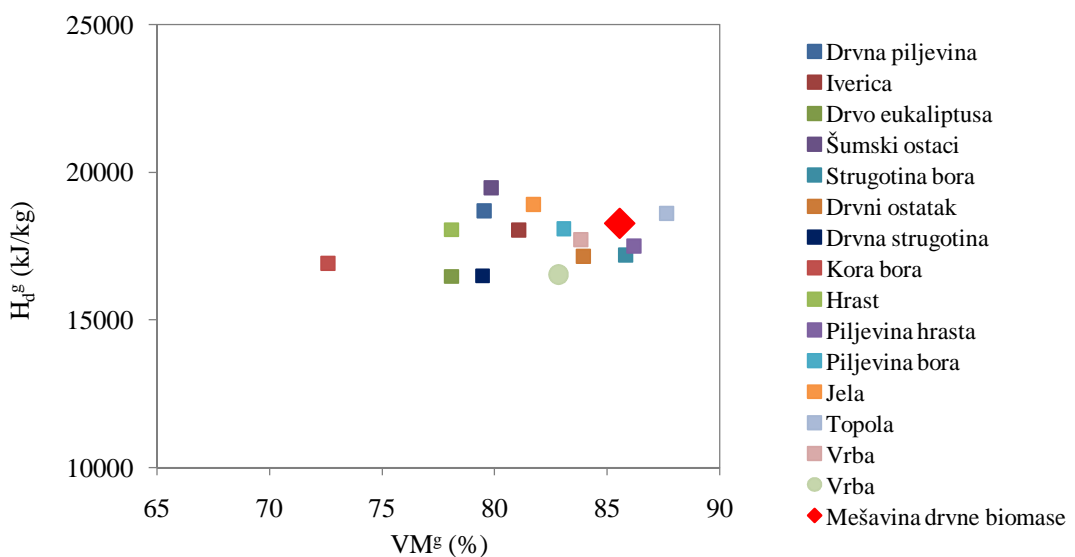
Karakteristike drvne biomase	Statisti ki parametri drvne biomase			$C_v$ (%)
	R	$\bar{X}$		
$W \left( \frac{\text{kgW}}{\text{kgB}} \right)$	32.63	10.14	7.59	74.85
$VM \left( \frac{\text{kgVM}}{\text{kgB}} \right)$	28.63	72.77	7.10	9.76
$A \left( \frac{\text{kgA}}{\text{kgB}} \right)$	2.71	1.09	0.93	85.32
$H_d \left( \frac{\text{kJ}}{\text{kg}} \right)$	7997.24	15542.26	1884.14	12.12

Analiza kvalitativnih karakteristika drvne biomase pokazuje da postoje odstupanja razmatranih karakteristika: 74.85% (vlaga), 9.76% (isparljive materije), 85.32% (pepeo) i 12.12% (toplotna mo ) od srednjih vrednosti, na šta ukazuje koeficijent varijacije  $C_v$  (tabela 3.10.). Zna ajna odstupanja karakteristika pepela od srednje vrednosti (85.32%) mogu nepovoljno da uti u na primenu i rad postrojenja za suvo odsumporavanje dimnih gasova pri procesima sagorevanja zbog dodatne koli ine praha.

U cilju pore enja karakteristika razli itih vrsta drvne biomase sa drvnom biomasom iz Srbije koriš enom za eksperimentalno ispitivanje, na slikama 3.7. i 3.8. prikazana je zavisnost donje toplotne mo i od masenog udela i ugljenika i isparljivih komponenata, svedeno na sagorljivu masu (masu bez vlage i pepela). Ukoliko se uzme u obzir da se radi o razli itim vrstama drvne biomase, sa razlikama u raspodeli veli ine estica, kao i da su sa razli itog podneblja, može se re i da odstupanja nisu zna ajna.



Slika 3.7. Zavisnost donje toplotne moći i drvne biomase i ugljenika, svedeno na sagorljivu masu

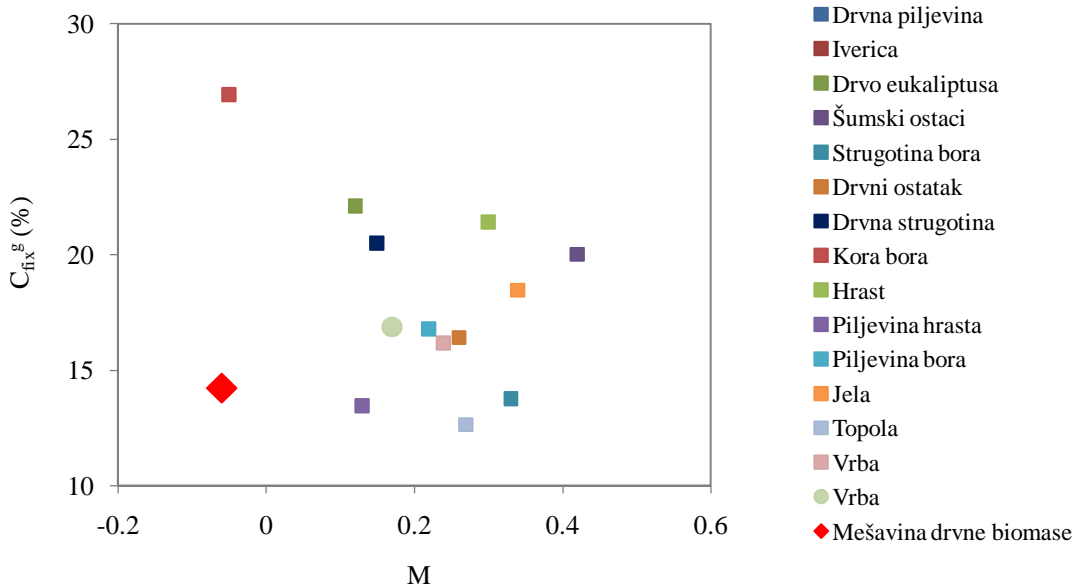


Slika 3.8. Zavisnost donje toplotne moći i drvne biomase i isparljivih materija, svedeno na sagorljivu masu

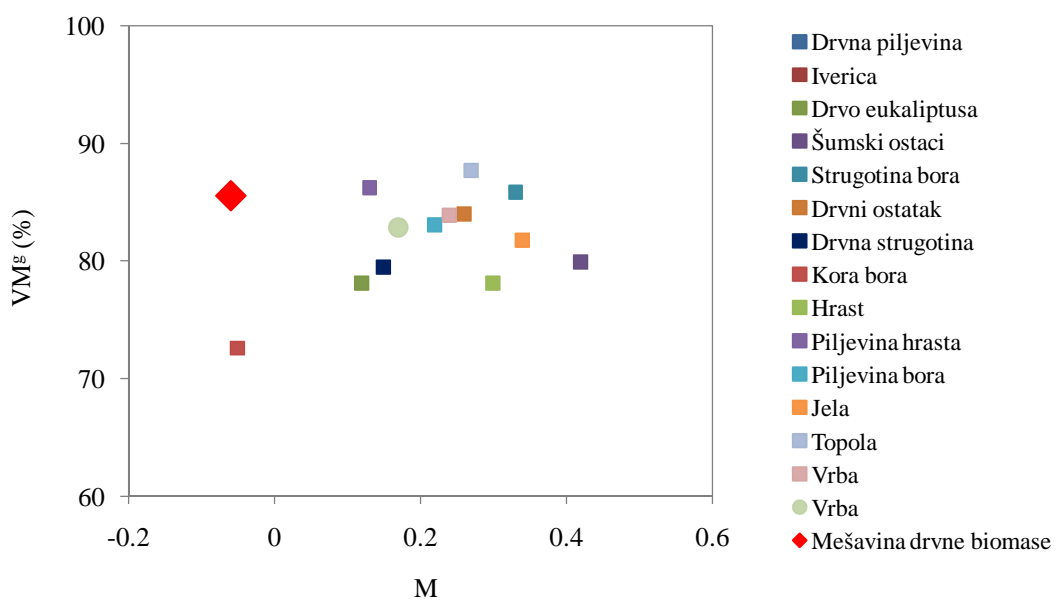
Jedan od načina kategorizacije vrstih goriva jeste zavisnost masenog udela fiksног ugljenika i isparljivih materija svedenih na sagorljivu masu od veličine  $M$  određene sledećim izrazom:

$$M = \frac{\left( H^g - \frac{O^g}{8} \right) \cdot 12}{C_{isp}^g}. \quad (3.12)$$

Promena veličine  $M$  ukazuje na rasutost vrednosti  $C_{fix}^g$  (slika 3.9), a zavisnost  $VM^g$  od veličine  $M$  ukazuje na korelacionu vezu karakteristika drvne biomase (slika 3.10.).



Slika 3.9. Zavisnost fiksног ugljenika i koeficijenta M,  
svedeno na sagorljivu masu



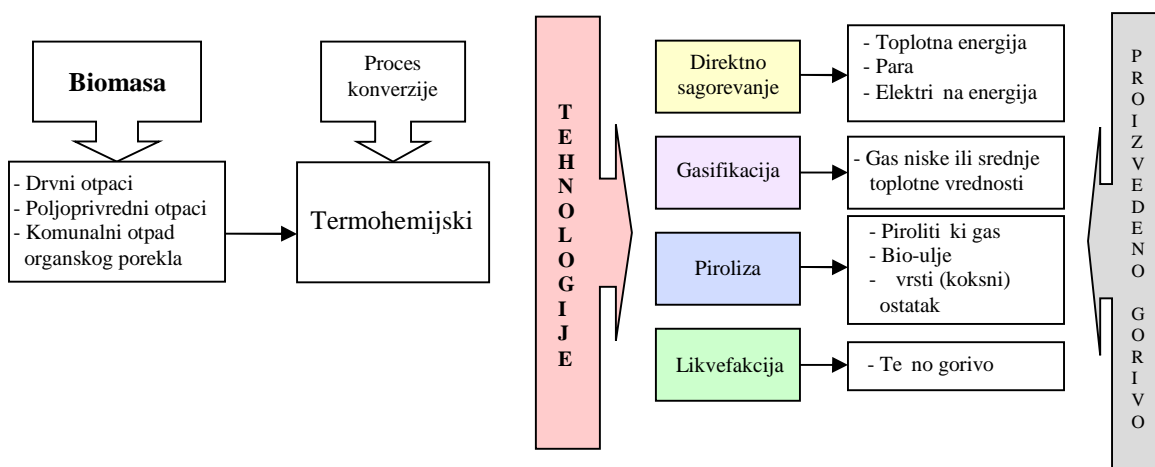
Slika 3.10. Zavisnost isparljivih materija i koeficijenta M,  
svedeno na sagorljivu masu

## LITERATURA

- [1] \*\*\*, Material for 5EURES Training sessions. Page compiled by Markus Huhtinen. 2006. Wood properties as a fuel. Intelligent Energy - Europe Programme by European Commission.
- [2] Belderok H. J. M. 2007. Experimental investigation and modeling of the pyrolysis of biomass. MSc Thesis. Eindhoven University of Technology, Department of Mechanical Engineering, Eindhoven.
- [3] Frassoldati A, Migliavacca G, Crippa T, Velata F, Faravelli T, Ranzi E. 2006. Detailed kinetic modeling of thermal degradation of biomasses. Technical report.
- [4] Rajeswara T. R, Sharma A. 1988. Pyrolysis rates of biomass materials. Energy 23: 973–978.
- [5] Martinov M. 1980. Toplotna mo slame žita uザgajanih na podruju SAP Vojvodine. Savremena poljoprivredna tehnika 6(3): 95–101.
- [6] Brki M, Tešić M, Furman T, Martinov M, Jani T. 2007. Studija: Potencijali i mogunosti brikitiranja i peletiranja otpadne biomase na teritoriji Pokrajine Vojvodine. Pokrajinski sekretarijat za energetiku i mineralne sirovine, Republika Srbija, Autonomna Pokrajina Vojvodina, Novi Sad.
- [7] Gulić M, Brkić Lj, Perunović P. 1991. Parni kotlovi. Mašinski fakultet, Beograd.
- [8] Šorčić B, Valent V, Šerbanović S. 1987. Termodinamika i termotehnika. Građevinska knjiga, Beograd.
- [9] Danon G. 2011. Energetika u drvnoj industriji, skripta. Šumarski fakultet, Beograd.
- [10] Cao Y, Wang Y, Riley J. T, Pan W. P. 2006. A novel biomass air gasification process for producing tar-free higher heating value fuel gas. Fuel Processing Technology 87: 343–353.
- [11] Chen W. H, Hsu H. C, Lu K. M, Lee W. J, Lin T.C. 2011. Thermal pretreatment of wood (Lauan) block by torrefaction and its influence on the properties of the biomass. Energy 36: 3012–3021.
- [12] Channiwala S. A, Parikh P. P. 2002. A unified correlation for estimating HHV of solid, liquid and gaseous fuels. Fuel 81(8): 1051–1063.
- [13] Vamvuka D, Kakaras E, Kastanaki E, Grammelis P. 2003. Pyrolysis characteristics and kinetics of biomass residuals mixtures with lignite. Fuel 82(15–17): 1949–1960.
- [14] Phanphanich M, Mani S. 2011. Impact of torrefaction on the grindability and fuel characteristics of forest biomass. Bioresource Technology 102: 1246–1253.
- [15] Seneca O. 2007. Kinetics of pyrolysis, combustion and gasification of three biomass fuels. Fuel Processing Technology: 87–97.
- [16] Ensöz S. 2003. Slow pyrolysis of wood barks from *Pinus brutia* Ten. and product compositions. Bioresource Technology 89: 307–311.
- [17] Vassilev S. V, Baxter D, Andersen L.K, Vassileva C. G. 2010. An overview of the chemical composition of biomass. Fuel 89: 913–933.
- [18] Chen W. H, Kuo P. C. 2010. A study on torrefaction of various biomass materials and its impact on lignocellulosic structure simulated by a thermogravimetry. Energy 35(6): 2580–2586.
- [19] \*\*\* Izveštaj o ispitivanju br. 72/14, Laboratorija za vrsta goriva, Rudarski institut Beograd.
- [20] Šurić S. N, Stanojević P., uranović D. B, Brankov S. B, Milašinović S. M. 2012. Qualitative Analysis of Coal Combusted in Boilers of the Thermal Power Plants in Bosnia and Herzegovina. Thermal Science 16(2): 605–612.

## 4. TERMOHEMIJSKI PROCESI PRERADE BIOMASE

Drvo i ostala biomasa mogu se tretirati na više razlicitih načina da bi se obezbedilo odgovarajuće gorivo. Metode prerade biomase dele se na termohemijske, biohemijske i hemijske. Termohemijski procesi prerade biomase prikazani su na slici 4.1.



Slika 4.1. Termohemijski procesi prerade biomase

Direktno sagorevanje proizvodi toplotu za proizvodnju pare i usled toga proizvodnju električne energije. Gasifikacija takođe proizvodi gorivi gas koji može da sagoreva, proizvode i toplotu, ili se može koristiti u motoru ili turbini za proizvodnju električne energije. Proizvedeni gas se može dalje obraditi do metanola ili tehnih ugljenih hidrata pomoću Fisher – Tropsch sinteze. Proses brze pirolize obezbeđuje tehnogorivo koje može da zameni ložulje pri bilo kakvom stvari kom zagrevanju ili primeni u proizvodnji električne energije. Spora piroliza je dobro poznat i definisan proces, dok se brza piroliza još uvek razvija. Pretvaranje organskih komponenata u tehnogorivo likvefakcijom je katalitički proces na relativno niskoj temperaturi ( $250\text{--}500\text{ }^{\circ}\text{C}$ ) i visokom pritisku (5–35 MPa) koji se vrši u redukujućoj atmosferi (vodonički ili ugljen monoksidi) ili korišćenjem sistema sa davaocem kiseonika.

## 4.1. Piroliza

Piroliza je termohemijski proces konverzije biomase koji se odvija na temperaturi od 300 do 650 °C u odsustvu vazduha, a dobijeni proizvodi su: te nost (bio-ulje), gasovi i vrsti (koksnii) ostatak. Piroliza predstavlja prvi stepen pri sagorevanju i gasifikaciji biomase pri kojima se odvija potpuna ili parcijalna oksidacija primarnih produkata [1]. Prinos pojedinih proizvoda pirolize zavisi od hemijskog sastava biomase i uslova vo enja procesa pirolize. Komponente biomase termi ki se razlažu razli itom brzinom. Najstabilniji je lignin [2], a razlaganje se odvija slede im redosledom:



Ako je cilj pirolize biomase dobijanje maksimalnog prinosa te nog proizvoda, tada se proces vodi na niskim temperaturama, pri velikim brzinama zagrevanja i kratkim vremenom boravka isparene biomase u reakcionej zoni.

Da bi se ostvario veliki prinos vrstog ostatka (koksa), proces se vodi pri niskim temperaturama i malim brzinama zagrevanja, a za veliki prinos gasovitog produkta (piroliti kog gasa), proces se vodi pri visokim temperaturama, malim brzinama zagrevanja i dugim vremenom boravka gasovite faze u reaktoru [2, 3].

### 4.1.1. Sastav produkata pirolize i njihova primena

**Bio-ulje**, odnosno te ni proizvod, predstavlja homogenu mešavinu organske komponente i vode (15-30%, maseni ideo). Voda poti e od prisutne vode u polaznoj sirovini i tako e se stvara tokom reakcije pirolize. Prisutna voda uti e na smanjenje topotne vrednosti i temperature paljenja bio-ulja, kao i na smanjenje viskoznosti [4]. Prisutna voda se ne može ukloniti postupkom destilacije [5].

Bio-ulje ima široku primenu i može se koristiti kao:

- gorivo za sagorevanje u bojlerima, pe ima i za proizvodnju energije
- gorivo ili komponenta za namešavanje sa fosilnim dizelom za dizel motore i
- sirovina za dobijanje hemijskih komponenata, adhezionih sredstava, anhidrovanih še era.

Karakteristike bio-ulja date su u tabeli 4.1. [1, 4]. Veliki sadržaj kiseonika u bio-ulju (tabela 4.1.) ukazuje na prisustvo brojnih polarnih grupa u jedinjenjima prisutnim u bio-ulju, koja uslovjavaju veliku viskoznost, termi ku nestabilnost i korozivno dejstvo. Pomenute osobine se mogu poboljšati razli itim postupcima obrade bio-ulja [4] kao što su:

- hidrodeoksigenacija u prisustvu katalizatora Co-Mo, Ni-Mo i njihovih oksida na nosa u  $\text{Al}_2\text{O}_3$ , u atmosferi  $\text{H}_2$  ili  $\text{CO}$ ; prisutan kiseonik se uklanja kao  $\text{H}_2\text{O}$  i  $\text{CO}_2$  i
- kataliti ki kreking piroliznih para u prisustvu razli itih katalizatora pri emu se kiseonik uklanja kao  $\text{H}_2\text{O}$ ,  $\text{CO}_2$  ili  $\text{CO}$ .

Tabela 4.1. Karakteristike bio-ulja dobijene pirolizom drvne biomase [1, 4]

Karakteristika	Raspon vrednosti
Sadržaj vlage (maseni udeo, %)	15 30
Gustina (kg/l)	1.2
Viskoznost na 40 °C sa 25% vode (Pa·s)	0.04 0.10
Ostatak posle destilacije (maseni udeo, %)	50
pH vrednost	2.5
Pepeo (maseni udeo, %)	0 0.2
Gornja toplotna mo , (MJ/kg)	16 19
Elementarni sastav (maseni udeo, %):	
C	55 58
O	35 40
H	5.5 7
N	0 0.2

**Gasovita komponenta** – se uglavnom sastoje od CO, CO<sub>2</sub> i CH<sub>4</sub>. U manjem sadržaju su prisutni H<sub>2</sub>, etan, propan, propilen, butan, buten, pentan i dr. U pore enju sa gasom dobijenim procesom gasifikacije piroliti ki gas ima ve u toplotnu vrednost i može se koristiti kao gorivo za sagorevanje u gasnim turbinama u industrijske svrhe i kao gorivo u doma instvima [6].

**vrsti ostatak (koksi)** – se sastoje od elementarnog ugljenika sa vodonikom i njegov prinos u procesu pirolize naj eš e iznosi od 20 do 26% [7]. Može se koristiti:

- kao vrsto gorivo u bojlerima, samostalno ili u mešavini sa biomasom
- za dobijanje aktivnog ugljenika i
- u gasifikacionim procesima za dobijanje gasa bogatog vodonikom koji se koristi u termi kom krekingu.

#### 4.1.2. Procesi pirolize

U zavisnosti od brzine zagrevanja kao i drugih parametara procesa razlikuju se slede i procesi pirolize biomase:

- spora piroliza
- brza piroliza
- fleš piroliza i
- kataliti ka piroliza.

Navedeni procesi se razlikuju po hemizmu, prinosu i kvalitetu dobijenih proizvoda kao što su: piroliti ki gas, bio-ulje i vrsti (koksnii) ostatak [6].

**Spora piroliza** je proces sporog zagrevanja biomase brzinom 5 7 °C/min pri temperaturi procesa od 300 650 °C. Najzastupljeniji produkti su vrsti ostatak i bio-ulje dok je prinos piroliti kog gasa znatno smanjen [8].

**Fleš piroliza** je proces pri kom se veoma male estice biomase (105 250 µm) zagrevaju velikom brzinom u kratkom vremenu boravka od nekoliko sekundi u proto nom reaktoru ili reaktoru sa fluidizovanim slojem, sa ciljem da se dobije maksimalan prinos te nog proizvoda. Ispitivanja su pokazala da se može ostvariti prinos te nog proizvoda do 68% [8].

**Kataliti ka piroliza** – bio-ulje dobijeno procesima spore, brze i fleš pirolize po svojim karakteristikama ne zadovoljava uslove za direktno namešavanje sa fosilnim dizelom pa su potrebni dodatni procesi kojima bi se smanjio sadržaj kiseonika i vlage da bi se postiglo smanjenje viskoznosti, poveala oksidaciona stabilnost i smanjila korozivna delovanja. Međutim, dodatni procesi kod navedenih procesa pirolize, uticali su na poveanje cene dobijanja bio-ulja. Kataliti kom pirolizom biomase sa razliitim tipovima zeolitnih katalizatora može se dobiti bio-ulje sa karakteristikama koje zadovoljavaju uslove za namešavanje sa dizelom što omoguava direktno korištenje u motorima.

Najveći prinos bio-ulja, koje se koristi kao komponenta za namešavanje sa fosilnim dizelom ili kao gorivo, dobija se postupkom **brze pirolize**.

#### 4.1.2.1. Brza piroliza

Brza piroliza je visokotemperaturni proces pri kome se biomasa zagreva velikom brzinom, oko  $300\text{ }^{\circ}\text{C/min}$  [8] u odsustvu kiseonika. Proizvodi brze pirolize su gasovita faza i aerosol u velikoj količini i koks u nezнатnoj količini. Posle hlađenja i kondenzacije gasne faze dobija se te na fazu tamno braon boje koja se naziva uljem. Istraživanja su pokazala da se maksimalan prinos bio-ulja dobija pri reakcionalnoj temperaturi od približno  $500\text{ }^{\circ}\text{C}$  i kratkom vremenu boravka gasne faze, uglavnom 1 s, kako bi se izbegle sekundarne reakcije. Glavne karakteristike brze pirolize [1] su:

- velika brzina prenosa toplosti i velika količina toplosti koja se razmenjuje
- kontrolisana temperatura reakcije oko  $500\text{ }^{\circ}\text{C}$  i temperature gasne faze od  $400\text{--}450\text{ }^{\circ}\text{C}$
- kratko vreme boravka gasne faze u reakcionalnoj sredini (manje od 2 s), kako bi se sprečile sekundarne reakcije i
- brzo hlađenje gasovite faze dobijene piroliznim reakcijama biomase, kako bi se dobio veći prinos tečnosti nog produkta bio-ulja.

Faze brze pirolize su: sušenje sirovine do sadržaja vlage manje od 10%, sitnjjenje (za fluidizovan postupak do 2 mm), odvajanje koksa od tekuće faze i priključivanje tekuće faze. Faze procesa brze pirolize najčešće se odigravaju u reaktoru sa fluidizovanim slojem.

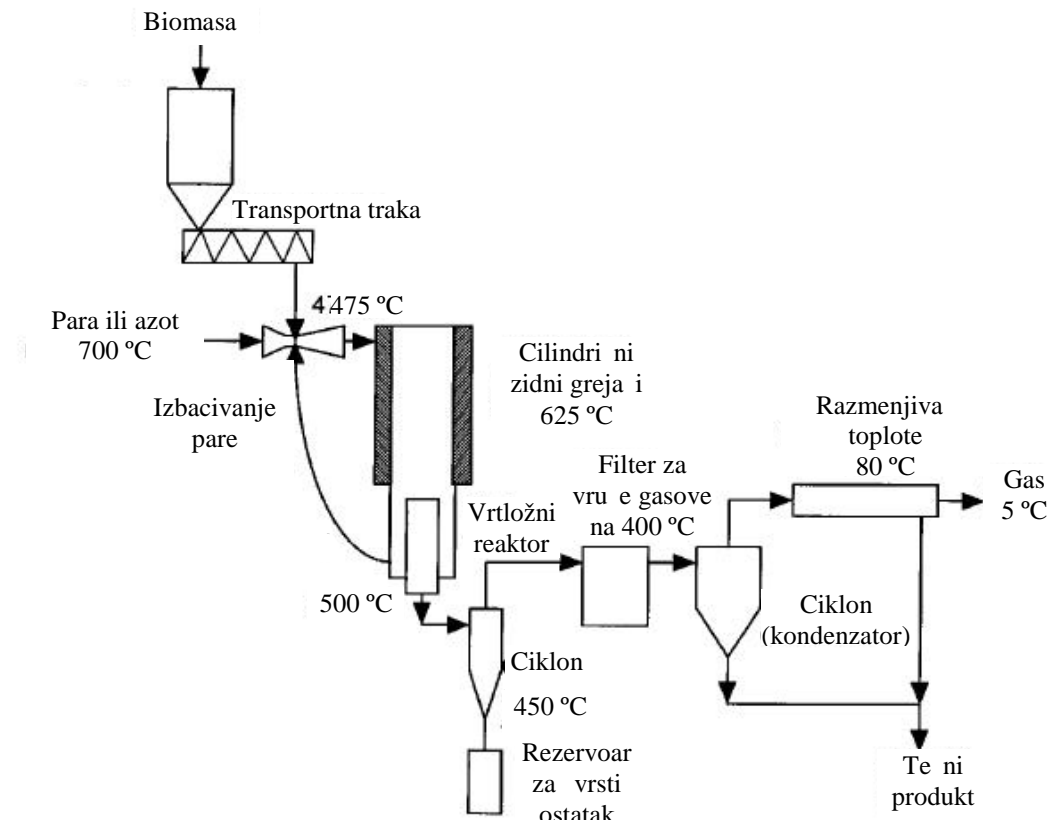
Glavni deo procesnog postrojenja je reaktor, u kome treba ostvariti brz prenos toplosti i mase uz kontrolisanu temperaturu reakcije i kratko vreme zadržavanja gasovitih produkata pirolize. U toku procesa neophodno je istovremeno postići optimalnu procesnu temperaturu estica biomase uz minimalno izlaganje temperaturama koje doprinose izdvajaju koksa. Navedeni parametri zavise od međusobnog kontakta biomase i izvora toplosti.

Posmatrano sa stanovišta međusobnog kontakta biomase i izvora toplosti razlikuju se četiri postupka brze pirolize [4]:

- ablativna piroliza (*lat. ablativ* odnositi, odvajati)
- piroliza u reaktoru sa barbotažnim fluidizovanim slojem
- piroliza u fluidizovanom i cirkulirajućem sloju i
- vakuum piroliza.

### Ablativna piroliza

Proces u vrtložnom reaktoru prikazan na slici 4.2., sastoji se u sledećem: estice biomase veličine oko 5 mm, mešaju se sa reciklirajućim parom i uvode u reaktor tangencijalno brzinom većom od 400 m/s tako da estice vrše pritisak na zidove reaktora velikom centrifugalnom silom.



Slika 4.2. Postupak ablativne pirolize [9]

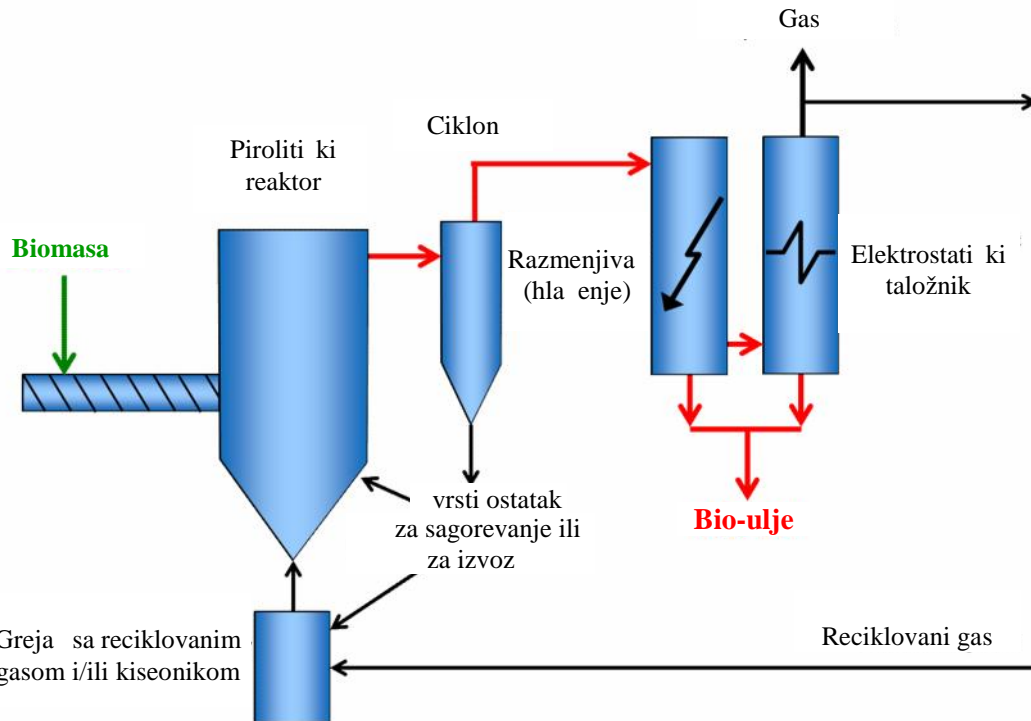
Na rubu toplice zidova reaktora (približno 600 °C) estice biomase prelaze u tečan film koji isparava. Dobijeni gasoviti proizvodi napuštaju reaktor i odvode se u ciklon sa vrha sa izdvajaju vreli gasovi, a sa dna koks. Gasovi se dalje odvode na filtraciju na povišenoj temperaturi (približno 400 °C) kako bi se izdvojile i najfinije estice koksa i alkalni metali. Posle filtracije topli gasovi se uvode u toplotni razmenjivač iz koga se izdvaja kondenzovana tečnost i gasna faza.

Postupkom ablativne pirolize se ostvaruje prinos bio-ulja u obliku smeše organske faze i vode do 67% (maseni udio) i koksa do 13% (maseni udio) u odnosu na suvu materiju sirovine [7].

### Brza piroliza u reaktoru sa barbotažnim fluidizovanim slojem

Upravljanja procesa brze pirolize u reaktoru sa barbotažnim fluidizovanim slojem data je na slici 4.3. Biomasa posle sitnjenja (veličine estica 2-3 mm) i sušenja se pomoći u zatvorenog pužnog transportera uvodi u reaktor. Fluidizacija estica u reaktoru postiže se recirkuliranim gasom koji se preuvodi u reaktor zagrevajući razmenjivač u toplice.

Vreme boravka proizvoda pirolize, parne faze i estica koksa u reaktoru reguliše se brzinom proticanja reciklovanog gasa. Proizvodi pirolize iz reaktora se odvode u ciklon iz koga se izdvojene estice koksa odvode u prihvati rezervoar, a pare u dva serijski povezana razmenjiva a toplota kod kojih se voda koristi kao rashladni fluid [1].

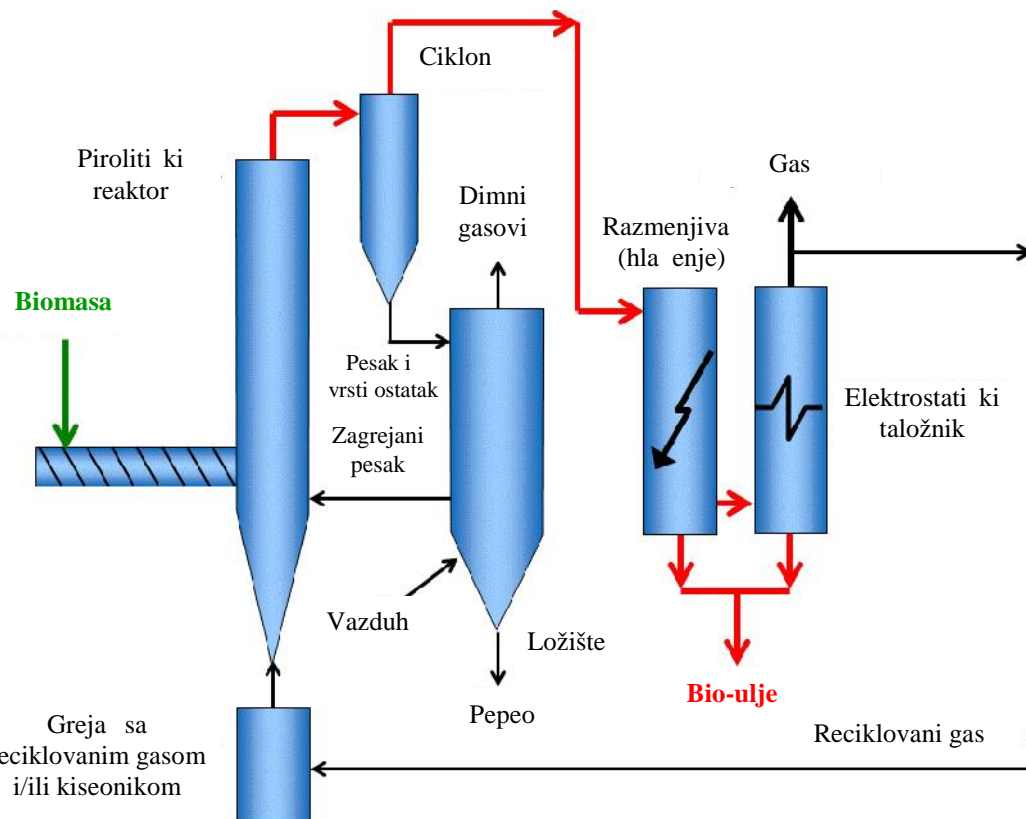


Slika 4.3. Proces brze pirolize u reaktoru sa barbotažnim fluidizovanim slojem [1]

Prinosi proizvoda, u odnosu na suvu materiju sirovine su: bio-ulja približno 70-75% (maseni udeo), a vrstog ostatka (koksa) približno 20% (maseni udeo) [7].

#### ***Brza piroliza u reaktoru sa cirkulacionim fluidizovanim slojem***

Postrojenje brze pirolize u reaktoru sa cirkulacionim fluidizovanim slojem prikazano je na slici 4.4. Sastoji se iz dva reaktora, piroliti kog i barbotažnog reaktora. U piroliti ki reaktor uvodi se biomasa koja pirolizuje u fluidizovanom sloju koji se postiže uvojem zagrejanog peska na dno piroliti kog reaktora i fluidizuje toplim recirkuliranim gasom. Proizvodi pirolize (gasovi i sporedni proizvod - vrstni ostatak (koksi)) iz reaktora se odvode u ciklon sa kojeg vrha se gasoviti proizvodi odvode u dva serijski povezana razmenjiva a toplota. Sa dna ciklona izdvaja se koks i odvodi u barbotažni reaktor gde sagoreva [1]. Na taj un toplotu dobijene sagorevanjem koksa zagreva se pesak koji se iz ovog reaktora odvodi u piroliti ki reaktor. Gasoviti produksi iz ciklona se u serijski povezanim razmenjiva imaju toplotu kondenzuju u bio-ulje. Prinos bio-ulja iznosi iznad 60% (maseni udeo) u odnosu na suvu materiju sirovine [7].

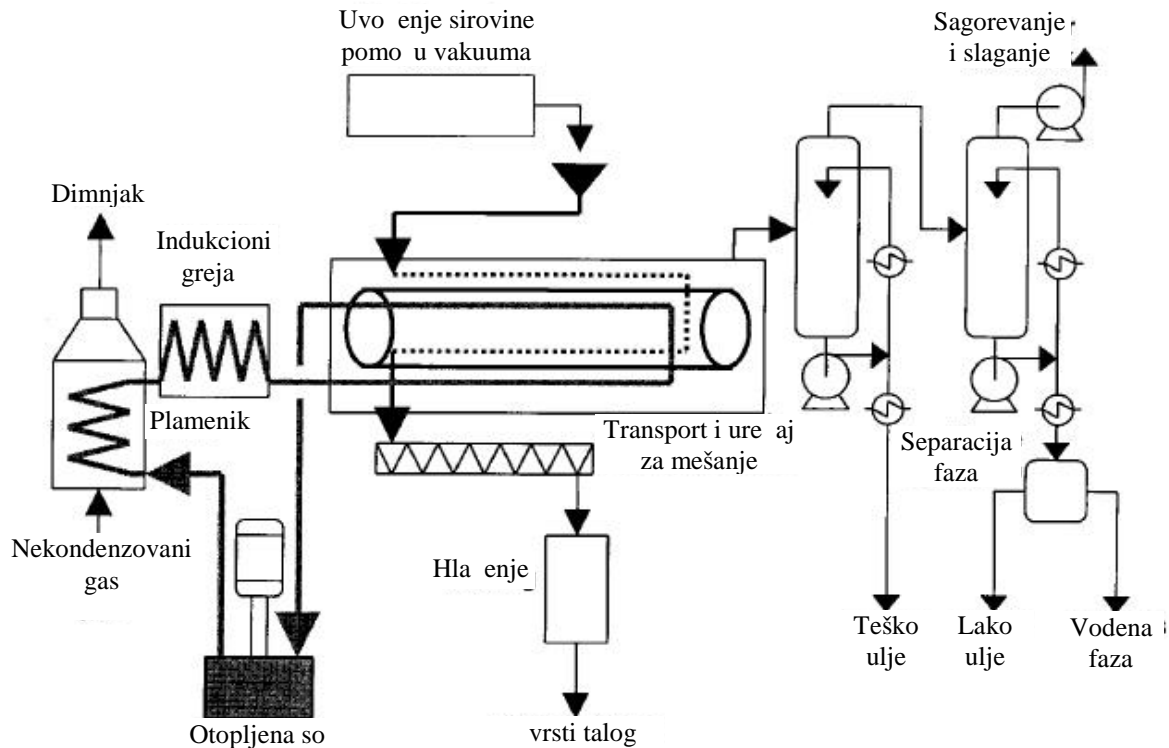


Slika 4.4. Proces brze pirolize u reaktoru sa cirkulacionim fluidizovanim slojem [1]

### Vakuum piroliza

Vakuum piroliza [1, 9] je proces termičke razgradnje biomase na temperaturi  $450^{\circ}\text{C}$  i pritisku 15 kPa. Šema procesa prikazana je na slici 4.5. Gorivo, prethodno osušeno i usitnjeno, uvodi se u reaktor pomoću vakuma. Zagrevanje goriva i prevođenje u gasovitu fazu se postiže pomoću dve paralelne ploča koje se zagrevaju pomoću smeše mineralnih soli zagrejanih do temperature od  $530^{\circ}\text{C}$ . Zagrevanje smeše mineralnih soli se postiže na rad u toplotem sagorevanja otpadnog gasa koji se izdvaja u toku procesa pirolize. Za održavanje konstantne temperature u reaktoru koristi se indukciona električna grejača. Pare konvertovane biomase odvode se iz reaktora u dva kondenzatora pomoću vakuum pumpa. Iz prvog kondenzatora se sada izdvaja teška tečna faza a sa vrha frakcija koja se odvodi u drugi kondenzator. Sa vrha drugog kondenzatora se izdvajaju otpadni gasovi koji se koriste za sagorevanje u samom procesu, a sa dna se izdvaja smeša vode i luke tečne faze. Nastala smeša se razdvaja u separatoru na vodenu fazu i laku fazu, bio-ulje.

Pri procesu vakuum pirolize ne koristi se gas nosa. Biomasa kao gorivo može imati veliku energiju u odnosu na druge procese brze pirolize. Prinos proizvoda procesa pri preradi goriva drvenaste osnove u odnosu na suvu materiju je: 35–47% (maseni udio) bio-ulja, 17–20% (maseni udio) pirolitičke vode, 24–34% (maseni udio) koksa i približno 12% (maseni udio) gasa [7].



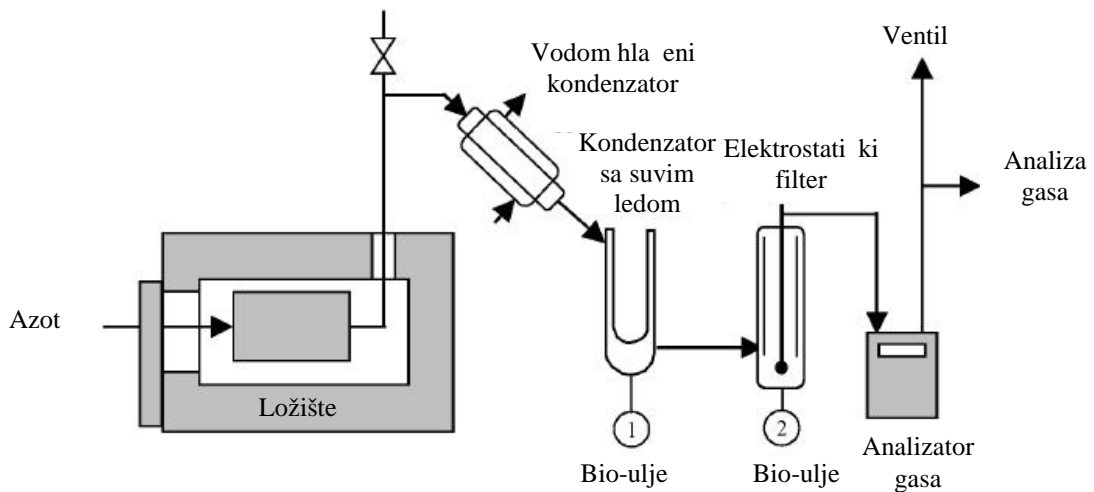
Slika 4.5. Vakuum piroliti ki proces [9]

Razmatrani proces ima komercijalnu primenu pri recikliranju automobilskih guma i otpadnih muljeva. Tako e se istražuje mogu nost primene za recikliranje drugih otpadnih materijala organskog porekla (medicinski otpad, plasti ni otpad, komunalni vrsti otpad, naftni muljevi i drugi industrijski otpad).

#### 4.1.2.2. Spora piroliza

Spora piroliza odvija se pri temperaturama ve im od 400 °C i pri dugom vremenu boravka gasne faze (4-8 minuta). Brzina zagrevanja kre e se od 1 do 5 °C/s. Pri navedenim uslovima, gasovita komponenta proizvoda ima visok prinos usled završenih sekundarnih reakcija.

Krajnji prinos vrstog ostatka smanjuje se poveavanjem temperature procesa od 400 do 700 °C. Te ni proizvod dostiže maksimalnu vrednost pri temperaturi od 550 °C i smanjuje na temperaturi od 700 °C. Smanjeni prinos vrstog ostatka pri višim temperaturama javlja se usled porasta prisutnosti isparljivih materija iz tera (katrana). Dolazi do sekundarnih reakcija, što podrazumeva manju proizvodnju te ne faze i ve i prinos gasa [10]. Na slici 4.6. dat je šematski prikaz procesa spore pirolize.



Slika 4.6. Procesna šema spore pirolize [11]

### Šaržni reaktor sa fiksnim slojem

Proces spore pirolize esto se odvija u šaržnom reaktoru sa fiksnim slojem, koji predstavlja najstariji tip reaktora. Toplota potrebna za termi ko razlaganje biomase dovodi se iz spoljnog izvora, ili se dozvoljava i kontrolise sagorevanje kako bi se obezbedila neophodna toplota.

Vrsti ostatak dobijen nakon pirolize ostaje u reaktoru, dok gasoviti proizvodi mogu da napuste reaktor usled povećanja zapremine. U nekim slučajevima koristi se inertni gas, bez kiseonika, za uklanjanje proizvedenog piroliti kog gasa. Šaržni reaktor sa fiksnim slojem uglavnom se koristi za male brzine zagrevanja, pri čemu je vrsti ostatak osnovni proizvod usled dugog vremena boravka u zoni pirolize.

Pomenuti reaktor korišten je za eksperimentalno ispitivanje pirolize drvne biomase u doktorskoj disertaciji. Šema i fotografiski izgled reaktora prikazani su u petom poglavljju.

#### 4.1.2.3. Fleš piroliza

Fleš pirolizu karakteriše velika brzina zagrevanja ( $> 1000 ^\circ\text{C/s}$ ), kratko vreme boravka (0.1-1 s) u vrstih i isparljivih materija i različit temperaturski opseg u zavisnosti od željenog proizvoda. Pri temperaturama između 450 i 750 °C, postiže se približno 80% od ukupne mase te ne faze i istovremeno, usled velike brzine reakcije, nastaje manje tera, a toplotna moć gasa je povećana za 5-10% [10].

### 4.1.5. Prednosti korištenja procesa pirolize sa stanovišta životne sredine

Konverzija biomase u vredne proizvode pomoći u procesu pirolize pruža brojne prednosti:

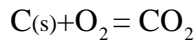
- sprečava odlaganje šumskog, poljoprivrednog, komunalnog otpada na deponije što bi dovelo do potencijalnih opasnosti po životnu sredinu, kao što je zagađenje zemljišta i podzemnih voda, hazarda, neprijatnih mirisa i štetnih gasova, razlaganja pod uslovima koji dovode do ispuštanja metana
- sprečava direktno sagorevanje na otvorenom bez kontrole zagađenja i estica
- proizvodi obnovljive i održive alternative iscrpljenim rezervama fosilnih goriva koje podrazumevaju manje emisije u odnosu na fosilna goriva pri sagorevanju. Korištenje

biomase kao goriva gotovo ne dovodi do emisija sumpora. Emisije NO<sub>x</sub> su tako e zna ajno niže u ve ini slu ajeva. Osim toga, koriš enje biomase kao goriva ne doprinosi postoje em nivou ugljenika u atmosferi.

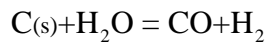
## 4.2. Gasifikacija

Gasifikacija se može posmatrati kao nastavak procesa pirolize [12, 13, 14]. Gasifikacija biomase je složeni termohemski proces koji podrazumeva brojne hemijske reakcije. Proces gasifikacije biomase može se podeliti na dve faze: pirolizu i gasifikaciju. Nakon pirolize, tokom procesa gasifikacije, gas, bio-ulje i vrsti ostatak dalje reaguju. Gasifikacija, kao tehnologija za proizvodnju hemijskih supstanci i iste energije, predstavlja proces konverzije biomase u gorivi gas (koji uglavnom sadrži CH<sub>4</sub> i malo N<sub>2</sub>) ili u sintezni gas (koji pretežno sadrži H<sub>2</sub> i CO). Tokom procesa gasifikacije odvija se više reakcija [14, 15, 16].

Heterogene reakcije date su izrazima:



$$H_{298}^0 = -394 \frac{\text{kJ}}{\text{mol}},$$

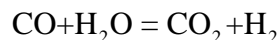


$$H_{298}^0 = 131 \frac{\text{kJ}}{\text{mol}},$$

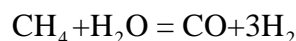


$$H_{298}^0 = 173 \frac{\text{kJ}}{\text{mol}}.$$

Homogene reakcije predstavljene su slede im izrazima:

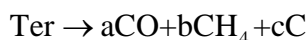


$$H_{298}^0 = -41 \frac{\text{kJ}}{\text{mol}},$$



$$H_{298}^0 = 206 \frac{\text{kJ}}{\text{mol}}.$$

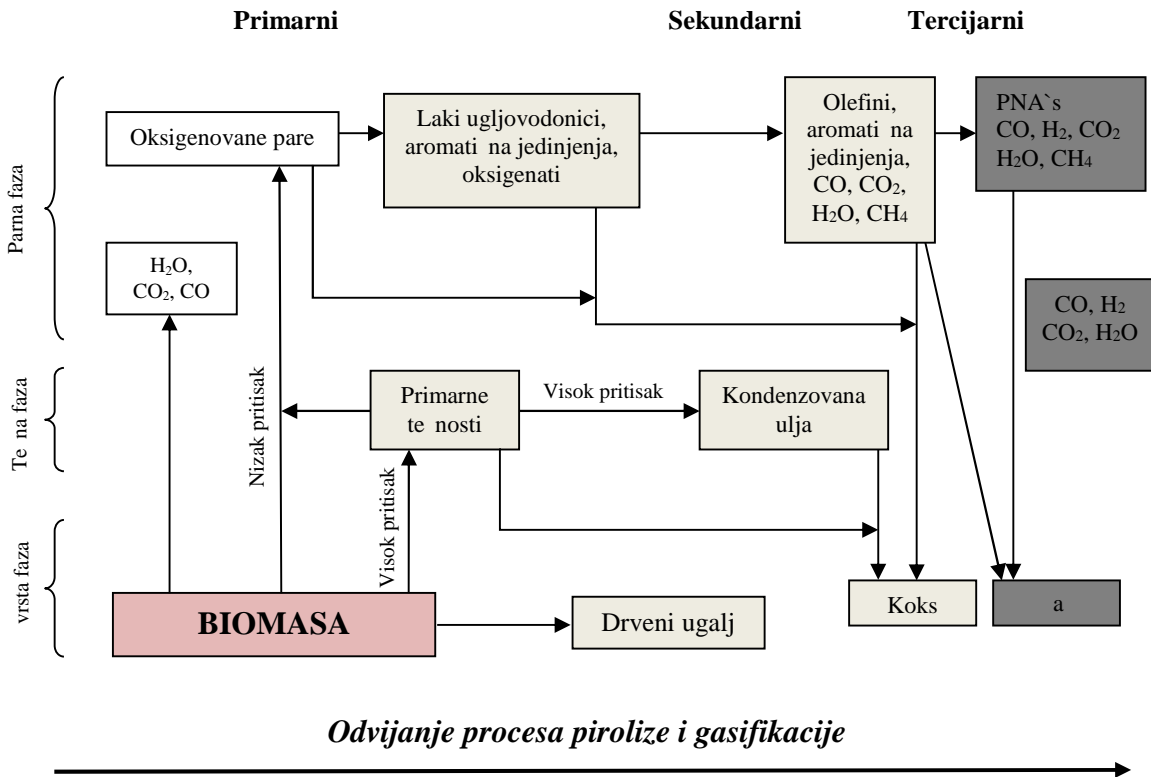
Reakcija krekanja može se prikazati na slede i na in:



gde su:

a, b i c broj molova CO, CH<sub>4</sub> i C.

Evans i Milne [17] razmatrali su tri osnovna režima reakcija tokom procesa gasifikacije koje su definisali kao primarni, sekundarni i tercijarni režim (slika 4.7.).



Slika 4.7. Tok reakcija pirolize i gasifikacije [19]

Biomasa konverzijom postaje mešavina vodonika, ugljen monoksida, lakih ugljovodonika, kao što je metan i drugih nesagorljivih gasova, kao što su ugljen dioksid, vodena para i azot. Proizvedeni gas, pored gasova  $H_2$ ,  $CO$ ,  $CO_2$  i  $CH_4$  sadrži i različite estice, katran, azotna jedinjenja, sumporna jedinjenja i alkalni metali. Temperatura reaktora predstavlja jedan od najznačajnijih uslova odvijanja procesa gasifikacije koja utiče i na toplotnu moć i na sastav proizvedenog gasa.

Proces gasifikacije najčešće se odvija uz dodavanje gasifikacionih agenasa, kao što su:

- para
- vazduh
- obogaćeni vazduh
- kiseonik
- mešavina pare i izvora kiseonika
- ugljen dioksid.

Proces gasifikacije odvija se na relativno visokim temperaturama, od 600 do 1500 °C. Sastav proizvedenog gasa može da značajno varira u zavisnosti od uslova odvijanja procesa (temperatura, pritisak i oksidacionog agensa), vrste goriva, sadržaja vlage u gorivu, načina dovođenja reaktanata u kontakt unutar gasifikatora [20]. Kvalitet proizvedenog gasa zavisi od drugih faktora, kao što su tip gasifikatora, vreme boravka i brzina zagrevanja, koji se određuju u zavisnosti od vrste goriva, veličine estica i temperature.

U literaturi se može pronaći veliki broj različitih vrsta gasifikatora. Najčešće se koriste sledeće vrste gasifikatora:

1. Gasifikator sa pokretnim ili fiksnim slojem:
  - a) gasifikator sa uzlaznom strujom oksidanta,
  - b) gasifikator sa silaznom strujom oksidanta i
  - c) unakrsni gasifikator.
2. Gasifikator sa fluidizovanim slojem
  - a) gasifikator sa cirkulacionim slojem i
  - b) gasifikator sa barbotažnim slojem.
3. Istosmerni prototipni gasifikator
  - a) gasifikator sa protokom nadole i
  - b) gasifikator sa protokom nagore.

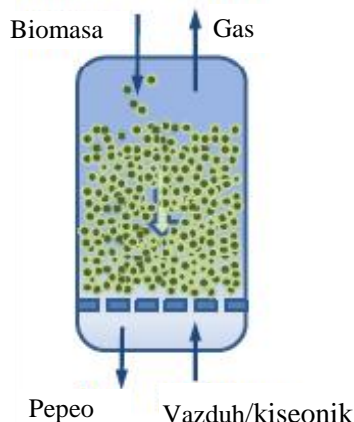
Osnovne razlike između navedenih gasifikatora su:

- način uvođenja: biomasa se uvodi u gornji deo gasifikatora ili sa strane, a zatim pokreće gravitacijom ili vazdušnim tokom
- gasifikacioni agensi koji se koristi
- način zagrevanja: delimično sagorevanje biomase u gasifikatoru (direktno zagrevanje) ili spoljnjim izvorom (indirektno zagrevanje), kao što je kruženje inertnog materijala
- temperaturski opseg
- opseg pritiska pri komе se odvija proces u gasifikatoru.

#### **4.2.1. Gasifikator sa pokretnim ili fiksnim slojem**

##### **4.2.1.1. Gasifikator sa uzlaznom strujom oksidanta**

Gasifikator sa uzlaznom strujom oksidanta je najjednostavniji i najstariji tip gasifikatora. Kod ove vrste gasifikatora, biomasa se uvodi u gornji deo reaktora, dok se vazduh, kiseonik ili para uvode u donji deo reaktora, kreću se na gore, a proizvedeni gas izlazi kroz gornji deo reaktora. Potpuno sagorevanje vrstog ostatka odvija se na dnu sloja, oslobađajući  $\text{CO}_2$  i  $\text{H}_2\text{O}$ . Vrelo gas ( $\sim 1000^\circ\text{C}$ ) na putu ka vrhu gasifikatora prolaskom kroz sloj nailazeće biomase, koja se uvodi odozgo, redukuje se do  $\text{CO}$  i  $\text{H}_2$  i zatim hlađi do  $750^\circ\text{C}$ . Krećući se nagore, redukujući gas ( $\text{H}_2$  i  $\text{CO}$ ) pirolizuje silaze u suvu biomasu i na kraju isušuje dolaze u vlažnu biomasu, ostavljajući reaktor na prilično niskoj temperaturi ( $\sim 500^\circ\text{C}$ ) [21, 22]. Šematski prikaz gasifikatora sa uzlaznom strujom oksidanta dat je na slici 4.8.

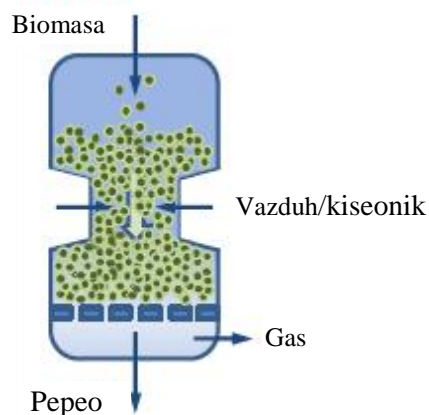


Slika 4.8. Šematski prikaz gasifikatora sa uzlaznom strujom oksidanta [23]

Prednosti korišenja gasifikatora sa uzlaznom strujom oksidanta ogledaju se u tome što se pomenuti gasifikatori mogu koristiti za primenu u postrojenjima malih dimenzija, mogu da koriste gorivo sa visokim sadržajem vlage i daju nizak sadržaj ugljenika u preostalom pepelu. Nedostaci gasifikatora sa uzlaznom strujom oksidanta su ograničenje količine goriva, visok prinos tera što zahteva opsežno iskrešteni sinteznog gaza pre primene u motoru, turbini ili za sintezu.

#### 4.2.1.2. Gasifikator sa silaznom strujom oksidanta

U gasifikatoru sa silaznom strujom oksidanta, gorivo i gasifikacioni agensi kreću se u istom smeru (slika 4.9.). Postoje različite reakcione zone u reaktoru sa silaznom strujom oksidanta. U zoni sušenja, vlaga isparava iz biomase kako se polako kreće na dole, ka zoni pirolize. U zoni pirolize, biomasa prelazi u vrsti ostatak, tзв. i gas. Neki od produkata pirolize sagorevaju. Usled visoke temperature, tзв. je podvrgnut reakciji krekovanja. Kao rezultat, proizvedeni gas je relativno ist.



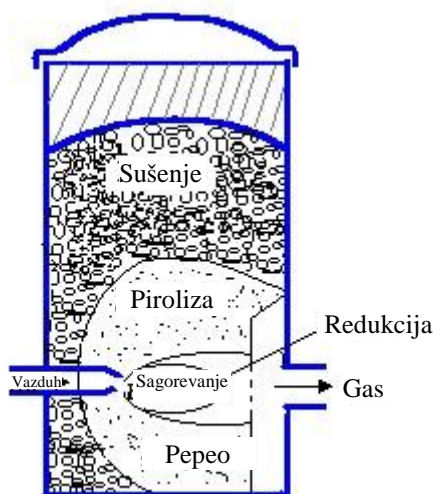
Slika 4.9. Šematski prikaz gasifikatora sa silaznom strujom oksidanta [23]

Gasifikator sa silaznom strujom oksidanta ima i odreene nedostatke:

- zahteva sušenje goriva radi postizanja malog sadržaja vlage,
- sintezi gas koji izlazi iz reaktora je na visokoj temperaturi, što zahteva sekundarni sistem za nadoknadu energije.

#### 4.2.1.3. Unakrsni gasifikator

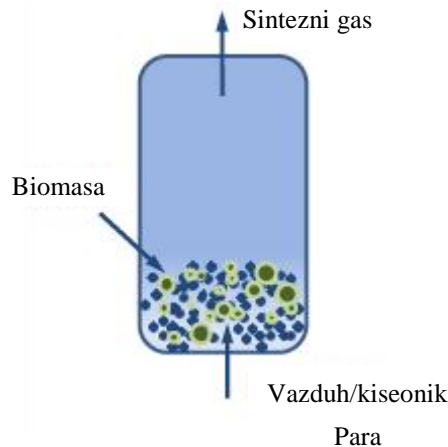
Unakrsni gasifikator (slika 4.10.) ima odreene prednosti u odnosu na gasifikatore sa uzlaznom i silaznom strujom oksidanta, ali i odreene nedostatke. Nedostaci, kao što su visoka temperatura gasa na izlazu, mala redukcija CO<sub>2</sub> i velika brzina kretanja gasa nastaju kao posledice konstrukcije. Za razliku od gasifikatora sa uzlaznom i silaznom strujom oksidanta, posuda za pepeo, zone vatre i redukcije su odvojene u unakrsnom gasifikatoru. Karakteristike konstrukcije uslovljavaju upotrebu goriva sa niskim sadržajem pepela, kao što su drvo, ugalj i koks. Proces mnogo brže započinje nego kod ostalih gasifikatora. Relativno viša temperatura u unakrsnom gasifikatoru ima značajan uticaj na sastav izlaznog gasa, na primer, udio ugljen monoksida je visok, a udeli vodonika i metana su niski kada se koristi suvo gorivo kao što je ugalj.



Slika 4.10. Šematski prikaz unakrsnog gasifikatora [24]

#### 4.2.2. Gasifikator sa fluidizovanim slojem

Kod gasifikatora sa fluidizovanim slojem, pri dnu reaktora uvode se biomasa, prethodno usitnjena do finih estica, kao i vazduh, vodena para ili kiseonik. Za transport toplove i mase kroz reaktor koristi se fluidizovani sloj u vidu inertnog materijala ili katalizatora. Sloj se fluidizuje strujanjem gasifikacionog agensa kroz sloj, što podiže sloj uprkos gravitaciji. Kao rezultat, komešanje u sloju dovodi do jednakih raspodele temperature u sloju. Na slici 4.11. dat je šematski prikaz gasifikatora sa fluidizovanim slojem. Za razliku od gasifikatora sa fiksnim slojem, ne postoje razlike reakcione zone u gasifikatorima sa fluidizovanim slojem. Temperatura u fluidizovanom sloju je uglavnom u opsegu od 700 do 900 °C dok je opseg pritiska od 0 do 70 bara.



Slika 4.11. Šematski prikaz gasifikatora sa fluidizovanim slojem [23]

Naj eš e koriš eni tipovi gasifikatora sa fluidizovanim slojem su gasifikator sa *barbotažnim i cirkulacionim slojem*. Gasifikatori sa fluidizovanim slojem imaju sledeće prednosti:

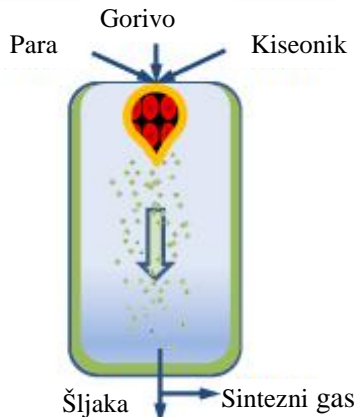
- gotovo uniformna raspodela temperature u reaktoru
- velika brzina transfera toplote između inertnog materijala, biomase i gasa
- mogu je visok stepen konverzije sa niskim sadržajem tera i nekonvertovanog ugljenika.

Nedostaci gasifikatora sa fluidizovanim slojem su:

- dozvoljeno odstupanje sadržaja vlage u gorivu je manje
- konstrukcija sistema je složenija, zahteva kompresore za uvođenje oksidanta pri dnu fluidizovanog sloja
- sloj se sinteruje kada se koristi biomasa sa visokim sadržajem pepela. Alkalne komponente u pepelu imaju tendenciju ka formiraju eutektika sa niskom temperaturom topljenja, što uz silicijum dioksid, kao naj eš e koriš eni materijal u sloju, može da dovede do gubitka fluidizacije.

#### 4.2.3. Istosmerni prototipni gasifikator

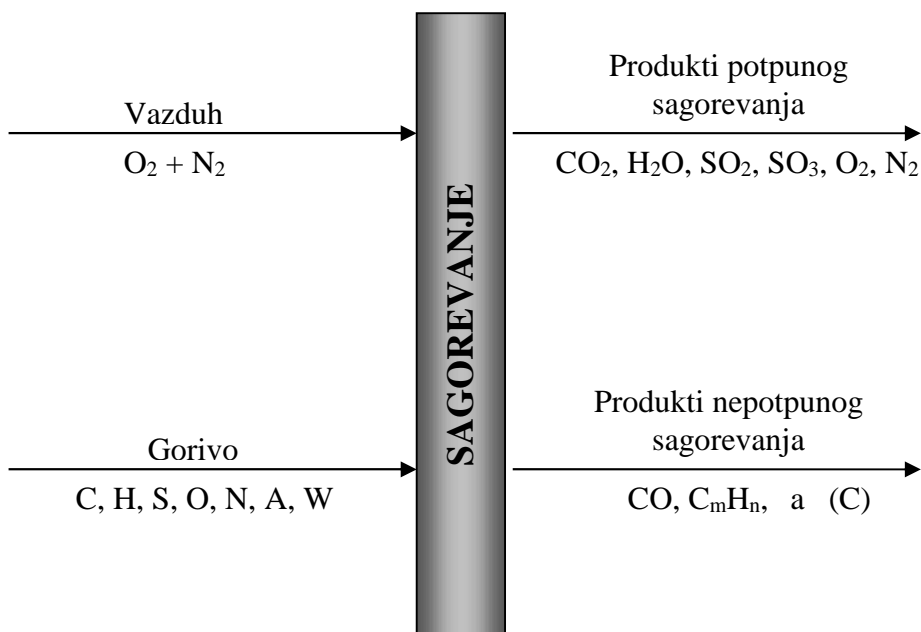
U istosmernom prototipnom gasifikatoru (slika 4.12.), biomasa je prisutna u vidu praha. Kontaktne površine su veoma velike i stoga je reakcionalno vreme vrlo kratko. Gorivo i vazduh kreću se u istom smeru i reakcije se odvijaju u gustom oblaku estica na veoma visokoj temperaturi, iznad 1000 °C, tako da se prvo dobija sintezni gas gotovo oslobođen tera, a zatim se topi pepeo i skuplja na dnu reaktora u obliku šljake. Konverzija u istosmernom prototipnom reaktoru je gotovo 100%. U ovakvim sistemima biomasa se retko koristi.



Slika 4.12. Istosmerni proto ni gasifikator [23]

### 4.3. Sagorevanje

Tokom procesa sagorevanja sa kiseonikom, u gorivima se osloba a unutrašnja hemijska energija koja se prenosi na molekule pove avaju i njihovu kineti ku energiju. Time se pove ava unutrašnja energija radne materije, a usled toga i temperatura. Kiseonik se gorivu po pravilu dovodi sa vazduhom u kome ga ima približno 21% (zapreminske ideo). Sagorevanje može biti potpuno i nepotpuno (slika 4.13.).



Slika 4.13. Šema procesa potpunog i nepotpunog sagorevanja

Potpuno sagorevanje podrazumeva proces pri kome svi gorivi sastojci u potpunosti izgore. U slu aju nedostatka kiseonika za sagorevanje ili slabog mešanja goriva i vazduha, proizvodi sagorevanja mogu još uvek sadržati gorive materije ili gasove. To je nepotpuno sagorevanje koje je po pravilu nepoželjno jer predstavlja gubitak. Gorivo se sastoji od: gorive materije, vode i pepela. Sagorevanjem goriva materija prelazi u gas, voda u paru,a pepeo ostaje u vrstom stanju.

Sagorevanje vlažne drvne biomase se može rašlaniti u tri odvojene faze:

**1. faza - sušenje:** Zagrevanje drvne biomase i sušenje pri temperaturi od oko 120 °C. U ovoj fazi troši se značajna količina toploće na isparavanje vode iz goriva. Veća količina vlage u drvnoj biomasi značajno smanjuje neto efekte sagorevanja.

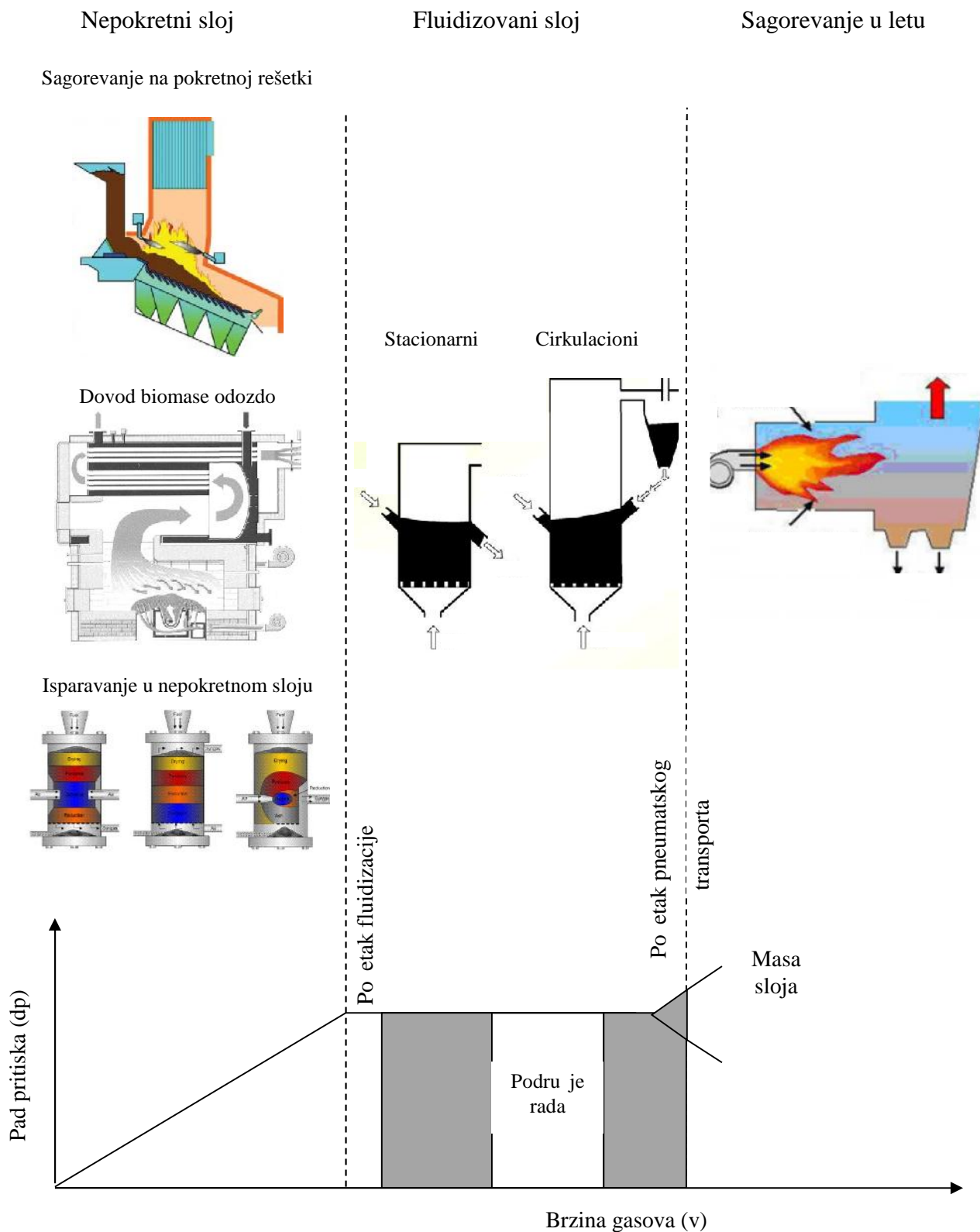
**2. faza - piroliza:** Drvo samo po sebi ne gori, već samo gasovi, koji se oslobađaju delovanjem toploće. Iznad 150 °C raspadaju se sastojci drveta na svim slabim vezivnim mestima. Oslobađaju se na prvom mestu lako zapaljivi gasovi, kao što su CO i H<sub>2</sub>, koji ukoliko je količina kiseonika u vazduhu dovoljna odmah sagorevajući podižući temperaturu okoline (od 400 °C do 500 °C). Maseno uvećana volatila (isparljivih materija) u drvetu je 85%. Osim pomenutih, oslobađaju se i teško zapaljivi tzv. katranski gasovi, koji se ne smeju pustiti nesagoreli kroz dimnjak u atmosferu. Razlozi su ekonomski (smanjenje procenta iskorišćenja hemijske energije iz goriva) i ekološke prirode. Kao ostatak u ložištu, nakon završene druge faze, ostaje drveni ugalj.

**3. faza - frakcionisanje i sagorevanje:** Teško zapaljivi katranski gasovi se, na temperaturama iznad 450 °C, raspadaju u lakše zapaljive gasove, koji uz dovoljno snabdevanje vazduhom (sekundarni vazduh) sagorevaju u zoni za dogorevanje. Na temperaturi preko 800 °C prevodi se u gasovito stanje i drveni ugalj i započinje njegovo sagorevanje. Temperatura u ložištu od 900 °C je dovoljna za potpuno sagorevanje drveta [25].

U ložištu, pomenute faze nisu vremenski i prostorno razdvojene i teku paralelno ili se preklapaju. Drvana biomasa u različitim delovima ložišta se nalazi u različitim fazama sagorevanja. Dok je unutrašnjost delova drveta u fazi sušenja na njegovoj površini već dolazi do pojave izdvajanja volatila.

#### 4.3.1. Ložišta kotlova koja koristedrvnu biomasu kao gorivo

Ložišta koja koriste drvnu biomasu su različita i dele se prema nekoliko kriterijuma. Osnovna podela je na ložišta sa obzirom na vrstu i karakteristike biomase i strujanje vazduha odnosno dimnih gasova. Na slici 4.14. je prikazana osnovna podela:



Slika 4.14. Podela ložišta za biomasu prema vrsti i brzini strujanja [26]

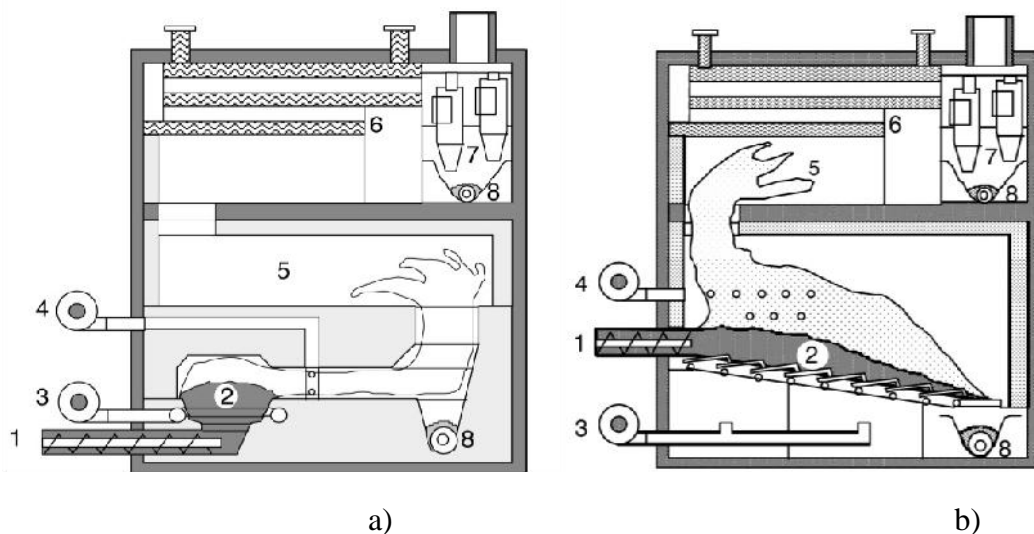
Ložišta kod kojih se sagorevanje odvija u na pokretnoj rešetki u sloju spadaju u klasi ne tipove ložišta. Postoje različite vrste ložišta koja karakteriše ovaj tip sagorevanja, a dele se prema načinu pokretanja rešetke (kosa nepokretna rešetka, kontinuirano pokretna rešetka,

rešetka s sistemom pokretanja napred-nazad, vibriraju a rešetka). Sva pomenuta ložišta rade na principu sagorevanja biomase u sloju.

### **Ložišta sa sagorevanjem u sloju**

Sloj estica vrstog goriva smešten je u zbijenom sloju na rešetci koja se nalazi na dnu ložišta. Ispod rešetke se dovodi vazduh na sloj estica goriva. Na kraju sloja se kontinuirano dozira vrsto gorivo što rezultira potrebom da se pokrene sloj goriva mehanizmom pokretne rešetke. Deo gorivih materija iz goriva sagoreva u samom sloju goriva i u neposrednoj blizini iznad sloja goriva, usled čega nastaju ugljen dioksid i vodena para u uslovima dovoljne količine vazduha. U slučaju podstehiometrijskog dovođenja vazduha nastaje i ugljen monoksid i nesagoreli ugljovodonici ( $C_xH_y$ ), koji sagorevaju u ložištu tako što se dovodi sekundarni vazduh za sagorevanje, čime se postiže stepenasto sagorevanje. Drugi proizvodi sagorevanja su pepeo i lebdeće vrste estice koje odlaze iz sloja ložišta nošene strujom gasova. Kod sistema za sagorevanje biomase, koji koriste tehnologiju sagorevanja u sloju na rešetki, razlikuju se dva područja ili zone: zona fluida iznad sloja biomase i zona koja je u osnovi sloj biomase.

Zona fluida se definiše kao gasovita faza koja izlazi iz sloja biomase na rešetki, a sastoji se od gasova koji nastaju u procesima sagorevanja biomase u sloju. Donja granica ove zone je površina sloja biomase. Unutar ove zone uvode se sekundarni i tercijarni vazduh za sagorevanje kao i recirkulacija dimnih gasova. Sloj biomase je zona sa dve faze. U osnovi se sastoji od vrstih estica goriva (biomase) i gasova koji ih okružuju. Neke od pojava, koje se odvijaju unutar sloja biomase, su prenos topoteke i materije kao i hemijske reakcije. Postoje dve vrste ložišta u kojima gorivo sagoreva u *nepokretnom sloju*: ložište sa sagorevanjem uz dovod goriva odozdo i ložište sa pokretnom rešetkom (slika 4.15.). Osnovna razlika je u načinu dovoda goriva i odvoda pepela koji preostaje nakon sagorevanja. Procesi koji se odvijaju u ova dva tipa ložišta su različiti. Smerovi kretanja goriva za sagorevanje i vazduha za sagorevanje su kod ložišta na slici 4.15.a) istosmerni, dok se kod ložišta prikazanom na slici 4.15.b) vazduh za sagorevanje i gorivo kreću u suprotnom smjeru.

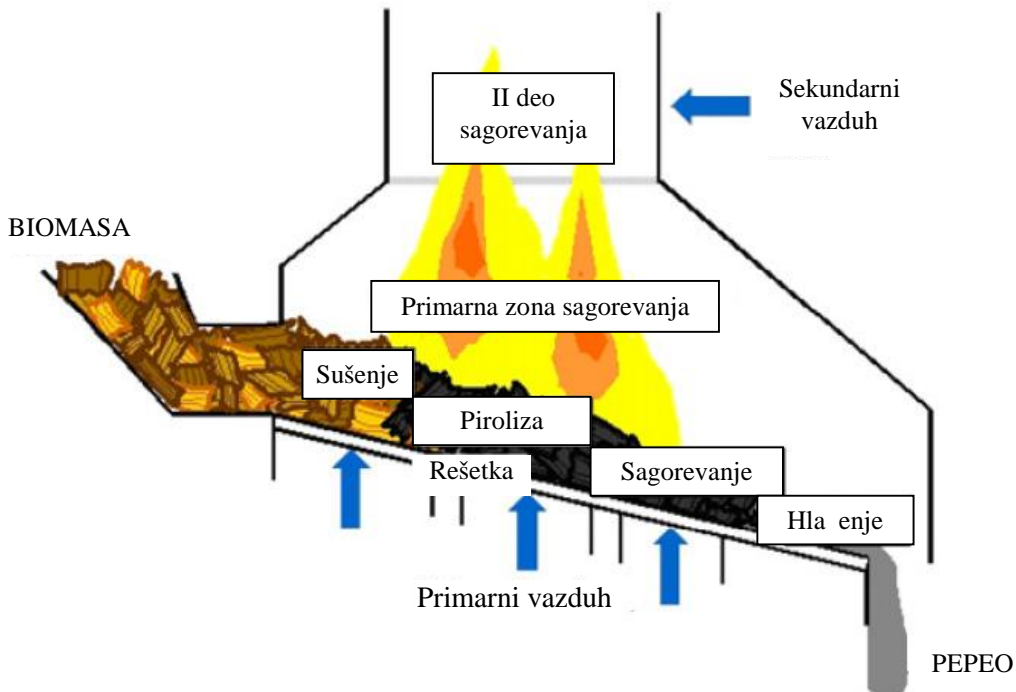


Slika 4.15. Ložišta sa sagorevanjem u sloju [26]

a) ložište sa dovodom goriva odozdo b) ložište sa pokretnom rešetkom

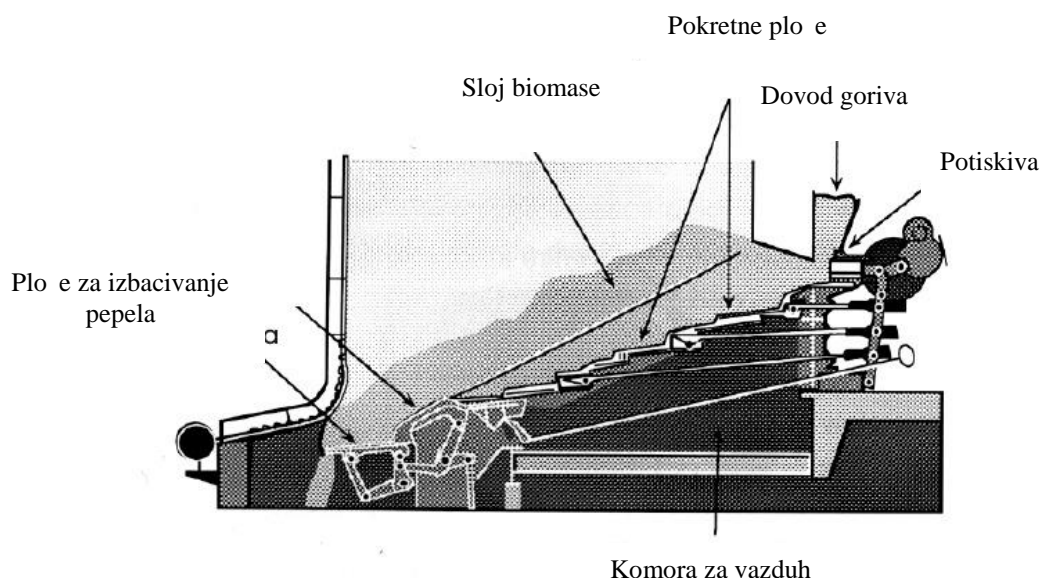
1 – dovod goriva (drvne biomase) 2 – zona nepokretnog sloja 3 – dovod primarnog vazduha 4 – dovod sekundarnog vazduha 5 – ložište 6 – cevi za predaju topoteke 7 – ciklonski otprašivač 8 – odvod pepela iz ložišta

Slika 4.16. daje šematski prikaz procesa sagorevanja u ložištu sa pokretnom rešetkom. Kako se vrsto gorivo zagreva na rešetki, u prvoj fazi vlaga iz goriva isparava, nakon čega dolazi do razgradnje organskih materija i oslobađanja volatila. Količina volatila koji će se osloboditi zavisi od više uticajnih faktora, od kojih prevlaka udeo volatila u biomasi i temperatura. Proces oslobađanja volatila može biti egzoterman ili endoterman. Količina toplote kod ovih procesa je dovoljno mala da se može zanemariti, pa se ovaj proces može smatrati termički neutralnim.



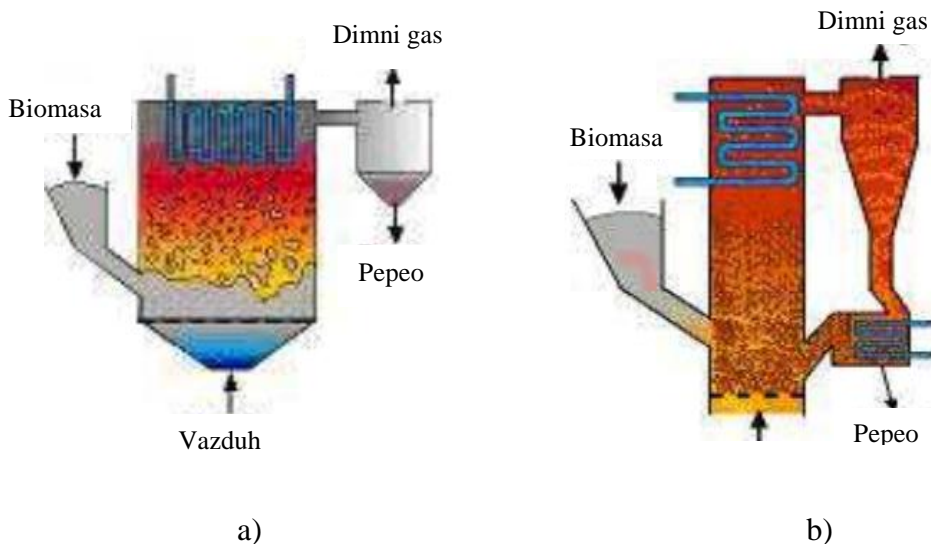
Slika 4.16. Šematski prikaz procesa u ložištu sa pokretnom rešetkom [27]

Ispod zone sloja biomase nalazi se rešetka koja po izvedbi može biti fiksna ili pokretna, horizontalna ili nakošena (slika 4.17.).



Slika 4.17. Šematski prikaz ložišta sa zakošenom rešetkom [27]

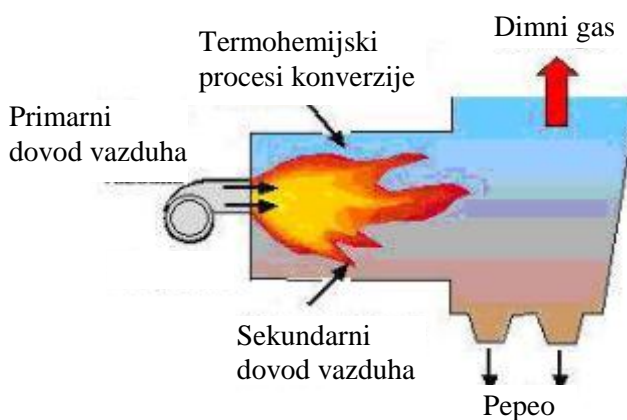
Za sagorevanje sitnijih drvnih otpadaka sa ve im procentom vlage (do 50%) primenjuju se *ložišta sa fluidizovanim slojem* (slika 4.18.). U ložištima za sagorevanje u fluidizovanom sloju materijal sagoreva sa inertnim materijalom kao što su pesak i silikatni materijali. Sitni drvni otpaci transportuju se pužem do ulaznog otvora. Gorivo prihvata eno vazdušnom strujom se fluidizira, pri emu se istovremeno suši i sagoreva. Proces sagorevanja ostvaruje se u okviru granica izme u 500 i 900 °C, odnosno za 100 °C ispod temperature topljenja pepela, a nesagorele estice dogorevaju u prostoru iznad fluidizovanog sloja. Prednost ovakvih ložišta je dozirano dodavanje goriva i bezdimno sagorevanje [27].



Slika 4.18. Ložišta se sagorevanjem u fluidizovanom sloju [28]  
a) stacionarno b) cirkulaciono

### Ložišta sa sistemom za uduvavanje biomase u komoru za sagorevanje

Ložište sa sistemom za uduvavanje biomase u komoru za sagorevanje prikladno je za sagorevanje drvene prašine tj. vrlo sitnih estica piljevine. Veli ina granulata mora biti manja od 1 mm. Fini granulat se sa primarnim vazduhom uduvava u komoru i sagoreva u letu. Loženje sistemom uduvavanja uglavnom se koristi za ve e koli ine suve biomase granulacije ispod 1 mm. Navedeni sistem ložišta koristi se u kotlovima snage iznad 200 kW (slika 4.19.).



Slika 4.19. Ložište sa sistemom za uduvavanje biomase u komoru za sagorevanje [28]

### 4.3.2. Stehiometrijske jedna ine sagorevanja drvne biomase

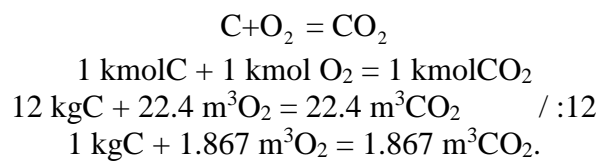
Određivanje materijalnog bilansa procesa sagorevanja goriva podrazumeva poznavanje sastava goriva koji se dobija elementarnom i tehničkom analizom. Sastav po jedinici mase za vrsta goriva prikazuje se pomoću jedna ine:

$$C + H + O + N + W + A = 1, \quad (4.1)$$

gde su:

C, H, S, O, N, W i A maseni udeli ugljenika, vodonika, sumpora, kiseonika, azota, vlage i pepela u gorivu, izraženi u (kg/kg).

Potpuno sagorevanje ugljenika definiše se sledećom hemijskom reakcijom:



Da bi 1 kg ugljenika potpuno sagoreo, potrebno je dovesti 1.867 m<sup>3</sup> kiseonika, pri čemu se dobija 1.867 m<sup>3</sup> ugljen dioksida pri normalnim uslovima (1.013·10<sup>5</sup> Pa i 0 °C). Ako je C maseni udio ugljenika u gorivu dobija se:

$$m_{CO_2} = 3.667 \cdot C \left( \frac{\text{kg}CO_2}{\text{kg}B} \right), \quad (4.2)$$

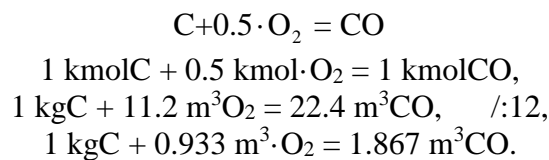
$$V_{CO_2} = 1.867 \cdot C \left( \frac{\text{m}^3 CO_2}{\text{kg}B} \right), \quad (4.3)$$

gde su:

$$m_{CO_2} \text{ masa ugljen dioksida u dimnim gasovima} \left( \frac{\text{kg}CO_2}{\text{kg}B} \right),$$

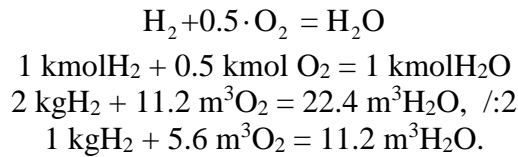
$$V_{CO_2} \text{ zapremina ugljen dioksida u dimnim gasovima} \left( \frac{\text{m}^3 CO_2}{\text{kg}B} \right).$$

Zbog manjka kiseonika ugljenik delimično sagoreva u ugljen monoksid prema hemijskoj reakciji:



Voda u dimnim gasovima stvara se od vlažnosti goriva, vlažnosti vazduha i sagorevanjem vodonika.

Vodonik sagoreva prema reakciji:



Ako su H i W maseni udeli vodonika i vlage u gorivu, iz prethodnih relacija se dobija:

$$m_{\text{H}_2\text{O}} = 9 \cdot H + W \left( \frac{\text{kgH}_2\text{O}}{\text{kgB}} \right), \quad (4.4)$$

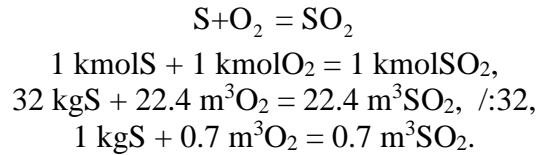
$$V_{\text{H}_2\text{O}} = \frac{22.4}{18} \cdot (9 \cdot H + W) \left( \frac{\text{m}^3\text{H}_2\text{O}}{\text{kgB}} \right), \quad (4.5)$$

gde su:

$$m_{\text{H}_2\text{O}} \quad \text{masa vode u dimnim gasovima} \left( \frac{\text{kgH}_2\text{O}}{\text{kgB}} \right),$$

$$V_{\text{H}_2\text{O}} \quad \text{zapremina vode u dimnim gasovima} \left( \frac{\text{m}^3\text{H}_2\text{O}}{\text{kgB}} \right).$$

Sagorevanje sumpora odvija se prema reakciji:



Ako je S maseni udeo sumpora u gorivu dobija se:

$$m_{\text{SO}_2} = \frac{64}{32} \cdot S = 2 \cdot S \left( \frac{\text{kgSO}_2}{\text{kgB}} \right), \quad (4.6)$$

$$V_{\text{SO}_2} = \frac{22.4}{32} \cdot S = 0.7 \cdot S \left( \frac{\text{m}^3\text{SO}_2}{\text{kgB}} \right), \quad (4.7)$$

gde su:

$$m_{\text{SO}_2} \quad \text{masa sumpor dioksida u dimnim gasovima} \left( \frac{\text{kgSO}_2}{\text{kgB}} \right),$$

$$V_{\text{SO}_2} \quad \text{zapremina sumpor dioksida u dimnim gasovima} \left( \frac{\text{m}^3\text{SO}_2}{\text{kgB}} \right).$$

U dimnim gasovima prisutan je azot i kiseonik koji poti u od vazduha dovedenog radi sagorevanja goriva. Pri potpunom sagorevanju goriva i za poznati koeficijent viška vazduha ukupno će biti azota i kiseonika:

$$m_{N_2} = 0.77 \cdot L + N = 0.77 \cdot \cdot L_{min} + N \left( \frac{kgN_2}{kgB} \right), \quad (4.8)$$

$$V_{N_2} = 0.79 \cdot L + \frac{22.4}{28} \cdot N \left( \frac{m^3 N_2}{kgB} \right), \quad (4.9)$$

$$m_{O_2} = 0.23 \cdot (-1) \cdot L_{min} \left( \frac{kgO_2}{kgB} \right), \quad (4.10)$$

$$V_{O_2} = 0.21 \cdot (-1) \cdot L_{min} \left( \frac{m^3 O_2}{kgB} \right), \quad (4.11)$$

gde su:

$$m_{N_2} \text{ masa azota u dimnim gasovima } \left( \frac{kgN_2}{kgB} \right),$$

$$V_{N_2} \text{ zapremina azota u dimnim gasovima } \left( \frac{m^3 N_2}{kgB} \right),$$

$$m_{O_2} \text{ masa kiseonika u dimnim gasovima } \left( \frac{kgO_2}{kgB} \right),$$

$$V_{O_2} \text{ zapremina kiseonika u dimnim gasovima, } \left( \frac{m^3 O_2}{kgB} \right),$$

koeficijent viška vazduha ( ),

$$L_{min} = \frac{O_{min}}{0.23} \text{ minimalna (teorijska) potrošnja vazduha } \left( \frac{kgVAZDUHA}{kgB} \right),$$

$$L_{min} = \frac{O_{min}}{0.21} \text{ minimalna (teorijska) potrošnja vazduha } \left( \frac{m^3 VAZDUHA}{kgB} \right),$$

$$O_{min} = 2.667 \cdot C + 8 \cdot H + S - O \text{ minimalna (teorijska) potrošnja kiseonika } \left( \frac{kgO_2}{kgB} \right),$$

$$O_{min} = 1.867 \cdot C + 5.6 \cdot H + 0.7 \cdot (S - O) \text{ minimalna (teorijska) potrošnja kiseonika } \left( \frac{m^3 O_2}{kgB} \right),$$

$$L = \cdot L_{min} \text{ stvarna potrošnja vazduha } \left( \frac{kgVAZDUHA}{kgB} \right), \left( \frac{m^3 VAZDUHA}{kgB} \right),$$

$$N \text{ maseni udeo azota u gorivu } \left( \frac{kgN}{kgB} \right).$$

Vrednost koeficijenta viška vazduha zavisi od vrste goriva, gorionika i ložištu u kome se vrši sagorevanje. Za vrsta goriva kao što je biomasa, pri sagorevanju u letu, uobi ajene prakti ne vrednosti se kre u izme u = 1.1 - 1.4. Kod sagorevanja goriva u ložištu potrebno je, s jedne strane, višak vazduha održavati što manjim, kako bi koli ina dimnih gasova i gubici toplove, kao i emisije štetnih gasova bili što manji. S druge strane, višak vazduha mora

biti dovoljno veliki kako bi se osiguralo potpuno sagorevanje goriva jer bi ina e dodatni gubici nastajali zbog nepotpunog sagorevanja. Pri potpunom sagorevanju, vlažni dimni gasovi sagorevanja sastoje se iz  $\text{CO}_2$ ,  $\text{H}_2\text{O}$ ,  $\text{SO}_2$ ,  $\text{N}_2$  i  $\text{O}_2$ .

Masa vlažnih dimnih gasova pri potpunom sagorevanju jednog kilograma goriva ini sumu masa pojedina nih gasova:

$$m_{vdg} = m_{\text{CO}_2} + m_{\text{H}_2\text{O}} + m_{\text{SO}_2} + m_{\text{N}_2} + m_{\text{O}_2} \left( \frac{\text{kg}}{\text{kgB}} \right), \quad (4.12)$$

a masa suvih dimnih gasova:

$$m_{sdg} = m_{\text{CO}_2} + m_{\text{SO}_2} + m_{\text{N}_2} + m_{\text{O}_2} \left( \frac{\text{kg}}{\text{kgB}} \right), \quad (4.13)$$

Na sli an na in dobija se zapremina vlažnih dimnih gasova, odnosno suvih dimnih gasova:

$$V_{vdg} = V_{\text{CO}_2} + V_{\text{H}_2\text{O}} + V_{\text{SO}_2} + V_{\text{N}_2} + V_{\text{O}_2} \left( \frac{\text{m}^3}{\text{kgB}} \right), \quad (4.14)$$

$$V_{sdg} = V_{\text{CO}_2} + V_{\text{SO}_2} + V_{\text{N}_2} + V_{\text{O}_2} \left( \frac{\text{m}^3}{\text{kgB}} \right). \quad (4.15)$$

Zapreminski udeli pojedinih komponenata u vlažnim dimnim gasovima odre uju se pomo u izraza:

$$\varphi_{i_{vdg}} = \frac{V_i}{V_{vdg}}, \quad (4.16)$$

ili izraženi u procentima:

$$\varphi_{i_{vdg}} = \frac{V_i}{V_{vdg}} \cdot 100 \% \quad (4.17)$$

gde je:

$$V_i \text{ zapremina } i\text{-te komponente u u vlažnim dimnim gasovima} \left( \frac{\text{m}^3}{\text{kgB}} \right).$$

Na sli an na in odre uju se zapreminski udeli pojedinih komponenata u suvim dimnim gasovima.

#### 4.3.2.1. Broj an i primer prora una materijalnog bilansa procesa sagorevanja drvne biomase

Primer prora una materijalnog bilansa procesa sagorevanja drvne biomase izvršen je za mešavinu drvne biomase iji je sastav prikazan u tabeli 3.9. i primenom izraza (4.2) do (4.17). Kako je sastav mešavine drvne biomase: A=0.0199 kg/kg, C=0.4200 kg/kg, H=0.0496 kg/kg, O=0.4086 kg/kg, N=0.0105 kg/kg, S=0.0028 kg/kg, W=0.0890 kg/kg, prora un pojedinih veli ina iznosi:

$$m_{CO_2} = 3.667 \cdot C = 3.667 \cdot 0.4200 = 1.5401 \frac{kgCO_2}{kgB},$$

$$V_{CO_2} = 1.867 \cdot C = 1.867 \cdot 0.4200 = 0.7841 \frac{m^3CO_2}{kgB},$$

$$m_{H_2O} = 9 \cdot H + W = 9 \cdot 0.0496 + 0.0890 = 0.5354 \frac{kgH_2O}{kgB},$$

$$V_{H_2O} = \frac{22.4}{18} \cdot (9 \cdot H + W) = \frac{22.4}{18} \cdot (9 \cdot 0.0496 + 0.0890) = 0.6663 \frac{m^3H_2O}{kgB},$$

$$m_{SO_2} = \frac{64}{32} \cdot S = 2 \cdot S = 2 \cdot 0.0028 = 0.0056 \frac{kgSO_2}{kgB},$$

$$V_{SO_2} = \frac{22.4}{32} \cdot S = 0.7 \cdot 0.0028 = 0.0020 \frac{kgSO_2}{kgB},$$

$$O_{min} = 2.667 \cdot C + 8 \cdot H + S - O = 2.667 \cdot 0.4200 + 8 \cdot 0.0496 + 0.0028 - 0.4086 = 1.1111 \frac{kgO_2}{kgB},$$

$$O_{min} = 1.867 \cdot C + 5.6 \cdot H + 0.7 \cdot (S - O) =$$

$$= 1.867 \cdot 0.4200 + 5.6 \cdot 0.0496 + 0.7 \cdot (0.0028 - 0.4086) = 0.7778 \frac{m^3O_2}{kgB},$$

$$L_{min} = \frac{O_{min}}{0.23} = \frac{1.1111}{0.23} = 4.8390 \frac{kgVAZDUHA}{kgB},$$

$$L_{min} = \frac{O_{min}}{0.21} = \frac{0.4086}{0.21} = 1.9457 \frac{m^3VAZDUHA}{kgB},$$

$$L = \cdot L_{min} = 1 \cdot 4.8390 = 4.8390 \frac{kgVAZDUHA}{kgB}, \text{ za } = 1,$$

$$L = \cdot L_{min} = 1 \cdot 1.9457 = 1.9457 \frac{m^3VAZDUHA}{kgB}, \text{ za } = 1,$$

$$m_{N_2} = 0.77 \cdot L + N = 0.77 \cdot 4.8390 + 0.0105 = 3.7365 \frac{kgN_2}{kgB}, \text{ za } = 1,$$

$$V_{N_2} = 0.79 \cdot L + \frac{22.4}{28} \cdot N = 0.79 \cdot 1.9457 + \frac{22.4}{28} \cdot 0.0105 = 1.5455 \frac{m^3N_2}{kgB}, \text{ za } = 1,$$

$$m_{O_2} = 0.23 \cdot (-1) \cdot L_{min} = 0.23 \cdot (1-1) \cdot 4.8390 = 0 \frac{kgO_2}{kgB}, \text{ za } = 1,$$

$$V_{O_2} = 0.21 \cdot (-1) \cdot L_{min} = 0.21 \cdot (1-1) \cdot 1.9457 = 0 \frac{m^3O_2}{kgB}, \text{ za } = 1,$$

$$m_{sdg} = m_{CO_2} + m_{SO_2} + m_{N_2} + m_{O_2} = 1.5401 + 0.0056 + 3.7365 + 0 = 5.2822 \frac{kg}{kgB}, \text{ za } = 1,$$

$$V_{sdg} = V_{CO_2} + V_{SO_2} + V_{N_2} + V_{O_2} = 0.7841 + 0.0020 + 1.5455 + 0 = 2.3316 \frac{m^3}{kgB}, \text{ za } = 1,$$

$$\begin{aligned} m_{vdg} &= m_{CO_2} + m_{H_2O} + m_{SO_2} + m_{N_2} + m_{O_2} = 1.5401 + 0.5354 + 0.0056 + 3.7356 + 0 = \\ &= 5.8167 \frac{kg}{kgB}, \text{ za } = 1, \end{aligned}$$

$$\begin{aligned} V_{vdg} &= V_{CO_2} + V_{H_2O} + V_{SO_2} + V_{N_2} + V_{O_2} = 0.7841 + 0.6663 + 0.0020 + 1.5455 + 0 = \\ &= 2.9979 \frac{m^3}{kgB}, \text{ za } = 1. \end{aligned}$$

Prema bilansu mase (slika 4.20.) masa vlažnih dimnih gasova iznosi:

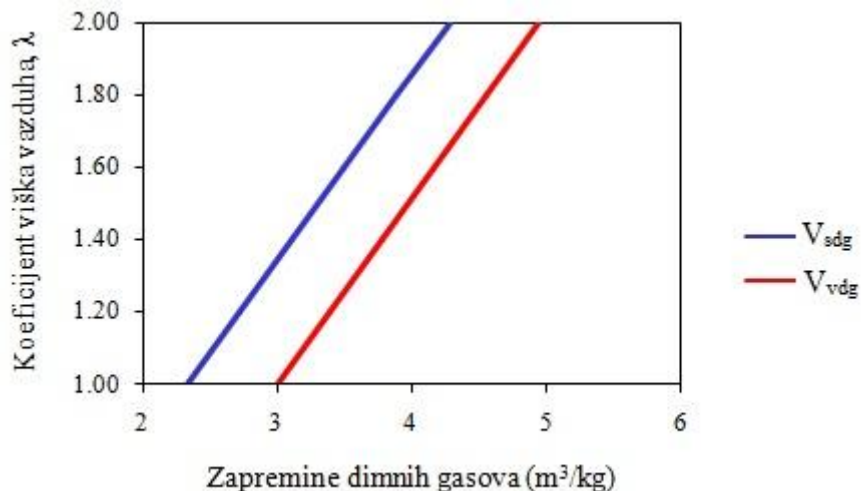
$$m_{vdg} = 1 - A + \cdot L_{min} = 1 - 0.0199 + 1 \cdot 4.8309 = 5.8110 \frac{kg}{kgB}, \text{ za } = 1,$$

a izra unata vrednost iznosi  $m_{vdg} = 5.8167 \frac{kg}{kgB}$ . Neuskla enost bilansa iznosi  $0.0057 \frac{kg}{kgB}$  ili 0.1% što je veoma bitno za prakti ne inženjerske prora une.



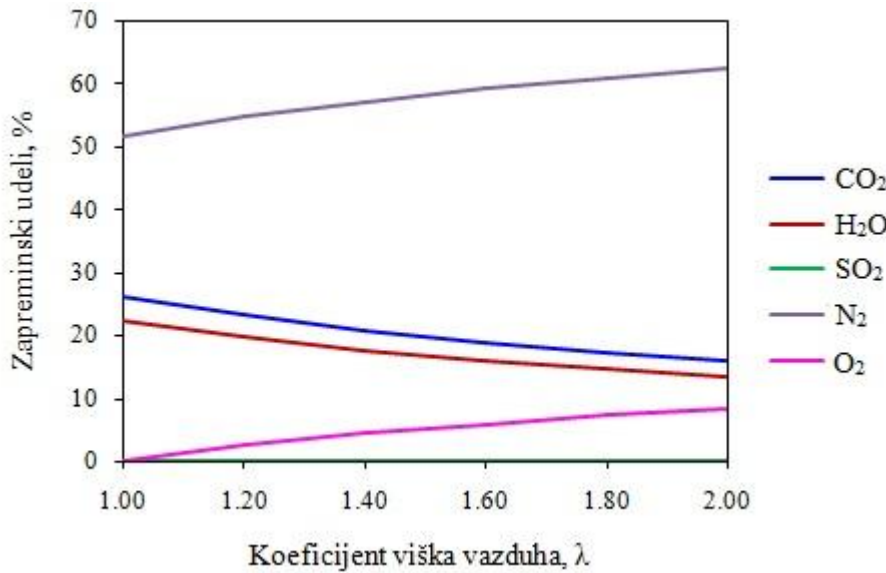
Slika 4.20. Šematski prikaz materijalnog bilansa procesa sagorevanja drvne biomase

Prora un materijalnog bilansa procesa sagorevanja mešavine drvne biomase u zavisnosti od koeficijenta viška vazduha prikazan je u prilogu 1., a dijagram produkata sagorevanja prikazan je na slici 4.21.



Slika 4.21. Zapremina dimnih gasova u zavisnosti od koeficijenta viška vazduha

Zapremski udeli gasova u vlažnom dimnom gasu prikazani su u prilogu 2. Slika 4.22. grafi ki prikazuju zavisnost zapremskih udela u dimnim gasovima od koeficijenta viška vazduha.



Slika 4.22. Sastav vlažnih dimnih gasova u zavisnosti od koeficijenta viška vazduha

#### 4.3.3. Određivanje adijabatske temperature sagorevanja drvne biomase

Teorijska temperatura sagorevanja goriva može se odrediti iz toplotnog bilansa procesa sagorevanja, po kome je suma toplotne moci i goriva  $H_d$ , entalpije jedinice mase goriva i entalpije dovedenog vazduha jednaka entalpiji produkata sagorevanja.

Ako se zanemare toplotni gubici, toplotni bilans procesa sagorevanja goriva može se prikazati izrazom:

$$H_d + c_{p_g} \cdot t_g + \cdot L_{min} \cdot c_{p_L} \cdot t_L = (1 - A + \cdot L_{min}) \cdot c_{p_{vdg}} \cdot t_{teor} + A \cdot c_{p_A} \cdot t_A, \quad (4.18)$$

odakle se dobija izraz za određivanje teorijske temperature sagorevanja goriva:

$$t_{teor} = \frac{H_d}{(1 - A + \cdot L_{min}) \cdot c_{p_{vdg}}} + \frac{\cdot L_{min} \cdot c_{p_L} \cdot t_L + c_{p_g} \cdot t_g}{(1 - A + \cdot L_{min}) \cdot c_{p_{vdg}}} - \frac{A \cdot c_{p_A} \cdot t_A}{(1 - A + \cdot L_{min}) \cdot c_{p_{vdg}}} \quad (\text{°C}), \quad (4.19)$$

gde su:

$$c_{p_{vdg}} = \sum_i g_i c_{p_i} = \frac{1}{m} \sum_i m_i c_{p_i} \quad \text{specifični toplotni kapacitet vlažnih dimnih gasova} \left( \frac{\text{kJ}}{\text{kg °C}} \right),$$

$$c_{p_L} \quad \text{specifični toplotni kapacitet vazduha} \left( \frac{\text{kJ}}{\text{kg °C}} \right),$$

$$c_{p_g} \quad \text{specifični toplotni kapacitet goriva} \left( \frac{\text{kJ}}{\text{kg °C}} \right),$$

$$c_{p_A} \quad \text{specifični toplotni kapacitet pepela} \left( \frac{\text{kJ}}{\text{kg °C}} \right),$$

$t_L$  temperatura vazduha (°C),

$t_g$  temperatura goriva (°C),

$t_A$  temperatūra pepela ( $^{\circ}\text{C}$ ).

Temperatura sagorevanja goriva može se jednostavnije odrediti grafičkim putem i to pomoći u i-t dijagrama za dimne gasove gde je  $i = f(t)$ . Kako se dimni gasovi sa porastom temperature približavaju osobinama idealnog gasa, to se bez veće greške entalpija dimnih gasova može odrediti pomoći u izraza:

$$i = m_{\text{vdg}} \cdot c_{p_{\text{vdg}}} \cdot t \left( \frac{\text{kJ}}{\text{kg}} \right), \quad (4.20)$$

ili pomoći u izraza:

$$i = V_{\text{vdg}} \cdot c_{v_{\text{vdg}}} \cdot t \left( \frac{\text{kJ}}{\text{kg}} \right), \quad (4.21)$$

gde su:

$c_{p_{\text{vdg}}}$  specifični topotni kapacitet vlažnih dimnih gasova pri konstantnom pritisku  $\left( \frac{\text{kJ}}{\text{kg}^{\circ}\text{C}} \right)$ ,  
 $c_{v_{\text{vdg}}}$  specifični topotni kapacitet vlažnih dimnih gasova pri konstantnoj zapremini  $\left( \frac{\text{kJ}}{\text{m}^3 \text{ }^{\circ}\text{C}} \right)$ .

Jednačine (4.20) i (4.21) važe pod pretpostavkom da je entalpija dimnih gasova pri temperaturi  $0^{\circ}\text{C}$  jednaka nuli.

Topotni kapaciteti određuju se pomoći u izraza:

$$c_{p_{\text{vdg}}} = \sum_{i=1}^5 g_i \cdot c_{p_i} = \frac{1}{m_{\text{vdg}}} \cdot \sum_{i=1}^5 m_i \cdot c_{p_i} \left( \frac{\text{kJ}}{\text{kg}^{\circ}\text{C}} \right), \quad (4.22)$$

$$c_{v_{\text{vdg}}} = \sum_{i=1}^5 \phi_i \cdot c_{p_i} = \frac{1}{V_{\text{vdg}}} \cdot \sum_{i=1}^5 V_i \cdot c_{v_i} \left( \frac{\text{kJ}}{\text{m}^3 \text{ }^{\circ}\text{C}} \right), \quad (4.23)$$

gde su:

$g_i$  maseni udjeli komponente i u vlažnim dimnim gasovima  $\left( \frac{\text{kg}}{\text{kg}} \right)$ ,

$\phi_i$  zapreminske udjeli komponente i u vlažnim dimnim gasovima  $\left( \frac{\text{m}^3}{\text{m}^3} \right)$ ,

$m_i$  masa komponente i u vlažnim dimnim gasovima (kg),

$V_i$  zapremina komponente i u vlažnim dimnim gasovima ( $\text{m}^3$ ).

Specifični topotni kapaciteti komponenata definisani izrazima (4.22) i (4.23) koriste se kao srednje vrednosti u temperaturskom intervalu  $t = 0^{\circ}\text{C}$  i temperature dimnih gasova (prilog 3. [29]).

#### 4.3.3.1. Broj ani primer prora una entalpije dimnih gasova

Prora un entalpije dimnih gasova ura en je za koeficijent viška vazduha  $\gamma = 1$  i pretpostavljenu temperaturu dimnih gasova  $t = 100^\circ\text{C}$ . Prema broj anim vrednostima iz priloga 1. i koriš enjem izraza (4.22) i (4.20) dobija se:

specifi ni toplotni kapacitet vlažnih dimnih gasova:

$$\begin{aligned} c_{p_{vdg}} &= \frac{1}{m_{vdg}} \cdot \left( m_{CO_2} \cdot c_{p_{CO_2}} + m_{H_2O} \cdot c_{p_{H_2O}} + m_{SO_2} \cdot c_{p_{SO_2}} + m_{N_2} \cdot c_{p_{N_2}} + m_{O_2} \cdot c_{p_{O_2}} \right) = \\ &= \frac{1}{5.8176} \cdot (1.5401 \cdot 0.8658 + 0.5354 \cdot 1.8690 + 0.0056 \cdot 0.6364 + 3.7365 \cdot 1.0404 + 0 \cdot 0.9232) = \\ &= 1.0700 \frac{\text{kJ}}{\text{kg } ^\circ\text{C}} \end{aligned}$$

gde su:

$$m_{CO_2} = 1.5401 \frac{\text{kg}}{\text{kg}} \quad \text{masa ugljen dioksida u vlažnim dimnim gasovima za } \gamma = 1,$$

$$m_{H_2O} = 0.5354 \frac{\text{kg}}{\text{kg}} \quad \text{masa vode u vlažnim dimnim gasovima za } \gamma = 1,$$

$$m_{SO_2} = 0.0056 \frac{\text{kg}}{\text{kg}} \quad \text{masa sumpor dioksida u vlažnim dimnim gasovima za } \gamma = 1,$$

$$m_{N_2} = 3.7365 \frac{\text{kg}}{\text{kg}} \quad \text{masa azota u vlažnim dimnim gasovima za } \gamma = 1,$$

$$m_{O_2} = 0 \frac{\text{kg}}{\text{kg}} \quad \text{masa kiseonika u vlažnim dimnim gasovima za } \gamma = 1,$$

$$m_{vdg} = 5.8176 \frac{\text{kg}}{\text{kg}} \quad \text{masa vlažnih dimnih gasova za } \gamma = 1,$$

$$c_{p_{CO_2}} = 0.8658 \frac{\text{kJ}}{\text{kg } ^\circ\text{C}} \quad \text{izobarski specifi ni toplotni kapacitet ugljen dioksida pri temperaturi od } 100^\circ\text{C},$$

$$c_{p_{H_2O}} = 1.8690 \frac{\text{kJ}}{\text{kg } ^\circ\text{C}} \quad \text{izobarski specifi ni toplotni kapacitet vodene pare pri temperaturi od } 100^\circ\text{C},$$

$$c_{p_{SO_2}} = 0.6364 \frac{\text{kJ}}{\text{kg } ^\circ\text{C}} \quad \text{izobarski specifi ni toplotni kapacitet sumpor dioksida pri temperaturi od } 100^\circ\text{C},$$

$$c_{p_{N_2}} = 1.0404 \frac{\text{kJ}}{\text{kg } ^\circ\text{C}} \quad \text{izobarski specifi ni toplotni kapacitet azota pri temperaturi od } 100^\circ\text{C},$$

$$c_{p_{O_2}} = 0.9232 \frac{\text{kJ}}{\text{kg } ^\circ\text{C}} \quad \text{izobarski specifi ni toplotni kapacitet kiseonika pri temperaturi od } 100^\circ\text{C},$$

*entalpija dimnih gasova:*

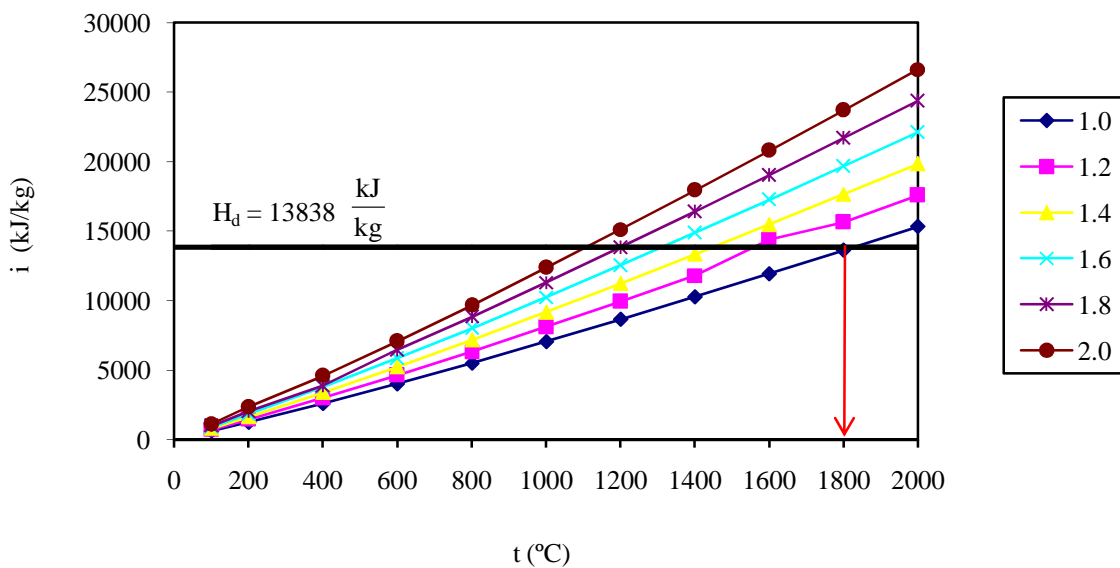
$$i = m_{vdg} \cdot c_{p_{vdg}} \cdot t = 5.8176 \cdot 1.0700 \cdot 100 = 622.4832 \frac{\text{kJ}}{\text{kg}}.$$

Na sličan način mogu se izračunati entalpije dimnih gasova za različite vrednosti temperatura i za različite vrednosti koeficijenta viške vazduha (prilog 4.). Donja topotna tabela može da pomoći u sledećem izraza:

$$\begin{aligned} H_d &= 33900 \cdot C + 121400 \cdot (H - \frac{O}{8}) + 10460 \cdot S - 2510 \cdot W = \\ &= 33900 \cdot 0.4200 + 121400 \cdot (0.0496 - \frac{0.4086}{8}) + 10460 \cdot 0.0028 - 2510 \cdot 0.0890 = \\ &= 13838.4738 \frac{\text{kJ}}{\text{kg}}. \end{aligned}$$

Graf ka zavisnost entalpije dimnih gasova od temperature i koeficijenta viške vazduha prikazana je na slici 4.23. Pri teorijskoj (minimalnoj) potrošnji vazduha ( $\lambda=1$ ) i pri normalnim uslovima teorijska (pirometrijska) temperatura sagorevanja iznosi  $1800^{\circ}\text{C}$  za date karakteristike drvne biomase topotne moći  $H_d = 13838 \text{ kJ/kg}$ . Navedena temperatura ne može da se postigne u slučaju potpunog sagorevanja pri  $\lambda=1$  jer se jedan deo topotne energije troši za disocijaciju produkata sagorevanja (slika 4.23.). Ako se uzme u obzir topotna energija koja se troši za disocijaciju produkata sagorevanja dobija se teorijska (adijabatska) temperatura koja se određuje pomoći izraza (4.19) ili pomoći u  $i-t$  dijagrama (slika 4.23.) za poznati koeficijent viške vazduha.

Adijabatska temperatura raste sa povećanjem temperature predgrevanja goriva i vazduha odnosno pada porastom količine dimnih gasova sagorevanja. Poznavanjem adijabatske temperature sagorevanja goriva moguće je proceniti temperaturu plamena u ložištu. Maksimalna temperatura plamena, radi o uvanja postojanosti materijala zidova ložišta, ne bi smela da prelazi  $1700 - 1800^{\circ}\text{C}$ , što se postiže odabiru odgovarajućeg koeficijenta viške vazduha. U slučaju za odabrano gorivo (drvnu biomasu), iznosi  $1.0 - 1.1$ .



Slika 4.23. Zavisnost entalpije vlažnih dimnih gasova od temperature sagorevanja  
drvne biomase i koeficijenta viška vazduha

U realnim uslovima u reakcionom prostoru (ložištu) kinetika kemijskih reakcija mnogo je složenija i potrebne su desetine reverzibilnih hemijskih reakcija za opis sagorevanja ugljovodonika. Proizvodi procesa sagorevanja, pri visokim temperaturama koje se pritom pojavljuju, nisu jednostavne smeše produkata sagorevanja kao što bi se to moglo zaključiti iz gore navedenih hemijskih jednina sagorevanja korištenih za određivanje stehiometrijske smjese. Gasovi disosuju stvarajući pritom veliki broj jednostavnijih hemijskih komponenata koje dalje u nizu elementarnih hemijskih reakcija reaguju međusobno. Na primer, proizvodi sagorevanja ugljovodonika sa vazduhom  $\text{CO}_2$ ,  $\text{H}_2\text{O}$ ,  $\text{O}_2$  i  $\text{N}_2$  disosuju pa se kao rezultat pojavljuju nove hemijske materije  $\text{H}_2$ ,  $\text{OH}$ ,  $\text{CO}$ ,  $\text{H}$ ,  $\text{O}$ ,  $\text{N}$ ,  $\text{NO}$  i dr. (tabela 4.2. [30]).

Tabela 4.2. Zavisnost konstanti ravnoteže hemijskih reakcija od temperature [30]

	$\text{CO}_2 \rightleftharpoons \text{CO} + \frac{1}{2}\text{O}_2$	$\text{H}_2\text{O} \rightleftharpoons \text{H}_2 + \frac{1}{2}\text{O}_2$	$\text{H}_2\text{O} \rightleftharpoons \text{OH} + \frac{1}{2}\text{H}_2$	$\text{O}_2 \rightleftharpoons 2\text{O}$	$\text{H}_2 \rightleftharpoons 2\text{H}$
T (K)	$K_p \left( \text{Pa}^{\frac{1}{2}} \right)$	$K_p \left( \text{Pa}^{\frac{1}{2}} \right)$	$K_p \left( \text{Pa}^{\frac{1}{2}} \right)$	$K_p (\text{Pa})$	$K_p (\text{Pa})$
500	$0.9886 \cdot 10^{-25}$	$0.1302 \cdot 10^{-22}$	$0.3518 \cdot 10^{-26}$	$0.2944 \cdot 10^{-45}$	$0.4899 \cdot 10^{-40}$
1000	$0.6331 \cdot 10^{-10}$	$0.8728 \cdot 10^{-10}$	$0.3604 \cdot 10^{-10}$	$0.3631 \cdot 10^{-19}$	$0.5148 \cdot 10^{-17}$
1500	$0.5870 \cdot 10^{-5}$	$0.1885 \cdot 10^{-5}$	$0.4016 \cdot 10^{-6}$	$0.2113 \cdot 10^{-10}$	$0.3087 \cdot 10^{-9}$
2000	$0.1371 \cdot 10^{-2}$	$0.2892 \cdot 10^{-3}$	$0.1378 \cdot 10^{-3}$	$0.5376 \cdot 10^{-6}$	$0.2631 \cdot 10^{-5}$
2500	$0.3810 \cdot 10^{-1}$	$0.6037 \cdot 10^{-2}$	$0.4625 \cdot 10^{-2}$	$0.2423 \cdot 10^{-1}$	$0.6284 \cdot 10^{-3}$
3000	0.3417	$0.4628 \cdot 10^{-1}$	$0.4841 \cdot 10^{-1}$	$0.1441 \cdot 10^{-1}$	$0.2475 \cdot 10^{-1}$
3500	1.6100	0.2000	0.2601	0.2680	0.3459

#### 4.4. Emisija zaga uju ih materija iz procesa sagorevanja biomase

Procesi sagorevanja predstavljaju najzna ajnije izvore zaga uju ih materija koje se emituju u atmosferu, suvom ili vlažnom depozicijom izlu uju u vodotokove, zemljiste, geološki supstrat. Proizvodi sagorevanja su osnovni izvor toksi nih materija koje se emituju u atmosferu, pa je pove anje potrošnje energije i porast industrijske proizvodnje prava eno zaoštravanjem problema zaštite vazduha [31]. U tabeli 4.3. date su specifi ne emisije zaga uju ih gasova koje nastaju sagorevanjem razli itih vrsta goriva.

Tabela 4.3. Specifi ne emisije gasovitih zaga uju ih materija nastalih pri sagorevanju goriva [32]

Gorivo	Donja toplotna mo $\left( \frac{\text{kJ}}{\text{kg}}, \frac{\text{kJ}}{\text{m}^3} \right)$	Maseni udeo (%)			Emisija $\left( \frac{\text{kg}}{\text{kg}} \right)$		Emisija $\left( \frac{\text{g}}{\text{MJ}} \right)$	
		C	H	S	CO <sub>2</sub>	SO <sub>2</sub>	CO <sub>2</sub>	SO <sub>2</sub>
Lignit "Kolubara"	7813	20.92	1.62	9.00	0.767	0.180	98.18	23.04
Mrki ugalj "Aleksinac"	22127	53.11	3.50	5.00	1.947	0.100	88.01	4.52
Kameni ugalj "Ibarski rudnici"	28206	62.96	4.55	7.10	2.309	0.142	81.85	5.03
Mazut	42340	86.10	10.90	0.50	3.157	0.010	74.56	0.24
Prirodni gas "Banat"	36247	90.30	5.80	0.20	2.013	0	55.55	0
Kukuruzovina	12154	32.30	4.07	0.01	1.184	0	97.44	0.02
Drvo	13553	36.87	4.43	0.07	1.352	0.001	99.75	0.10
Slama pšenice	9123	25.47	3.37	0.05	0.934	0.001	102.37	0.11
Slama soje	13942	37.46	4.88	0.01	1.370	0	98.25	0.01

Iz tabele 4.3. se vidi da je emisija SO<sub>2</sub> znatno manja za sve vrste biomase u odnosu na fosilna goriva, izuzimaju i prirodni gas i kukuruzovinu. Znaju i štetno dejstvo SO<sub>2</sub> na životnu sredinu, upotreba biomase za sagorevanje je znatno povoljnija u odnosu na fosilna goriva. Emisija CO<sub>2</sub>, svedena po kilogramu goriva za fosilna goriva, osim lignita, je ve a od emisije biomase. Me utim, emisija CO<sub>2</sub> svedena na MJ donje toplotne mo i goriva, sagorevanjem biomase je ve a u odnosu na fosilna goriva ali u krajnjem bilansu CO<sub>2</sub> biomasa je povoljnija jer troši atmosferski ugljen dioksid u procesu fotosinteze.

Biomasa se može koristiti za proizvodnju elektri ne energije u sistemu gasogenerator gasna turbina uz izbalansiranu emisiju CO<sub>2</sub>. Biomasa nudi mogu nost za snižavanje emisije CO<sub>2</sub>, jer ima potencijal za obezbe ivanje procesne energije na lokacijama na kojima i nastaje. Prednost biomase, u odnosu na ve inu fosilnih goriva, je u izbalansiranoj emisiji CO<sub>2</sub> sa njegovom potrošnjom pri fotosintezi, i evidentnoj mnogo manjoj emisiji ostalih gasovitih zaga uju ih materija. Udeo pepela u biomasi je daleko manji u odnosu na ugalj tako da su problemi sa njegovim deponovanjem zanemarljivi, a pepeo biomase se uz eventualnu pripremu može koristiti i kao ubrivo. Dobijeni kompost, poreklom iz razli itih vrsta otpadnih materija, sadrži odre eni udeo teških metala i organskih jedinjenja. U tabeli 4.4 prikazani su udeli navedenih materija u kompostu. Udeli štetnih materija su najmanji u kompostu od biomase.

Tabela 4.4. Udeo teških metala i organskih jedinjenja u kompostu (suva osnova) [32]

Komponenta	Jedinica	Vrsta komposta		
		Od biomase	Od vlažnih vrstih otpadaka	Od ukupnih komunalnih otpadaka
Organiski materijal	(%)	33.58	55.00	n.p. <sup>1</sup>
Teški metali	$\left( \frac{\text{mg}}{\text{kg}} \right)$			
Pb		77.60	449.00	513.00
Cd		0.78	2.60	5.50
Cr		33.73	72.00	71.40
Cu		43.40	228.00	274.00
Ni		19.13	30.00	44.90
Cn		232.82	850.00	1570.00
Hg		0.33	1.04	2.40
PCB <sup>2</sup>	$\left( \frac{\text{ng}}{\text{g}} \right)$	259.66	938.00	1493.00
PAK <sup>3</sup>	$\left( \frac{\text{ng}}{\text{g}} \right)$	1707.00	3370.00	4412.00
PCDD/F <sup>4</sup>	$\left( \frac{\text{ngITEq}^5}{\text{kg}} \right)$	12.07	50.00	103.00

<sup>1</sup>nema raspoloživih podataka, <sup>2</sup>polihlorisani bifenili, <sup>3</sup>policiklični aromatični ugljovodonici,

<sup>4</sup>polihlorisani dibenzodioksini i dibenzofurani, <sup>5</sup>ukupni maseni udio svih PCDD i PCDF prema međunarodnom standardu (NATO CCSM)

Iz tabele 4.4. se vidi da su koncentracije teških metala i gasovitih zagađujućih materija u kompostu od biomase nekoliko puta manje nego u kompostu od otpadaka. Razlika je veća kada se posmatraju kompost biomase i ukupnih komunalnih otpadaka, i iznosi manje od dva puta za koncentraciju hroma do više od osam puta za polihlorisane dibenzodioksine i dibenzofurane.

Iz navedenih razloga biomasa, pored drugih alternativnih izvora energije dobija na značaju kao resurs za dobijanje "iste energije". Međutim, i pored navedenih prednosti koje poseduju u eksploataciji, biogoriva na bazi biomase imaju i određene nepogodnosti za primenu. Neke od njih su:

- manipulacioni i ekonomski problemi sa sakupljanjem, pakovanjem i skladištenjem biomase
- periodičnost nastanka biomase
- mala zapreminska masa i toplotna moć biomase svedena na jedinicu zapremine
- raznolikost u prostoru
- nepovoljan oblik i visoka vlažnost biomase
- ekonomske investicije postrojenja za sagorevanje biomase su znatna.

## LITERATURA

- [1] Bridgwater A. V. 2003. Renewable fuels and chemical by thermal processing of biomass. *Chemical Engineering Journal* 91: 87–102.
- [2] Demirba A. 2001. Biomass resource facilities and biomass conversion processing for fuels and chemical. *Energy Conversion and Management* 42: 1357–1378.
- [3] Karaosmano lu F, Tetik E, Göllü E. 1999. Biofuel production using slow pyrolysis of the straw and stalk of the rapeseed plant. *Fuel Processing Technology* 59: 1–12.
- [4] Bridgewater A. V, Meier D, Radlein D. 1999. An overview of fast pyrolysis of biomass. *Organic Geochemistry* 30: 1479–1493.
- [5] Zhang Q, Chang J, Wang T, Xu Y. 2007. Review of biomass pyrolysis oil properties and upgrading research. *Energy Conversion and Management* 48: 87–92.
- [6] Onay O, Ko kar O. M. 2004. Fixed-bed pyrolysis of rapesed (*Brassica napus L.*). *Biomass and Bioenergy* 26: 289–299.
- [7] Predojevi Z. 2010. Goriva iz biomase: bioetanol i biodizel. Tehnološki fakultet Univerziteta u Novom Sadu, Novi Sad.
- [8] Goyal H. B, Diptendu S, Saxena R. C. 2008. Biofuels from thermochemical conversion of renewable resources: A review. *Renewable and sustainable energy reviews* 12: 504–517.
- [9] Bridgwater A. V, Peacocke G. V. C. 2000. Fast pyrolysis processes for biomass. *Renewable and Sustainable Energy Reviews* 4: 1–73.
- [10] Zajec L. 2009. Slow pyrolysis in a rotary kiln reactor: Optimization and experiments. Master's Thesis, the School for Renewable Energy Science, University of Iceland and University of Akureyri.
- [11] Bridgwater A. V, Carson P, Coulson M. 2007. A comparison of fast and slow pyrolysis liquids from mallee. *International Journal of Global Energy Issues* 27(2): 204–216.
- [12] Dupont C, Boissonnet G, Seiler J. M, Gauthier P, Schweich D. 2007. Study about the kinetic processes of biomass steam gasification. *Fuel* 86(1): 32–40.
- [13] Mousques P, Dirion J. L, Grouset D. 2001. Modeling of solid particles pyrolysis. *Journal of Analytical and Applied Pyrolysis* 58: 733–745.
- [14] De Jong W, Unal O, Andries J, Hein K. R. G, Spliethoff H. 2003. Thermochemical conversion of brown coal and biomass in a pressurised fluidised bed gasifier with hot gas filtration using ceramic channel filters: measurements and gasifier modeling. *Applied Energy* 74(3): 425–437.
- [15] Moulijn J. A, Makkee M, Van Diepen A. 2001. *Chemical Process Technology*, John Wiley and Sons Ltd, Chichester.
- [16] Van den Aarsen F. G. 1985. *Fluidised Bed Wood Gasifier Performance and Modeling*. PhD Thesis, TU Twente.
- [17] Evans R.J, Milne T.A. 1987. Molecular Characterization of the Pyrolysis of Biomass. *Energy and Fuels* 1(2): 123–137.
- [18] McKendry P. 2002. Energy production from biomass (part 3): gasification technologies. *Bioresource Technology* 83(1): 55–63.
- [19] Milne T. A, Agblevor F, Davis M, Deutch S, Johnson D. 1997. A review of chemical composition of fast pyrolysis oils. In *Developments in thermochemical biomass conversion*, eds. Bridgwater A.V, Boocock D. G. B, 409–424. Blackie Academic & Professional, London.
- [20] Basu P. 2006. *Combustion and gasification in fluidized beds*. CRC press, Taylor and Francis group, London.

- [21] Stultz S. C, Kitto J. B. 1992. Steam: it's generation and use. The Babcock & Wilcox Company, Barberton, USA.
- [22] Bridgwater A. V, Evans G. D. 1993. An Assessment of Thermochemical Conversion Systems For Processing Biomass and Refuse. Energy Technology Support Unit (ETSU), Department of Trade and Industry, UK.
- [23] Chhiti Y, Kemiha M. 2013. Thermal Conversion of Biomass, Pyrolysis and Gasification: A Review. The International Journal of Engineering And Science 2(3): 75-85.
- [24] [www.cturare.tripod.com](http://www.cturare.tripod.com) (17.01.2015.)
- [25] Danon G. 2011. Energetika u drvnoj industriji, skripta. Šumarski fakultet, Beograd.
- [26] Nussbaumer T. 2001. Energie. In Energie aus Biomasse, eds. Kaltschmitt M, Haltmann H, 288-389. Springer, Berlin.
- [27] Dragičević V. 2003. Optimizacija ložišta za izgaranje biomase, doktorska disertacija. Tehnički fakultet, Sveučilište u Rijeci, Rijeka.
- [28] Počuć N, Knežević P. 2010. Biomasa, otpad i energija. Priručnik o biomasi i njenom korištenju u energetske svrhe. Izdavač: Nikola Počuć, Beograd.
- [29] Bogner M. Termotehnika. 2003. INTERKLIMA-GRAFIKA, Vrnjačka Banja. Savez mašinskih i elektrotehničkih inženjera i tehničara Srbije, Beograd.
- [30] Horvatić B, Valent V, Šerbanović S. 1990. Termodinamika i termotehnika, drugo dopunjeno izdanje. DIP "Građevinska knjiga", Beograd.
- [31] Škrbić B. 2002. Tehnologija proizvodnje i primene gasa. Univerzitet u Novom Sadu, Tehnološki fakultet u Novom Sadu, Novi Sad.
- [32] Petrović V. A. 1996. Uticajni faktori na proces termičke prerade biomase, doktorska disertacija. Mašinski fakultet, Univerzitet u Beogradu, Beograd.

## 5. EKSPERIMENTALNO ISPITIVANJE PIROLIZE DRVNE BIOMASE

### 5.1. Priprema uzorka

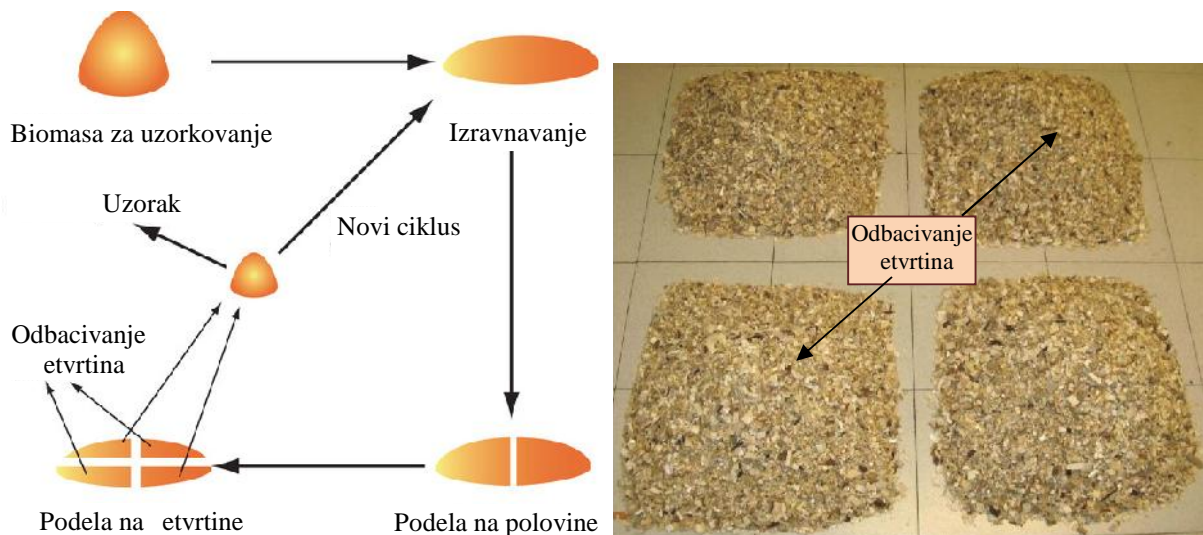
Eksperimentalno ispitivanje procesa pirolize drvne biomase vršeno je na uzorcima strugotine drveta hrasta, bukve, trešnje, oraha, jele, lipe i mešavine svih navedenih vrsta u jednakoj razmeri. Uzorci poti u iz radionice kompanije "Enterijer Jankovi " u Novom Sadu. Dobijeno je 4 kg drvne biomase, od ega je 0.7 kg utrošeno za potrebe eksperimentalnog ispitivanja procesa pirolize.

Dostavljeni uzorci drvne biomase bili su u obliku strugotine razli itih veli ina u opsegu 3-10 cm. Strugotina je u laboratoriju dopremljena u zatvorenim plasti nim kesama. Uzorci su usitnjavani u posebnom mlinu za biomasu na veli inu estica pre nika od 0.5 do 1 cm (slika 5.1.). Koriš eni mlin služi za usitnjavanje (mlevenje) biomase i drvenog otpada kao što su okrajci kod rezanja dasaka, otpad udrvnoj industriji, tanje grane i drugo. Dimenzije mlina su 1090x730x1100 mm, a kapacitet 400-500 kg. Proces usitnjavanja drveta vrši se u samo jednom prolazu. Mlin ima ventilator i ciklon za odvajanje sitne prašine.



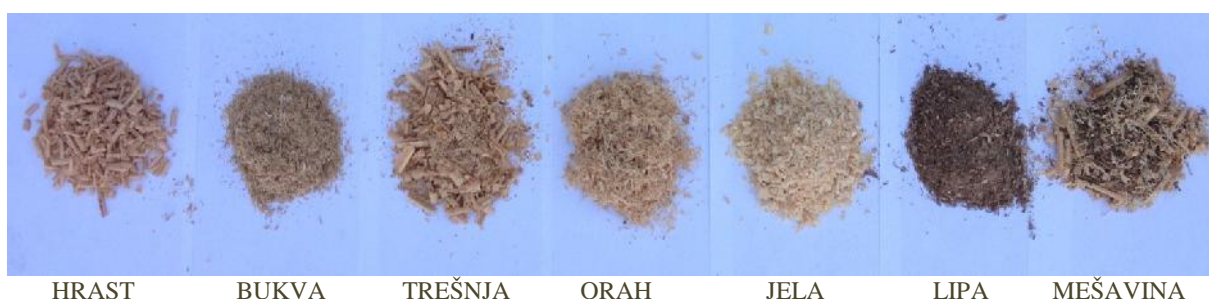
Slika 5.1. Mlin za drvni otpad i biomasu TFS-420, proizvo a Termis MKM doo, Knjaževac

U cilju postizanja homogenosti uzorka, izvršena je metoda uzorkovanja pomo u etvrtina (“quarter sampling method”) (slika 5.2.).



Slika 5.2. Metoda uzorkovanja pomo u etvrtina

Uzorkovanje pomo u etvrtina predstavlja metodu kojom se smanjuje masa biomase namenjene za uzorkovanje i postiže homogenost uzorka. Najpre se formira kupa, koja se potom izravna, nakon toga podeli na polovine, a zatim na etvrtine. Dve etvrtine se mešaju i formiraju uzorak, ili se ponovo podvrgavaju istoj metodi, dok se ne postigne željena masa uzorka (kao što je prikazano na slici 5.2.). Preostale dve etvrtine se odbacuju. Uzorci dobijeni navedenom metodom (slika 5.3.) koriš eni su pri eksperimentalnom ispitivanju.



Slika 5.3. Fotografski prikaz uzoraka razli itih vrsta drvne biomase koriš enih za eksperimentalno ispitivanje procesa pirolize

Uzorci su stavljeni u specijalne plasti ne kese koje se zatvaraju hermetički, da ne bi došlo do gubitka ili upijanja vlage iz vazduha. Svaka kesa sa uzorkom bila je ozna ena spolja. Oznaka je sadržala: lokaciju uzorkovanja, vrstu biomase, vremenske prilike (kiša, vetar, sunce) i ime uzorkiva a.

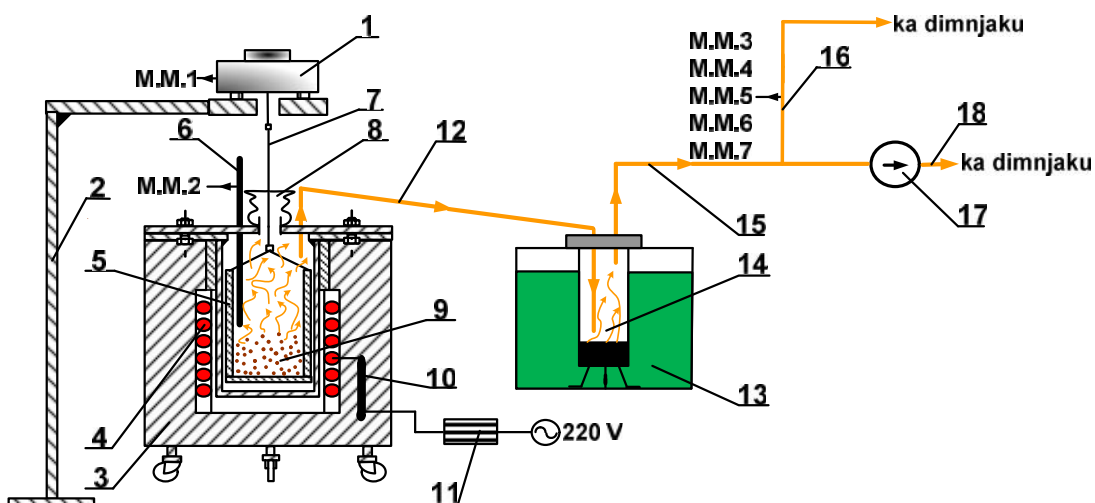
Elementarna i tehni ka analiza mešavine drvne biomase koja je bila predmet istraživanja u doktorskoj disertaciji, izvršena je od strane Rudarskog Instituta u Beogradu i prikazana u tabeli 5.1.

Tabela 5.1. Elementarna i tehni ka analiza mešavine drvne biomase koriš ene pri eksperimentalnom ispitivanju [1]

Tehni ka analiza						
W	VM	A	C <sub>fix</sub>	H <sub>d</sub>		
maseni udeo (%)						$\left( \frac{\text{kJ}}{\text{kg}} \right)$
8.90	76.40	1.99	12.71	16299.99		
Elementarna analiza						
C	H	N	S	O	H/C	O/C
maseni udeo (%)						$\left( \frac{\text{kmolH}}{\text{kmolC}} \right)$
42.00	4.96	1.05	0.28	40.86	1.41	0.73

## 5.2. Postavka eksperimentalnog postrojenja i postupak merenja

Šema laboratorijskog postrojenja koriš enog za pirolizu drvne biomase i spisak mernih mesta (M.M) prikazani su na slici 5.4.



Slika 5.4. Šema eksperimentalnog postrojenja i mernih mesta za pirolizu drvne biomase  
 1 digitalna vaga, 2 stalak za vagu, 3 pe , 4 elektri ni greja i, 5 reaktorski sud, 6 termoelement (mera temperature u posudi za uzorak biomase), 7 fleksibilna veza izme u vase i posude za uzorak, 8 fleksibilni teflonski omota , 9 uzorak biomase, 10 senzor regulatora temperature, 11 regulator temperature, 12 vod gasovitih produkata pirolize, 13 hladnjak, 14 boca za izdvajanje te ne faze, 15 suvi gasoviti proizvodi pirolize, 16 – uzorkovani gas, 17 pumpa, 18 odvod gasa ka atmosferi

Na prikazanim mernim mestima merene su slede e procesne veli ine:

M.M.1 - masa uzorka biomase (drvna biomasa)

M.M.2 - temperatura piroliti kog gasa u posudi za biomasu

M.M.3 - zapreminske udio CO u piroliti kom gasu na izlazu iz reaktora (%)

M.M.4 - zapreminske udio H<sub>2</sub> u piroliti kom gasu na izlazu iz reaktora (%)

M.M.5 - zapreminske udio CO<sub>2</sub> u piroliti kom gasu na izlazu iz reaktora (%)

M.M.6 - zapreminske udio O<sub>2</sub> u piroliti kom gasu na izlazu iz reaktora (%)

M.M.7 - zapreminske udio CH<sub>4</sub> u piroliti kom gasu na izlazu iz reaktora (%).

Za merenje navedenih procesnih veličina korišteni su merni instrumenti koji je opis prikazan u tabeli 5.2.

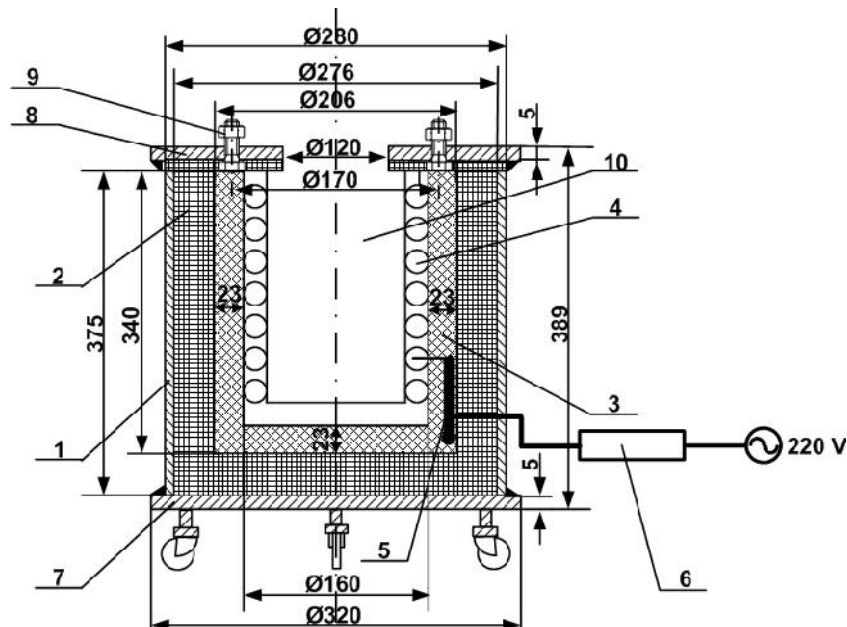
Tabela 5.2. Opis mernih instrumenata korištenih tokom eksperimentalnog ispitivanja

MERNI INSTRUMENT	OPIS MERENJA	OPSEG MERENJA	GREŠKA MERENJA
Digitalna precizna vaga METTLER P1000	Merenje mase uzorka poljoprivredne biomase	0 - 1000 g	1000 g $\pm$ 1 g
			
Digitalni pokazivač temperature Testo 925 sa sondom tipa K (NiCr - Ni)	Merenje temperature pirolitog gasa	-50 - 1000 °C	$\pm$ 0.2%
			
Gasni analizator G 750 POLYTECTOR II	Merenje zapreminskog udela CO na izlazu iz reaktora	0 - 0.05%	$\pm$ 0.0003%
			
	Merenje zapreminskog udela H <sub>2</sub> na izlazu iz reaktora	0 - 4%	$\pm$ 0.03%
	Merenje zapreminskog udela CO <sub>2</sub> na izlazu iz reaktora	0 - 100%	$\pm$ 0.03%
	Merenje zapreminskog udela O <sub>2</sub> na izlazu iz reaktora	0 - 25%	$\pm$ 0.2%
	Merenje zapreminskog udela CH <sub>4</sub> na izlazu iz reaktora	0 - 100%	$\pm$ 1.0%

Pri izradi električne i reaktorske posude korišteni su sledeći materijali:

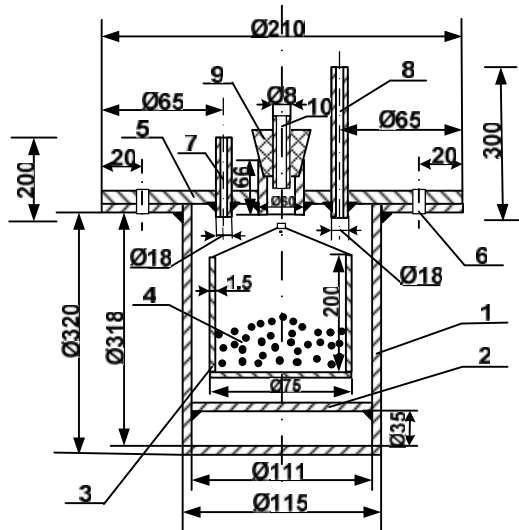
- crni lim - materijal . 0461, dimenzije  $879 \text{ mm} \times 375 \text{ mm}$ , debljine 2 mm
- kamena mineralna vuna - površine  $1\text{m}^2$
- šamotna cev,  $\varnothing 206 \text{ mm}$ , debljine zida 3 mm, dužine 340 mm
- elastična ploča - materijal . 1531, dimenzije  $320 \text{ mm} \times 320 \text{ mm}$ , debljina ploče 5 mm, komada 2
- vijci M12×40 ( JUS M.B1.054) V. 5.6, sa navrtkom M12 ( JUS M.B1.601) i podloškom za M12, komada 8
- cev od prohroma - materijal . 4970,  $\varnothing 115 \text{ mm}$ , debljine zida 2 mm, dužine 322 mm
- cev od prohroma - materijal . 4970,  $\varnothing 75 \text{ mm}$ , debljine zida 1.5mm, dužine 200 mm
- lim od prohroma - materijal . 4970, dimenzije  $210\text{mm} \times 210\text{mm}$ , debljine 2 mm
- lim od prohroma - materijal . 4970, dimenzije  $210\text{mm} \times 210\text{mm}$ , debljine 4 mm
- cev od prohroma - materijal . 4970,  $\varnothing 18 \text{ mm}$ , debljine zida 1.5mm, dužine 600 mm
- cev od prohroma - materijal . 4970,  $\varnothing 60 \text{ mm}$ , debljine zida 1.5 mm, dužine 66 mm
- teflonski lep za cev -  $\varnothing 60 \text{ mm}$ , dužine 70 mm.

Laboratorijsko postrojenje je projektovano i napravljeno u Laboratoriji Departmana za inženjerstvo zaštite životne sredine i zaštite na radu i Departmana za energetiku i procesnu tehniku Fakulteta tehničkih nauka u Novom Sadu. Slike 5.5 i 5.6. prikazuju šeme električne i reaktorske posude za pirolizu drvne biomase.



Slika 5.5. Šema električne i

1 – elastični cilindar, 2 – kamena mineralna vuna (toplota izolacija), 3 – šamot, 4 – električni grejači, 5 – senzor regulatora temperature, 6 – regulator temperature, 7 – postolje električne i, 8 – poklopac električne i, 9 – vijci za stezanje poklopca reaktorske posude, 10 – mesto za reaktorsku posudu



Slika 5.6. Šema reaktorske posude

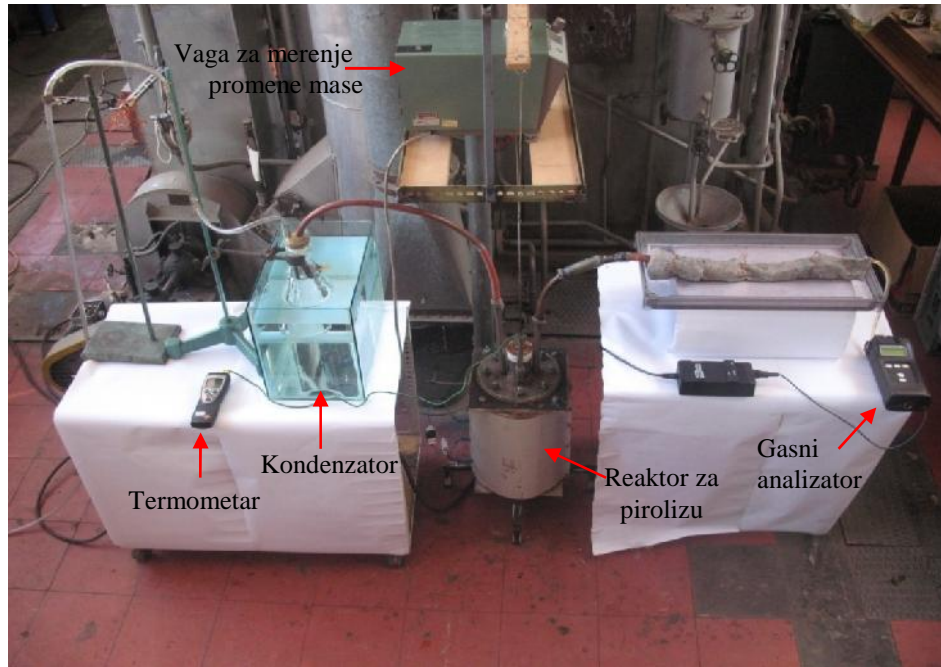
1 – cilindri na posuda, 2 – dno reaktorske posude, 3 – posuda za drvnu biomasu, 4 – uzorak biomase, 5 – poklopac reaktorske posude, 6 – otvor za vijke, 7 – cev za termoelement, 8 – cev za gasovite produkte pirolize, 9 – ep, 10 – cev za prolaz fleksibilne veze izme u vase i posude za uzorak biomase

Pri izgradnji eksperimentalnog postrojenja koriš eni su materijali otporni na visoke temperature i na temperatursku koroziju. Konstrukcija pe i i reaktora omogu ava ispitivanje šaržnih procesa pirolize biomase radne temperature do 700 °C. Laka izolacija pe i i mala masa reaktora omogu avaju merenje promene mase uzorka tokom ispitivanja. Izbor mernih mesta je izvršen tako da realno oslikavaju stanje merenih parametara tokom procesa pirolize. Elektri na pe je visine 389 mm, spoljašnjeg pre nika 320 mm i unutrašnjeg pre nika 150 mm, obložena je izolacionim materijalom (kamena mineralna vuna) i okružena je sa tri zasebno kontrolisana elektri na greja a ukupne snage 4.5 kW koji greju reaktorsku posudu sa uzorkom biomase do željene temperature. Reaktorska posuda za biomasu je visine 200 mm i unutrašnjeg pre nika 72 mm. Fotografski izgled elektri ne pe i i reaktorske posude prikazan je na slici 5.7.



Slika 5.7. Fotografski izgled elektri ne pe i i reaktorske posude

Slika 5.8. prikazuje laboratorijsko postrojenje, projektovano na Fakultetu tehni kih nauka, na kome su vršena eksperimentalna merenja procesa pirolize šest razli itih vrsta drvne biomase (strugotine drveta hrasta, bukve, trešnje, oraha, jele i lipe), kao i njihove mešavine, sa injene od svih šest ispitivanih vrsta drvne biomase jednakog masenog udela.



Slika 5.8. Fotografski izgled laboratorijskog postrojenja za pirolizu drvne biomase

Vršene su dve serije eksperimenata. Prva serija vršena je radi utvrđivanja uticaja temperature i reakcionog vremena na prinos produkata pirolize. Tokom procesa zagrevanja, beležena je veza između promene mase, temperature i vremena. Gasni analizator G 750 POLYTECTOR II korišten je za merenje zapreminske udjelićnosti CO, H<sub>2</sub>, CO<sub>2</sub>, O<sub>2</sub> i CH<sub>4</sub> na izlazu iz reaktora, digitalna precizna vaga METTLER P1000 za merenje promene mase uzorka drvne biomase, a digitalni pokazivač temperature Testo 925 sa sondom tipa K (NiCr - Ni) za merenje temperature (0 - 650 °C) u posudi sa biomasom. Eksperiment je ponovljen po pet puta za šest vrsta drvne biomase i njihovu mešavinu. Rezultati su prikazani u prilozima 5. i 11. Brzina zagrevanja je izrađena nakon eksperimenta i kretala se u opsegu od 18 do 25°C/min. Pri ispitivanju uticaja brzine zagrevanja na prinos produkata pirolize korištena je srednja vrednost brzine zagrevanja za sva izvršena merenja koja iznosi 21 °C/min.

Druga serija eksperimenata je izvedena kako bi se utvrdila zavisnost prinosa produkata pirolize mešavine drvne biomase od brzine zagrevanja. U drugoj seriji eksperimenata brzine zagrevanja su iznosile 32 i 55 °C/min, što je dobijeno proračunom nakon izvođenja eksperimenta. Eksperiment je ponovljen po dva puta za navedene brzine zagrevanja (prilozi 12. i 13.). Beležena je promena mase u zavisnosti od temperature i vremena, radi poređenja rezultata sa rezultatima dobijenim u prvoj seriji eksperimenata pri pirolizi mešavine drvne biomase sa prosečnom brzinom zagrevanja u reaktoru od 21 °C/min.

Pri svakom eksperimentalnom ispitivanju, početna masa uzorka drvne biomase iznosila je 10 g, a frakcioni sastav bio je u opsegu 0.5 - 1.0 cm. Uzorci drvne biomase su stavljeni u posudu za uzorak biomase a potom zajedno sa posudom u reaktor. Zagrevanje je vršeno električnim grejačima. Nakon postizanja temperature od 650 °C, temperatura je održavana u intervalu od 640 - 660 °C određeno vreme, dok se ne ustali masa uzorka u reaktoru. Posuda sa uzorkom drvne biomase je očekivana za vagu pomoći u fleksibilne veze između vase i posude. Nakon eksperimenta, vršeno je merenje mase koksognog ostatka, kao i mase te ne-faze. Svi podaci unošeni su u merne liste.

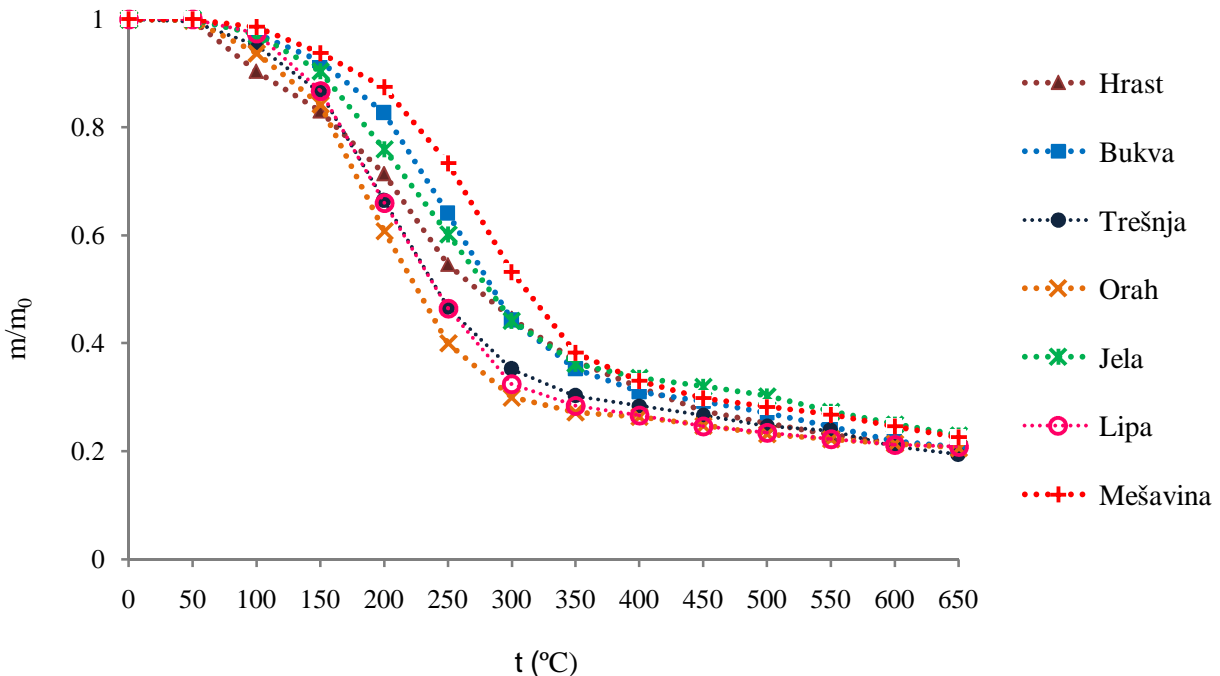
### 5.3. Rezultati i diskusija eksperimentalnog ispitivanja

Piroliza drvne biomase odvija se kroz više različitih procesa, uključujući i egzotermni proces tokom koga se dobijaju tri proizvoda: gasovi, bio-ulje i vrsti ostatak. Osnovne reakcije do kojih dolazi pri odvijanju procesa pirolize drveta mogu se podeliti na primarne i sekundarne reakcije. Primarne reakcije najčešće podrazumevaju reakcije fragmentacije i dehidratacije. Pri temperaturi ispod 300 °C, prevlada reakcija fragmentacije koja podrazumeva depolimerizaciju biomase u primarni katran. Sekundarnim reakcijama, proizvodi dobijeni primarnim reakcijama se ponovo polimerizuju, podležu daljim reakcijama fragmentacije kao što su krekovanje ili reformiranje, ili reaguju sa slobodnim radikalima i nastaju sekundarni proizvodi [2].

#### 5.3.1. Uticaj temperature na proces pirolize

Opšte gledano, povećanje temperature dovodi do povećanja udela gasa u krajnjem proizvodu pirolize. Razgradnja biomase na većoj temperaturi rezultat je sekundarnih egzotermnih reakcija. Prinos te faze raste do maksimalne vrednosti od 35% na temperaturi od 500 °C a zatim opada sa daljim porastom temperature. Sekundarne egzotermne reakcije (krekovanje) na većim temperaturama povećavaju udio gase u razlagajuće faze. Analize pojedinih istraživača ukazuju da bi za veću prinos bio-ulja, temperatura trebalo da bude između 500 i 550 °C kako bi se sprečilo završetak sekundarnih reakcija [3]. Nasuprot tome, proizvodnja gase karakteriše suprotni trend. Prinos gase se smanjuje do 500 °C a zatim znatno raste sa povećanjem temperature usled reakcija krekovanja koje uključuju te nu fazu [3].

Na slici 5.9. prikazana je promena  $m/m_0$ , gde je  $m$  masa uzorka drvne biomase koja se menja tokom vremena u reaktoru, a  $m_0$  početna masa uzorka, u zavisnosti od reakcione temperature. Masa uzorka  $m$  predstavlja srednju vrednost pet merenja. Pri nižim temperaturama (<100 °C) proces razgradnje uzorka teže sporije i vrsti ostatak je glavni proizvod. Pri višim temperaturama (100–500 °C) razgradnja uzorka teže brže uz značajnu redukciju vrstog ostatka i povećanje prinosa vlažnog gase. Iznad 500 °C dolazi do stabilizacije prinosa vrstog ostatka. Pri krajnjoj temperaturi od 650 °C, najmanji prinos vrstog ostatka dobijen je za uzorak strugotine drveta trešnje i iznosi 0.194 g/g (19.4%), dok je najveći prinos vrstog ostatka dobijen pri pirolizi uzorka strugotine drveta jelenje i iznosi 0.230 g/g (23.0%). Prinos vrstog ostatka dobijen nakon eksperimentalnog ispitivanja procesa pirolize drveta hrasta i bora kod Braadbaarta i ostalih iznosio je 15–25% na krajnjoj temperaturi od 1200 °C [4], dok su Chan i ostali [5] proučavanjem procesa pirolize piljevine bora utvrdili da je prinos vrstog ostatka iznosio od 22.1 do 23.6%, tako da se može primetiti da krajnji prinos vrstog ostatka približno odgovara rezultatima predstavljenim u literaturi.



Slika 5.9. Promena mase uzorka drvne biomase u zavisnosti od temperature pirolize  
(prose na brzina zagrevanja  $21\text{ }^{\circ}\text{C/min}$ )

Tabela 5.3. prikazuje vrednost  $m/m_0$  na određenim temperaturama za svaku vrstu drvne biomase za koju je vršeno ispitivanje procesa pirolize. U tabeli su prikazane srednje vrednosti pet merenja za svaku vrstu drvne biomase. U prvoj koloni prikazana je vrsta drvne biomase, dok ostale kolone prikazuju vrednosti  $m/m_0$  na određenoj temperaturi. Razlike između različitih vrst drvne biomase uglavnom nisu velike. Može se reći da su znatljiva odstupanja zabeležena jedino pri temperaturi od  $200\text{ }^{\circ}\text{C}$ , na kojoj je najveća vrednost  $m/m_0$  zabeležena za mešavinu (87.4%), a najmanja za strugotinu drveta oraha (60.8%).

Tabela 5.3. Promena mase uzorka drvne biomase  $m/m_0$  u zavisnosti od temperature pirolize  
(prose na brzina zagrevanja  $21\text{ }^{\circ}\text{C/min}$ )

$t$ ( $^{\circ}\text{C}$ )	100	200	300	400	450	500	550	600	650
$m/m_0$									
Hrast	0.904	0.714	0.446	0.318	0.274	0.252	0.230	0.216	0.206
Bukva	0.974	0.826	0.442	0.310	0.292	0.270	0.246	0.218	0.208
Trešnja	0.952	0.664	0.352	0.284	0.266	0.246	0.238	0.208	0.194
Orah	0.938	0.608	0.300	0.264	0.248	0.232	0.222	0.214	0.206
Jela	0.972	0.760	0.442	0.336	0.320	0.302	0.274	0.250	0.230
Lipa	0.974	0.660	0.324	0.266	0.246	0.234	0.222	0.212	0.208
Mešavina	0.986	0.874	0.532	0.330	0.298	0.282	0.268	0.246	0.226

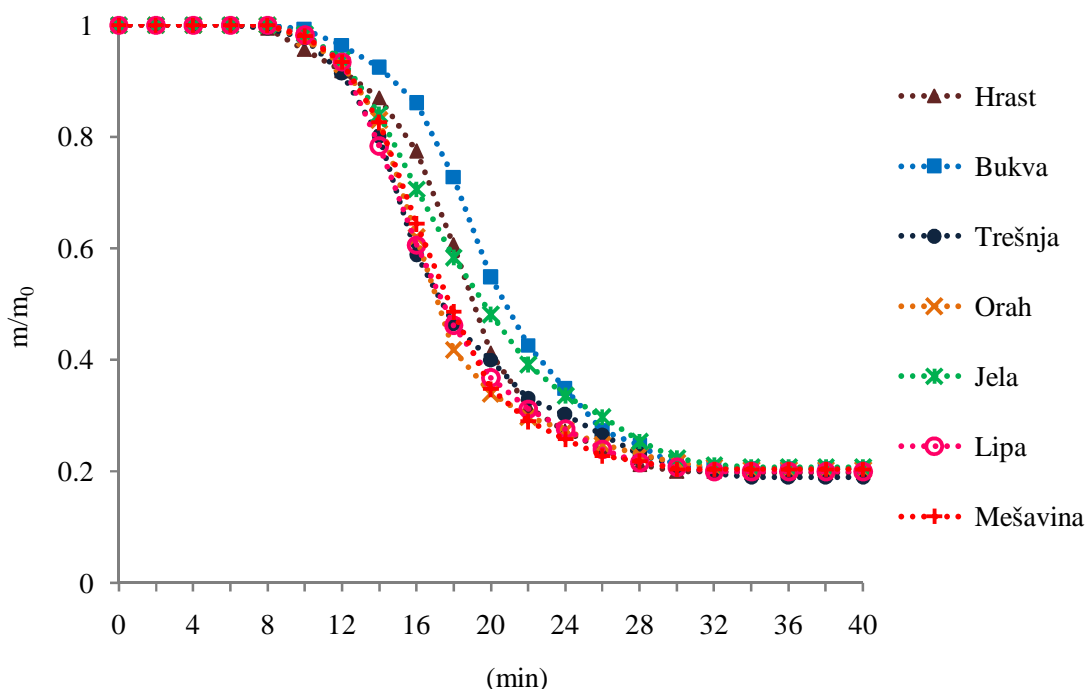
Na osnovu prikazane tabele može se primetiti da do najznačajnijih promena masenog udela  $m/m_0$  dolazi u opsegu temperature  $200\text{--}400\text{ }^{\circ}\text{C}$ . Pri  $200\text{ }^{\circ}\text{C}$  prinos vrstog ostatka kretao se od 0.608–0.874 g/g, dok je na  $400\text{ }^{\circ}\text{C}$  iznosio od 0.264–0.336 g/g. U navedenom opsegu prinos vrstog ostatka se smanjio za 55.46–62.47%, u zavisnosti od vrste drvne biomase. Korištenjem vrednosti iz tabele može se ustanoviti da se prinos vrstog ostatka u opsegu od  $400\text{--}600\text{ }^{\circ}\text{C}$  smanjio za 21.81–35.22%.

Tabela 5.3. prikazuje promenu mase uzorka do temperature od 650 °C. Bitno je napomenuti da pri toj temperaturi reakcija pirolize nije završena. Nakon postizanja ove temperature kod nekih uzoraka se može uočiti mali gubitak mase. To ukazuje da bio-ulje i vrsti ostatak i dalje reaguju ili da su prisutne neke druge spore reakcije. Međutim, većina komponenata biomase je već odreagovala.

Mnogi istraživači su u svojim radovima analizirali promenu mase vrstog ostatka u zavisnosti od temperature i došli su do zaključka da se sa porastom temperature pirolize smanjuje prinos vrstog ostatka kao i da su najveće promene zabeležene u intervalu od 200 do 400 °C. Müller - Hagedorn i ostali [6] su u svom radu analizirali pirolizu tri različite vrste drveta: graba, oraha i škotskog bora. Na grafiku koji prikazuje termogravimetrijsku analizu hemijski tretiranog drveta graba jasno se vidi da u opsegu temperature 200–400 °C dolazi do najznačajnije promene masenog udela. Park i ostali [7] razmatrali su pirolizu belog hrasta iz Koree. Režim gubitka mase kod belog hrasta je takav da je između 250 i 400 °C došlo do kompletne razgradnje. Ispitivanjem pirolize hrasta i bora, Braadbart i ostali [4] došli su do podatka da se u opsegu temperature od 220 do 310 °C izgubi oko 60% od početne mase uzorka.

### 5.3.2. Promena mase uzorka drvne biomase u zavisnosti od reakcionog vremena

Zavisnost promene mase uzorka drvne biomase  $m/m_0$  od reakcionog vremena prikazana je na slici 5.10. Masa uzorka  $m$  predstavlja srednju vrednost pet merenja za svaku vrstu drvne biomase. Tokom prvih 7 minuta ispitivanja procesa pirolize masa uzorka u reaktoru ostaje nepromenjena i iznosi 10 g. Sa daljim tokom procesa pirolize od 12 do 24 minuta zabeležen je znatan gubitak mase uzorka. Nakon 34 minuta trajanja procesa pirolize, masa vrstog ostatka ima konstantnu vrednost.



Slika 5.10. Kriva promene mase uzorka drvne biomase u zavisnosti od reakcionog vremena (prose na brzina zagrevanja uzorka biomase 21 °C/min)

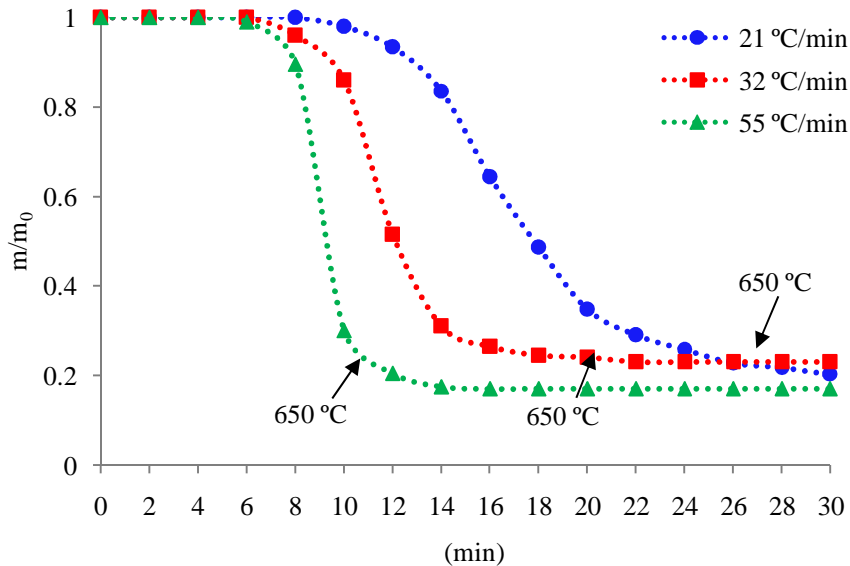
Proces razgradnje najbrže se odvijao pri pirolizi strugotine drveta trešnje, a najsporije pri pirolizi strugotine drveta bukve, ali odstupanja nisu zna ajna. Od 16-tog do 20-og minuta došlo je do najve ih odstupanja izme u razli itih vrsti drvne biomase. Na kraju procesa pirolize odnos mase vrstog (koksnog) ostatka i mase uzorka drvne biomase kretao se u granicama 0.190 0.208 g/g.

### 5.3.3. Uticaj brzine zagrevanja na prinos produkata pirolize

Brzina zagrevanja uti e na brzinu i stepen piroliti kih reakcija, na redosled navedenih reakcija i na sastav nastalih proizvoda. Dugo vreme zagrevanja (spora piroliza) pospešuje sekundarne reakcije dok kratko vreme zagrevanja (brza ili fleš piroliza) redukuje sekundarne reakcije i dalju razgradnju primarnih proizvoda. Ukoliko se reaktor dovoljno brzo snabdeva toplotom pri fleš pirolizi, nastaje malo ili nimalo vrstog ostatka. Temperatura reaktora i biomase može se razlikovati. Stoga, pri višim temperaturama, na brzinu reakcije ve i uticaj može imati brzina transfera toplote nego kinetika reakcije.

Sa porastom brzine zagrevanja tokom procesa pirolize poveava se prinos volatila (isparljivih materija), dok prinos vrstog ostatka opada. Pri malim brzinama zagrevanja, volatili imaju dovoljno vremena da napuste zonu odvijanja reakcija pre nego što do e do reakcije krekanja. Brzina zagrevanja zavisi od dimenzija goriva i vrste piroliti kog reaktora. Ve i prinos te ne faze podst i piroliza pri velikim brzinama zagrevanja i visokoj temperaturi, dok se ve i prinos vrstog ostatka postiže pirolizom pri malim brzinama zagrevanja i niskim temperaturama.

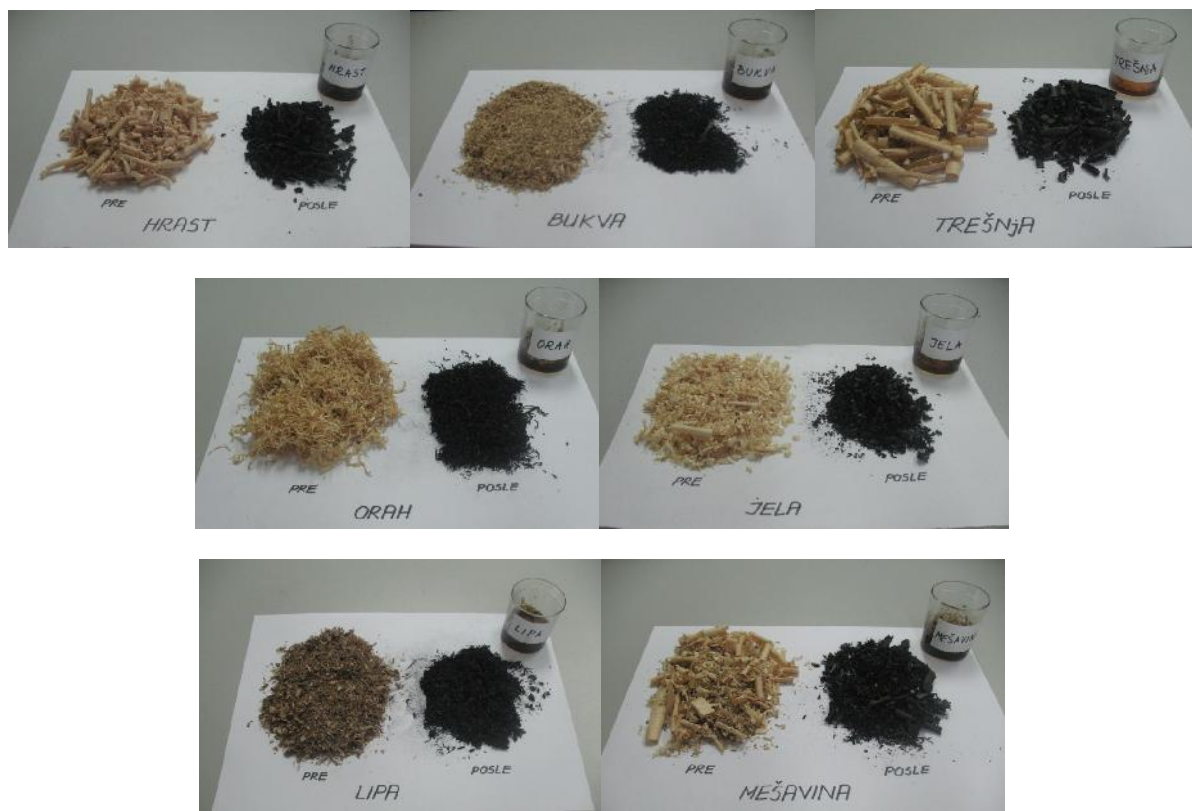
Promena masenog odnosa  $m/m_0$ , gde je  $m$  masa uzorka mešavine drvne biomase koja se menja tokom vremena u reaktoru ( $m$  predstavlja srednju vrednost izvršenih merenja), a  $m_0$  po etna masa uzorka, u zavisnosti od vremena pirolize i brzine zagrevanja uzorka prikazana je na slici 5.11. Sa slike se uoavaju ve i prinosi vlažnog piroliti kog gasa, a manji prinosi vrstog ostatka (koksa) pri ve im brzinama zagrevanja uzorka u reaktoru. Ve i prinosi koksog ostatka pri manjim brzinama zagrevanja uzorka mešavine u reaktoru su posledice sporih reakcija koje se odvijaju u reaktoru. Krajnja temperatura pirolize mešavine drvne biomase ( $650^{\circ}\text{C}$ ) bila je postignuta na 11-om, 20-om i 26-om minuti pri brzinama zagrevanja uzorka od 55, 32 i  $21^{\circ}\text{C}/\text{min}$  (srednje vrednosti), respektivno. Temperatura od  $650^{\circ}\text{C}$  održavana je do stabilizacije  $m/m_0$ . Masa suvog piroliti kog gasa, vrstog (koksnog) ostatka i te ne faze dobijena merenjem nakon procesa pirolize mešavine drvne biomase kretala se u granicama 5.10 5.54 g, 1.70 2.30 g, 2.40 2.72 g, respektivno. Srednja brzina izdvajanja vlažnog piroliti kog gasa iznosi 0.30, 0.38 i 0.70 g/min pri brzinama zagrevanja uzorka mešavine biomase od 21, 32 i  $55^{\circ}\text{C}/\text{min}$ . Odnos mase vrstog (koksnog) ostatka i mase uzorka mešavine biomase kre e se u granicama 0.17 0.23 g/g pri temperaturi pirolize od  $650^{\circ}\text{C}$ . Odnos zavisi u prvom redu od udela vlage, ugljenika i vodonika u uzorku. Pri višim temperaturama pirolize taj odnos je manji zbog smanjenog udela vlage i volatila.



Slika 5.11. Kriva gubitka mase uzorka mešavine drvne biomase u zavisnosti od reakcionog vremena i brzine zagrevanja uzorka

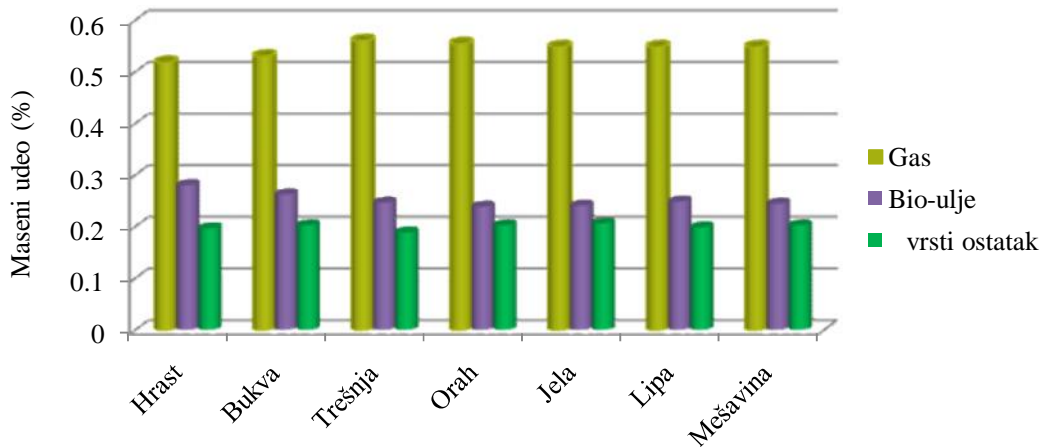
### 5.3.4. Uticaj vrste drvne biomase na prinos produkata pirolize

Proces pirolize eksperimentalno je ispitivan na uzorcima šest različitih vrsta drvne biomase (strugotini hrasta, bukve, trešnje, oraha, jele i lipe) i na uzorku dobijenom mešanjem jednakih masenih udela svih šest navedenih vrsta drvne biomase. Na slici 5.12. prikazani su uzorci drvne biomase pre procesa pirolize, vrsti (koksnii) ostatak i te ne faze.



Slika 5.12. Prikaz uzoraka drvne biomase pre procesa pirolize, vrstog ostatka i te ne faze

Na slici 5.13. prikazan je prinos produkata na kraju procesa pirolize drvne biomase. Prinos piroliti kog gasa na kraju procesa pirolize kretao se od 52.0% (strugotina drveta hrasta) do 56.2% (strugotina drveta trešnje). Prinos te ne faze na kraju procesa pirolize iznosio je od 24.0% za strugotinu drveta oraha, do 28.2% za strugotinu drveta hrasta. Najmanje promene zabeležene su kod prinosa vrstog ostatka, koji se kretao od 19.0% za strugotinu drveta trešnje do 20.8% za strugotinu drveta jele.



Slika 5.13. Maseni udeo produkata pirolize drvne biomase pri temperaturi 650 °C  
(prose na brzinu zagrevanja 21 °C/min)

Sa slike 5.13. može se primetiti da prinos produkata ne pokazuje značajna odstupanja za različite vrste drvne biomase. Mala odstupanja prinosa mogu se objasniti malim razlikama u odnosima H/C i O/C, koji se kreću od 1.35-1.77 i od 0.59-0.73, respektivno (tabela 5.4.). Za mešavinu drvne biomase koja je eksperimentalno ispitivana, odnos H/C je 1.41, a odnos O/C je 0.73, što je u opsegu vrednosti dobijenih razmatranjem rezultata elementarne analize iz literature za pojedinačne vrste drvne biomase koje su zastupljene u mešavini.

Tabela 5.4. Elementarna i tehnička analiza različitih vrsta drvne biomase

Vrsta drvne biomase	Elementarna analiza							Tehnička analiza					
	C	H	N	S	O	H/C	O/C	W	VM	A	C <sub>fix</sub>	H <sub>d</sub>	
	maseni udeo (%)				$\left( \frac{\text{kmolH}}{\text{kmolC}} \right)$		$\left( \frac{\text{kmolO}}{\text{kmolC}} \right)$						
Hrast	[8]	47.06	5.67	0.28	0.09	39.90	1.45*	0.63*	6.50	73.00	0.50	20.00	16628
	[9]	44.27	6.53	1.99	0	41.81	1.77*	0.71*	5.20	77.00	0.20	17.70	16460*
	[10]	48.80	6.22	0.28	0	38.90	1.53*	0.60*	5.20	82.40	0.60	11.80	18061*
Bukva	[11]	45.84	5.74	0.37	0	39.35	1.50*	0.64*	7.40	68.52	1.30	22.78	16351*
	[12]	43.38	5.51	0.37	0	41.54	1.52*	0.73*	8.10	76.00	1.10	14.80	14888*
	[13]	46.61	5.80	0.37	0.36	39.96	1.49*	0.64*	6.40	74.80	0.50	18.30	16563
Trešnja	[14]	47.36	6.42	0.74	0.18	45.30	1.63*	0.71*	6.09	72.97	2.64	18.30	16760
Orah	[15]	43.89	4.94	0.21	0	40.68	1.35*	0.69*	9.53	72.97	0.75	16.75	13762
	[14]	43.59	5.92	0.90	0.18	40.37	1.63*	0.69*	3.65	71.43	5.39	19.00	16310
Jela	[16]	48.53	5.66	0.28	0.09	38.24	1.40*	0.59*	6.70	75.70	0.50	17.10	17361

\*dobijeno proračunom

### 5.3.5. Pore enje prinosa produkata pirolize sa podacima iz literature

U tabeli 5.5. prikazani su prinos vrstog oстатка, bio-ulja i gasa dobijeni na kraju procesa pirolize mešavine drvne biomase i pore enje sa rezultatima datim u literaturi. Vrednosti prinosa vrstog oстатка dobijene eksperimentalnim ispitivanjem uporedive su sa vrednostima prinosa vrstog oстатка kod drugih istraživača [17-22]. Odstupanja prinosa bio-ulja i gasa mogu se objasniti razliitim uslovima odvijanja procesa pirolize, pre svega brzinom zagrevanja.

Tabela 5.5. Pore enje prinosa produkata pirolize drvne biomase sa podacima iz literature

	Vrsta biomase	Temperatura (°C)	Brzina zagrevanja (°C/min)	Maseni udio (%)			Voda i gubici
				vrsti oстатак	Bio-ulje	Gas	
Eksperiment	Hrast	650	21	19.8	27.2	51.0*	-
	Bukva			20.4	26.4	53.2*	-
	Trešnja			19.0	24.8	56.2*	-
	Orah			20.4	24.0	55.6*	-
	Jela			20.8	24.2	55.0*	-
	Lipa			20.0	25.0	55.0*	-
Grieco i Baldi [17]	Mešavina			20.4	24.6	55.0*	-
	Bor	677-977	3	27.0	54.0	20.0	1.3
			60	21.0	61.0	18.0	1.1
			3	27.0	53.0	21.0	1.1
			60	21.0	62.0	17.0	1.1
Figueiredo et al. [18]	Hrast	600	-	21.9	43.0	35.1	-
		700		20.7	37.3	42.0	-
		800		18.4	28.1	53.5	-
Knight et al. [19]	Šumski otpad	316-982	-	23.0	25.0	68.0	-
Williams i Besler [20]	Bor	600	5	24.0	12.4	14.6	21.0
			20	22.6	12.8	27.0	37.6
		720	5	23.2	13.0	26.8	37.0
			20	19.6	14.1	28.8	37.5
Bajus [21]	Bukva	450	7.5-16.5	30.6	44.3	25.1	-
Garcia-Pérez et al. [22]	Drvni otpad	500	12	26.2	26.4	19.9	27.5

\*Vrednosti određene iz materijalnog bilansa

### 5.3.6. Sastav produkata pirolize

Procesom pirolize biomase nastaju tri produkta: tečna (bio-ulje), vrsta (biougalj, vrsti ili koksni oстатак) i gasovita (pirolitički gas). Odnos produkata pirolize zavisi od više faktora uključujući sastav goriva i parametre procesa.

#### 5.3.6.1. Sastav pirolitičkih gasa

Tokom procesa pirolize nastaju kondenzibilni i nekondenzibilni gasovi. Kondenzibilni gasovi, (organske pare koje se sastoje od fragmenata lignina, celuloze i hemiceluloze) formiraju bio-

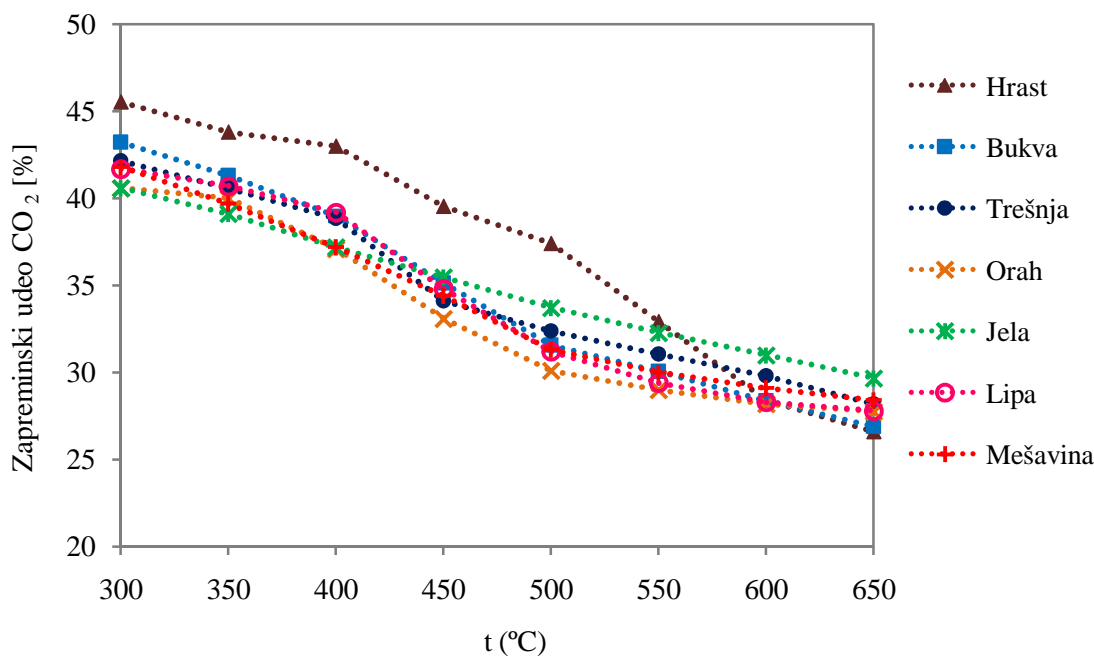
ulje kada se brzo ohlade. Nekondenzibilni gasovi koji nastaju tokom pirolize su vodonik, metan, ugljen monoksid i ugljen dioksid.

Moguće je proizvesti velike zapremine vodonika optimizacijom uslova, što podrazumeva visoku temperaturu pirolize, veliku brzinu zagrevanja i dugo vreme zadržavanja u gasovitoj fazi [23, 24]. Katalizatori mogu da povećaju prinos vodonika. Najčešći katalizatori za osnovu imaju nikl, kalijum, kalcijum i magnezijum. Reakcija parnog reformiranja, kao i "water-gas shift" reakcija može dodatno da poveća proizvodnju vodonika [25, 26, 27].

Po Zajecu [3], sastav gasa značajno utiče na temperaturu, narođeno na prinos  $\text{CH}_4$ , koji je najveći na temperaturi između 600 i 700 °C; prinosi CO i  $\text{H}_2$  rastu, dok prinos  $\text{CO}_2$  ravnomerno opada sa porastom temperature.

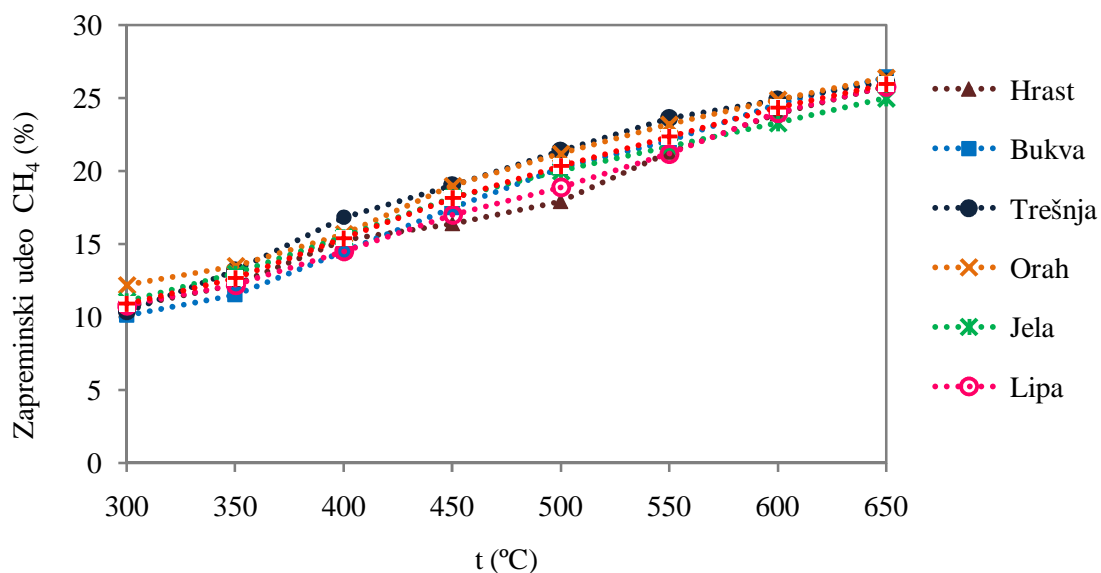
Ispitivanja sastava gasa nastalog procesom pirolize drvne biomase vršeno je u prvoj seriji eksperimentata za svih šest vrsti drvne biomase i mešavinu pri prosečnoj brzini zagrevanja od 21 °C/min. Slike 5.14. i 5.15. ukazuju da porast temperature pirolize od 300 do 650 °C utiče na opadanje zapreminskog udela  $\text{CO}_2$  i povećanje zapreminskog udela  $\text{CH}_4$ .

Kada temperatura u reaktoru dostigne vrednost od 300 °C, najzastupljenija komponenta u gasu dobijenom procesom pirolize biomase je  $\text{CO}_2$  (jaki se zapreminske udio kreće u intervalu od 40.60% (strugotina oraha i jеле) do 45.52% (strugotina hrasta) (slika 5.14.). Pri najvećoj vrednosti temperature od 650 °C zapreminske udio  $\text{CO}_2$  kretaju se u intervalu od 26.60% (strugotina hrasta) do 29.68% (strugotina jеле). Može se uočiti da vrsta drvne biomase nije imala znatan uticaj na prinos ugljen dioksida, jer se jedino pri pirolizi strugotine hrasta javljaju primetna odstupanja u opsegu temperature od 300 do 500 °C.



Slika 5.14. Promene zapreminskih udela  $\text{CO}_2$  tokom procesa pirolize različitih vrsti drvne biomase u zavisnosti od reakcijske temperature (prosečna brzina zagrevanja 21 °C/min)

Slika 5.15. grafi ki prikazuje zapreminske udele metana u zavisnosti od temperature. Na temperaturi od 300 °C, zapremski ideo metana kretao se u opsegu od 10.1% (strugotina bukve) do 12.2% (strugotina oraha) (slika 5.15.). Najve u vrednost zapremski ideo CH<sub>4</sub> dostigao je pri temperaturi od 650 °C, pri kojoj je iznosio od 25.0% (strugotina jele) do 26.4% (strugotina bukve i oraha). Na osnovu slike 5.15. može se zaklju iti da vrsta drvne biomase koriš ene pri procesu pirolize nema uticaj na prinos metana.



Slika 5.15. Promene zapremskih udela CH<sub>4</sub> tokom procesa pirolize razli itih vrsta drvne biomase u zavisnosti od reakcione temperature (prose na brzina zagrevanja 21 °C/min)

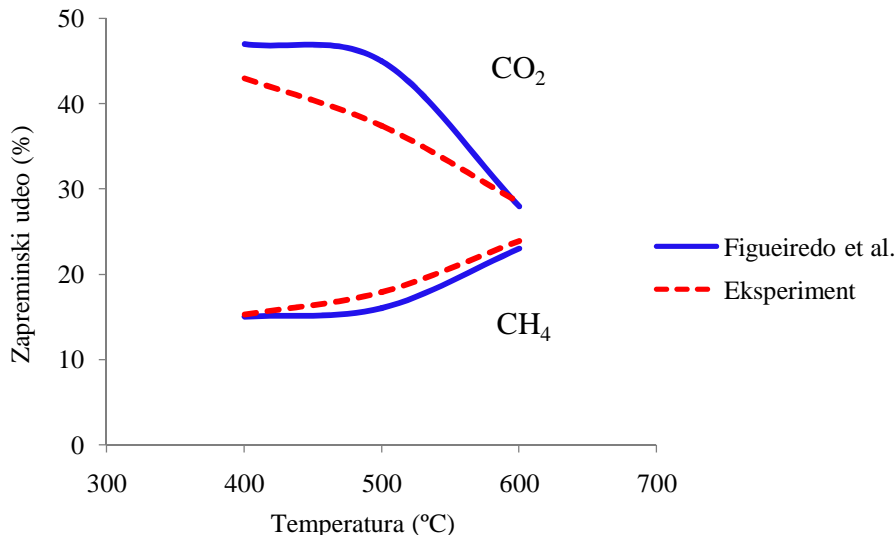
Pore enje sastava gasa dobijenog eksperimentalnim ispitivanjem pirolize drvne biomase sa podacima iz literature prikazano je u tabeli 5.6.

Tabela 5. 6. Poreni sastava gasa dobijenog pirolizom drvne biomase sa podacima iz literature

	Vrsta biomase	Temperatura (°C)	Brzina zagrevanja (°C/min)	Zapreminske udjeli (%)					
				CO <sub>2</sub>	CH <sub>4</sub>	H <sub>2</sub>	CO	C <sub>x</sub> H <sub>y</sub>	
Eksperiment	Različite vrste drvne biomase i njihova mešavina	350	21	39.1-43.8	11.5-13.5	1.1-2.1	-	-	
		400		37.1-43.0	14.5-16.8	1.6-2.5	-	-	
		450		33.1-39.5	16.4-19.0	3.0-3.3	-	-	
		500		30.1-37.4	17.9-21.4	3.8-n.o.	-	-	
		550		29.0-32.9	21.2-23.6	-	-	-	
		600		28.2-31.0	23.3-24.9	-	-	-	
		650		26.6-29.7	25.0-26.4	-	-	-	
Grieco i Baldi [17]	Bor	677-977	3	36.5	19.8	11.7	29.9	2.1	
			60	37.6	15.5	8.8	36.1	2.1	
	Bukva		3	40.1	18.9	10.3	28.9	1.7	
			60	38.2	15.4	9.3	35.5	1.5	
Figueiredo et al. [18]	Hrast	400		47.0	15.0	0	38.0	-	
		500		45.0	16.0	4.0	35.0	-	
		600		28.0	23.0	12.0	37.0	-	
		700		23.0	18.0	21.0	38.0	-	
Bajus [21]	Bukva	350	7.5-16.5	42.9	10.7	0	42.8	3.6	
		400		40.7	13.1	0	42.0	4.2	
		450		35.8	16.2	3.1	40.1	4.8	
Hwang et al. [28]	Drvna biomasa, seka	500	-	40.0	13.0	5.0	40.0	2.0	
		700		20.0	15.0	18.0	43.0	4.0	
		900		15.0	16.0	25.0	41.0	3.5	

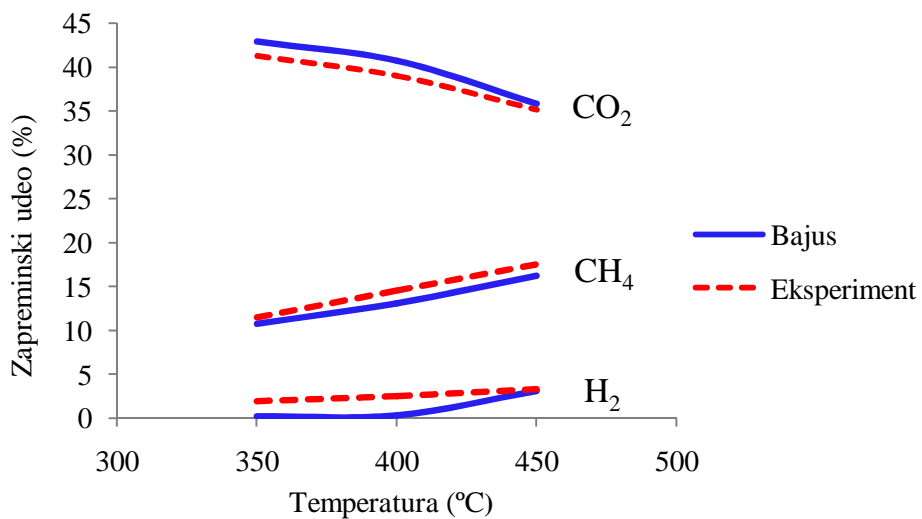
n.o. - nije određeno

Analizom podataka iz tabele 5.6. može se zaključiti da su eksperimentalno ispitivani zapreminske udjeli sastavnih komponenata pirolitičkog gasa u saglasnosti sa podacima iz literature. Figueiredo et al. [18] su ispitivali pirolizu hrasta pri temperaturi od 400 do 900 °C. Poreni su zapreminske udjeli metana i ugljen dioksida na temperaturama od 400, 500 i 600 °C sa eksperimentalno dobijenim podacima za pirolizu hrasta u okviru doktorske disertacije (slika 5.16.). Može se primetiti da se značajnija odstupanja javljaju pri poreniu zapreinskog udela ugljen dioksida na 500 °C, dok su ostale vrednosti u dobroj saglasnosti.



Slika 5.16. Pore enje zapreminskih udela  $\text{CO}_2$  i  $\text{CH}_4$  u gasu dobijenom pirolizom hrasta sa podacima iz literature

Bajus je u svom раду [21] vršio експериментално испитивање пиrolize букве у шарњном реактору на температури од 350 до 450 °C. За дате температуре извршено је pore enje заприминских удела угљен диоксида, метана и водоника са вредностима добијеним експерименталним испитивањем пиrolize букве у оквиру докторске дисертације (слика 5.17.). Може се уочити да су одступања неznatna.



Slika 5.17. Pore enje заприминских удела  $\text{CO}_2$ ,  $\text{CH}_4$  и  $\text{H}_2$  u gasu добијеном pirolizom bukve sa podacima iz literature

### 5.3.6.2. Sastav bio-ulja

Bio-ulje je gusta kompleksna mešavina oksigenovanih organskih jedinjenja tamno braon boje. Toplotna mo bio-ulja iznosi 50-70% topotne mo i goriva naftnog porekla i može se koristiti kao gorivo za kotlove, ili uz odre enu preradu kao obnovljivo gorivo za transport.

Bio-ulje nastaje brzom i istovremenom depolimerizacijom i fragmentacijom celuloze, hemiceluloze i lignina sa naglim porastom temperature. Brzo hla enje zadržava mnoge me uproizvode koji bi dalje reagovali kada bi se produžilo vreme boravka na visokoj temperaturi. Bio-ulje sadrži mnoge reagense što doprinosi njegovim neobi nim karakteristikama. Hemski posmatrano, bio-ulje je po elementarnom sastavu sli no biomasi od koje je proizvedeno i sastoji se od veoma složene mešavine oksigenovanih ugljovodonika sa primetnim udelom vode koja se sastoji od po etne vlage i vode kao reakcionog proizvoda.

Bio-ulje je hemski nestabilno jer sadrži veliki broj razli itih komponenata koje mogu da me usobnom reakcijom proizvedu vodu, katran i ostale organske komponente pri razli itim temperaturama i uslovima. Stoga se ne praktikuje destilacija bio-ulja, a skladištenje i transport moraju biti strogo kontrolisani. Uprkos tome, bio-ulje pokazuje veliki potencijal kao gorivo ili sirovina za proizvodnju goriva pomo u kataliti kih procesa, kao što navode Huber i ostali [28]. Sem toga, može se koristiti u kataliti kim procesima za proizvodnju drugih zna ajnih jedinjenja. Gustina bio-ulja je ve a od gustine biomase, što smanjuje troškove prilikom transporta [29].

U tabeli 5.7. prikazane su uobi ajene karakteristike i sastav bio-ulja dobijenog pirolizom drvne biomase [30]. Srednja vrednost masenog u dela kiseonika u bio-ulju je približno 37%. Kiseonik je prisutan u ve ini jedinjenja prisutnih u bio-ulju, a njegov udeo uglavnom zavisi od vrste biomase i uslova procesa (temperature, vremena boravka, brzine zagrevanja). Jedinjenje koja ima najve i udeo u bio-ulju je voda. Ostale zna ajne grupe identifikovanih komponenata su hidroksi aldehidi, hidroksi ketoni, še eri, karboksilne kiseline i fenolna jedinjenja. Ve ina fenolnih jedinjenja prisutna su u vidu oligomera molekulske mase izme u 900 i 2500 [31]. Prisustvo kiseonika u mnogim komponentama bio-ulja je osnovni razlog za razlike u osobinama i ponašanju ugljovodonkih goriva i ulja dobijenog pirolizom biomase.

Tabela 5.7. Karakteristike bio-ulja dobijenog pirolizom drvne biomase [30]

Fizi ka karakteristika	Karakteristi ne vrednosti	Napomene
Maseni udeo vlage	25%	Maseni udeo vlage obuhvata vlagu iz goriva i iz reakcije. Naj eš e se kre e u opsegu od 15 do 25%.
pH	2.5	Niska pH vrednost poti e od organskih kiselina.
Gustina	1.2 kg/l	Gustina bio-ulja iznosi približno 1.2 kg/l, što je visoko u pore enju sa lakinim loživim uljem i ja gustina iznosi približno 0.85 kg/l.
Elementarna analiza		Karakteristi ne vrednosti: C: 57%, H: 6%, O: 37%, N: u tragovima, pepeo: u tragovima, zavisi od sadržaja vrstog ostanaka
Pepeo	0%	Sav pepeo je povezan sa vrstom ostanakom
Gornja topotna mo (zavisi od udela vlage)	18 MJ/kg	Bio-ulje ima gornju topotnu mo od približno 18 MJ/kg kada je maseni udeo vlage približno 25%.
Viskoznost (na 40 °C i za maseni udeo vlage od 25%)	0.05 Pa·s	Viskoznost koja se proizvede može da varira od 0.05 do 1 Pa·s (mereno na 40 °C) u zavisnosti od vrste goriva, sadržaja vode i starosti.
vrste materije ( vrsti ostanak)	0.2%	Optimalan maseni udeo vrstog ostanaka u bio-ulju je manji od 0.1%, me utim esto se sre e 1% vrstog ostanaka.
Ostatak vakuumskie destilacije	50%	Ne može u potpunosti da ispari. Zagrevanjem do 100 °C nastaje vrsti ostanak koji je maseni udeo približno 50% od po etne te nosti i destilata koji sadrže organske isparljive materije i vodu.
Izgled		Naj eš e je u vidu te nosti tamno braon boje.
Miris		Karakteristi an miris dima
Mešljivost		Dodavanje vode je dozvoljeno dok maseni udeo vode ne dostigne 35%. Bio-ulje je mešljivo sa polarnim rastvara imma kao što je metanol, ali potpuno nemešljivo sa naftnim derivatima.

Voda u bio-ulju poti e od prvobitne vlage u gorivu i od proizvoda reakcije dehidratacije do kojih dolazi tokom procesa pirolize [32]. Prisustvo vode ima i negativan i pozitivan uticaj na osobine bio-ulja. Voda uti e na smanjenje topotne mo i, naro ito donje, kao i temperature plamena i doprinosi dužem odlaganju paljenja. Osim toga, voda poboljšava karakteristike protoka bio-ulja tako što smanjuje viskoznost, dovodi do uniformnijeg temperaturskog profila i do nižih emisija NO<sub>x</sub>. Zbog svog hemijskog sastava, temperatura klju anja bio-ulja kre e se u širokom opsegu. Pored vode i isparljivih komponenata, bio-ulje sadrži zna ajnu koli inu neisparljivih materija, kao što su še eri i oligomerna fenolna jedinjenja. Osim toga, sporo zagrevanje ulja tokom destilacije dovodi do polimerizacije nekih reaktivnih komponenata. Zbog toga bio-ulje po inje da klju a na temperaturi ispod 100 °C, ali destilacija prestaje na temperaturi od 250 do 280 °C ostavljaju i 35 50% od po etne materije. Stoga se bio-ulje ne može koristiti za odre ene primene koje zahtevaju potpuno isparavanje pre termi ke konverzije. Viskoznost bio-ulja zna ajno varira u zavisnosti od vrste goriva i uslova procesa, a naro ito od efikasnosti sakupljanja jedinjenja sa niskom temperaturom klju anja. Bio-ulja mogu da sadrže zna ajnu koli inu organskih kiselina, uglavnom sir etne i mravlje kiseline, što ini da pH vrednost iznosi od 2 do 3. Iz tog razloga bio-ulje deluje korozivno na

gra evinske materijale koji se naj eš e koriste, kao što su ugljeni ni elik i aluminijum i može da uti e na neke zaptivne materijale. Korozivnost raste sa ve om temperaturom i ve im sadržajem vlage.

Osobine bio-ulja imaju zna ajan uticaj na ponašanje bio-ulja pri procesima termi ke konverzije. Tabela 5.8. prikazuje elementarnu analizu bio-ulja dobijenog pirolizom razli itih vrsta drveta. Podaci su preuzeti iz literature.

Tabela 5.8. Osnovne karakteristike bio-ulja dobijenog pirolizom drvne biomase

Fizi ke karakteristike	Bukva [33]	Bor [33]	Hrast [34]
maseni udeo vlage (%)	31.90	17.40	-
elementarni sastav (%)	maseni udeo (%)		
C	54.35	55.23	56.54 s.o.
H	6.80	6.60	6.00 s.o.
O	38.63	38.06	36.84 s.o.
N	0.22	0.11	0.61 s.o.
Gornja topotna mo $\left( \frac{\text{MJ}}{\text{kg}} \right)$	21.20	21.30	22.1

s.o. – suva osnova

Smatra se da bi bio-ulje moglo da zameni uobi ajena goriva u kotlovima, motorima sa unutrašnjim sagorevanjem i turbinama. Ispitivanja su pokazala da je pomenuta zamena mogu a ali postoji verovatno a da do e do ošte enja opreme zbog kiselosti bio-ulja pa je neophodno izvršiti odre ene modifikacije [27, 35, 36]. Osim toga, prime eni su i problemi sa paljenjem. Ve ina proizvo a a motora i turbina ne odobrava upotrebu bio-ulja. Kako bi se efikasno koristilo, bio-ulje zahteva dalju preradu. Hemiske supstance, kao što su sir etna kiselina, metanol i aceton mogu se uspešno izdvojiti iz proizvoda, ali je trenutno jeftinije proizvesti ih iz fosilnih goriva [27]. Bio-ulje iz procesa brze pirolize kompanija “Red Arrow Products” prera uje u te ni dim, proizvod koji se koristi kao za in, i predstavlja retku komercijalnu primenu bio-ulja.

### 5.3.6.3. Sastav vrstog ostatka

vrsti, koksni ostatak (biougalj) se može definisati kao proizvod bogat ugljenikom koji nastaje kada se biomasa zagрева u sistemu bez prisustva kiseonika. vrsti ostatak nastaje tokom procesa pirolize, a u manjoj meri i tokom procesa gasifikacije i nepotpunog sagorevanja. Može da se koristi za poboljšanje kvaliteta zemljišta, za filtriranje i zadržavanje hranljivih materija iz vode u zemljištu. Smatra se da predstavlja sredstvo za odvajanje i uklanjanje ugljenika iz atmosfere kada se primenjuje kao dodatak zemljištu kako bi skladišto ugljenik i smanjio emisije gasova koji dovode do efekta staklene bašte (azotni oksidi i metan). Fizi ke i hemijske karakteristike vrstog ostatka variraju u zavisnosti od vrste goriva koja se koristi i uslova odvijanja procesa pirolize. vrsti ostatak definišu njegove fizi ke karakteristike (veli ina estice, raspodela veli ine estica, površina, sadržaj vlage, isparljive materije, pH) i hemijski sastav (elementarna analiza). Maseni udeo ugljenika u vrstom ostatku zavisi od elementarnog sastava biomase kao i procesa pirolize koji se koristi. Tabela 5.9. prikazuje rezultate elementarne i tehni ke analize vrstog ostatka dobijenog procesom pirolize mešavine drvne biomase koriš ene u eksperimentalnom istraživanju, kao i rezultate drugih istraživa a za vrsti ostatak nastao pirolizom razli itih vrsta drvne biomase. Iz tabele 5.9. može se zaklju iti da su dobijeni rezultati u skladu sa podacima koje su prikazali drugi autori.

Tabela 5.9. Osobine vrstog ostatka dobijenog pirolizom različitih vrsti drvne biomase

Osobine vrstog ostatka	Mešavina drvne biomase (eksperiment) [1]	Hrast	Bor	Bor [38]	Strugotina drveta [38]
		[37]	[37]		
W	0	3.17	2.69	-	-
A	1.87	2.92	2.30	7.00	-
VM	maseni udeo (%)	-	15.58	16.89	-
FC		-	78.33	78.12	-
H <sub>g</sub>	$\left( \frac{\text{kJ}}{\text{kg}} \right)$	29390.04	31059.08	31705.71	- 30530.00
H <sub>d</sub>		28940.04	30470.60	31054.43	-
Elementarni sastav					
C	83.63	82.83	83.47	76.00	83.30
H	2.00	2.70	2.99	2.40	3.10
N	maseni udeo (%)	0.30	0.31	0.27	1.10
S		0.05	0.02	0.03	- 0.015
O		12.15	8.05	8.25	13.50
					11.38

## 5.4. Obrada rezultata ispitivanja procesa pirolize mešavine drvne biomase

### 5.4.1. Karakteristike proizvedenog gasa

Kako bi se izvršila analiza gasa proizvedenog procesom pirolize mešavine drvne biomase, potrebno je poznavati zapreminske udele svih komponenata u gasu. Piroliti ki gas najveće im delom su CO, H<sub>2</sub>, CO<sub>2</sub> i CH<sub>4</sub>. Analiza gasa proizvedenog procesom pirolize vrši se na krajnjoj temperaturi od 650 °C. Zapreminske udeli merenih gasovitih komponenata CO<sub>2</sub> i CH<sub>4</sub> na kraju procesa pirolize su u saglasnosti sa podacima iz literature [21]. Zapreminske udeli CO i H<sub>2</sub> su bili izvan opsega merenja na krajnjoj temperaturi, pa je zbog usklađenosti drugih komponenata u gasu sa podacima iz literature [21] pretpostavljeno da vrednosti zapreminskih udela CO i H<sub>2</sub> na kraju procesa pirolize odgovaraju vrednostima prikazanim u navedenoj literaturi. Pretpostavlja se da u proizvedenom gasu ima i azota, koji je zapreminski udeo dobijen proračunom, kako bi zbir zapreminskih udela svih komponenata u gasu iznosio 100%.

Analiza proizvedenog kondenzibilnog gasa pri 650 °C, na kraju procesa pirolize (Prilog 11., ispitivanje 7):

$$\begin{aligned} \text{CO} &= 38.88\% & \text{H}_2 &= 6.33\% \\ \text{CO}_2 &= 30.00\% & \text{CH}_4 &= 24.00\% \\ \text{O}_2 &= 0.20\% & \text{N}_2 &= 0.59\% \end{aligned}$$

Gustina piroliti kog kondenzibilnog gasa je:

$$\begin{aligned} w_g &= \sum_i \cdot i = \text{CO} \cdot \text{CO} + \text{CO}_2 \cdot \text{CO}_2 + \text{O}_2 \cdot \text{O}_2 + \text{H}_2 \cdot \text{H}_2 + \text{CH}_4 \cdot \text{CH}_4 + \text{N}_2 \cdot \text{N}_2 = \\ &= 0.3888 \cdot 1.250 + 0.3000 \cdot 1.976 + 0.0020 \cdot 1.429 + 0.0633 \cdot 0.08985 + 0.2400 \cdot 0.717 + \\ &\quad + 0.0059 \cdot 1.251 = 1.27 \frac{\text{kg}}{\text{m}^3}, \end{aligned}$$

gde su:

$$\begin{aligned} \rho_{\text{CO}} &= 1.250 \frac{\text{kg}}{\text{m}^3} && \text{- gustina CO pri normalnim uslovima,} \\ \rho_{\text{CO}_2} &= 1.976 \frac{\text{kg}}{\text{m}^3} && \text{- gustina CO}_2 \text{ pri normalnim uslovima,} \\ \rho_{\text{O}_2} &= 1.429 \frac{\text{kg}}{\text{m}^3} && \text{- gustina O}_2 \text{ pri normalnim uslovima,} \\ \rho_{\text{H}_2} &= 0.08985 \frac{\text{kg}}{\text{m}^3} && \text{- gustina H}_2 \text{ pri normalnim uslovima,} \\ \rho_{\text{CH}_4} &= 0.717 \frac{\text{kg}}{\text{m}^3} && \text{- gustina CH}_4 \text{ pri normalnim uslovima,} \\ \rho_{\text{N}_2} &= 1.251 \frac{\text{kg}}{\text{m}^3} && \text{- gustina N}_2 \text{ pri normalnim uslovima.} \end{aligned}$$

Molarna masa vlažnog kondenzibilnog gasa može se izračunati na sledeći način:

$$\begin{aligned} M_{wg} &= \sum_i M_i = \rho_{\text{CO}} \cdot M_{\text{CO}} + \rho_{\text{CO}_2} \cdot M_{\text{CO}_2} + \rho_{\text{O}_2} \cdot M_{\text{O}_2} + \rho_{\text{H}_2} \cdot M_{\text{H}_2} + \rho_{\text{CH}_4} \cdot M_{\text{CH}_4} + \rho_{\text{N}_2} \cdot M_{\text{N}_2} = \\ &= 0.3888 \cdot 28 + 0.3000 \cdot 44 + 0.0020 \cdot 32 + 0.0633 \cdot 2 + 0.2400 \cdot 16 + 0.0059 \cdot 28 = 28.28 \frac{\text{kg}}{\text{kmol}}, \end{aligned}$$

gde su:

$$\begin{aligned} M_{\text{CO}} &= 28 \frac{\text{kg}}{\text{kmol}} && \text{- molarna masa CO,} \\ M_{\text{CO}_2} &= 44 \frac{\text{kg}}{\text{kmol}} && \text{- molarna masa CO}_2, \\ M_{\text{O}_2} &= 32 \frac{\text{kg}}{\text{kmol}} && \text{- molarna masa O}_2, \\ M_{\text{H}_2} &= 2 \frac{\text{kg}}{\text{kmol}} && \text{- molarna masa H}_2, \\ M_{\text{CH}_4} &= 16 \frac{\text{kg}}{\text{kmol}} && \text{- molarna masa CH}_4, \\ M_{\text{N}_2} &= 28 \frac{\text{kg}}{\text{kmol}} && \text{- molarna masa N}_2. \end{aligned}$$

Donja toplotna molarna vlažnog kondenzibilnog gasa iznosi:

$$\begin{aligned} H_{d_{wg}} &= 12644 \cdot \rho_{\text{CO}} + 10760 \cdot \rho_{\text{H}_2} + 35797 \cdot \rho_{\text{CH}_4} = 12644 \cdot 0.3888 + 10760 \cdot 0.0633 + \\ &\quad + 35797 \cdot 0.2400 = 14188.37 \frac{\text{kJ}}{\text{m}^3}, \\ H_{d_{wg}} &= \frac{14188.37}{1.27} = 11171.95 \frac{\text{kJ}}{\text{kg}}. \end{aligned}$$

### 5.4.2. Materijalni bilans

Šema materijalnog bilansa u piroliti kom reaktoru prikazana je na slici 5.18.

Sastav goriva (maseni udeli):

$$\begin{aligned} C &= 42.00\% \\ H &= 4.96\% \\ O &= 40.86\% \\ N &= 1.05\% \\ S &= 0.28\% \\ W &= 8.90\% \\ A &= 1.99\% \end{aligned}$$

Sastav vrstog ostatka (maseni udeli):

$$\begin{aligned} C &= 83.63\% \\ H &= 2.00\% \\ O &= 12.15\% \\ N &= 0.30\% \\ S &= 0.05\% \\ W &= 0.00\% \\ A &= 1.87\% \end{aligned}$$

Empirijska formula goriva je  $\text{CH}_x\text{O}_y\text{N}_z\text{S}_w$ . Koriš enjem rezultata elementarne analize može se odrediti empirijska formula mešavine drvne biomase na slede i na in:

$$x = \frac{H}{C} \cdot \frac{M_C}{M_H} = \frac{4.96}{42.00} \cdot \frac{12}{1} = 1.4171,$$

$$y = \frac{O}{C} \cdot \frac{M_C}{M_O} = \frac{40.86}{42.00} \cdot \frac{12}{16} = 0.7296,$$

$$z = \frac{N}{C} \cdot \frac{M_C}{M_N} = \frac{1.05}{42.00} \cdot \frac{12}{14} = 0.0214,$$

$$w = \frac{S}{C} \cdot \frac{M_C}{M_S} = \frac{0.28}{42.00} \cdot \frac{12}{32} = 0.0025.$$

Uvo enjem dobijenih vrednosti utvr eno je da je empirijska formula mešavine drvne biomase koriš ene pri eksperimentalnom ispitivanju  $\text{CH}_{1.4171}\text{O}_{0.7296}\text{N}_{0.0214}\text{S}_{0.0025}$ .

Empirijska formula vrstog (koksnog) ostatka odre uje se istim postupkom. Najpre se izra unaju x, y, z i w:

$$x = \frac{H}{C} \cdot \frac{M_C}{M_H} = \frac{2.00}{83.63} \cdot \frac{12}{1} = 0.2870,$$

$$y = \frac{O}{C} \cdot \frac{M_C}{M_O} = \frac{12.15}{83.63} \cdot \frac{12}{16} = 0.1090,$$

$$z = \frac{N}{C} \cdot \frac{M_C}{M_N} = \frac{0.30}{83.63} \cdot \frac{12}{14} = 0.0031,$$

$$w = \frac{S}{C} \cdot \frac{M_C}{M_S} = \frac{0.05}{83.63} \cdot \frac{12}{32} = 0.0002.$$

Nakon toga se može odrediti empirijska formula vrstog ostatka:  $\text{CH}_{0.2870}\text{O}_{0.1090}\text{N}_{0.0031}\text{S}_{0.0002}$ .

## Bilans ugljenika

Masa ugljenika po jedinici goriva iznosi:  $C_B = 0.4200 \frac{\text{kgC}}{\text{kgB}}$ .

Masa ugljenika u vrstom ostatku (koksu) po jedinici goriva je:

$$C_{KB} = 0.8363 \cdot \frac{m_K}{m_B} = 0.8363 \cdot \frac{0.0020}{0.0100} = 0.1673 \frac{\text{kgC}}{\text{kgB}},$$

gde su:

$m_K$  – masa vrstog ostatka (koksa) nakon procesa pirolize (kgK),

$m_B$  – masa goriva (mešavine drvne biomase) u piroliti kom reaktoru (kgB).

Masa ugljenika u vlažnom piroliti kom gasu po jedinici goriva iznosi:

$$C_{wgB} = C_B - C_{KB} = 0.4200 - 0.1673 = 0.2527 \frac{\text{kgC}}{\text{kgB}}.$$

Stepen konverzije ugljenika je:

$$c = \left(1 - \frac{C_{KB}}{C_B}\right) \cdot 100 = \left(1 - \frac{0.1673}{0.4200}\right) \cdot 100 = 60.17\%.$$

## Bilans vodonika

Masa vodonika po jedinici goriva je:

$$H_{2B} = 0.0496 \frac{\text{kgH}_2}{\text{kgB}}.$$

Masa vodonika u vrstom ostatku (koksu) po jedinici goriva iznosi:

$$H_{2KB} = 0.0200 \cdot \frac{m_K}{m_B} = 0.0200 \cdot \frac{0.0020}{0.0100} = 0.0040 \frac{\text{kgH}_2}{\text{kgB}}.$$

Masa vodonika u vlažnom piroliti kom gasu po jedinici goriva je:

$$H_{2wgB} = H_{2B} - H_{2KB} = 0.0496 - 0.0040 = 0.0456 \frac{\text{kgH}_2}{\text{kgB}}.$$

Stepen konverzije vodonika je:

$$H_2 = \left(1 - \frac{H_{2KB}}{H_{2B}}\right) \cdot 100 = \left(1 - \frac{0.0040}{0.0496}\right) \cdot 100 = 91.93\%.$$

### Bilans kiseonika

Masa kiseonika po jedinici goriva je:  $O_{2B} = 0.4086 \frac{kgO_2}{kgB}$ .

Masa kiseonika u vrstom ostatku (koksu) po jedinici goriva iznosi:

$$O_{2KB} = 0.1215 \cdot \frac{m_K}{m_B} = 0.1215 \cdot \frac{0.0020}{0.0100} = 0.0243 \frac{kgO_2}{kgB}$$

Masa kiseonika u vlažnom piroliti kom gasu po jedinici goriva je:

$$O_{2wgB} = O_{2B} - O_{2KB} = 0.4086 - 0.0243 = 0.3843 \frac{kgO_2}{kgB}$$

Stepen konverzije kiseonika je:

$$O_2 = \left(1 - \frac{O_{2KB}}{O_{2B}}\right) \cdot 100 = \left(1 - \frac{0.0243}{0.4086}\right) \cdot 100 = 94.05\%.$$

### Bilans azota

Masa azota po jedinici goriva je:  $N_{2B} = 0.0105 \frac{kgN_2}{kgB}$ .

Masa azota u vrstom ostatku (koksu) po jedinici goriva iznosi:

$$N_{2KB} = 0.0030 \cdot \frac{m_K}{m_B} = 0.0030 \cdot \frac{0.0020}{0.0100} = 0.0006 \frac{kgN_2}{kgB}$$

Masa azota u vlažnom piroliti kom gasu po jedinici goriva je:

$$N_{2wgB} = N_{2B} - N_{2KB} = 0.0105 - 0.0006 = 0.0099 \frac{kgN_2}{kgB}$$

Stepen konverzije azota je:

$$N_2 = \left(1 - \frac{N_{2KB}}{N_{2B}}\right) \cdot 100 = \left(1 - \frac{0.0006}{0.0105}\right) \cdot 100 = 94.29\%.$$

### Bilans sumpora

Masa sumpora po jedinici goriva je:  $S_B = 0.0028 \frac{kgS}{kgB}$ .

Masa sumpora u vrstom ostatku (koksu) po jedinici goriva iznosi:

$$S_{KB} = 0.0005 \cdot \frac{m_K}{m_B} = 0.0005 \cdot \frac{0.0020}{0.0100} = 0.0001 \frac{\text{kgS}}{\text{kgB}}$$

Masa sumpora u vlažnom piroliti kom gasu po jedinici goriva je:

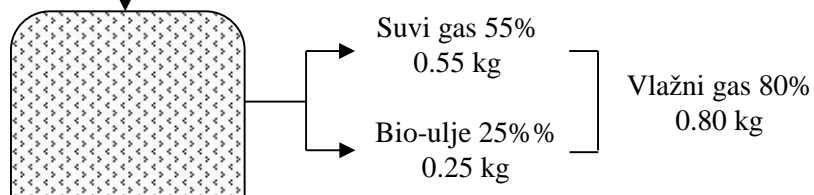
$$S_{wgB} = S_B - S_{KB} = 0.0028 - 0.0001 = 0.0027 \frac{\text{kgS}}{\text{kgB}}$$

Stepen konverzije sumpora je:

$$s = \left( 1 - \frac{S_{KB}}{S_{2B}} \right) \cdot 100 = \left( 1 - \frac{0.0001}{0.0027} \right) \cdot 100 = 96.30\%.$$

C=42.00%  
H=4.96%  
O=40.86%  
N=1.05%  
S=0.28%  
W=8.90%  
A=1.99%

100% gorivo (drvna biomasa)  
1 kg  
CH1.4171O0.7296N0.0214S0.0025



C=83.63%  
H=2.00%  
O=12.15%  
N=0.30%  
S=0.05%  
W=0.00%  
A=1.87%

vrsti ostatak 20%  
0.20 kg  
CH0.2870O0.1090N0.0031S0.0002

Slika 5.18. Šema bilansa materije u piroliti kom reaktoru

### 5.4.3. Toplotni bilans

Toplotna mo uzorka mešavine drvne biomase koriš ene za eksperimentalno ispitivanje iznosi 16299.99 kJ/kgB [1]. Zagrevanje reaktora za pirolizu vršeno je pomo u dva elektri na greja a. Snaga jednog greja a je 1.5 kW. Vreme trajanja procesa pirolize je 40 min. Koriste i navedene podatke dobija se toplota (energija) greja a u reaktoru:

$$E_G = 1.5 \cdot 2 \cdot 40 \cdot 60 = 7200 \text{ kJ/kgB.}$$

Toplotna mo vrstog ostatka (koksa) izra unava se pomo u rezultata elementarne analize vrstog ostatka [1]:

$$\begin{aligned} H_{d_K} &= 33900 \cdot C + 121400 \cdot \left( H - \frac{O}{8} \right) + 10460 \cdot S - 2510 \cdot W = 33900 \cdot 0.8363 + \\ &+ 121400 \cdot \left( 0.0200 - \frac{0.1215}{8} \right) + 10460 \cdot 0.0005 - 2510 \cdot 0 = 28940.04 \frac{\text{kJ}}{\text{kgK}}. \end{aligned}$$

Svedena na jedinicu mase goriva, toplotna mo vrstog ostatka iznosi:

$$H_{d_{KB}} = \frac{28940.04 \cdot m_K}{m_B} = \frac{28940.04 \cdot 0.0020}{0.0100} = 5788.01 \frac{\text{kJ}}{\text{kgB}},$$

gde su:

$m_K$  - masa vrstog ostatka (koksa) (kg),

$m_B$  - masa goriva (uzorka mešavine drvne biomase) (kg).

Toplotna mo vlažnog kondenzibilnog gasa, svedena na jedinicu mase goriva je:

$$H_{d_{wgB}} = \frac{H_{d_{wg}} \cdot m_{wg}}{m_B} = \frac{11171.95 \cdot 0.0080}{0.0100} = 8937.56 \frac{\text{kJ}}{\text{kgB}},$$

gde je:

$m_{wg}$  - masa vlažnog gasa (kg).

Fizi ka toplota piroliti kog gasa na kraju procesa pirolize izra unava se na slede i na in:

$$\begin{aligned} i_{f_{wg}} &= \sum_i i_i = i_{CO} + i_{CO_2} + i_{O_2} + i_{H_2} + i_{CH_4} + i_{N_2} = \\ &= 0.3888 \cdot 887.39 + 0.3000 \cdot 1343.20 + 0.0020 \cdot 926.96 + 0.0633 \cdot 851.60 + \\ &+ 0.2400 \cdot 1510.15 + 0.0059 \cdot 879.23 = 1171.36 \frac{\text{kJ}}{\text{m}^3}, \end{aligned}$$

$$i_{f_{wg}} = \frac{1171.36}{wg} = \frac{1171.36}{1.27} = 922.33 \frac{\text{kJ}}{\text{kg}},$$

gde su:

$$i_{CO} = 887.39 \frac{\text{kJ}}{\text{m}^3} \quad - \text{specifi na entalpija CO pri temperaturi od } 650^\circ\text{C},$$

$$i_{CO_2} = 1343.20 \frac{kJ}{m^3}$$

- specifična entalpija CO<sub>2</sub> pri temperaturi od 650 °C,

$$i_{O_2} = 926.96 \frac{kJ}{m^3}$$

- specifična entalpija O<sub>2</sub> pri temperaturi od 650 °C,

$$i_{H_2} = 851.60 \frac{kJ}{m^3}$$

- specifična entalpija H<sub>2</sub> pri temperaturi od 650 °C,

$$i_{CH_4} = 1510.15 \frac{kJ}{m^3}$$

- specifična entalpija CH<sub>4</sub> pri temperaturi od 650 °C,

$$i_{N_2} = 879.23 \frac{kJ}{m^3}$$

- specifična entalpija N<sub>2</sub> pri temperaturi od 650 °C.

Svedena na jedinicu mase goriva, fizika toplota piroliti kog gasa na kraju procesa pirolize iznosi:

$$i_{f_{wgB}} = \frac{922.33 \cdot m_{wg}}{m_B} = \frac{922.33 \cdot 0.0080}{0.0100} = 737.86 \frac{kJ}{kgB}.$$

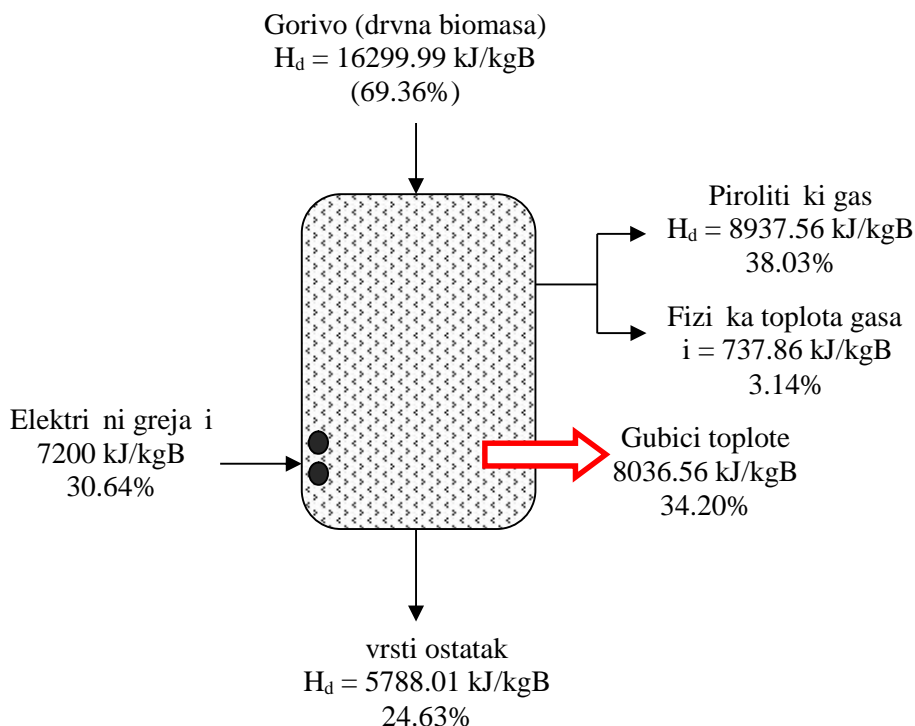
Gubici toplote izrađuju se na sledeći način:

$$\text{ULAZ} = 16299.99 + 7200 = 23499.99 \text{ kJ/kgB}$$

$$\text{IZLAZ} = 8937.56 + 5788.01 + 737.86 = 15463.43 \text{ kJ/kgB}$$

$$\text{GUBICI} = \text{ULAZ} - \text{IZLAZ} = 8036.56 \text{ kJ/kgB}.$$

Šema bilansa toplote u piroliti kom reaktoru prikazana je na slici 5.19.



Slika 5.19. Šema bilansa toplote u piroliti kom reaktoru

#### 5.4.4. Stepen korisnosti piroliti kog reaktora

Odnos energije na izlazu iz reaktora i uložene energije na ulazu u reaktor (slika 5.19.) iznosi:

$$= \frac{IZLAZ}{ULAZ} = \frac{15463.43}{23499.99} = 0.6580 = 65.80\%.$$

Odnos hemijske energije gasa na izlazu iz reaktora i uložene hemijske energije na ulazu u reaktor je:

$$_{wg} = \frac{8937.56}{16299.99} = 0.5483 = 54.83\%.$$

Toplotno optere enje popre nog preseka reaktora izra unava se na slede i na in:

$$Q = \frac{m_B \cdot H_{d_B}}{A_p} = \frac{m_B \cdot H_{d_B}}{\frac{d^2 \cdot 4}{4}} = \frac{0.01 \cdot 16299.99}{(160 \cdot 10^{-3})^2 \cdot 3.14} = 8.11 \cdot 10^3 \frac{kJ}{m^2},$$

gde su:

$m_B$  - masa goriva (kg),

$H_{d_B}$  - donja topotna mo goriva  $\left( \frac{kJ}{kgB} \right)$ ,

$A_p$  - popre ni presek reaktora ( $m^2$ ),

$d$  - unutrašnji pre nik reaktora (m).

#### 5.5. Analiza greške pri eksperimentalnom ispitivanju

Rezultati merenja se ne mogu dobiti sa proizvoljno velikom ta noš u. Vrednosti koje su dobijene kao rezultat merenja su približne vrednosti. Svaki rezultat izvršenog merenja nije potpun ukoliko ne postoji informacija o ta nosti merenja. Podaci o ta nosti merenja mogu se dobiti pomo u apsolutne, relativne i srednje kvadratne greške.

Srednja vrednost merenja je:

$$\bar{x} = \frac{x_1 + x_2 + \dots + x_D}{D}, \quad (5.1)$$

gde su:

D - broj ponovljenih direktnih merenja veli ine x,

$x_1, x_2, \dots, x_D$  - izmerene vrednosti.

Apsolutna greška merenja predstavlja apsolutnu vrednost odstupanja izmerene vrednosti od njene srednje vrednosti:

$$|x_i| = |x_i - \bar{x}|. \quad (5.2)$$

Relativna greška predstavlja koli nik apsolutne greške i srednje vrednosti veli ine:

$$x_i = \frac{|x_i|}{\bar{x}}, \quad (5.3)$$

$$x_i (\%) = \frac{|x_i|}{\bar{x}} \cdot 100. \quad (5.4)$$

Kod velikog broja merenja, značaju informaciju o grešci merenja daje srednja kvadratna greška:

$$\text{s.e.} = \sqrt{\frac{\sum_{i=1}^D \Delta x_i^2}{D-1}}, \quad (5.5)$$

gde je:

$\Delta x_i = x_i - \bar{x}$  greška približnog broja  $x_i$ .

Primenom izraza 5.1 - 5.5 i brojnih vrednosti iz Priloga 5 ustanovljen je primer proračuna pojedinih parametara za prinos bio-ulja:

$$\bar{x} = \frac{3.0 + 2.8 + 3.0 + 2.7 + 2.7}{5} = 2.84 \text{ g},$$

$$|x_1| = |x_1 - \bar{x}| = |3.0 - 2.84| = 0.16 \text{ g},$$

$$x_1 = \frac{|x_1|}{\bar{x}} = \frac{0.16}{2.84} = 0.06,$$

$$x_1 (\%) = \frac{|x_1|}{\bar{x}} \cdot 100 = \frac{0.16}{2.84} \cdot 100 = 5.63\%,$$

$$\begin{aligned} \text{s.e.} &= \sqrt{\frac{\sum_{i=1}^D \Delta x_i^2}{D-1}} = \sqrt{\frac{\Delta x_1^2 + \Delta x_2^2 + \Delta x_3^2 + \Delta x_4^2 + \Delta x_5^2}{5-1}} = \\ &= \sqrt{\frac{0.16^2 + (-0.04)^2 + 0.16^2 + (-0.14)^2 + (-0.14)^2}{4}} = 0.15 \text{ g}. \end{aligned}$$

Apsolutna i relativna greška rezultata eksperimentalnog ispitivanja procesa pirolize drvne biomase za ispitivanja 1 - 7 prikazane su u tabelama 5.10 - 5.23.

Tabela 5.10. Greške merenja prinosa produkata strugotine hrasta na kraju procesa pirolize (ispitivanje 1)

Broj merenja i	Rezultat merenja (g)	Apsolutna greška $ x_i $ (g)	Relativna greška $x_i (-)$	Relativna greška $x_i (%)$
Prinos vrstog ostatka				
1	2.000	0.020	0.010	1.010
2	2.000	0.020	0.010	1.010
3	2.10	0.12	0.06	6.06
4	1.90	0.08	0.04	4.04
5	1.90	0.08	0.04	4.04
Prinos bio-ulja				
1	3.00	0.16	0.06	5.63
2	2.80	0.04	0.01	1.41
3	3.00	0.16	0.06	5.63
4	2.70	0.14	0.05	4.93
5	2.70	0.14	0.05	4.93

Tabela 5.11. Greške merenja zapreminskih udela  $\text{CO}_2$ ,  $\text{O}_2$  i  $\text{CH}_4$  u gasu dobijenom pirolizom strugotine hrasta na  $650^\circ\text{C}$  (ispitivanje 1)

Broj merenja i	Rezultat merenja $\left( \frac{\text{kmol}}{\text{kmol}} \right)$	Apsolutna greška $ x_i  \left( \frac{\text{kmol}}{\text{kmol}} \right)$	Relativna greška $x_i (-)$	Relativna greška $x_i (%)$
$\text{CO}_2$				
1	0.2680	0.0020	0.0075	0.7518
2	0.272	0.006	0.023	2.256
3	0.252	0.014	0.053	5.263
4	0.2680	0.0020	0.0075	0.7518
5	0.270	0.004	0.015	1.504
$\text{O}_2$				
1	0.0020	0.0006	0.4286	42.8571
2	0.0010	0.0004	0.2857	28.5714
3	0.0020	0.0006	0.4286	42.8571
4	0.0000	0.0014	1.0000	100.0000
5	0.0020	0.0006	0.4286	42.8571
$\text{CH}_4$				
1	0.2600	0.0020	0.0077	0.7752
2	0.265	0.007	0.027	2.713
3	0.245	0.013	0.050	5.039
4	0.250	0.008	0.031	3.101
5	0.270	0.012	0.047	4.651

Tabela 5.12. Greške merenja prinosa produkata strugotine bukve na kraju procesa pirolize (ispitivanje 2)

Broj merenja i	Rezultat merenja (g)	Apsolutna greška $ x_i $ (g)	Relativna greška $x_i (-)$	Relativna greška $x_i (%)$
Prinos vrstog ostatka				
1	2.00	0.04	0.02	1.96
2	2.10	0.06	0.03	2.94
3	2.10	0.06	0.03	2.94
4	2.00	0.04	0.02	1.96
5	2.00	0.04	0.02	1.96
Prinos bio-ulja				
1	2.80	0.16	0.06	6.06
2	2.50	0.14	0.05	5.30
3	2.70	0.06	0.02	2.27
4	2.60	0.04	0.02	1.52
5	2.60	0.04	0.02	1.52

Tabela 5.13. Greške merenja zapreminskih udela CO<sub>2</sub>, O<sub>2</sub> i CH<sub>4</sub> u gasu dobijenom pirolizom strugotine bukve na 650 °C (ispitivanje 2)

Broj merenja i	Rezultat merenja $\left( \frac{\text{kmol}}{\text{kmol}} \right)$	Apsolutna greška $ x_i  \left( \frac{\text{kmol}}{\text{kmol}} \right)$	Relativna greška $x_i (-)$	Relativna greška $x_i (%)$
CO <sub>2</sub>				
1	0.274	0.005	0.019	1.859
2	0.284	0.015	0.056	5.576
3	0.259	0.010	0.040	3.717
4	0.242	0.027	0.100	10.037
5	0.286	0.017	0.063	6.320
O <sub>2</sub>				
1	0.0010	0.0004	0.2857	28.5714
2	0.0010	0.0004	0.2857	28.5714
3	0.0020	0.0006	0.4286	42.8571
4	0.0020	0.0006	0.4286	42.8571
5	0.0010	0.0004	0.2857	28.5714
CH <sub>4</sub>				
1	0.250	0.014	0.053	5.303
2	0.2650	0.0010	0.0038	0.3788
3	0.2650	0.0010	0.0038	0.3788
4	0.285	0.021	0.080	7.954
5	0.255	0.009	0.034	3.409

Tabela 5.14. Greške merenja prinosa produkata strugotine trešnje na kraju procesa pirolize (ispitivanje 3)

Broj merenja i	Rezultat merenja (g)	Apsolutna greška $ x_i $ (g)	Relativna greška $x_i (-)$	Relativna greška $x_i (%)$
Prinos vrstog ostatka				
1	1.80	0.10	0.05	5.21
2	2.00	0.10	0.05	5.21
3	1.9	0	0	0
4	2.00	0.10	0.05	5.21
5	1.80	0.10	0.05	5.21
Prinos bio-ulja				
1	2.500	0.020	0.008	0.806
2	2.500	0.020	0.008	0.806
3	2.60	0.12	0.05	4.84
4	2.40	0.08	0.03	3.23
5	2.40	0.08	0.03	3.23

Tabela 5.15. Greške merenja zapreminske udela CO<sub>2</sub>, O<sub>2</sub> i CH<sub>4</sub> u gasu dobijenom pirolizom strugotine trešnje na 650 °C (ispitivanje 3)

Broj merenja i	Rezultat merenja $\left( \frac{\text{kmol}}{\text{kmol}} \right)$	Apsolutna greška $ x_i  \left( \frac{\text{kmol}}{\text{kmol}} \right)$	Relativna greška $x_i (-)$	Relativna greška $x_i (%)$
CO <sub>2</sub>				
1	0.262	0.020	0.070	6.960
2	0.272	0.010	0.034	3.409
3	0.292	0.010	0.037	3.693
4	0.286	0.004	0.016	1.562
5	0.296	0.014	0.051	5.114
O <sub>2</sub>				
1	0.0080	0.0024	0.4286	42.8571
2	0.0080	0.0024	0.4286	42.8571
3	0.0040	0.0016	0.2857	28.5714
4	0.0040	0.0016	0.2857	28.5714
5	0.0040	0.0016	0.2857	28.5714
CH <sub>4</sub>				
1	0.255	0.006	0.023	2.299
2	0.2600	0.0010	0.0038	0.3831
3	0.2600	0.0010	0.0038	0.3831
4	0.2600	0.0010	0.0038	0.3831
5	0.270	0.009	0.034	3.448

Tabela 5.16. Greške merenja prinosa produkata strugotine oraha na kraju procesa pirolize (ispitivanje 4)

Broj merenja i	Rezultat merenja (g)	Apsolutna greška $ x_i $ (g)	Relativna greška $x_i (-)$	Relativna greška $x_i (%)$
Prinos vrstog ostatka				
1	2.10	0.06	0.03	2.94
2	2.10	0.06	0.03	2.94
3	2.10	0.06	0.03	2.94
4	1.90	0.14	0.07	6.86
5	2.00	0.04	0.02	1.96
Prinos bio-ulja				
1	1.9	0.5	0.2	20.8
2	2.50	0.10	0.04	4.16
3	2.50	0.10	0.04	4.16
4	2.50	0.10	0.04	4.16
5	2.60	0.20	0.08	8.33

Tabela 5.17. Greške merenja zapreminskih udela  $\text{CO}_2$ ,  $\text{O}_2$  i  $\text{CH}_4$  u gasu dobijenom pirolizom strugotine oraha na  $650^\circ\text{C}$  (ispitivanje 4)

Broj merenja i	Rezultat merenja $\left(\frac{\text{kmol}}{\text{kmol}}\right)$	Apsolutna greška $ x_i  \left(\frac{\text{kmol}}{\text{kmol}}\right)$	Relativna greška $x_i (-)$	Relativna greška $x_i (%)$
$\text{CO}_2$				
1	0.2760	0.0016	0.0058	0.5763
2	0.282	0.004	0.016	1.585
3	0.262	0.016	0.056	5.620
4	0.298	0.020	0.073	7.349
5	0.270	0.008	0.027	2.738
$\text{O}_2$				
1	0.00700	0.00020	0.02941	2.94117
2	0.00700	0.00020	0.02941	2.94117
3	0.0060	0.0008	0.1176	11.7647
4	0.00700	0.00020	0.02941	2.94117
5	0.00700	0.00020	0.02941	2.94117
$\text{CH}_4$				
1	0.285	0.021	0.080	7.954
2	0.270	0.006	0.023	2.273
3	0.285	0.021	0.080	7.954
4	0.235	0.029	0.110	10.985
5	0.245	0.019	0.072	7.197

Tabela 5.18. Greške merenja prinosa produkata strugotine jеле на kraju procesa pirolize (ispitivanje 5)

Broj merenja i	Rezultat merenja (g)	Apsolutna greška $ x_i $ (g)	Relativna greška $x_i (-)$	Relativna greška $x_i (%)$
Prinos vrstog ostatka				
1	2.00	0.08	0.04	3.85
2	2.100	0.020	0.010	0.961
3	2.100	0.020	0.010	0.961
4	2.100	0.020	0.010	0.961
5	2.100	0.020	0.010	0.961
Prinos bio-ulja				
1	2.400	0.020	0.008	0.826
2	2.50	0.08	0.03	3.31
3	2.50	0.08	0.03	3.31
4	2.30	0.12	0.05	4.96
5	2.40	0.02	0.01	0.83

Tabela 5.19. Greške merenja zapreminskih udela  $\text{CO}_2$ ,  $\text{O}_2$  i  $\text{CH}_4$  u gasu dobijenom pirolizom strugotine jеле на 650 °C (ispitivanje 5)

Broj merenja i	Rezultat merenja $\left( \frac{\text{kmol}}{\text{kmol}} \right)$	Apsolutna greška $ x_i  \left( \frac{\text{kmol}}{\text{kmol}} \right)$	Relativna greška $x_i (-)$	Relativna greška $x_i (%)$
$\text{CO}_2$				
1	0.282	0.015	0.050	4.986
2	0.300	0.003	0.011	1.078
3	0.304	0.007	0.024	2.426
4	0.300	0.003	0.011	1.078
5	0.2980	0.0012	0.0040	0.4043
$\text{O}_2$				
1	0.0050	0.0006	0.1071	10.7143
2	0.0060	0.0004	0.0714	7.1429
3	0.0040	0.0016	0.2857	28.5714
4	0.0060	0.0004	0.0714	7.1429
5	0.0070	0.0014	0.2500	25.0000
$\text{CH}_4$				
1	0.270	0.020	0.080	8.000
2	0.265	0.015	0.060	6.000
3	0.225	0.025	0.100	10.000
4	0.255	0.005	0.020	2.000
5	0.235	0.015	0.060	6.000

Tabela 5.20. Greške merenja prinosa produkata strugotine lipe na kraju procesa pirolize (ispitivanje 6)

Broj merenja i	Rezultat merenja (g)	Apsolutna greška $ x_i $ (g)	Relativna greška $x_i (-)$	Relativna greška $x_i (%)$
Prinos vrstog ostatka				
1	1.90	0.10	0.05	5.00
2	2	0	0	0
3	2	0	0	0
4	2.10	0.10	0.05	5.00
5	2	0	0	0
Prinos bio-ulja				
1	2.5	0	0	0
2	2.5	0	0	0
3	2.40	0.10	0.04	4.00
4	2.5	0	0	0
5	2.60	0.10	0.04	4.00

Tabela 5.21. Greške merenja zapreminske udela CO<sub>2</sub>, O<sub>2</sub> i CH<sub>4</sub> u gasu dobijenom pirolizom strugotine lipe na 650 °C (ispitivanje 6)

Broj merenja i	Rezultat merenja $\left( \frac{\text{kmol}}{\text{kmol}} \right)$	Apsolutna greška $ x_i  \left( \frac{\text{kmol}}{\text{kmol}} \right)$	Relativna greška $x_i (-)$	Relativna greška $x_i (%)$
CO <sub>2</sub>				
1	0.285	0.007	0.026	2.518
2	0.270	0.008	0.029	2.878
3	0.285	0.007	0.026	2.518
4	0.275	0.003	0.011	1.079
5	0.275	0.003	0.011	1.079
O <sub>2</sub>				
1	0.007	0	0	0
2	0.007	0	0	0
3	0.007	0	0	0
4	0.007	0	0	0
5	0.007	0	0	0
CH <sub>4</sub>				
1	0.250	0.008	0.031	3.101
2	0.245	0.013	0.050	5.038
3	0.2600	0.0020	0.0078	0.7752
4	0.265	0.007	0.027	2.713
5	0.270	0.012	0.046	4.651

Tabela 5.22. Greške merenja prinosa produkata mešavine drvne biomase na kraju procesa pirolize (ispitivanje 7)

Broj merenja i	Rezultat merenja (g)	Apsolutna greška $ x_i $ (g)	Relativna greška $x_i (-)$	Relativna greška $x_i (%)$
Prinos vrstog ostatka				
1	2.10	0.04	0.02	1.94
2	2.10	0.04	0.02	1.94
3	2.00	0.06	0.03	2.91
4	2.00	0.06	0.03	2.91
5	2.10	0.04	0.02	1.94
Prinos bio-ulja				
1	2.30	0.08	0.03	3.36
2	2.30	0.08	0.03	3.36
3	2.30	0.08	0.03	3.36
4	2.50	0.12	0.05	5.04
5	2.50	0.12	0.05	5.04

Tabela 5.23. Greške merenja zapreminske udela CO<sub>2</sub>, O<sub>2</sub> i CH<sub>4</sub> u gasu dobijenom pirolizom mešavine drvne biomase na 650 °C (ispitivanje 7)

Broj merenja i	Rezultat merenja $\left( \frac{\text{kmol}}{\text{kmol}} \right)$	Apsolutna greška $ x_i  \left( \frac{\text{kmol}}{\text{kmol}} \right)$	Relativna greška $x_i (-)$	Relativna greška $x_i (%)$
CO <sub>2</sub>				
1	0.2850	0.0010	0.0035	0.3521
2	0.300	0.016	0.056	5.633
3	0.280	0.004	0.014	1.408
4	0.280	0.004	0.014	1.408
5	0.275	0.009	0.032	3.169
O <sub>2</sub>				
1	0.0050	0.0010	0.2500	25.0000
2	0.0020	0.0020	0.5000	50.0000
3	0.004	0	0	0
4	0.004	0	0	0
5	0.0050	0.0010	0.2500	25.0000
CH <sub>4</sub>				
1	0.2500	0.0020	0.0079	0.7936
2	0.240	0.012	0.048	4.761
3	0.255	0.003	0.012	1.190
4	0.265	0.013	0.052	5.158
5	0.2500	0.0020	0.0079	0.7936

Ukoliko je izvršeno 5 i više merenja veli ine x, rezultat merenja se izražava na sledeći način:

$$x = \bar{x} \pm s_x.$$

Kako je prilikom svakog ispitivanja vršeno po 5 merenja, pomenuti na in izražavanja merenja primjenjen je na rezultate dobijene pri ispitivanju prinosa vrstog ostatka i bio-ulja na kraju procesa pirolize drvne biomase i zapreminske udjeli merenih gasova pri temperaturi 650 °C (tabela 5.24.).

Tabela 5.24. Rezultati eksperimentalnog ispitivanja procesa pirolize sa srednjom kvadratnom greškom merenja

Vrsta drvne biomase	Prinos vrstog ostatka (g)	Prinos bio-ulja (g)	Zapreminski udeo CO <sub>2</sub> $\left( \frac{\text{kmol}}{\text{kmol}} \right)$	Zapreminski udeo O <sub>2</sub> $\left( \frac{\text{kmol}}{\text{kmol}} \right)$	Zapreminski udeo CH <sub>4</sub> $\left( \frac{\text{kmol}}{\text{kmol}} \right)$
Hrast	1.98±0.08	2.84±0.15	0.266±0.008	0.0014±0.0009	0.258±0.010
Bukva	2.04±0.05	2.640±0.010	0.269±0.018	0.0014±0.0005	0.264±0.013
Trešnja	1.90±0.10	2.48±0.08	0.282±0.014	0.0056±0.0022	0.261±0.006
Orah	2.04±0.09	2.40±0.28	0.278±0.014	0.0068±0.0004	0.264±0.023
Jela	2.08±0.04	2.42±0.08	0.297±0.009	0.0056±0.0011	0.250±0.019
Lipa	2.00±0.07	2.50±0.07	0.278±0.007	0.007±0	0.258±0.010
Mešavina	2.060±0.009	2.38±0.11	0.284±0.010	0.0040±0.0012	0.252±0.009

## LITERATURA

- [1] \*\*\*. Izveštaj o ispitivanju br. 72/14, Laboratorija za vrsta goriva, Rudarski institut Beograd.
- [2] Gade P. 2010. Investigation of Volatile Products from Wood Pyrolysis, Master Thesis. Faculty of the Department of Chemistry, Western Kentucky University, Bowling Green, Kentucky.
- [3] Zajec L. 2009. Slow pyrolysis in a rotary kiln reactor: Optimization and experiment, Master's thesis. School for Renewable Energy Science, in affiliation with University of Iceland and the University of Akureyri, Akureyri.
- [4] Braadbaart F, Poole I. 2008. Morphological, chemical and physical changes during charcoalification of wood and its relevance to archaeological contents. Journal of Archaeological Science 35(9): 2434–2445.
- [5] Chan W. R, Kelbon M, Krieger B. B. 1985. Modelling and experimental verification of physical and chemical processes during pyrolysis of a large biomass particle. Fuel 64(11): 1505–1513.
- [6] Müller - Hagedorn M, Bockhorn H, Krebs L, Müller U. 2003. A comparative kinetic study on the pyrolysis of three different wood species. Journal of Analytical and Applied Pyrolysis 68-69: 231–249.
- [7] Park H. J, Park Y. K, Dong J. I, Kim J. S, Jeon J. K, Kim S. S, Kim J, Song B, Park J, Lee K. J. 2009. Pyrolysis characteristics of Oriental white oak: Kinetic study and fast pyrolysis in a fluidized bed with an improved reaction system. Fuel Processing Technology 90(2): 186–195.
- [8] Ensöz S. 2003. Slow pyrolysis of wood barks from *Pinus brutia* Ten. and product compositions. Bioresource Technology 89: 307–311.
- [9] Carrasco J. C, Oporto G. S, Zondlo J, Wang J. 2013. Torrefaction of red oak. Bioresources 8(4): 5067–5082.
- [10] Hanaoka T, Yoshida T, Fujimoto S, Kamei K, Harada M, Suzuki Y, Hatano H, Yokoyama S, Minowa T. 2005. Hydrogen production from woody biomass by steam gasification using a CO<sub>2</sub> sorbent. Biomass and Bioenergy 28(1): 63–68.
- [11] Demirba A. 1997. Calculation of higher heating values of biomass fuels. Fuel 76(5): 431–434.
- [12] Prins M. J, Ptasinski K. J, Janssen F. J. J. G. 2006. Torrefaction of wood: Part 2. Analysis of products. Journal of Analytical and Applied Pyrolysis 77(1): 35–40.
- [13] Demirbas A. 2005. Pyrolysis of ground beech wood in irregular heating rate conditions. Journal of Analytical and Applied Pyrolysis 73: 39–43.
- [14] Bilandzija N, Voca N, Kricka T, Matin A, Jurisic V. 2012. Energy potential of fruit tree pruned biomass in Croatia. Spanish Journal of Agricultural Research 10(2): 292–298.
- [15] Wei Q, Ma X, Dong J. Preparation, chemical constituents and antimicrobial activity of pyroligneous acids from walnut tree branches. 2010. Journal of Analytical and Applied Pyrolysis 87(1): 24–28.
- [16] Vassilev S. V, Baxter D, Andersen L.K, Vassileva C. G. 2010. An overview of the chemical composition of biomass. Fuel 89: 913–933.
- [17] Grieco E, Baldi G. 2011. Analysis and modelling of wood pyrolysis. Chemical Engineering Science 66(4): 650–660.
- [18] Figueiredo J. L, Valenzuela C, Bernalte A, Encinar J. M. 1989. Pyrolysis of holm-oak wood: influence of temperature and particle size. Fuel 68(8): 1012–1016.

- [19] Knight J. A, Bowen M. D, Purdy K. R. 1976. Pyrolysis - A method for conversion of forestry wastes to useful fuels. Conference on Energy and Wood Products Industry, Forest Products Research Society, Atlanta, Georgia.
- [20] Williams P, Besler S. 1996. The influence of temperature and heating rate on the slow pyrolysis of biomass. *Renewable Energy* 7(3): 233–250.
- [21] Bajus M. 2010. Pyrolysis of woody material. *Petroleum and Coal* 52(3): 207–214.
- [22] Garcìà-Pérez M, Chaala A, Pakdel H, Kretschmer D, Roy C. 2007. Vacuum pyrolysis of softwood and hardwood biomass: Comparison between product yields and bio-oil properties. *Journal of Analytical and Applied Pyrolysis* 78(1): 104–116.
- [23] Demirbas A. 2009. Hydrogen-rich Gases from Biomass via Pyrolysis and Air-steam Gasification. *Energy Sources Part A Recovery Utilization and Environmental Effects* 31(19):1728–1736.
- [24] Demirbas A. 2009. Pyrolysis Mechanisms of Biomass Materials. *Energy Sources Part A Recovery Utilization and Environmental Effects* 31(13):1186–1193.
- [25] Ni M, Leung D. Y. C, Leung M. K. H, Sumathy K. 2006. An overview of hydrogen production from biomass. *Fuel Processing Technology* 87(5):461–472.
- [26] Czernik S, Evans E, French R. 2007. Hydrogen from biomass-production by steam reforming of biomass pyrolysis oil. *Catalysis Today* 129(3-4):265–268.
- [27] Czernik S, Bridgwater A. V. 2004. Overview of applications of biomass fast pyrolysis oil. *Energy & Fuels* 18(2):590–598.
- [28] Huber G. W, Iborra S, Corma A. 2006. Synthesis of Transportation Fuels from Biomass: Chemistry, Catalysts and Engineering. *Chemical Reviews* 106(9): 4044–4098.
- [29] Ware A. E. 2013. Application of pyrolysis-GC/MS to the study of biomass and biomass constituents, Ph.D. diss, College of Arts and Sciences, University of Kentucky, Lexington.
- [30] Bridgwater A. V. 2004. Biomass fast pyrolysis. *Thermal Science* 8(2): 21–49.
- [31] Meier D, Oasmaa A, Peacocke G. V. C. 1997. Properties of Fast Pyrolysis Liquids: Status of Test Methods. Characterization of Fast Pyrolysis Liquids. In: Developments in Thermochemical Biomass Conversion, eds. Bridgwater A. V, Boocock D. G. B, 391–408. Blackie Academic & Professional, London, United Kingdom.
- [32] Elliott D. 1994. Water, Alkali and Char in Flash Pyrolysis Oils. *Biomass and Bioenergy* 7(1-6): 179–185.
- [33] Scholze B, Meier D. 2001. Characterization of the water-insoluble fraction from pyrolysis oil (pyrolytic lignin). Part I. PY-GC/MS, FTIR, and functional groups. *Journal of Analytical and Applied Pyrolysis* 60: 41–54.
- [34] Mullen A. C, Boateng A. A. 2011. Production and Analysis of Fast Pyrolysis Oils from Proteinaceous Biomass. *Bioenergy Resource* 4 (4): 303–311.
- [35] Zhang Q, Chang J, Wang T. J, Xu Y. 2007. Review of biomass pyrolysis oil properties and upgrading research. *Energy Conversion and Management* 48(1):87–92.
- [36] Vamvuka D. 2011. Bio-oil, solid and gaseous biofuels from biomass pyrolysis processes - An overview. *International Journal of Energy Research* 35: 835–862.
- [37] Mohan D, Pittman C.U, Bricka M, Smith F, Yancey B, Mohammad J, Steele P. H, Alexandre-Franco M. F, Gómez-Serrano V, Gong H. 2007. Sorption of arsenic, cadmium, and lead by chars produced from fast pyrolysis of wood and bark during bio-oil production. *Journal of Colloid and Interface Science* 310(1): 57–73.
- [38] Janse A. M. C, de Jonge H. G, Prins W, van Swaaij W. P. M. 1998. Combustion Kinetics of Char Obtained by Flash Pyrolysis of Pine Wood. *Industrial & Engineering Chemistry Research* 37(10): 3909–3918.

- [39] Di Blasi C, Signorelli G, Di Russo C, Rea G. 1999. Product Distribution from Pyrolysis of Wood and Agricultural Residues. *Industrial & Engineering Chemistry Research* 38(6): 2216–2224.

## 6. ZAKLJU AK

Cilj doktorske disertacije predstavljalo je eksperimentalno ispitivanje procesa pirolize razli itih vrsta drvne biomase (strugotine drveta hrasta, bukve, oraha, trešnje, jеле, lipe i mešavine navedenih vrsta biomase) kao potencijalnih izvora energije i eksperimentalno ispitivanje sastava mešavine drvne biomase, koje podrazumeva tehni ku i elementarnu analizu.

Osnovni doprinosi izvršenog ispitivanja su:

- *Pregled literature o:*
  - dosadašnjim istraživanjima u oblasti pirolize drvne biomase
  - zakonskoj regulativi u oblasti obnovljivih izvora energije
  - termohemijskim procesima konverzije
- *Fizi ko - hemijska karakterizacija drvne biomase*
  - ostvaren je doprinos znanju o elementarnoj i tehni koj analizi drvne biomase i pore enje sa rezultatima u literaturi
  - analiza kvalitativnih karakteristika drvne biomase u tre em poglavlju, koja je izvršena na osnovu rezultata tehni ke i elementarne analize mešavine drvne biomase koriš ene pri eksperimentalnom ispitivanju i petnaest razli itih vrsti drvne biomase iz literature pokazala je da postoje odre ena odstupanja razmatranih karakteristika: 74.85% (vlaga), 9.76% (isparljive materije), 85.32% (pepeo) i 12.12% (toplota mo ) od srednjih vrednosti, na šta ukazuje koeficijent varijacije  $C_v$  (tabela 3.9.). Zna ajna odstupanja karakteristika pepela od srednje vrednosti (85.32%) mogu nepovoljno da uti u na primenu i rad postrojenja za suvo odsuporavanje dimnih gasova pri procesima sagorevanja zbog dodatne koli ine praha
  - zavisnost donje toplotne mo i od ugljenika i isparljivih materija, svedeno na sagorljivu osnovu, ukazala je na koreACIONU vezu karakteristika drvne biomase, kao i zavisnost veli ine  $M=((H^g O^g/8)\cdot 12)/C_{isp}^g$  od isparljivih materija, dok je u odnosu na  $C_{fix}^g$ , promena veli ine  $M$  ukazala na disperziju rezultata. Može se zaklju iti da pored slaganja pojedinih podataka postoje i odre ena odstupanja. Stoga, poznavanje rezultata elementarne i tehni ke analize drvne biomase može imati veliki zna aj
- *Primer prora una materijalnog i toplotnog bilansa procesa sagorevanja drvne biomase*
  - ustanovljeno je da neuskla enost mase vlažnih dimnih gasova dobijene bilansom mase i izra unate vrednosti iznosi 0.1%, što može da bude od

zna aja pri prakti nim inženjerskim prora unima. Teorijska temperatura sagorevanja goriva odre ena je iz toplotnog bilansa procesa sagorevanja. Pri teorijskoj (minimalnoj) potrošnji vazduha ( $\lambda = 1$ ) i pri normalnim uslovima teorijska (pirometrijska) temperatura sagorevanja iznosi  $1800\text{ }^{\circ}\text{C}$  za date karakteristike drvne biomase toplotne mo i. Navedena temperatura ne može da se postigne u slu aju potpunog sagorevanja pri  $\lambda = 1$  jer se jedan deo toplotne energije troši za disocijaciju produkata sagorevanja. Maksimalna temperatura plamena, radi o uvanja postojanosti materijala zidova ložišta, ne bi smela da prelazi  $1700 - 1800\text{ }^{\circ}\text{C}$ , što se postiže odabirom odgovaraju eg koeficijenta viška vazduha. Za odabranou gorivo (drvnu biomasu), iznosi  $1.0 - 1.1$ .

- *Eksperimentalno ispitivanje procesa pirolize drvne biomase*

- ispitivan je uticaj temperature, reakcionog vremena, brzine zagrevanja i vrste drvne biomase na prinos produkata pirolize drvne biomase u šaržnom reaktoru.

Analizom eksperimentalno dobijenih podataka došlo se do slede ih zaklju aka:

- maseni ideo vrstog ostatka opada sa porastom temperature pirolize, dok maseni ideo gasa raste
- najzna ajnija promena mase uzorka je u opsegu temperature od  $200$  do  $400\text{ }^{\circ}\text{C}$ , pri emu gubitak mase iznosi  $55.46 - 62.47\%$  u zavisnosti od vrste drvne biomase
- sa porastom brzine zagrevanja tokom procesa pirolize pove ava se prinos volatila (isparljivih materija), dok prinos vrstog ostatka opada
- vrsta drvne biomase ne uti e zna ajno na prinos produkata pirolize. Pri pirolizi razli itih vrsti drvne biomase odstupanja rezultata nisu zna ajna, što se može objasniti malim razlikama u odnosima H/C i O/C
- vrednosti prinosa vrstog ostatka dobijene eksperimentalnim ispitivanjem su uporedive sa vrednostima prinosa vrstog ostatka kod drugih istraživa a. Odstupanja prinosa bio-ulja i gasa mogu se objasniti razli itim uslovima odvijanja procesa pirolize
- porast temperature pirolize od  $300$  do  $650\text{ }^{\circ}\text{C}$  uti e na opadanje zapreminskega udela  $\text{CO}_2$  i pove anje zapreminskega udela  $\text{CH}_4$
- vrsta drvne biomase koriš ena pri procesu pirolize nema zna ajan uticaj na prinos  $\text{CO}_2$  i  $\text{CH}_4$
- pore enjem sastava gasa sa rezultatima drugih istraživa a uo eno je da odstupanja nisu velika. Vrednosti zapreminskega udela  $\text{CO}_2$  i  $\text{CH}_4$  u piroliti kom gasu u saglasnosti su sa podacima iz pregledane literature koji se odnose na pirolizu hrasta i bukve
- sastav vrstog (koksnog) ostatka dobijen pirolizom mešavine drvne biomase u skladu je sa podacima prikazanim u literaturi za razli ite vrste drvne biomase
- na osnovu toplotnog bilansa utvr eno je da gubici toplotne u piroliti kom reaktoru iznose  $8036.56\text{ kJ}$  po  $\text{kg}$  goriva i da stepen korisnosti piroliti kog reaktora iznosi  $65.80\%$ .

Može se zaklju iti da su hipoteze postavljene u uvodnom delu doktorske disertacije potvr ene, izuzev hipoteze da koriš enje razli itih vrsti drvne biomase uti e na prinos produkata pirolize. Prepostavlja se da nema velikih odstupanja u rezultatima zbog malih razlika u sastavu razli itih vrsta drvne biomase, budu i da je sa istog podneblja. Kako bi ova prepostavka bila potvr ena, dalja istraživanja bi trebalo da obuhvate tehni ku i elementarnu analizu svih ispitivanih vrsti drvne biomase. Osim toga, kako je pokazano da je piroliza

složen proces iji parametri zna ajno uti u na proekte, budu a istraživanja trebalo bi da idu u pravcu zna ajnijeg variranja ispitivanih parametara. Poželjno bi bilo ispitivati ve i opseg temperature pirolize i razli ite tipove reaktora. Predlog rešenja koriš enja produkata pirolize drvne biomase i potvrda dobijenih rezultata može se dati tek nakon ispitivanja na poluindustrijskim i industrijskim postrojenjima.

## PRILOZI

**PRILOG 1. Mase i zapremine produkata sagorevanja mešavine drvne biomase u zavisnosti od koeficijenta viška vazduha**

	1.0	1.2	1.4	1.6	1.8	2.0
$m_{CO_2}$ $\left( \frac{kgCO_2}{kgB} \right)$	1.5401	1.5401	1.5401	1.5401	1.5401	1.5401
$m_{H_2O}$ $\left( \frac{kgH_2O}{kgB} \right)$	0.5354	0.5354	0.5354	0.5354	0.5354	0.5354
$m_{SO_2}$ $\left( \frac{kgSO_2}{kgB} \right)$	0.0056	0.0056	0.0056	0.0056	0.0056	0.0056
$m_{N_2}$ $\left( \frac{kgN_2}{kgB} \right)$	3.7365	4.4817	5.2269	5.9721	6.7173	7.4626
$m_{O_2}$ $\left( \frac{kgO_2}{kgB} \right)$	0	0.2226	0.4452	0.6678	0.8904	1.1130
$m_{sdg}$ $\left( \frac{kg}{kgB} \right)$	5.2822	6.2500	7.2178	8.1856	9.1534	10.1213
$m_{vdg}$ $\left( \frac{kg}{kgB} \right)$	5.8176	6.7854	7.7532	8.7210	9.6888	10.6567
$V_{CO_2}$ $\left( \frac{m^3CO_2}{kgB} \right)$	0.7841	0.7841	0.7841	0.7841	0.7841	0.7841
$V_{H_2O}$ $\left( \frac{m^3H_2O}{kgB} \right)$	0.6663	0.6663	0.6663	0.6663	0.6663	0.6663
$V_{SO_2}$ $\left( \frac{m^3SO_2}{kgB} \right)$	0.0020	0.0020	0.0020	0.0020	0.0020	0.0020
$V_{N_2}$ $\left( \frac{m^3N_2}{kgB} \right)$	1.5455	1.8529	2.1603	2.4678	2.7751	3.0826
$V_{O_2}$ $\left( \frac{m^3O_2}{kgB} \right)$	0	0.0817	0.1634	0.2451	0.3269	0.4086
$V_{sdg}$ $\left( \frac{m^3}{kgB} \right)$	2.3316	2.7207	3.1098	3.4990	3.8881	4.2773
$V_{vdg}$ $\left( \frac{m^3}{kgB} \right)$	2.9979	3.3870	3.7761	4.1653	4.5544	4.9436

**PRILOG 2. Zapreminski udeli gasova u vlažnom dimnom gasu.**

	1.0	1.2	1.4	1.6	1.8	2.0
CO <sub>2</sub> (%)	26.15	23.15	20.76	18.82	17.22	15.86
H <sub>2</sub> O (%)	22.22	19.67	17.64	16.00	14.63	13.48
SO <sub>2</sub> (%)	0.07	0.06	0.05	0.05	0.04	0.04
N <sub>2</sub> (%)	51.55	54.71	57.21	59.25	60.93	62.35
O <sub>2</sub> (%)	0	2.41	4.33	5.88	7.18	8.26

## PRILOG 3. Srednje specifične toplove

[izvor: Bogner M. Termotehničar. 2003. INTERKLIMA-GRAFIKA, Vrnjačka Banja. Savez mašinskih i elektrotehničkih inženjera i tehničara Srbije, Beograd.]

Temperatura t (°C)	N <sub>2</sub> c <sub>p</sub> $\left( \frac{\text{kJ}}{\text{kg K}} \right)$	O <sub>2</sub> c <sub>p</sub> $\left( \frac{\text{kJ}}{\text{kg K}} \right)$	CO <sub>2</sub> c <sub>p</sub> $\left( \frac{\text{kJ}}{\text{kg K}} \right)$	H <sub>2</sub> O c <sub>p</sub> $\left( \frac{\text{kJ}}{\text{kg K}} \right)$	SO <sub>2</sub> c <sub>p</sub> $\left( \frac{\text{kJ}}{\text{kg K}} \right)$
0	1.0392	0.9148	0.8148	1.8594	0.6071
100	1.0404	0.9232	0.8658	1.8690	0.6364
200	1.0434	0.9353	0.9102	1.8937	0.6615
400	1.0567	0.9651	0.9826	1.9477	0.7076
600	1.0760	0.9927	1.0396	2.0092	0.7369
800	1.0947	1.0157	1.0852	2.0754	0.7620
1000	1.1179	1.0350	1.1225	2.1436	0.7829
1200	1.1359	1.0509	1.1530	2.2106	0.7976
1400	1.1526	1.0647	1.1782	2.2743	0.8039
1600	1.1673	1.0773	1.1995	2.3346	0.8164
1800	1.1798	1.0886	1.2179	2.3970	0.8248
2000	1.1911	1.0990	1.2334	2.4422	0.8332

## PRILOG 4. i t dijagram procesa sagorevanja drvne biomase

	1.0	1.2	1.4	1.6	1.8	2.0
$t = 100 \text{ } ^\circ\text{C}$						
$i \left( \frac{\text{kJ}}{\text{kg}} \right)$	622.4832	720.5910	818.6720	916.7531	1014.8341	1112.9256
$t = 200 \text{ } ^\circ\text{C}$						
$i \left( \frac{\text{kJ}}{\text{kg}} \right)$	1263.6109	1460.7588	1658.4611	1855.0546	2052.2025	2361.8791
$t = 400 \text{ } ^\circ\text{C}$						
$i \left( \frac{\text{kJ}}{\text{kg}} \right)$	2603.3692	3004.2828	3405.1965	3806.1101	3892.0426	4607.9796
$t = 600 \text{ } ^\circ\text{C}$						
$i \left( \frac{\text{kJ}}{\text{kg}} \right)$	4020.8486	4634.5347	5248.2208	5861.9070	6475.5931	7089.3438
$t = 800 \text{ } ^\circ\text{C}$						
$i \left( \frac{\text{kJ}}{\text{kg}} \right)$	5501.6795	6335.1717	7168.6640	8002.1562	8835.6484	9669.2282
$t = 1000 \text{ } ^\circ\text{C}$						
$i \left( \frac{\text{kJ}}{\text{kg}} \right)$	7057.8633	8121.3133	9184.7634	10248.2135	11311.6636	12375.2255
$t = 1200 \text{ } ^\circ\text{C}$						
$i \left( \frac{\text{kJ}}{\text{kg}} \right)$	8649.6569	9946.1406	11242.6242	12539.1078	13835.5914	15132.2114
$t = 1400 \text{ } ^\circ\text{C}$						
$i \left( \frac{\text{kJ}}{\text{kg}} \right)$	10280.7569	11815.0445	13349.3322	14883.6198	16417.9074	17952.3564
$t = 1600 \text{ } ^\circ\text{C}$						
$i \left( \frac{\text{kJ}}{\text{kg}} \right)$	11941.5729	14385.0778	15492.5455	17268.0318	19043.5181	20819.1912
$t = 1800 \text{ } ^\circ\text{C}$						
$i \left( \frac{\text{kJ}}{\text{kg}} \right)$	13629.5697	15648.2865	17667.0033	19685.7200	21704.4368	23723.3659
$t = 2000 \text{ } ^\circ\text{C}$						
$i \left( \frac{\text{kJ}}{\text{kg}} \right)$	15324.6486	17589.1388	19853.6291	22118.1193	24382.6095	26647.3380

## PRILOG 5. PIROLIZA STRUGOTINE HRASTA (ISPITIVANJE 1)

MERENJE BR: 1												DATUM MERENJA: 27.06.2012.					
UZORAK: STRUGOTINA HRASTA												VREME MERENJA: 20:18 – 20:58					
MASA PRAZNOG SUDA (g): 638						MASA PUNOG SUDA (g): 648						MASA SUDA SA KOKSOM (g): 640					
Naziv veličine	Jedinica																
Masa uzorka	g																10
Temperatura u reaktoru	°C	27	50	100	150	200	250	300	350	400	450	500	550	600	650		
Vreme odvijanja procesa pirolize	min	0	7.58	12.00	14.07	15.95	16.93	18.60	20.70	21.70	22.60	23.40	24.28	25.37	26.90		
Promena mase uzorka ( vrstog ostatka)	g	10.0	10.0	9.1	8.7	8.0	7.0	5.8	4.1	3.7	3.5	3.3	3.0	2.7	2.4		
Prinos piroliti kog gasa*	g	0	0	0.9	1.3	2.0	3.0	4.2	5.9	6.3	6.5	6.7	7.0	7.3	7.6		
CO	%	0	0.05	0.05	0.05	0.05	0.05	0.05	0.05	0.05	0.05	0.05	0.05	0.05	0.05	0.05	
Zapreminski udio pirolitičkih gasova u reaktoru																	
H <sub>2</sub>	%	0	0	0.08	0.12	0.24	0.44	0.63	0.72	0.83	2.53	3.88	4.00	4.00	4.00		
CO <sub>2</sub>	%	0	0.17	0.94	5.60	26.20	34.50	47.50	45.50	44.00	42.80	41.80	35.20	28.60	26.80		
O <sub>2</sub>	%	21.0	21.0	19.2	13.8	2.1	1.2	0.9	0.7	0.7	0.2	0.1	0.2	0.2	0.2		
CH <sub>4</sub>	%	0	0	0	0	0	8.5	10.0	11.5	16.0	18.0	19.5	22.5	23.5	26.0		
Masa vrstog ostatka na kraju procesa pirolize	g															2.0	
Masa tečne faze na kraju procesa pirolize	g															3.0	
Masa suvog piroliti kog gasa na kraju procesa pirolize	g															5.0	
Prose na brzinu zagrevanja u reaktoru	°C/min															23	

\* Vrednosti određene iz izraza  $m_{\text{gasa}} = m_0 - m$

## MERENJE BR. 1 - nastavak

\* Vrednosti određene iz izraza  $m_{\text{gasa}} = m_0 \cdot m$

## PRILOG 5. ISPITIVANJE 1 - nastavak

MERENJE BR: 2												DATUM MERENJA: 28.06.2012.										
UZORAK: STRUGOTINA HRASTA												VREME MERENJA: 20:25 – 21:05										
MASA PRAZNOG SUDA (g): 638						MASA PUNOG SUDA (g): 648						MASA SUDA SA KOKSOM (g): 640										
<i>Naziv veličine</i>																						
Masa uzorka	g															10						
Temperatura u reaktoru	°C	30	50	100	150	200	250	300	350	400	450	500	550	600	650							
Vreme odvijanja procesa pirolize	min	0	8.17	13.25	15.73	17.32	20.17	22.53	24.67	25.83	26.73	27.63	28.68	30.05	31.37							
Promena mase uzorka ( vrstog ostatka)	g	10.0	10.0	9.2	7.8	6.6	4.1	3.2	2.8	2.5	2.4	2.2	2.1	2.0	2.0							
Prinos piroliti kog gasa*	g	0	0	0.8	2.2	3.4	5.9	6.8	7.2	7.5	7.6	7.8	7.9	8.0	8.0							
CO	%	0	0.05	0.05	0.05	0.05	0.05	0.05	0.05	0.05	0.05	0.05	0.05	0.05	0.05							
Zapreminski ideo piroliti kih gasova u reaktoru	H <sub>2</sub>	%	0	0.12	0.18	0.32	0.44	1.11	2.05	2.43	3.13	3.55	3.98	4.00	4.00	4.00						
	CO <sub>2</sub>	%	0	0.20	1.40	4.35	22.60	30.20	45.60	43.50	42.00	36.80	35.20	34.40	28.80	27.20						
	O <sub>2</sub>	%	21.0	21.0	19.2	13.6	2.4	1.4	0.9	0.6	0.5	0.2	0.0	0.1	0.1	0.1						
	CH <sub>4</sub>	%	0	0	0	0	0	8.5	10.5	12.0	14.5	16.0	17.5	20.0	23.5	26.5						
Masa vrstog ostatka na kraju procesa pirolize	g	2.0																				
Masa tečne faze na kraju procesa pirolize	g	2.8																				
Masa suvog piroliti kog gasa na kraju procesa pirolize	g	5.2																				
Prose na brzinu zagrevanja u reaktoru	°C/min	20																				

\* Vrednosti određene iz izraza  $m_{\text{gasa}} = m_0 - m$

## MERENJE BR. 2 - nastavak

<i>Naziv veličine</i>	<i>Jedinica</i>	10																																								
Masa uzorka	g	0	1	2	3	4	5	6	7	8	9	10	11	12	13	14	15	16	17	18	19	20	21	22	23	24	25	26	27	28	29	30	31	32	33	34	35	36	37	38	39	40
Vreme odvijanja procesa pirolize	min	0	10	10	10	10	10	10	10	10	9.8	9.6	9.4	9.2	8.9	8.5	7.6	6.8	6.0	5.0	4.2	3.8	3.3	3.1	2.9	2.7	2.5	2.3	2.1	2.1	2.0	2.0	2.0	2.0	2.0	2.0	2.0	2.0	2.0	2.0		
Promena mase uzorka (vrstog ostatka)	g	10	10	10	10	10	10	10	10	10	9.8	9.6	9.4	9.2	8.9	8.5	7.6	6.8	6.0	5.0	4.2	3.8	3.3	3.1	2.9	2.7	2.5	2.3	2.1	2.1	2.0	2.0	2.0	2.0	2.0	2.0	2.0	2.0				
Prinos pirolitičkog gasa*	g	0	0	0	0	0	0	0	0	0.1	0.2	0.5	0.4	0.6	0.8	1.1	1.5	2.4	3.2	4.0	5.0	5.8	6.2	6.7	6.9	7.1	7.3	7.5	7.7	7.9	7.9	8.0	8.0	8.0	8.0	8.0	8.0	8.0	8.0			

\* Vrednosti određene iz izraza  $m_{\text{gasa}} = m_0 - m$

## PRILOG 5. ISPITIVANJE 1 - nastavak

MERENJE BR: 3												DATUM MERENJA: 29.06.2012.					
UZORAK: STRUGOTINA HRASTA												VREME MERENJA: 8:35 – 9:05					
MASA PRAZNOG SUDA (g): 638						MASA PUNOG SUDA (g): 648						MASA SUDA SA KOKSOM (g): 640.1					
Naziv veličine	Jedinica																
Masa uzorka	g															10	
Temperatura u reaktoru	°C	28	50	100	150	200	250	300	350	400	450	500	550	600	650		
Vreme odvijanja procesa pirolize	min	0	8.2	13.17	15.75	17.28	20.08	22.55	24.70	25.88	26.80	27.65	28.70	30.08	31.40		
Promena mase uzorka (vrstog ostatka)	g	10.0	10.0	9.1	8.2	6.5	4.4	3.3	2.8	2.5	2.4	2.3	2.2	2.1	2.1		
Prinos piroliti kog gasa*	g	0	0	0.9	1.8	3.5	5.6	6.7	7.2	7.5	7.6	7.7	7.8	7.9	7.9		
	CO	%	0	0.05	0.05	0.05	0.05	0.05	0.05	0.05	0.05	0.05	0.05	0.05	0.05		
Zapreminski udio pirolitičkih gasova u reaktoru	H <sub>2</sub>	%	0	0.05	0.14	0.25	0.31	0.43	0.60	1.08	2.52	3.14	3.88	4.00	4.00		
	CO <sub>2</sub>	%	0	0.21	0.97	3.85	26.80	33.50	45.50	44.50	43.20	40.80	38.60	30.40	27.80		
	O <sub>2</sub>	%	21.0	20.4	19.3	13.4	1.9	1.0	0.9	0.7	0.6	0.6	0.2	0.2	0.2		
	CH <sub>4</sub>	%	0	0	0	0	0	4.5	9.0	10.5	14.5	15.0	16.5	20.0	22.5		
Masa vrstog ostatka na kraju procesa pirolize	g														2.1		
Masa tečne faze na kraju procesa pirolize	g														3.0		
Masa suvog piroliti kog gasa na kraju procesa pirolize	g														4.9		
Prosečna brzina zagrevanja u reaktoru	°C/min														20		

\* Vrednosti određene iz izraza  $m_{\text{gasa}} = m_0 - m$

## MERENJE BR. 3 - nastavak

\* Vrednosti određene iz izraza  $m_{\text{gasa}} = m_0 \cdot m$

## PRILOG 5. ISPITIVANJE 1 - nastavak

MERENJE BR: 4											DATUM MERENJA: 3.07.2012.					
UZORAK: STRUGOTINA HRASTA											VREME MERENJA: 8:56 – 9:36					
MASA PRAZNOG SUDA (g): 638					MASA PUNOG SUDA (g): 648						MASA SUDA SA KOKSOM (g): 639.9					
<i>Naziv veličine</i>																
Masa uzorka											10					
Temperatura u reaktoru	°C	29	50	100	150	200	250	300	350	400	450	500	550	600	650	
Vreme odvijanja procesa pirolize	min	0	7.00	11.05	12.80	14.18	15.38	16.40	17.95	19.10	20.12	21.12	21.93	22.98	24.5	
Promena mase uzorka (vrstog ostatka)	g	10.0	10.0	9.2	8.8	8.4	7.7	7.0	6.0	4.8	3.2	2.6	2.1	2.0	1.9	
Prinos pirolitičkog gasa*	g	0	0	0.8	1.2	1.6	2.3	3.0	4.0	5.2	6.8	7.4	7.9	8.0	8.1	
Zapreminske udjeli pirolitičkih gasova u reaktoru	CO	%	0	0.0194	0.0423	0.05	0.05	0.05	0.05	0.05	0.05	0.05	0.05	0.05	0.05	0.05
	H <sub>2</sub>	%	0	0	0.09	0.18	0.32	0.59	0.71	1.10	2.15	3.14	3.73	>4.00	>4.00	>4.00
	CO <sub>2</sub>	%	0	0.56	1.08	3.26	7.35	29.50	45.50	44.00	43.50	38.60	34.20	30.80	28.60	26.80
	O <sub>2</sub>	%	21.0	21.0	19.3	14.2	5.6	2.1	1.1	0.9	0.8	0	0	0	0	0
	CH <sub>4</sub>	%	0	0	0	0	0	4.5	11.5	13.5	15.0	16.0	17.5	19.5	23.5	25.0
Masa vrstog ostatka na kraju procesa pirolize												1.9				
Masa tečne faze na kraju procesa pirolize												2.7				
Masa suvog pirolitičkog gasa na kraju procesa pirolize												5.4				
Prosečna brzina zagrevanja u reaktoru	°C/min											25				

\* Vrednosti određene iz izraza  $m_{\text{gasa}} = m_0 - m$

## MERENJE BR. 4 - nastavak

\* Vrednosti određene iz izraza  $m_{\text{gasa}} = m_0$

## PRILOG 5. ISPITIVANJE 1 - nastavak

MERENJE BR: 5												DATUM MERENJA: 4.07.2012.					
UZORAK: STRUGOTINA HRASTA												VREME MERENJA: 8:43 – 9:23					
MASA PRAZNOG SUDA (g): 638						MASA PUNOG SUDA (g): 648						MASA SUDA SA KOKSOM (g): 639.9					
Naziv veličine	Jedinica																
Masa uzorka	g															10	
Temperatura u reaktoru	°C	29	50	100	150	200	250	300	350	400	450	500	550	600	650		
Vreme odvijanja procesa pirolize	min	0	8.40	13.55	16.20	17.72	20.42	23.25	25.57	26.70	27.52	28.65	29.70	31.35	32.97		
Promena mase uzorka (vrstog ostatka)	g	10.0	9.9	8.6	8.0	6.2	4.1	3.0	2.6	2.4	2.2	2.2	2.1	2.0	1.9		
Prinos piroliti kog gasa*	g	0	0.1	1.4	2.0	3.8	5.9	7.0	7.4	7.6	7.8	7.8	7.9	8.0	8.1		
Zapreminski udio pirolitičkih gasova u reaktoru																	
CO	%	0	0.05	0.05	0.05	0.05	0.05	0.05	0.05	0.05	0.05	0.05	0.05	0.05	0.05		
H <sub>2</sub>	%	0	0.05	0.16	0.27	0.35	0.42	0.56	1.12	2.05	3.07	3.97	>4.00	>4.00	>4.00		
CO <sub>2</sub>	%	0	0.69	1.62	8.50	24.80	32.50	43.50	41.50	42.20	38.60	37.20	33.80	28.20	27.00		
O <sub>2</sub>	%	21.0	19.9	18.4	11.4	2.3	1.0	0.8	0.6	0.4	0.2	0.2	0.2	0.2	0.2		
CH <sub>4</sub>	%	0	0	0	0	0	10.5	12.5	13.5	16.5	17.0	18.5	24.5	26.5	27.0		
Masa vrstog ostatka na kraju procesa pirolize	g															1.9	
Masa tečnosti na kraju procesa pirolize	g															2.6	
Masa suvog piroliti kog gasa na kraju procesa pirolize	g															5.5	
Prosječna brzina zagrevanja u reaktoru	°C/min															19	

\* Vrednosti određene iz izraza  $m_{\text{gasa}} = m_0 - m$

## MERENJE BR. 5 - nastavak

<i>Naziv veličine</i>	<i>Jedinica</i>	10																																											
Masa uzorka	g	0	1	2	3	4	5	6	7	8	9	10	11	12	13	14	15	16	17	18	19	20	21	22	23	24	25	26	27	28	29	30	31	32	33	34	35	36	37	38	39	40			
Vreme odvijanja procesa pirolize	min	0	10	10	10	10	10	10	10	9.9	9.8	9.2	9.1	9.0	8.8	8.5	8.3	8.0	7.3	6.1	5.3	4.3	3.9	3.3	3.1	2.8	2.7	2.5	2.3	2.2	2.2	2.0	2.0	2.0	1.9	1.9	1.9	1.9	1.9	1.9	1.9	1.9	1.9	1.9	1.9
Promena mase uzorka (vrstog ostatka)	g	10	10	10	10	10	10	10	10	9.9	9.8	9.2	9.1	9.0	8.8	8.5	8.3	8.0	7.3	6.1	5.3	4.3	3.9	3.3	3.1	2.8	2.7	2.5	2.3	2.2	2.2	2.0	2.0	2.0	1.9	1.9	1.9	1.9	1.9	1.9	1.9	1.9	1.9	1.9	1.9
Prinos pirolitičkog gasa*	g	0	0	0	0	0	0	0	0	0.1	0.2	0.8	0.9	1.0	1.2	1.5	1.7	2.0	2.7	3.9	4.7	5.7	6.1	6.7	6.9	7.2	7.3	2.5	2.3	2.2	2.2	2.0	2.0	2.0	1.9	1.9	1.9	1.9	1.9	1.9	1.9	1.9	1.9	1.9	1.9

\* Vrednosti određene iz izraza  $m_{\text{gasa}} = m_0 - m$

## PRILOG 6. PIROLIZA STRUGOTINE BUKVE (ISPITIVANJE 2)

MERENJE BR: 1												DATUM MERENJA: 7.09.2012.					
UZORAK: STRUGOTINA BUKVE												VREME MERENJA: 8:15 8:55					
MASA PRAZNOG SUDA (g): 638						MASA PUNOG SUDA (g): 648						MASA SUDA SA KOKSOM (g): 640					
Naziv veličine	Jedinica																
Masa uzorka	g															10	
Temperatura u reaktoru	°C	23	50	100	150	200	250	300	350	400	450	500	550	600	650		
Vreme odvijanja procesa pirolize	min	0	7.53	11.17	13.53	16.05	18.25	20.52	22.77	23.47	24.18	25.08	26.15	27.23	28.27		
Promena mase uzorka ( vrstog ostatka)	g	10.0	10.0	9.5	8.9	7.7	5.9	4.1	3.2	2.9	2.6	2.4	2.2	2.1	2.1		
Prinos piroliti kog gasa*	g	0	0	0.5	1.1	2.3	4.1	5.9	6.8	7.1	7.4	7.6	7.8	7.9	7.9		
Zapreminski udio pirolitičkih gasova u reaktoru																	
CO	%	0	0.0142	0.05	0.05	0.05	0.05	0.05	0.05	0.05	0.05	0.05	0.05	0.05	0.05		
H <sub>2</sub>	%	0	0.17	0.42	0.71	0.98	1.13	1.23	1.40	2.00	3.50	>4.00	>4.00	>4.00	>4.00		
CO <sub>2</sub>	%	0	0.17	0.92	7.40	22.20	35.50	44.50	42.50	40.60	36.80	32.60	30.60	29.20	27.40		
O <sub>2</sub>	%	21.0	21.0	19.2	13.8	2.6	1.4	1	0.8	0.7	0.7	0.3	0.2	0.2	0.1		
CH <sub>4</sub>	%	0	0	0	0	0	8.5	10.5	11.5	16.0	18.5	20.0	22.0	23.5	25.0		
Masa vrstog ostatka na kraju procesa pirolize	g														2.0		
Masa tečne faze na kraju procesa pirolize	g														2.8		
Masa suvog piroliti kog gasa na kraju procesa pirolize	g														5.2		
Prose na brzinu zagrevanja u reaktoru	°C/min														22		

\* Vrednosti određene iz izraza  $m_{\text{gasa}} = m_0 - m$

## MERENJE BR. 1 - nastavak

<i>Naziv veličine</i>	<i>Jedinica</i>	10																																								
Masa uzorka	g	0	1	2	3	4	5	6	7	8	9	10	11	12	13	14	15	16	17	18	19	20	21	22	23	24	25	26	27	28	29	30	31	32	33	34	35	36	37	38	39	40
Vreme odvijanja procesa pirolize	min	0	10	10	10	10	10	10	10	10	9.9	9.8	9.5	9.3	9.0	8.8	8.1	7.7	6.9	6.1	5.1	4.3	3.9	3.4	3.1	2.7	2.4	2.2	2.1	2.1	2.0	2.0	2.0	2.0	2.0	2.0	2.0	2.0	2.0	2.0	2.0	
Promena mase uzorka (vrstog ostatka)	g	10	10	10	10	10	10	10	10	10	9.9	9.8	9.5	9.3	9.0	8.8	8.1	7.7	6.9	6.1	5.1	4.3	3.9	3.4	3.1	2.7	2.4	2.2	2.1	2.1	2.0	2.0	2.0	2.0	2.0	2.0	2.0	2.0	2.0	2.0		
Prinos pirolitičkog gasa*	g	0	0	0	0	0	0	0	0	0	0.1	0.2	0.5	0.7	1.0	1.2	1.9	2.3	3.1	3.9	4.9	5.7	6.1	6.6	6.9	7.3	7.6	7.8	7.9	7.9	8.0	8.0	8.0	8.0	8.0	8.0	8.0	8.0	8.0	8.0	8.0	

\* Vrednosti određene iz izraza  $m_{\text{gasa}} = m_0 - m$

## PRILOG 6. ISPITIVANJE 2 - nastavak

MERENJE BR: 2												DATUM MERENJA: 11.09.2012.					
UZORAK: STRUGOTINA BUKVE												VREME MERENJA: 11:15 - 11:55					
MASA PRAZNOG SUDA (g): 638						MASA PUNOG SUDA (g): 648						MASA SUDA SA KOKSOM (g): 640.1					
Naziv veličine	Jedinica																
Masa uzorka	g															10	
Temperatura u reaktoru	°C	26	50	100	150	200	250	300	350	400	450	500	550	600	650		
Vreme odvijanja procesa pirolize	min	0	7.42	11.0	13.62	15.78	17.78	20.62	22.72	23.72	24.47	25.17	26.03	27.03	28.3		
Promena mase uzorka (vrstog ostatka)	g	10.0	10.0	9.9	9.7	9.0	7.2	4.9	4.0	3.1	3.0	2.6	2.3	2.2	2.1		
Prinos piroliti kog gasa*	g	0	0	0.1	0.3	1.0	2.8	5.1	6.0	6.9	7.0	7.4	7.7	7.8	7.9		
Zapreminski udio pirolitičkih gasova u reaktoru																	
CO	%	0	0.05	0.05	0.05	0.05	0.05	0.05	0.05	0.05	0.05	0.05	0.05	0.05	0.05		
H <sub>2</sub>	%	0	0.16	0.22	0.31	1.17	1.38	1.79	2.10	2.80	3.00	>4.00	>4.00	>4.00	>4.00		
CO <sub>2</sub>	%	0	0.14	0.70	1.36	4.95	29.40	42.50	41.50	39.00	36.20	34.00	31.20	29.80	28.40		
O <sub>2</sub>	%	21.0	21.0	19.8	15.2	11.2	1.9	1.0	0.9	0.6	0.4	0.3	0.2	0.1	0.1		
CH <sub>4</sub>	%	0	0	0	0	0	3.0	10.5	12.5	14.5	16.0	19.5	23.0	25.0	26.5		
Masa vrstog ostatka na kraju procesa pirolize	g														2.1		
Masa tečne faze na kraju procesa pirolize	g														2.5		
Masa suvog piroliti kog gasa na kraju procesa pirolize	g														5.4		
Prose na brzinu zagrevanja u reaktoru	°C/min														22		

\* Vrednosti određene iz izraza  $m_{\text{gasa}} = m_0 - m$

## MERENJE BR. 2 - nastavak

\* Vrednosti određene iz izraza  $m_{\text{gasa}} = m_0$

## PRILOG 6. ISPITIVANJE 2 - nastavak

MERENJE BR: 3										DATUM MERENJA: 12.09.2012.															
UZORAK: STRUGOTINA BUKVE										VREME MERENJA: 9:50 – 10:30															
MASA PRAZNOG SUDA (g): 638					MASA PUNOG SUDA (g): 648					MASA SUDA SA KOKSOM (g): 640.1															
<i>Naziv veličina</i>																									
Masa uzorka	g																								
Temperatura u reaktoru	°C	25	50	100	150	200	250	300	350	400	450	500	550	600	650										
Vreme odvijanja procesa pirolize	min	0	8.08	11.80	14.87	17.5	20.08	22.95	22.47	26.32	27.03	27.85	28.92	30.07	31.23										
Promena mase uzorka (vrstog ostatka)	g	10.0	10.0	9.8	9.4	7.9	5.8	3.9	3.1	3.0	2.9	2.8	2.5	2.3	2.2										
Prinos piroliti kog gasa*	g	0	0	0.2	0.6	2.1	4.2	6.1	6.9	7.0	7.1	7.2	7.5	7.7	7.8										
Zapreminski udeo piroliti kih gasova u reaktoru	CO	%	0	0.0462	0.05	0.05	0.05	0.05	0.05	0.05	0.05	0.05	0.05	0.05	0.05										
	H <sub>2</sub>	%	0	0.20	0.22	0.41	0.73	1.02	1.50	2.00	2.72	3.72	>4.00	>4.00	>4.00										
	CO <sub>2</sub>	%	0	0.17	0.53	1.32	12.80	27.60	41.50	39.50	36.80	30.60	28.20	27.90	26.20										
	O <sub>2</sub>	%	21.0	20.5	19.8	14.8	4.5	1.4	1.0	0.8	0.7	0.6	0.5	0.3	0.2										
	CH <sub>4</sub>	%	0	0	0	0	0	5.0	10.5	11.5	14.5	19.0	20.5	22.0	24.5										
Masa vrstog ostatka na kraju procesa pirolize	g																								
Masa tečne faze na kraju procesa pirolize	g																								
Masa suvog piroliti kog gasa na kraju procesa pirolize	g																								
Prose na brzinu zagrevanja u reaktoru °C/min																									

\* Vrednosti određene iz izraza  $m_{\text{gasa}} = m_0 - m$

## MERENJE BR. 3 - nastavak

<i>Naziv veličine</i>	<i>Jedinica</i>	10																																								
Masa uzorka	g	0	1	2	3	4	5	6	7	8	9	10	11	12	13	14	15	16	17	18	19	20	21	22	23	24	25	26	27	28	29	30	31	32	33	34	35	36	37	38	39	40
Vreme odvijanja procesa pirolize	min	0	10	10	10	10	10	10	10	10	9.9	9.9	9.8	9.8	9.6	9.3	8.9	8.2	7.5	6.7	5.8	5.0	4.3	3.9	3.6	3.3	3.0	2.9	2.8	2.5	2.3	2.2	2.1	2.1	2.1	2.1	2.1	2.1				
Promena mase uzorka ( vrstog ostatka)	g	10	10	10	10	10	10	10	10	10	9.9	9.9	9.8	9.8	9.6	9.3	8.9	8.2	7.5	6.7	5.8	5.0	4.3	3.9	3.6	3.3	3.0	2.9	2.8	2.5	2.3	2.2	2.1	2.1	2.1	2.1	2.1					
Prinos pirolitičkog gasa*	g	0	0	0	0	0	0	0	0	0	0.1	0.1	0.2	0.2	0.4	0.7	1.1	1.8	2.5	3.3	4.2	5.0	5.7	6.1	6.4	6.7	7.0	7.1	7.2	7.5	7.7	7.8	7.9	7.9	7.9	7.9	7.9					

\* Vrednosti određene iz izraza  $m_{\text{gasa}} = m_0 - m$

## PRILOG 6. ISPITIVANJE 2 - nastavak

MERENJE BR: 4											DATUM MERENJA: 13.09.2012.						
UZORAK: STRUGOTINA BUKVE											VREME MERENJA: 11:34 – 12:14						
MASA PRAZNOG SUDA (g): 638						MASA PUNOG SUDA (g): 648						MASA SUDA SA KOKSOM (g): 640					
Naziv veličine	Jedinica																
Masa uzorka	g																10
Temperatura u reaktoru	°C	25	50	100	150	200	250	300	350	400	450	500	550	600	650		
Vreme odvijanja procesa pirolize	min	0	7.9	11.63	14.53	16.95	19.42	22.22	24.42	25.53	26.28	27.20	28.05	29.25	30.53		
Promena mase uzorka (vrstog ostatka)	g	10.0	10.0	9.8	9.2	8.3	6.6	4.3	3.3	3.0	2.9	2.9	2.7	2.2	2.0		
Prinos piroliti kog gasa*	g	0	0	0.2	0.8	1.7	3.4	5.7	6.7	7.0	7.1	7.1	7.3	7.8	8.0		
Zapreminski udio pirolitičkih gasova u reaktoru	CO	%	0	0.0262	0.0475	0.05	0.05	0.05	0.05	0.05	0.05	0.05	0.05	0.05	0.05	0.05	
	H <sub>2</sub>	%	0	0.19	0.23	0.34	1.75	2.21	2.40	2.57	2.89	3.19	3.89	>4.00	>4.00	>4.00	
	CO <sub>2</sub>	%	0	0.07	0.25	0.68	5.90	27.90	43.50	41.50	37.80	35.20	30.80	28.90	26.80	24.20	
	O <sub>2</sub>	%	21.0	21.0	20.5	19.7	9.1	1.6	1.0	0.8	0.6	0.5	0.4	0.2	0.2	0.2	
	CH <sub>4</sub>	%	0	0	0	0	0	5.0	9.5	11.0	13.5	17.0	20.5	21.5	26.5	28.5	
Masa vrstog ostatka na kraju procesa pirolize	g															2.0	
Masa tečne faze na kraju procesa pirolize	g															2.6	
Masa suvog piroliti kog gasa na kraju procesa pirolize	g															5.4	
Prosečna brzina zagrevanja u reaktoru	°C/min															20	

\* Vrednosti određene iz izraza  $m_{\text{gasa}} = m_0 - m$

## MERENJE BR. 4 - nastavak

\* Vrednosti određene iz izraza  $m_{\text{gasa}} = m_0 - m$

## PRILOG 6. ISPITIVANJE 2 - nastavak

MERENJE BR: 5											DATUM MERENJA: 14.09.2012.						
UZORAK: STRUGOTINA BUKVE											VREME MERENJA: 10:37 – 11:17						
MASA PRAZNOG SUDA (g): 638						MASA PUNOG SUDA (g): 648						MASA SUDA SA KOKSOM (g): 640					
Naziv veličine	Jedinica																
Masa uzorka	g																10
Temperatura u reaktoru	°C	25	50	100	150	200	250	300	350	400	450	500	550	600	650		
Vreme odvijanja procesa pirolize	min	0	8.05	11.5	14.48	16.92	19.43	22.25	24.50	25.48	26.33	27.17	28.08	29.28	30.62		
Promena mase uzorka (vrstog ostatka)	g	10.0	10.0	9.7	8.9	8.4	6.5	4.9	4.0	3.5	3.2	2.8	2.6	2.1	2.0		
Prinos piroliti kog gasa*	g	0	0	0.3	1.1	1.6	3.5	5.1	6.0	6.5	6.8	7.2	7.4	7.9	8.0		
Zapreminski udio pirolitičkih gasova u reaktoru																	
CO	%	0	0.0464	0.05	0.05	0.05	0.05	0.05	0.05	0.05	0.05	0.05	0.05	0.05	0.05	0.05	
H <sub>2</sub>	%	0	0.22	0.42	0.58	0.74	0.92	1.07	1.52	2.16	3.16	3.92	>4.00	>4.00	>4.00	>4.00	
CO <sub>2</sub>	%	0	0.17	0.54	1.58	14.80	28.20	44.00	41.50	40.80	36.80	32.20	31.60	29.80	28.60		
O <sub>2</sub>	%	21.0	20.6	19.8	14.6	4.5	1.8	1.0	0.8	0.6	0.5	0.4	0.2	0.2	0.1		
CH <sub>4</sub>	%	0	0	0	0	0	8.5	9.5	11.0	14.0	17.0	20.5	22.0	23.5	25.5		
Masa vrstog ostatka na kraju procesa pirolize	g															2.0	
Masa tečne faze na kraju procesa pirolize	g															2.6	
Masa suvog piroliti kog gasa na kraju procesa pirolize	g															5.4	
Prose na brzinu zagrevanja u reaktoru	°C/min															20	

\* Vrednosti određene iz izraza  $m_{\text{gasa}} = m_0 - m$

## MERENJE BR. 5 - nastavak

\* Vrednosti određene iz izraza  $m_{\text{gasa}} = m_0 \cdot m$

## PRILOG 7. PIROLIZA STRUGOTINE TREŠNJE (ISPITIVANJE 3)

MERENJE BR: 1												DATUM MERENJA: 27.09.2012.					
UZORAK: STRUGOTINA TREŠNJE												VREME MERENJA: 10:03 – 10:43					
MASA PRAZNOG SUDA (g): 638						MASA PUNOG SUDA (g): 648						MASA SUDA SA KOKSOM (g): 639.8					
Naziv veličine	Jedinica																
Masa uzorka	g															10	
Temperatura u reaktoru	°C	24	50	100	150	200	250	300	350	400	450	500	550	600	650		
Vreme odvijanja procesa pirolize	min	0	6.57	9.43	11.87	14.32	17.15	20.77	23.03	23.88	24.60	25.32	26.13	27.25	28.78		
Promena mase uzorka (vrstog ostatka)	g	10.0	10	9.9	9.0	7.0	4.4	3.0	2.3	2.3	2.2	2.0	2.0	1.9	1.8		
Prinos piroliti kog gasa*	g	0	0	0.1	1.0	3.0	5.6	6.0	6.7	7.7	7.8	8.0	8.0	8.1	8.2		
Zapreminski udio piroliti kih gasova u reaktoru																	
CO	%	0	0.0278	0.05	0.05	0.05	0.05	0.05	0.05	0.05	0.05	0.05	0.05	0.05	0.05		
H <sub>2</sub>	%	0	0.20	1.11	1.48	1.54	1.63	1.82	1.98	2.20	3.21	>4.00	>4.00	>4.00	>4.00		
CO <sub>2</sub>	%	0	0.20	2.28	4.50	21.40	28.80	41.60	39.40	38.80	34.60	31.00	29.40	28.20	26.20		
O <sub>2</sub>	%	21.0	20.6	17.5	13.2	1.5	1.0	0.8	0.7	0.7	0.8	0.8	0.8	0.9	0.8		
CH <sub>4</sub>	%	0	0	0	0	0	6.0	12.5	13.0	14.0	16.5	20.0	22.0	24.0	25.5		
Masa vrstog ostatka na kraju procesa pirolize	g															1.8	
Masa tečne faze na kraju procesa pirolize	g															2.5	
Masa suvog piroliti kog gasa na kraju procesa pirolize	g															5.7	
Prosečna brzina zagrevanja u reaktoru	°C/min															22	

\* Vrednosti određene iz izraza  $m_{\text{gasa}} = m_0 - m$

## MERENJE BR. 1 - nastavak

\* Vrednosti određene iz izraza  $m_{\text{gasa}} = m_0 \cdot m$

## PRILOG 7. ISPITIVANJE 3 - nastavak

MERENJE BR: 2												DATUM MERENJA: 28.09.2012.					
UZORAK: STRUGOTINA TREŠNJE												VREME MERENJA: 9:53 10:33					
MASA PRAZNOG SUDA (g): 638						MASA PUNOG SUDA (g): 648						MASA SUDA SA KOKSOM (g): 640					
Naziv veličine	Jedinica																
Masa uzorka	g																10
Temperatura u reaktoru	°C	25	50	100	150	200	250	300	350	400	450	500	550	600	650		
Vreme odvijanja procesa pirolize	min	0	7.15	10.83	13.75	16.03	19.33	23.63	26.32	27.30	28.23	29.18	30.05	31.42	33.15		
Promena mase uzorka (vrstog ostatka)	g	10.0	9.9	9.7	8.9	7.0	5.0	3.9	3.4	3.3	3.1	3.0	2.8	2.3	2.1		
Prinos piroliti kog gasa*	g	0	0.1	0.3	1.1	3.0	5.0	6.1	6.6	6.7	6.9	7.0	7.2	7.7	7.9		
Zapreminski udio pirolitičkih gasova u reaktoru																	
CO	%	0	0.0310	0.05	0.05	0.05	0.05	0.05	0.05	0.05	0.05	0.05	0.05	0.05	0.05	0.05	
H <sub>2</sub>	%	0	0.20	0.84	0.95	1.12	1.24	1.65	1.97	2.22	2.80	3.90	>4.00	>4.00	>4.00	>4.00	
CO <sub>2</sub>	%	0	0.12	1.86	10.50	29.60	29.80	42.20	41.20	38.40	33.60	31.40	30.00	28.60	27.20		
O <sub>2</sub>	%	21.0	21.0	18.2	9.2	1.0	0.8	0.8	0.7	0.7	0.7	0.7	0.8	0.8	0.8		
CH <sub>4</sub>	%	0	0	0	0	2.5	8.0	9.5	10.5	16.5	18.5	20.5	24.5	25.5	26.0		
Masa vrstog ostatka na kraju procesa pirolize	g															2.0	
Masa tečnosti na kraju procesa pirolize	g															2.5	
Masa suvog piroliti kog gasa na kraju procesa pirolize	g															5.5	
Prosječna brzina zagrevanja u reaktoru	°C/min															19	

\* Vrednosti određene iz izraza  $m_{\text{gasa}} = m_0 - m$

## MERENJE BR. 2 - nastavak

<i>Naziv veličine</i>	<i>Jedinica</i>	10																																								
Masa uzorka	g	0	1	2	3	4	5	6	7	8	9	10	11	12	13	14	15	16	17	18	19	20	21	22	23	24	25	26	27	28	29	30	31	32	33	34	35	36	37	38	39	40
Vreme odvijanja procesa pirolize	min	0	10	10	10	10	10	10	9.9	9.8	9.7	9.7	9.6	9.3	9.2	8.8	8.0	7.0	6.1	5.8	5.4	4.8	4.4	4.0	4.0	3.9	3.8	3.6	3.3	3.2	3.1	2.8	2.6	2.2	2.1	2.0	2.0	2.0	2.0	2.0	2.0	
Promena mase uzorka (vrstog ostatka)	g	10	10	10	10	10	10	10	9.9	9.8	9.7	9.7	9.6	9.3	9.2	8.8	8.0	7.0	6.1	5.8	5.4	4.8	4.4	4.0	4.0	3.9	3.8	3.6	3.3	3.2	3.1	2.8	2.6	2.2	2.1	2.0	2.0	2.0	2.0	2.0		
Prinos piroliti koga gasa*	g	0	0	0	0	0	0	0	0.1	0.2	0.3	0.3	0.4	0.7	0.8	1.2	2.0	3.0	3.9	4.2	4.6	5.2	5.6	6.0	6.0	6.1	6.2	6.4	6.7	6.8	6.9	7.2	7.4	7.8	7.9	8.0	8.0	8.0	8.0	8.0		

\* Vrednosti određene iz izraza  $m_{\text{gasa}} = m_0 - m$

## PRILOG 7. ISPITIVANJE 3 - nastavak

MERENJE BR: 3												DATUM MERENJA: 1.10.2012.					
UZORAK: STRUGOTINA TREŠNJE												VREME MERENJA: 11:16 – 11:56					
MASA PRAZNOG SUDA (g): 638						MASA PUNOG SUDA (g): 648						MASA SUDA SA KOKSOM (g): 639.9					
Naziv veličine	Jedinica																
Masa uzorka	g																10
Temperatura u reaktoru	°C	24	50	100	150	200	250	300	350	400	450	500	550	600	650		
Vreme odvijanja procesa pirolize	min	0	7.22	11.05	13.12	14.53	17.13	20.25	22.57	23.52	24.20	24.97	25.82	26.90	28.33		
Promena mase uzorka (vrstog ostatka)	g	10.0	10.0	9.7	9.0	8.0	5.8	4.5	3.8	3.5	3.1	2.9	2.8	2.2	2.0		
Prinos piroliti kog gasa*	g	0	0	0.3	1.0	2.0	4.2	5.5	6.2	6.5	6.9	7.1	7.2	7.8	8.0		
Zapreminski udio pirolitičkih gasova u reaktoru																	
CO	%	0	0.0275	0.05	0.05	0.05	0.05	0.05	0.05	0.05	0.05	0.05	0.05	0.05	0.05	0.05	
H <sub>2</sub>	%	0	0.19	0.56	0.76	0.97	1.16	1.55	1.98	2.19	3.15	3.95	>4.00	>4.00	>4.00		
CO <sub>2</sub>	%	0	0.07	1.38	5.85	18.40	29.00	43.60	42.40	39.80	33.60	32.40	31.40	30.20	29.20		
O <sub>2</sub>	%	21.0	21.0	19.4	13.8	3.2	1.0	1.0	0.7	0.3	0.3	0.4	0.4	0.4	0.4		
CH <sub>4</sub>	%	0	0	0	0	0	4.5	11.0	15.5	16.5	18.5	22.5	24.0	25.0	26.0		
Masa vrstog ostatka na kraju procesa pirolize	g															1.9	
Masa tečne faze na kraju procesa pirolize	g															2.6	
Masa suvog piroliti kog gasa na kraju procesa pirolize	g															5.5	
Prose na brzinu zagrevanja u reaktoru	°C/min															22	

\* Vrednosti određene iz izraza  $m_{\text{gasa}} = m_0 - m$

### **MERENJE BR. 3 - nastavak**

\* Vrednosti određene iz izraza  $m_{\text{gasa}} = m_0$

## PRILOG 7. ISPITIVANJE 3 - nastavak

MERENJE BR: 4												DATUM MERENJA: 2.10.2012.					
UZORAK: STRUGOTINA TREŠNJE												VREME MERENJA: 8:40 9:20					
MASA PRAZNOG SUDA (g): 638						MASA PUNOG SUDA (g): 648						MASA SUDA SA KOKSOM (g): 640					
<i>Naziv veličine</i>																	
Masa uzorka	g																10
Temperatura u reaktoru	°C	25	50	100	150	200	250	300	350	400	450	500	550	600	650		
Vreme odvijanja procesa pirolize	min	0	7.15	10.88	13.03	15.05	17.58	20.63	22.90	24.03	24.90	25.80	26.83	28.05	29.67		
Promena mase uzorka (vrstog ostatka)	g	10	9.9	9.1	8.3	6.3	4.4	3.3	2.9	2.8	2.6	2.3	2.2	2.1	2.0		
Prinos piroliti kog gasa*	g	0	0.1	0.9	1.7	3.7	5.6	6.7	7.1	7.2	7.4	7.7	7.8	7.9	8.0		
CO	%	0	0.05	0.05	0.05	0.05	0.05	0.05	0.05	0.05	0.05	0.05	0.05	0.05	0.05	0.05	
Zapreminski udio piroliti kih gasova u reaktoru	H <sub>2</sub>	%	0	0.39	0.56	0.63	0.76	0.83	1.25	1.98	2.21	3.25	3.94	>4.00	>4.00	>4.00	
	CO <sub>2</sub>	%	0	0.19	1.12	3.90	13.80	26.40	42.40	40.20	38.80	34.40	33.20	32.00	30.80	28.60	
	O <sub>2</sub>	%	21.0	20.4	18.9	14.3	1.6	1.3	1.3	0.9	0.6	0.6	0.5	0.5	0.4	0.4	
	CH <sub>4</sub>	%	0	0	0	0	0	5	9	11.5	16.5	19.5	21.0	23.0	24.5	26.0	
Masa vrstog ostatka na kraju procesa pirolize	g															2.0	
Masa te ne faze na kraju procesa pirolize	g															2.4	
Masa suvog piroliti kog gasa na kraju procesa pirolize	g															5.6	
Prose na brzinu zagrevanja u reaktoru	°C/min															21	

\* Vrednosti određene iz izraza  $m_{\text{gasa}} = m_0 - m$

## MERENJE BR. 4 - nastavak

<i>Naziv veličine</i>	<i>Jedinica</i>	10																																								
Masa uzorka	g	0	1	2	3	4	5	6	7	8	9	10	11	12	13	14	15	16	17	18	19	20	21	22	23	24	25	26	27	28	29	30	31	32	33	34	35	36	37	38	39	40
Vreme odvijanja procesa pirolize	min	0	10	10	10	10	10	10	10	9.9	9.7	9.5	9.1	8.9	8.3	7.6	6.3	5.5	4.8	4.1	3.9	3.7	3.2	3.0	2.9	2.8	2.6	2.3	2.2	2.1	2.1	2.0	2.0	2.0	2.0	2.0	2.0	2.0	2.0	2.0	2.0	2.0
Promena mase uzorka ( vrstog ostatka)	g	10	10	10	10	10	10	10	10	9.9	9.7	9.5	9.1	8.9	8.3	7.6	6.3	5.5	4.8	4.1	3.9	3.7	3.2	3.0	2.9	2.8	2.6	2.3	2.2	2.1	2.1	2.0	2.0	2.0	2.0	2.0	2.0	2.0	2.0	2.0	2.0	
Prinos pirolitičkog gasa*	g	0	0	0	0	0	0	0	0	0.1	0.3	0.5	0.9	1.1	1.7	2.4	3.7	4.5	5.2	5.9	6.1	6.3	6.8	7.0	7.1	7.2	7.4	7.7	7.8	7.9	7.9	8.0	8.0	8.0	8.0	8.0	8.0	8.0	8.0	8.0	8.0	8.0

\* Vrednosti određene iz izraza  $m_{\text{gasa}} = m_0 - m$

## PRILOG 7. ISPITIVANJE 3 - nastavak

MERENJE BR: 5												DATUM MERENJA: 3.10.2012.										
UZORAK: STRUGOTINA TREŠNJE												VREME MERENJA: 8:44 9:24										
MASA PRAZNOG SUDA (g): 638						MASA PUNOG SUDA (g): 648						MASA SUDA SA KOKSOM (g): 639.8										
<i>Naziv veličine</i>																						
Masa uzorka	g															10						
Temperatura u reaktoru	°C	21	50	100	150	200	250	300	350	400	450	500	550	600	650							
Vreme odvijanja procesa pirolize	min	0	7.35	10.90	13.82	16.45	19.88	24.47	26.12	27.18	28.33	29.45	30.43	31.88	34.75							
Promena mase uzorka ( vrstog ostatka)	g	10.0	10.0	9.2	8.0	4.9	3.7	2.9	2.7	2.3	2.3	2.1	2.0	1.9	1.8							
Prinos piroliti kog gasa*	g	0	0	0.8	2.0	5.1	6.3	7.1	7.3	7.7	7.7	7.9	8.0	8.1	8.2							
Zapreminske udjeli pirolitičkih gasova u reaktoru	CO	%	0	0.05	0.05	0.05	0.05	0.05	0.05	0.05	0.05	0.05	0.05	0.05	0.05	0.05						
	H <sub>2</sub>	%	0	0.20	0.30	0.58	0.92	1.02	1.23	1.87	2.07	2.37	3.36	>4.00	>4.00	>4.00						
	CO <sub>2</sub>	%	0	0.13	0.57	9.30	18.50	29.50	41.00	39.60	38.40	34.20	33.80	32.40	31.20	29.60						
	O <sub>2</sub>	%	21.0	20.5	19.9	10.3	1.4	1.2	0.9	0.8	0.7	0.6	0.5	0.5	0.4	0.4						
	CH <sub>4</sub>	%	0	0	0	0	0	5.0	10.0	15.5	20.5	22.0	23.0	24.5	25.5	27.0						
Masa vrstog ostatka na kraju procesa pirolize	g	1.8																				
Masa tečnosti na kraju procesa pirolize	g	2.4																				
Masa suvog piroliti kog gasa na kraju procesa pirolize	g	5.8																				
Prosečna brzina zagrevanja u reaktoru	°C/min	18																				

\* Vrednosti određene iz izraza  $m_{\text{gasa}} = m_0 - m$

## MERENJE BR. 5 - nastavak

<i>Naziv veličine</i>	<i>Jedinica</i>	10																																									
Masa uzorka	g	0	1	2	3	4	5	6	7	8	9	10	11	12	13	14	15	16	17	18	19	20	21	22	23	24	25	26	27	28	29	30	31	32	33	34	35	36	37	38	39	40	
Vreme odvijanja procesa pirolize	min	0	10	10	10	10	10	10	10	10	9.8	9.6	9.2	9.0	8.4	7.9	6.1	5.1	4.6	4.0	3.9	3.7	3.1	3.0	2.9	2.9	2.8	2.7	2.3	2.3	2.2	2.0	2.0	1.9	1.8	1.8	1.8	1.8	1.8	1.8	1.8	1.8	1.8
Promena mase uzorka (vrstog ostatka)	g	10	10	10	10	10	10	10	10	10	9.8	9.6	9.2	9.0	8.4	7.9	6.1	5.1	4.6	4.0	3.9	3.7	3.1	3.0	2.9	2.9	2.8	2.7	2.3	2.3	2.2	2.0	2.0	1.9	1.8	1.8	1.8	1.8	1.8	1.8	1.8	1.8	1.8
Prinos pirolitičkog gasa*	g	0	0	0	0	0	0	0	0	0	0.2	0.4	0.8	1.0	1.6	2.1	3.9	4.9	5.4	6.0	6.1	6.3	6.9	7.0	7.1	7.1	7.2	7.3	7.7	7.7	7.8	8.0	8.0	8.1	8.2	8.2	8.2	8.2	8.2	8.2	8.2	8.2	8.2

\* Vrednosti određene iz izraza  $m_{\text{gasa}} = m_0 - m$

## PRILOG 8. PIROLIZA STRUGOTINE ORAHA (ISPITIVANJE 4)

MERENJE BR: 1												DATUM MERENJA: 21.11.2012.					
UZORAK: STRUGOTINA ORAHA												VREME MERENJA: 11:06 – 11:46					
MASA PRAZNOG SUDA (g): 638						MASA PUNOG SUDA (g): 648						MASA SUDA SA KOKSOM (g): 640.1					
Naziv veličine	Jedinica																
Masa uzorka	g																10
Temperatura u reaktoru	°C	16	50	100	150	200	250	300	350	400	450	500	550	600	650		
Vreme odvijanja procesa pirolize	min	0	8.78	12.73	14.92	17.37	20.87	24.22	26.87	28.13	28.15	30.02	31.52	32.88	35.23		
Promena mase uzorka (vrstog ostatka)	g	10	9.9	8.9	6.8	4.3	3.2	2.9	2.8	2.8	2.7	2.5	2.4	2.2	2.1		
Prinos piroliti kog gasa*	g	0	0.1	1.1	3.2	5.7	6.8	7.1	7.2	7.2	7.3	7.5	7.6	7.8	7.9		
Zapreminski udio pirolitičkih gasova u reaktoru																	
CO	%	0	0.0276	0.05	0.05	0.05	0.05	0.05	0.05	0.05	0.05	0.05	0.05	0.05	0.05	0.05	
H <sub>2</sub>	%	0	0.27	1.08	1.19	1.33	1.42	1.67	1.85	2.02	2.95	3.84	>4.00	>4.00	>4.00	>4.00	
CO <sub>2</sub>	%	0	0.96	6.70	28.50	35.50	40.50	39.00	38.50	33.50	32.00	29.50	28.50	27.80	27.60		
O <sub>2</sub>	%	21.0	20.6	17.6	2.4	1.4	1.0	1.0	0.9	0.8	0.7	0.7	0.7	0.7	0.7		
CH <sub>4</sub>	%	0	0	0	2.5	10.5	12.5	13.5	15.0	16.5	19.5	22.5	25.5	27.0	28.5		
Masa vrstog ostatka na kraju procesa pirolize	g															2.1	
Masa tečne faze na kraju procesa pirolize	g															1.9	
Masa suvog piroliti kog gasa na kraju procesa pirolize	g															6.0	
Prose na brzinu zagrevanja u reaktoru	°C/min															18	

\* Vrednosti određene iz izraza  $m_{\text{gasa}} = m_0 - m$

## MERENJE BR. 1 - nastavak

<i>Naziv veličine</i>	<i>Jedinica</i>	10																																												
Masa uzorka	g	0	1	2	3	4	5	6	7	8	9	10	11	12	13	14	15	16	17	18	19	20	21	22	23	24	25	26	27	28	29	30	31	32	33	34	35	36	37	38	39	40				
Vreme odvijanja procesa pirolize	min	0	10	10	10	10	10	10	10	10	9.9	9.7	9.5	9.1	8.8	7.6	6.7	5.3	4.8	4.0	3.8	3.5	3.1	3.0	3.0	2.9	2.9	2.8	2.8	2.7	2.5	2.4	2.3	2.2	2.1	2.1	2.1	2.1	2.1	2.1	2.1	2.1	2.1			
Promena mase uzorka (vrstog ostatka)	g	10	10	10	10	10	10	10	10	10	9.9	9.7	9.5	9.1	8.8	7.6	6.7	5.3	4.8	4.0	3.8	3.5	3.1	3.0	3.0	2.9	2.9	2.8	2.8	2.7	2.5	2.4	2.3	2.2	2.1	2.1	2.1	2.1	2.1	2.1	2.1	2.1	2.1			
Prinos pirolitičkog gasa*	g	0	0	0	0	0	0	0	0	0	0.1	0.3	0.5	0.9	1.2	2.4	3.3	4.7	5.2	6.0	6.2	6.5	6.9	6.9	7.0	7.0	7.1	7.1	7.2	7.2	7.3	7.5	7.6	7.7	7.8	7.9	7.9	7.9	7.9	7.9	7.9	7.9	7.9	7.9	7.9	7.9

\* Vrednosti određene iz izraza  $m_{\text{gasa}} = m_0 - m$

## PRILOG 8. ISPITIVANJE 4 - nastavak

MERENJE BR: 2												DATUM MERENJA: 22.11.2012.					
UZORAK: STRUGOTINA ORAHA												VREME MERENJA: 9:19 – 9:59					
MASA PRAZNOG SUDA (g): 638						MASA PUNOG SUDA (g): 648						MASA SUDA SA KOKSOM (g): 640.1					
Naziv veličine	Jedinica																
Masa uzorka	g																10
Temperatura u reaktoru	°C	17	50	100	150	200	250	300	350	400	450	500	550	600	650		
Vreme odvijanja procesa pirolize	min	0	8.70	12.05	14.08	16.52	19.83	22.20	24.48	25.13	26.12	27.08	30.48	31.45	32.68		
Promena mase uzorka (vrstog ostatka)	g	10	10	9.4	8.7	6.3	3.8	3.0	2.5	2.4	2.3	2.2	2.1	2.1	2.1		
Prinos piroliti kog gasa*	g	0	0	0.6	1.3	3.7	6.2	7.0	7.5	7.6	7.7	7.8	7.9	7.9	7.9		
Zapreminski udio piroliti kih gasova u reaktoru																	
CO	%	0	0.0159	0.05	0.05	0.05	0.05	0.05	0.05	0.05	0.05	0.05	0.05	0.05	0.05	0.05	
H <sub>2</sub>	%	0	0.31	0.76	1.06	>2.46	1.45	2.04	2.25	2.45	3.14	3.98	>4.00	>4.00	>4.00	>4.00	
CO <sub>2</sub>	%	0	1.96	7.20	26.50	37.50	39.50	40.50	38.00	36.50	34.00	31.50	29.50	28.60	28.20		
O <sub>2</sub>	%	21.0	20.4	18.2	3.4	1.6	1.2	0.9	0.8	0.8	0.8	0.7	0.7	0.7	0.7		
CH <sub>4</sub>	%	0	0	0	0	9.5	11.5	13.0	14.5	16.5	20.0	22.5	24.0	25.5	27.0		
Masa vrstog ostatka na kraju procesa pirolize	g															2.1	
Masa tečne faze na kraju procesa pirolize	g															2.5	
Masa suvog piroliti kog gasa na kraju procesa pirolize	g															5.4	
Prose na brzinu zagrevanja u reaktoru	°C/min															19	

\* Vrednosti određene iz izraza  $m_{\text{gasa}} = m_0 - m$

## MERENJE BR. 2 - nastavak

\* Vrednosti određene iz izraza  $m_{\text{gasa}} = m_0 \cdot m$

## PRILOG 8. ISPITIVANJE 4 - nastavak

MERENJE BR: 3											DATUM MERENJA: 24.11.2012.						
UZORAK: STRUGOTINA ORAHA											VREME MERENJA: 15:23 – 16:03						
MASA PRAZNOG SUDA (g): 638						MASA PUNOG SUDA (g): 648						MASA SUDA SA KOKSOM (g): 640.1					
Naziv veličine	Jedinica																
Masa uzorka	g																10
Temperatura u reaktoru	°C	17	50	100	150	200	250	300	350	400	450	500	550	600	650		
Vreme odvijanja procesa pirolize	min	0	8.75	12.25	13.97	16.47	19.78	22.15	24.42	25.07	26.05	27.02	30.42	31.37	32.53		
Promena mase uzorka ( vrstog ostatka)	g	10	10	9.4	8.6	5.6	3.7	3.2	2.8	2.8	2.7	2.5	2.2	2.2	2.1		
Prinos piroliti kog gasa*	g	0	0	0.6	1.4	4.4	6.3	6.8	7.2	7.2	7.3	7.5	7.8	7.8	7.9		
Zapreminske sastojke pirolitičkih gasova u reaktoru																	
CO	%	0	0.0364	0.05	0.05	0.05	0.05	0.05	0.05	0.05	0.05	0.05	0.05	0.05	0.05	0.05	
H <sub>2</sub>	%	0	0.02	0.06	0.11	0.22	0.36	0.51	0.66	2.05	3.65	>4.00	>4.00	>4.00	>4.00	>4.00	
CO <sub>2</sub>	%	0	1.96	7.20	25.50	30.50	34.50	40.50	39.50	35.50	29.50	28.00	27.40	26.80	26.20		
O <sub>2</sub>	%	21.0	20.4	18.4	3.2	1.6	1.2	1.1	0.8	0.7	0.7	0.6	0.6	0.6	0.6	0.6	
CH <sub>4</sub>	%	0	0	0	1.5	9.5	13.0	14.5	15.5	17.5	20.5	23.5	26.0	27.5	28.5		
Masa vrstog ostatka na kraju procesa pirolize	g															2.1	
Masa tečne faze na kraju procesa pirolize	g															2.5	
Masa suvog piroliti kog gasa na kraju procesa pirolize	g															5.4	
Prosječna brzina zagrevanja u reaktoru	°C/min															19	

\* Vrednosti određene iz izraza  $m_{\text{gasa}} = m_0 - m$

## MERENJE BR. 3 - nastavak

<i>Naziv veličine</i>	<i>Jedinica</i>	10																																								
Masa uzorka	g	0	1	2	3	4	5	6	7	8	9	10	11	12	13	14	15	16	17	18	19	20	21	22	23	24	25	26	27	28	29	30	31	32	33	34	35	36	37	38	39	40
Vreme odvijanja procesa pirolize	min	0	10	10	10	10	10	10	10	10	9.8	9.6	9.4	9.1	8.6	7.5	6.4	4.8	4.0	3.8	3.6	3.4	3.2	3.0	2.9	2.8	2.7	2.5	2.4	2.3	2.2	2.2	2.1	2.1	2.1	2.1	2.1	2.1	2.1	2.1	2.1	2.1
Promena mase uzorka ( vrstog ostatka)	g	10	10	10	10	10	10	10	10	10	9.8	9.6	9.4	9.1	8.6	7.5	6.4	4.8	4.0	3.8	3.6	3.4	3.2	3.0	2.9	2.8	2.7	2.5	2.4	2.3	2.2	2.2	2.1	2.1	2.1	2.1	2.1	2.1	2.1	2.1	2.1	2.1
Prinos pirolitičkog gasa*	g	0	0	0	0	0	0	0	0	0	0.2	0.4	0.6	0.9	1.4	2.5	3.6	5.2	6.0	6.2	6.4	6.6	6.8	7.0	7.1	7.2	7.3	7.5	7.6	7.7	7.8	7.8	7.9	7.9	7.9	7.9	7.9	7.9	7.9	7.9	7.9	7.9

\* Vrednosti određene iz izraza  $m_{\text{gasa}} = m_0 - m$

## PRILOG 8. ISPITIVANJE 4 - nastavak

MERENJE BR: 4												DATUM MERENJA: 26.11.2012.																	
UZORAK: STRUGOTINA ORAHA												VREME MERENJA: 9:53 – 10:33																	
MASA PRAZNOG SUDA (g): 638						MASA PUNOG SUDA (g): 648						MASA SUDA SA KOKSOM (g): 639.9																	
Naziv veličine	Jedinica																												
Masa uzorka	g																												
Temperatura u reaktoru	°C	15	50	100	150	200	250	300	350	400	450	500	550	600	650														
Vreme odvijanja procesa pirolize	min	0	7.75	11.05	13.88	15.58	18.62	21.73	24.28	25.18	25.92	26.73	27.72	28.73	30.28														
Promena mase uzorka ( vrstog ostatka)	g	10	10	9.6	8.7	6.9	4.1	3.0	2.8	2.6	2.3	2.1	2.1	2.0	1.9														
Prinos piroliti kog gasa*	g	0	0	0.4	1.3	3.1	5.9	7.0	7.2	7.4	7.7	7.9	7.9	8.0	8.1														
Zapreminske udjeli pirolitičkih gasova u reaktoru																													
CO	%	0	0.0388	0.05	0.05	0.05	0.05	0.05	0.05	0.05	0.05	0.05	0.05	0.05	0.05	0.05	0.05												
H <sub>2</sub>	%	0	0.33	0.54	0.62	0.92	1.10	1.39	1.58	2.03	2.98	3.87	>4.00	>4.00	>4.00														
CO <sub>2</sub>	%	0	3.0	3.65	10.20	27.50	33.50	43.50	42.50	39.50	35.50	32.00	31.60	30.20	29.80														
O <sub>2</sub>	%	21.0	20.3	18.9	14.4	2.14	0.8	0.9	0.7	0.8	0.6	0.7	0.7	0.7	0.7														
CH <sub>4</sub>	%	0	0	0	0.5	2.5	8.0	9.5	11.0	13.5	16.5	18.0	19.5	22.5	23.5														
Masa vrstog ostatka na kraju procesa pirolize	g																												
Masa tečne faze na kraju procesa pirolize	g																												
Masa suvog piroliti kog gasa na kraju procesa pirolize	g																												
Prosečna brzina zagrevanja u reaktoru	°C/min																												

\* Vrednosti određene iz izraza  $m_{\text{gas}} = m_0 - m$ 

21

MERENJE BR. 4 - nastavak

\* Vrednosti određene iz izraza  $m_{\text{gasa}} = m_0$

## PRILOG 8. ISPITIVANJE 4 - nastavak

MERENJE BR: 5											DATUM MERENJA: 28.11.2012.						
UZORAK: STRUGOTINA ORAHA											VREME MERENJA: 10:11 – 10:51						
MASA PRAZNOG SUDA (g): 638						MASA PUNOG SUDA (g): 648						MASA SUDA SA KOKSOM (g): 640					
Naziv veličine	Jedinica																
Masa uzorka	g																10
Temperatura u reaktoru	°C	17	50	100	150	200	250	300	350	400	450	500	550	600	650		
Vreme odvijanja procesa pirolize	min	0	7.18	10.5	12.9	14.73	16.9	19.83	22.15	23.08	24.0	24.9	25.82	27.07	28.73		
Promena mase uzorka ( vrstog ostatka)	g	10	10	9.6	9.3	7.3	5.2	2.9	2.7	2.6	2.4	2.3	2.3	2.2	2.1		
Prinos piroliti kog gasa*	g	0	0	0.4	0.7	2.7	4.8	7.1	7.3	7.4	7.6	7.7	7.7	7.8	7.9		
Zapreminske udjeli pirolitih gasova u reaktoru																	
CO	%	0	0.0315	0.05	0.05	0.05	0.05	0.05	0.05	0.05	0.05	0.05	0.05	0.05	0.05	0.05	
H <sub>2</sub>	%	0	0	0.22	0.30	0.68	0.86	1.85	2.44	2.87	3.03	3.83	>4.00	>4.00	>4.00	>4.00	
CO <sub>2</sub>	%	0	1.96	4.45	8.40	28.00	35.50	39.50	41.50	40.50	34.50	29.50	28.00	27.50	27.00		
O <sub>2</sub>	%	21.0	20.5	19.2	16.2	2.2	1.0	0.8	0.7	0.7	0.7	0.7	0.7	0.7	0.7	0.7	
CH <sub>4</sub>	%	0	0	0	1.0	3.5	9.5	10.5	11.5	14.5	18.5	19.5	21.0	22.0	24.5		
Masa vrstog ostatka na kraju procesa pirolize	g															2.0	
Masa tečne faze na kraju procesa pirolize	g															2.6	
Masa suvog piroliti kog gasa na kraju procesa pirolize	g															5.4	
Prosečna brzina zagrevanja u reaktoru	°C/min															22	

\* Vrednosti određene iz izraza  $m_{\text{gasa}} = m_0 - m$

## MERENJE BR. 5 - nastavak

<i>Naziv veličine</i>	<i>Jedinica</i>	10																																								
Masa uzorka	g	0	1	2	3	4	5	6	7	8	9	10	11	12	13	14	15	16	17	18	19	20	21	22	23	24	25	26	27	28	29	30	31	32	33	34	35	36	37	38	39	40
Vreme odvijanja procesa pirolize	min	0	10	10	10	10	10	10	10	10	9.8	9.7	9.5	9.4	9.2	8.0	7.0	6.1	5.1	4.1	3.0	2.9	2.8	2.7	2.6	2.4	2.3	2.3	2.2	2.1	2.1	2.0	2.0	2.0	2.0	2.0	2.0	2.0	2.0	2.0	2.0	2.0
Promena mase uzorka (vrstog ostatka)	g	10	10	10	10	10	10	10	10	10	9.8	9.7	9.5	9.4	9.2	8.0	7.0	6.1	5.1	4.1	3.0	2.9	2.8	2.7	2.6	2.4	2.3	2.3	2.2	2.1	2.1	2.0	2.0	2.0	2.0	2.0	2.0	2.0	2.0	2.0	2.0	
Prinos pirolitičkog gasa*	g	0	0	0	0	0	0	0	0	0	0.2	0.3	0.5	0.6	0.8	2.0	3.0	3.9	4.9	5.9	7.0	7.1	7.2	7.3	7.4	7.6	7.7	7.7	7.8	7.9	7.9	8.0	8.0	8.0	8.0	8.0	8.0	8.0	8.0	8.0	8.0	8.0

\* Vrednosti određene iz izraza  $m_{\text{gasa}} = m_0 - m$

## PRILOG 9. PIROLIZA STRUGOTINE JELE (ISPITIVANJE 5)

MERENJE BR: 1											DATUM MERENJA: 12.10.2012.						
UZORAK: STRUGOTINA JELE											VREME MERENJA: 9:41 10:21						
MASA PRAZNOG SUDA (g): 638						MASA PUNOG SUDA (g): 648						MASA SUDA SA KOKSOM (g): 640					
Naziv veličine	Jedinica																
Masa uzorka	g																10
Temperatura u reaktoru	°C	15	50	100	150	200	250	300	350	400	450	500	550	600	650		
Vreme odvijanja procesa pirolize	min	0	7.67	10.78	13.15	15.33	17.58	20.87	23.50	24.15	24.98	26.03	27.97	28.50	29.92		
Promena mase uzorka (vrstog ostatka)	g	10.0	10.0	9.5	9.0	7.3	5.3	3.8	3.0	2.9	2.7	2.5	2.1	2.1	2.0		
Prinos piroliti kog gasa*	g	0	0	0.5	1.0	2.7	4.7	6.2	7.0	7.1	7.3	7.5	7.9	7.9	8.0		
Zapreminski udio pirolitičkih gasova u reaktoru																	
CO	%	0	0.0450	0.05	0.05	0.05	0.05	0.05	0.05	0.05	0.05	0.05	0.05	0.05	0.05	0.05	
H <sub>2</sub>	%	0	0	0.09	0.29	0.65	0.81	1.08	1.27	2.02	3.27	>4.00	>4.00	>4.00	>4.00	>4.00	
CO <sub>2</sub>	%	0	0.18	0.84	8.50	26.50	30.50	40.50	39.00	37.50	34.50	32.80	30.00	29.60	28.20		
O <sub>2</sub>	%	21.0	20.6	19.8	12.5	1.6	0.9	0.8	0.7	0.6	0.6	0.5	0.5	0.5	0.5	0.5	
CH <sub>4</sub>	%	0	0	0	0	4.5	9.0	11.5	15.0	18.5	21.0	22.5	24.0	25.5	27.0		
Masa vrstog ostatka na kraju procesa pirolize	g															2.0	
Masa tečne faze na kraju procesa pirolize	g															2.4	
Masa suvog piroliti kog gasa na kraju procesa pirolize	g															5.6	
Prose na brzinu zagrevanja u reaktoru	°C/min															21	

\* Vrednosti određene iz izraza  $m_{\text{gasa}} = m_0 - m$

## MERENJE BR. 1 - nastavak

<i>Naziv veličine</i>	<i>Jedinica</i>	10																																								
Masa uzorka	g	0	1	2	3	4	5	6	7	8	9	10	11	12	13	14	15	16	17	18	19	20	21	22	23	24	25	26	27	28	29	30	31	32	33	34	35	36	37	38	39	40
Vreme odvijanja procesa pirolize	min	0	10	10	10	10	10	10	10	10	9.8	9.5	9.3	9.0	8.5	7.6	6.5	5.5	5.1	4.6	4.2	3.8	3.4	3.1	2.9	2.7	2.5	2.3	2.1	2.1	2.0	2.0	2.0	2.0	2.0	2.0	2.0	2.0	2.0	2.0	2.0	
Promena mase uzorka (vrstog ostatka)	g	10	10	10	10	10	10	10	10	10	9.8	9.5	9.3	9.0	8.5	7.6	6.5	5.5	5.1	4.6	4.2	3.8	3.4	3.1	2.9	2.7	2.5	2.3	2.1	2.1	2.0	2.0	2.0	2.0	2.0	2.0	2.0	2.0	2.0	2.0		
Prinos pirolitičkog gasa*	g	0	0	0	0	0	0	0	0	0	0.2	0.5	0.7	1.0	1.5	2.4	3.5	4.5	4.9	5.4	5.8	6.2	6.6	6.9	7.1	7.3	7.5	7.7	7.9	7.9	8.0	8.0	8.0	8.0	8.0	8.0	8.0	8.0	8.0	8.0	8.0	

\* Vrednosti određene iz izraza  $m_{\text{gasa}} = m_0 - m$

## PRILOG 9. ISPITIVANJE 5 - nastavak

MERENJE BR: 2												DATUM MERENJA: 15.10.2012.					
UZORAK: STRUGOTINA JELE												VREME MERENJA: 9:32 10:12					
MASA PRAZNOG SUDA (g): 638						MASA PUNOG SUDA (g): 648						MASA SUDA SA KOKSOM (g): 640.1					
Naziv veličine	Jedinica																
Masa uzorka	g																10
Temperatura u reaktoru	°C	17	50	100	150	200	250	300	350	400	450	500	550	600	650		
Vreme odvijanja procesa pirolize	min	0	7.75	10.48	12.52	14.77	17.17	19.92	22.03	22.98	23.75	24.60	25.53	26.63	28.12		
Promena mase uzorka (vrstog ostatka)	g	10.0	10.0	9.9	9.8	9.2	8.3	6.1	4.9	4.2	4.0	3.9	3.5	3.2	2.9		
Prinos piroliti kog gasa*	g	0	0	0.1	0.2	0.8	1.7	3.9	5.1	5.8	6.0	6.1	6.5	6.8	7.1		
Zapreminske udjeli pirolitih gasova u reaktoru																	
CO	%	0	0.05	0.05	0.05	0.05	0.05	0.05	0.05	0.05	0.05	0.05	0.05	0.05	0.05	0.05	
H <sub>2</sub>	%	0	0.36	0.78	1.19	1.28	1.35	1.56	1.88	2.17	3.16	3.94	>4.00	>4.00	>4.00		
CO <sub>2</sub>	%	0	0.62	1.96	9.50	28.50	31.50	40.50	39.50	37.00	35.20	33.80	32.80	31.40	30.00		
O <sub>2</sub>	%	21.0	21.0	19.6	12.0	1.8	1.0	0.9	0.7	0.7	0.7	0.7	0.6	0.6	0.6		
CH <sub>4</sub>	%	0	0	0	0	6.5	8.5	10.0	11.0	13.0	16.5	18.5	20.5	23.0	26.5		
Masa vrstog ostatka na kraju procesa pirolize	g															2.1	
Masa tečne faze na kraju procesa pirolize	g															2.5	
Masa suvog piroliti kog gasa na kraju procesa pirolize	g															5.4	
Prosječna brzina zagrevanja u reaktoru	°C/min															23	

\* Vrednosti određene iz izraza  $m_{\text{gas}} = m_0 - m$

## MERENJE BR. 2 - nastavak

<i>Naziv veličine</i>	<i>Jedinica</i>	10																																									
Masa uzorka	g	0	1	2	3	4	5	6	7	8	9	10	11	12	13	14	15	16	17	18	19	20	21	22	23	24	25	26	27	28	29	30	31	32	33	34	35	36	37	38	39	40	
Vreme odvijanja procesa pirolize	min	0	10	10	10	10	10	10	10	10	10	10	10	10	9.9	9.8	9.7	9.3	9.2	8.9	8.5	7.9	6.9	6.1	5.5	4.9	4.2	4.0	3.7	3.3	3.1	3.0	2.8	2.6	2.4	2.2	2.1	2.1	2.1	2.1	2.1	2.1	2.1
Promena mase uzorka (vrstog ostatka)	g	10	10	10	10	10	10	10	10	10	10	10	10	10	9.9	9.8	9.7	9.3	9.2	8.9	8.5	7.9	6.9	6.1	5.5	4.9	4.2	4.0	3.7	3.3	3.1	3.0	2.8	2.6	2.4	2.2	2.1	2.1	2.1	2.1	2.1	2.1	
Prinos pirolitičkog gasa*	g	0	0	0	0	0	0	0	0	0	0	0	0.1	0.2	0.3	0.7	0.8	1.1	1.5	2.1	3.1	3.9	4.5	5.1	5.8	6.0	6.3	6.7	6.9	7.0	7.2	7.4	7.6	7.8	7.9	7.9	7.9	7.9	7.9	7.9	7.9		

\* Vrednosti određene iz izraza  $m_{\text{gasa}} = m_0 - m$

## PRILOG 9. ISPITIVANJE 5 - nastavak

MERENJE BR: 3											DATUM MERENJA: 16.10.2012.						
UZORAK: STRUGOTINA JELE											VREME MERENJA: 9:55 10:35						
MASA PRAZNOG SUDA (g): 638						MASA PUNOG SUDA (g): 648						MASA SUDA SA KOKSOM (g): 640.1					
Naziv veličine	Jedinica																
Masa uzorka	g																10
Temperatura u reaktoru	°C	17	50	100	150	200	250	300	350	400	450	500	550	600	650		
Vreme odvijanja procesa pirolize	min	0	7.92	10.93	13.48	15.68	18.02	20.97	23.53	24.43	25.48	26.42	27.52	28.53	30.15		
Promena mase uzorka ( vrstog ostatka)	g	10.0	10.0	9.8	9.2	8.9	7.9	5.9	4.4	3.9	3.7	3.4	3.1	2.7	2.2		
Prinos piroliti kog gasa*	g	0	0	0.2	0.8	1.1	2.1	4.1	5.6	6.1	6.3	6.6	6.9	7.3	7.8		
Zapreminske udjeli pirolitih gasova u reaktoru																	
CO	%	0	0.05	0.05	0.05	0.05	0.05	0.05	0.05	0.05	0.05	0.05	0.05	0.05	0.05	0.05	
H <sub>2</sub>	%	0	0.25	0.42	0.88	0.93	1.02	1.37	1.57	2.37	3.04	3.97	>4.00	>4.00	>4.00	>4.00	
CO <sub>2</sub>	%	0	0.22	3.60	9.50	28.00	31.00	39.00	38.00	36.50	35.80	33.20	32.20	31.40	30.40		
O <sub>2</sub>	%	21.0	21.0	18.4	10.4	1.2	1.1	0.7	0.7	0.5	0.5	0.5	0.4	0.4	0.4		
CH <sub>4</sub>	%	0	0	0	0	4.5	5.5	12.0	14.5	15.5	17.0	18.0	20.0	21.0	22.5		
Masa vrstog ostatka na kraju procesa pirolize	g															2.1	
Masa tečne faze na kraju procesa pirolize	g															2.5	
Masa suvog piroliti kog gasa na kraju procesa pirolize	g															5.4	
Prosječna brzina zagrevanja u reaktoru	°C/min															21	

\* Vrednosti određene iz izraza  $m_{\text{gasa}} = m_0 - m$

## MERENJE BR. 3 - nastavak

<i>Naziv veli ina</i>	<i>Jedinica</i>	10																																								
Masa uzorka	g																																									
Vreme odvijanja procesa pirolize	min	0	1	2	3	4	5	6	7	8	9	10	11	12	13	14	15	16	17	18	19	20	21	22	23	24	25	26	27	28	29	30	31	32	33	34	35	36	37	38	39	40
Promena mase uzorka ( vrstog ostatka)	g	10	10	10	10	10	10	10	10	10	9.9	9.8	9.7	9.2	9.1	9.0	8.8	8.7	7.9	7.3	6.7	5.9	5.1	4.7	4.0	3.8	3.6	3.1	2.9	2.5	2.2	2.2	2.1	2.1	2.1	2.1	2.1	2.1	2.1			
Prinos piroliti kog gasa*	g	0	0	0	0	0	0	0	0	0	0.1	0.2	0.3	0.8	0.9	1.0	1.2	1.3	2.1	2.7	3.3	4.1	4.9	5.3	6.0	6.2	6.4	6.9	7.1	7.5	7.8	7.8	7.9	7.9	7.9	7.9	7.9	7.9	7.9			

\* Vrednosti određene iz izraza  $m_{\text{gasa}} = m_0 \cdot m$

## PRILOG 9. ISPITIVANJE 5 - nastavak

MERENJE BR: 4												DATUM MERENJA: 16.11.2012.					
UZORAK: STRUGOTINA JELE												VREME MERENJA: 13:30 – 14:10					
MASA PRAZNOG SUDA (g): 638						MASA PUNOG SUDA (g): 648						MASA SUDA SA KOKSOM (g): 640.1					
Naziv veličine	Jedinica																
Masa uzorka	g																10
Temperatura u reaktoru	°C	17	50	100	150	200	250	300	350	400	450	500	550	600	650		
Vreme odvijanja procesa pirolize	min	0	7.73	10.77	13.23	15.43	17.77	20.77	23.25	24.17	24.15	25.87	26.87	28.05	29.72		
Promena mase uzorka ( vrstog ostatka)	g	10.0	10.0	9.7	8.8	6.7	4.6	3.3	2.9	2.9	2.8	2.7	2.5	2.2	2.2		
Prinos piroliti kog gasa*	g	0	0	0.3	1.2	3.3	5.4	6.7	7.1	7.1	7.2	7.3	7.5	7.8	7.8		
Zapreminske udjeli pirolitičkih gasova u reaktoru																	
CO	%	0	0.0325	0.05	0.05	0.05	0.05	0.05	0.05	0.05	0.05	0.05	0.05	0.05	0.05	0.05	
H <sub>2</sub>	%	0	0.30	0.55	0.69	0.75	0.92	1.23	1.55	2.71	3.14	3.74	>4.00	>4.00	>4.00	>4.00	
CO <sub>2</sub>	%	0	0.81	4.30	10.60	30.50	33.50	41.50	38.50	36.50	34.00	33.60	32.80	31.20	30.00		
O <sub>2</sub>	%	21.0	20.3	19.4	11.5	1.4	0.8	0.8	0.7	0.7	0.6	0.6	0.6	0.6	0.6	0.6	
CH <sub>4</sub>	%	0	0	0	0	5.0	9.5	12.5	14.0	17.0	20.5	22.5	23.0	24.5	25.5		
Masa vrstog ostatka na kraju procesa pirolize	g															2.1	
Masa tečne faze na kraju procesa pirolize	g															2.3	
Masa suvog piroliti kog gasa na kraju procesa pirolize	g															5.6	
Prosečna brzina zagrevanja u reaktoru	°C/min															21	

\* Vrednosti određene iz izraza  $m_{\text{gas}} = m_0 - m$

## MERENJE BR. 4 - nastavak

\* Vrednosti određene iz izraza  $m_{\text{gasa}} = m_0 \cdot m$

## PRILOG 9. ISPITIVANJE 5 - nastavak

MERENJE BR: 5											DATUM MERENJA: 21.11.2012.						
UZORAK: STRUGOTINA JELE											VREME MERENJA: 11:18 – 11:58						
MASA PRAZNOG SUDA (g): 638						MASA PUNOG SUDA (g): 648						MASA SUDA SA KOKSOM (g): 640.1					
Naziv veličine	Jedinica																
Masa uzorka	g																10
Temperatura u reaktoru	°C	21	50	100	150	200	250	300	350	400	450	500	550	600	650		
Vreme odvijanja procesa pirolize	min	0	6.30	10.05	12.88	15.30	18.07	23.50	24.25	25.58	26.50	27.47	28.72	29.90	31.77		
Promena mase uzorka ( vrstog ostatka)	g	10.0	10.0	9.7	8.4	5.9	4.0	3.0	2.9	2.9	2.8	2.6	2.5	2.3	2.2		
Prinos piroliti kog gasa*	g	0	0	0.3	1.6	4.1	6.0	7.0	7.1	7.1	7.2	7.4	7.5	7.7	7.8		
CO	%	0	0.0249	0.05	0.05	0.05	0.05	0.05	0.05	0.05	0.05	0.05	0.05	0.05	0.05	0.05	
Zapreminske udjeli pirolitičkih gasova u reaktoru	H <sub>2</sub>	0	0.24	0.38	0.59	0.80	1.52	1.87	2.21	2.79	3.19	3.89	>4.00	>4.00	>4.00		
	CO <sub>2</sub>	0	0.95	3.65	12.60	28.50	34.50	41.50	40.50	38.50	37.80	35.20	33.60	31.40	29.80		
	O <sub>2</sub>	21.0	21.0	19.6	13.3	1.3	1.2	0.9	0.9	0.8	0.7	0.7	0.7	0.7	0.7		
	CH <sub>4</sub>	0	0	0	0	6.5	8.5	9.5	10.5	13.5	16.0	18.5	21.0	22.5	23.5		
Masa vrstog ostatka na kraju procesa pirolize	g															2.1	
Masa tekuće faze na kraju procesa pirolize	g															2.4	
Masa suvog piroliti kog gasa na kraju procesa pirolize	g															5.5	
Prosečna brzina zagrevanja u reaktoru	°C/min															20	

\* Vrednosti određene iz izraza  $m_{\text{gasa}} = m_0 - m$

## MERENJE BR. 5 - nastavak

<i>Naziv veličine</i>	<i>Jedinica</i>	10																																											
Masa uzorka	g	0	1	2	3	4	5	6	7	8	9	10	11	12	13	14	15	16	17	18	19	20	21	22	23	24	25	26	27	28	29	30	31	32	33	34	35	36	37	38	39	40			
Vreme odvijanja procesa pirolize	min	0	10	10	10	10	10	10	10	10	9.9	9.7	9.3	8.9	8.4	7.0	6.1	5.1	4.5	4.0	3.8	3.5	3.2	3.1	3.0	3.0	2.9	2.8	2.7	2.5	2.5	2.3	2.2	2.2	2.1	2.1	2.1	2.1	2.1	2.1	2.1	2.1	2.1	2.1	
Promena mase uzorka (vrstog ostatka)	g	10	10	10	10	10	10	10	10	10	9.9	9.7	9.3	8.9	8.4	7.0	6.1	5.1	4.5	4.0	3.8	3.5	3.2	3.1	3.0	3.0	2.9	2.8	2.7	2.5	2.5	2.3	2.2	2.2	2.1	2.1	2.1	2.1	2.1	2.1	2.1	2.1	2.1	2.1	
Prinos pirolitičkog gasa*	g	0	0	0	0	0	0	0	0	0	0.1	0.3	0.7	1.1	1.6	3.0	3.9	4.9	5.5	6.0	6.2	6.5	6.8	6.9	7.0	7.0	7.1	7.2	7.3	7.5	7.5	7.7	7.8	7.8	7.9	7.9	7.9	7.9	7.9	7.9	7.9	7.9	7.9	7.9	7.9

\* Vrednosti određene iz izraza  $m_{\text{gasa}} = m_0 - m$

## PRILOG 10. PIROLIZA STRUGOTINE LIPE (ISPITIVANJE 6)

MERENJE BR: 1												DATUM MERENJA: 29.11.2012.					
UZORAK: STRUGOTINA LIPE												VREME MERENJA: 10:00 – 10:40					
MASA PRAZNOG SUDA (g): 638						MASA PUNOG SUDA (g): 648						MASA SUDA SA KOKSOM (g): 639.9					
Naziv veličine	Jedinica																
Masa uzorka	g																10
Temperatura u reaktoru	°C	19	50	100	150	200	250	300	350	400	450	500	550	600	650		
Vreme odvijanja procesa pirolize	min	0	7.35	10.63	13.15	15.40	18.05	21.42	23.67	24.73	25.63	26.50	27.53	28.67	30.18		
Promena mase uzorka (vrstog ostatka)	g	10	10	9.8	8.9	6.8	4.6	3.1	2.8	2.6	2.4	2.3	2.1	2.0	2.0		
Prinos piroliti kog gasa*	g	0	0	0.2	1.1	3.2	5.4	6.9	7.2	7.4	7.6	7.7	7.9	8.0	8.0		
Zapreminske udjeli pirolitičkih gasova u reaktoru																	
CO	%	0	0.0459	0.05	0.05	0.05	0.05	0.05	0.05	0.05	0.05	0.05	0.05	0.05	0.05	0.05	
H <sub>2</sub>	%	0	0.29	0.89	1.57	1.79	1.98	2.08	2.54	2.76	2.95	3.75	>4.00	>4.00	>4.00		
CO <sub>2</sub>	%	0	2.90	3.45	10.20	28.00	33.50	43.50	42.50	40.00	35.50	33.00	31.50	29.00	28.50		
O <sub>2</sub>	%	21.0	20.4	18.6	14.4	5.1	2.1	0.7	0.8	0.7	0.7	0.7	0.7	0.8	0.7		
CH <sub>4</sub>	%	0	0	0.5	0.5	3.0	7.5	9.5	11.0	13.5	16.5	18.0	19.5	23.5	25.0		
Masa vrstog ostatka na kraju procesa pirolize	g															1.9	
Masa te ne faze na kraju procesa pirolize	g															2.5	
Masa suvog piroliti kog gasa na kraju procesa pirolize	g															5.6	
Prose na brzinu zagrevanja u reaktoru	°C/min															21	

\* Vrednosti određene iz izraza  $m_{\text{gasa}} = m_0 - m$

## MERENJE BR. 1 - nastavak

<i>Naziv veličine</i>	<i>Jedinica</i>	10																																								
Masa uzorka	g	0	1	2	3	4	5	6	7	8	9	10	11	12	13	14	15	16	17	18	19	20	21	22	23	24	25	26	27	28	29	30	31	32	33	34	35	36	37	38	39	40
Vreme odvijanja procesa pirolize	min	0	10	10	10	10	10	10	10	10	9.9	9.9	9.6	9.4	8.9	8.0	7.0	6.0	5.1	4.6	4.0	3.5	3.1	3.0	2.9	2.7	2.5	2.4	2.2	2.0	2.0	2.0	1.9	1.9	1.9	1.9	1.9	1.9	1.9	1.9	1.9	1.9
Promena mase uzorka (vrstog ostatka)	g	10	10	10	10	10	10	10	10	10	9.9	9.9	9.6	9.4	8.9	8.0	7.0	6.0	5.1	4.6	4.0	3.5	3.1	3.0	2.9	2.7	2.5	2.4	2.2	2.0	2.0	2.0	1.9	1.9	1.9	1.9	1.9	1.9	1.9	1.9	1.9	1.9
Prinos pirolitičkog gasa*	g	0	0	0	0	0	0	0	0	0	0.1	0.1	0.4	0.6	1.1	2.0	3.0	4.0	4.9	5.4	6.0	6.5	6.9	7.0	7.1	7.3	7.5	7.6	7.8	8.0	8.0	8.0	8.1	8.1	8.1	8.1	8.1	8.1	8.1	8.1	8.1	8.1

\* Vrednosti određene iz izraza  $m_{\text{gasa}} = m_0 - m$

## PRILOG 10. ISPITIVANJE 6 - nastavak

MERENJE BR: 2											DATUM MERENJA: 29.11.2012.											
UZORAK: STRUGOTINA LIPE											VREME MERENJA: 19:13 – 19:53											
MASA PRAZNOG SUDA (g): 638						MASA PUNOG SUDA (g): 648						MASA SUDA SA KOKSOM (g): 640										
<i>Naziv veličine</i>																						
Masa uzorka	g	10																				
Temperatura u reaktoru	°C	15	50	100	150	200	250	300	350	400	450	500	550	600	650							
Vreme odvijanja procesa pirolize	min	0	7.52	10.58	13.02	15.33	18.08	21.45	23.70	24.75	25.50	26.53	27.57	28.75	30.52							
Promena mase uzorka (vrstog ostatka)	g	10	10	9.7	8.8	6.7	4.8	3.4	2.8	2.6	2.4	2.3	2.2	2.1	2.1							
Prinos piroliti kog gasa*	g	0	0	0.3	1.2	3.3	5.2	6.6	7.2	7.4	7.6	7.7	7.8	7.9	7.9							
CO	%	0	0.0392	0.05	0.05	0.05	0.05	0.05	0.05	0.05	0.05	0.05	0.05	0.05	0.05							
Zapreminski udio piroliti kih gasova u reaktoru	H <sub>2</sub>	0	0.33	0.88	1.03	1.24	1.44	1.85	2.11	2.72	3.01	3.92	>4.00	>4.00	>4.00							
	CO <sub>2</sub>	0	0.95	1.98	11.60	26.50	34.00	41.50	40.50	39.00	34.50	31.50	28.00	27.50	27.00							
	O <sub>2</sub>	21	20.6	18.2	12.2	4.8	1.9	0.9	0.8	0.8	0.7	0.8	0.7	0.7	0.7							
	CH <sub>4</sub>	0	0	0	0	4.5	8.0	10.0	11.5	14.0	16.5	19.5	21.0	22.5	24.5							
Masa vrstog ostatka na kraju procesa pirolize	g	2.0																				
Masa tečne faze na kraju procesa pirolize	g	2.5																				
Masa suvog piroliti kog gasa na kraju procesa pirolize	g	5.5																				
Prose na brzinu zagrevanja u reaktoru	°C/min	21																				

\* Vrednosti određene iz izraza  $m_{\text{gasa}} = m_0 - m$

## MERENJE BR. 2 - nastavak

<i>Naziv veličine</i>	<i>Jedinica</i>	10																																								
Masa uzorka	g	0	1	2	3	4	5	6	7	8	9	10	11	12	13	14	15	16	17	18	19	20	21	22	23	24	25	26	27	28	29	30	31	32	33	34	35	36	37	38	39	40
Vreme odvijanja procesa pirolize	min	0	10	10	10	10	10	10	10	10	9.9	9.8	9.6	9.3	8.8	8.0	6.9	6.1	5.2	4.8	4.4	4.0	3.6	3.2	2.9	2.7	2.5	2.4	2.2	2.2	2.1	2.1	2.0	2.0	2.0	2.0	2.0	2.0	2.0	2.0	2.0	2.0
Promena mase uzorka (vrstog ostatka)	g	10	10	10	10	10	10	10	10	10	9.9	9.8	9.6	9.3	8.8	8.0	6.9	6.1	5.2	4.8	4.4	4.0	3.6	3.2	2.9	2.7	2.5	2.4	2.2	2.2	2.1	2.1	2.0	2.0	2.0	2.0	2.0	2.0	2.0	2.0		
Prinos pirolitičkog gasa*	g	0	0	0	0	0	0	0	0	0	0.1	0.2	0.4	0.7	1.2	2.0	3.1	3.9	4.8	5.2	5.6	6.0	6.4	6.8	7.1	7.3	7.5	7.6	7.8	7.8	7.9	7.9	8.0	8.0	8.0	8.0	8.0	8.0	8.0	8.0	8.0	

\* Vrednosti određene iz izraza  $m_{\text{gasa}} = m_0 - m$

## PRILOG 10. ISPITIVANJE 6 - nastavak

MERENJE BR: 3											DATUM MERENJA: 30.11.2012.						
UZORAK: STRUGOTINA LIPE											VREME MERENJA: 10:27 – 11:07						
MASA PRAZNOG SUDA (g): 638						MASA PUNOG SUDA (g): 648						MASA SUDA SA KOKSOM (g): 640					
Naziv veličine	Jedinica																
Masa uzorka	g																10
Temperatura u reaktoru	°C	16	50	100	150	200	250	300	350	400	450	500	550	600	650		
Vreme odvijanja procesa pirolize	min	0	7.75	10.48	12.97	15.37	17.98	21.52	23.75	24.67	25.47	26.45	27.58	28.68	30.42		
Promena mase uzorka (vrstog ostatka)	g	10	10	9.7	8.6	6.5	4.6	3.3	2.9	2.7	2.5	2.4	2.3	2.1	2.1		
Prinos piroliti kog gasa*	g	0	0	0.3	1.4	3.5	5.4	6.7	7.1	7.3	7.5	7.6	7.7	7.9	7.9		
Zapreminske udjeli pirolitih gasova u reaktoru																	
CO	%	0	0.0462	0.05	0.05	0.05	0.05	0.05	0.05	0.05	0.05	0.05	0.05	0.05	0.05	0.05	
H <sub>2</sub>	%	0	0.32	0.92	1.64	1.71	1.89	1.92	2.18	2.33	2.93	3.63	>4.00	>4.00	>4.00	>4.00	
CO <sub>2</sub>	%	0	1.96	4.25	11.80	28.50	35.50	40.50	39.50	38.00	35.50	31.50	29.50	29.00	28.50		
O <sub>2</sub>	%	21	20.6	17.6	10.5	3.2	1.8	0.8	0.8	0.7	0.6	0.7	0.7	0.7	0.7	0.7	
CH <sub>4</sub>	%	0	0	0	0	4.0	8.5	11.0	12.5	14.5	17.0	18.5	21.5	24.0	26.0		
Masa vrstog ostatka na kraju procesa pirolize	g															2.0	
Masa tečne faze na kraju procesa pirolize	g															2.4	
Masa suvog piroliti kog gasa na kraju procesa pirolize	g															5.6	
Prosječna brzina zagrevanja u reaktoru	°C/min															21	

\* Vrednosti određene iz izraza  $m_{\text{gas}} = m_0 - m$

## MERENJE BR. 3 - nastavak

<i>Naziv veličine</i>	<i>Jedinica</i>	10																																									
Masa uzorka	g	0	1	2	3	4	5	6	7	8	9	10	11	12	13	14	15	16	17	18	19	20	21	22	23	24	25	26	27	28	29	30	31	32	33	34	35	36	37	38	39	40	
Vreme odvijanja procesa pirolize	min	0	10	10	10	10	10	10	10	10	9.9	9.8	9.6	9.3	8.6	7.9	7.0	6.1	5.1	4.6	4.0	3.7	3.4	3.2	3.0	2.8	2.6	2.4	2.3	2.2	2.1	2.1	2.1	2.0	2.0	2.0	2.0	2.0	2.0	2.0	2.0	2.0	2.0
Promena mase uzorka ( vrstog ostatka)	g	10	10	10	10	10	10	10	10	10	9.9	9.8	9.6	9.3	8.6	7.9	7.0	6.1	5.1	4.6	4.0	3.7	3.4	3.2	3.0	2.8	2.6	2.4	2.3	2.2	2.1	2.1	2.0	2.0	2.0	2.0	2.0	2.0	2.0	2.0	2.0	2.0	
Prinos pirolitičkog gasa*	g	0	0	0	0	0	0	0	0	0	0.1	0.2	0.4	0.7	1.4	2.1	3.0	3.9	4.9	5.4	6.0	6.3	6.6	6.8	7.0	7.2	7.4	7.6	7.7	7.8	7.9	7.9	8.0	8.0	8.0	8.0	8.0	8.0	8.0	8.0	8.0	8.0	8.0

\* Vrednosti određene iz izraza  $m_{\text{gasa}} = m_0 - m$

## PRILOG 10. ISPITIVANJE 6 - nastavak

MERENJE BR: 4												DATUM MERENJA: 30.11.2012.					
UZORAK: STRUGOTINA LIPE												VREME MERENJA: 19:18 – 19:58					
MASA PRAZNOG SUDA (g): 638						MASA PUNOG SUDA (g): 648						MASA SUDA SA KOKSOM (g): 640.1					
Naziv veličine	Jedinica																
Masa uzorka	g																10
Temperatura u reaktoru	°C	17	50	100	150	200	250	300	350	400	450	500	550	600	650		
Vreme odvijanja procesa pirolize	min	0	7.82	10.42	12.92	15.33	17.83	21.43	23.73	24.70	25.53	26.55	27.63	28.73	30.33		
Promena mase uzorka ( vrstog ostatka)	g	10	10	9.7	8.5	6.8	4.6	3.1	2.8	2.6	2.4	2.3	2.2	2.2	2.1		
Prinos piroliti kog gasa*	g	0	0	0.3	1.5	3.2	5.4	6.9	7.2	7.4	7.6	7.7	7.8	7.8	7.9		
CO	%	0	0.0465	0.05	0.05	0.05	0.05	0.05	0.05	0.05	0.05	0.05	0.05	0.05	0.05	0.05	
Zapreminski udio piroliti kih gasova u reaktoru	H <sub>2</sub>	0	0.28	0.96	1.12	1.33	1.59	1.74	2.10	2.61	3.13	3.61	>4.00	>4.00	>4.00		
	CO <sub>2</sub>	0	2.14	4.52	11.20	28.00	34.00	40.50	39.50	38.50	33.50	29.50	29.00	28.00	27.50		
	O <sub>2</sub>	21	20.6	19.2	11.5	3.8	2.2	1.0	0.9	0.6	0.7	0.7	0.7	0.7	0.7		
	CH <sub>4</sub>	0	0	0	0.5	4.5	9.0	11.5	12.5	15.0	17.5	19.0	21.5	24.5	26.5		
Masa vrstog ostatka na kraju procesa pirolize	g															2.1	
Masa tečne faze na kraju procesa pirolize	g															2.5	
Masa suvog piroliti kog gasa na kraju procesa pirolize	g															5.4	
Prosečna brzina zagrevanja u reaktoru	°C/min															21	

\* Vrednosti određene iz izraza  $m_{\text{gasa}} = m_0 - m$

## MERENJE BR. 4 - nastavak

\* Vrednosti određene iz izraza  $m_{\text{gasa}} = m_0 \cdot m$

## PRILOG 10. ISPITIVANJE 6 - nastavak

MERENJE BR: 5											DATUM MERENJA: 1.12.2012.						
UZORAK: STRUGOTINA LIPE											VREME MERENJA: 12:12 12:52						
MASA PRAZNOG SUDA (g): 638						MASA PUNOG SUDA (g): 648						MASA SUDA SA KOKSOM (g): 640					
Naziv veličine	Jedinica																
Masa uzorka	g																10
Temperatura u reaktoru	°C	15	50	100	150	200	250	300	350	400	450	500	550	600	650		
Vreme odvijanja procesa pirolize	min	0	7.87	10.40	12.90	15.37	17.92	21.50	23.77	24.75	25.52	26.58	26.72	28.67	30.25		
Promena mase uzorka ( vrstog ostatka)	g	10	10	9.8	8.6	6.2	4.6	3.3	2.9	2.8	2.6	2.4	2.3	2.2	2.1		
Prinos piroliti kog gasa*	g	0	0	0.2	1.4	3.8	5.4	6.7	7.1	7.2	7.4	7.6	7.7	7.8	7.9		
Zapreminske udjeli pirolitih gasova u reaktoru																	
CO	%	0	0.05	0.05	0.05	0.05	0.05	0.05	0.05	0.05	0.05	0.05	0.05	0.05	0.05	0.05	
H <sub>2</sub>	%	0	0.28	0.52	0.82	0.96	1.13	1.22	1.51	2.54	3.04	3.97	>4.00	>4.00	>4.00	>4.00	
CO <sub>2</sub>	%	0	1.98	4.25	11.60	28.50	34.00	42.50	41.50	40.50	35.00	30.50	29.00	28.00	27.50		
O <sub>2</sub>	%	21	20.2	17.8	12.6	4.2	2.6	1.0	0.9	0.8	0.7	0.8	0.8	0.7	0.7		
CH <sub>4</sub>	%	0	0	0	0.5	4.5	8.0	12.0	13.5	15.5	17.5	19.5	22.5	25.5	27.0		
Masa vrstog ostatka na kraju procesa pirolize	g															2.0	
Masa te ne faze na kraju procesa pirolize	g															2.6	
Masa suvog piroliti kog gasa na kraju procesa pirolize	g															5.4	
Prose na brzinu zagrevanja u reaktoru	°C/min															21	

\* Vrednosti određene iz izraza  $m_{\text{gasa}} = m_0 - m$

## MERENJE BR. 5 - nastavak

<i>Naziv veličine</i>	<i>Jedinica</i>	10																																									
Masa uzorka	g	0	1	2	3	4	5	6	7	8	9	10	11	12	13	14	15	16	17	18	19	20	21	22	23	24	25	26	27	28	29	30	31	32	33	34	35	36	37	38	39	40	
Vreme odvijanja procesa pirolize	min	0	10	10	10	10	10	10	10	10	9.8	9.7	9.4	8.6	7.5	6.6	5.9	5.3	4.6	3.9	3.6	3.4	3.2	3.0	2.9	2.7	2.5	2.3	2.2	2.2	2.1	2.1	2.0	2.0	2.0	2.0	2.0	2.0	2.0	2.0	2.0	2.0	
Promena mase uzorka (vrstog ostatka)	g	10	10	10	10	10	10	10	10	10	9.8	9.7	9.4	8.6	7.5	6.6	5.9	5.3	4.6	3.9	3.6	3.4	3.2	3.0	2.9	2.7	2.5	2.3	2.2	2.2	2.1	2.1	2.0	2.0	2.0	2.0	2.0	2.0	2.0	2.0	2.0	2.0	
Prinos pirolitičkog gasa*	g	0	0	0	0	0	0	0	0	0	0.2	0.3	0.6	1.4	2.5	3.4	4.1	4.7	5.4	6.1	6.4	6.6	6.8	7.0	7.1	7.3	7.5	7.7	7.8	7.8	7.9	7.9	8.0	8.0	8.0	8.0	8.0	8.0	8.0	8.0	8.0	8.0	8.0

\* Vrednosti određene iz izraza  $m_{\text{gasa}} = m_0 - m$

## PRILOG 11. PIROLIZA MEŠAVINE DRVNE BIOMASE (ISPITIVANJE 7)

MERENJE BR: 1													DATUM MERENJA: 4.12.2012.							
UZORAK: MEŠAVINA DRVNE BIOMASE													VREME MERENJA: 11:52 - 12:32							
MASA PRAZNOG SUDA (g): 638							MASA PUNOG SUDA (g): 648							MASA SUDA SA KOKSOM (g): 640.1						
Naziv veličine	Jedinica																			
Masa uzorka	g																	10		
Temperatura u reaktoru	°C	14	50	100	150	200	250	300	350	400	450	500	550	600	650					
Vreme odvijanja procesa pirolize	min	0	7.57	10.48	12.55	13.68	14.85	18.22	20.55	21.52	22.35	23.20	24.18	25.30	26.92					
Promena mase uzorka (vrstog ostatka)	g	10.0	10.0	9.9	9.3	8.7	7.5	4.7	3.6	3.2	3.0	2.8	2.7	2.5	2.2					
Prinos piroliti kog gasa*	g	0	0	0.1	0.7	1.3	2.5	5.3	6.4	6.8	7.0	7.2	7.3	7.5	7.8					
	CO	%	0	0.0381	0.05	0.05	0.05	0.05	0.05	0.05	0.05	0.05	0.05	0.05	0.05	0.05	0.05			
Zapreminske udjeli pirolitičkih gasova u reaktoru	H <sub>2</sub>	%	0	0.08	0.14	0.19	0.31	0.52	0.72	0.88	1.05	3.04	>4.00	>4.00	>4.00	>4.00	>4.00			
	CO <sub>2</sub>	%	0	2.00	2.25	6.80	14.60	32.50	45.50	43.00	39.00	35.00	33.50	31.50	29.50	28.50				
	O <sub>2</sub>	%	21.0	20.6	19.8	16.7	12.5	3.4	0.8	0.8	0.6	0.3	0.6	0.5	0.5	0.5				
	CH <sub>4</sub>	%	0	0	0	0	1.0	1.0	9.5	11.5	15.5	17.5	20.5	22.5	24.0	25.0				
Masa vrstog ostatka na kraju procesa pirolize	g																2.1			
Masa tečne faze na kraju procesa pirolize	g																2.3			
Masa suvog piroliti kog gasa na kraju procesa pirolize	g																5.6			
Prose na brzinu zagrevanja u reaktoru	°C/min																21			

\* Vrednosti određene iz izraza  $m_{\text{gasa}} = m_0 - m$

## MERENJE BR. 1 - nastavak

\* Vrednosti određene iz izraza  $m_{\text{gasa}} = m_0 \cdot m$

## PRILOG 11. ISPITIVANJE 7 - nastavak

MERENJE BR: 2												DATUM MERENJA: 5.12.2012.					
UZORAK: MEŠAVINA DRVNE BIOMASE												VREME MERENJA: 11:32 – 12:12					
MASA PRAZNOG SUDA (g): 638				MASA PUNOG SUDA (g): 648								MASA SUDA SA KOKSOM (g): 640.0					
Naziv veličine	Jedinica																
Masa uzorka	g												10				
Temperatura u reaktoru	°C	15	50	100	150	200	250	300	350	400	450	500	550	600	650		
Vreme odvijanja procesa pirolize	min	0	6.20	8.60	10.68	12.53	14.13	16.20	18.42	19.47	20.25	21.15	22.03	23.23	24.87		
Promena mase uzorka (vrstog ostatka)	g	10.0	10.0	9.9	9.5	9.0	8.1	6.1	4.5	3.8	3.0	2.8	2.6	2.3	2.1		
Prinos piroliti kog gasa*	g	0	0	0.1	0.5	1.0	1.9	3.9	5.5	6.2	7.0	7.2	7.4	7.7	7.9		
	CO	%	0	0.0229	0.0435	0.05	0.05	0.05	0.05	0.05	0.05	0.05	0.05	0.05	0.05	0.05	
Zapreminske udjele pirolitičkih gasova u reaktoru	H <sub>2</sub>	%	0	0.26	0.33	0.38	0.63	0.93	1.05	1.15	1.39	2.96	4.00	4.00	4.00	4.00	
	CO <sub>2</sub>	%	0	1.20	2.30	3.15	4.30	18.80	39.00	36.50	35.50	34.00	32.50	31.50	30.50	30.00	
	O <sub>2</sub>	%	21.0	21.0	20.2	18.6	16.8	7.4	0.8	0.8	0.2	0.2	0.3	0.2	0.2	0.2	
	CH <sub>4</sub>	%	0	0	0.5	0.5	0.5	1.5	4.0	11.0	14.0	17.5	20.5	21.5	23.0	24.0	
Masa vrstog ostatka na kraju procesa pirolize	g												2.0				
Masa tečne faze na kraju procesa pirolize	g												2.3				
Masa suvog piroliti kog gasa na kraju procesa pirolize	g												5.6				
Prose na brzinu zagrevanja u reaktoru	°C/min												22				

\* Vrednosti određene iz izraza  $m_{\text{gasa}} = m_0 - m$

## MERENJE BR. 2 - nastavak

<i>Naziv veličine</i>	<i>Jedinica</i>	10																																								
Masa uzorka	g	0	1	2	3	4	5	6	7	8	9	10	11	12	13	14	15	16	17	18	19	20	21	22	23	24	25	26	27	28	29	30	31	32	33	34	35	36	37	38	39	40
Vreme odvijanja procesa pirolize	min	0	10	10	10	10	10	10	10	10	9.8	9.7	9.4	9.1	8.9	8.1	7.2	6.3	5.4	4.8	4.0	3.1	2.8	2.6	2.3	2.2	2.1	2.1	2.1	2.1	2.0	2.0	2.0	2.0	2.0	2.0	2.0	2.0	2.0	2.0	2.0	
Promena mase uzorka (vrstog ostatka)	g	10	10	10	10	10	10	10	10	10	9.8	9.7	9.4	9.1	8.9	8.1	7.2	6.3	5.4	4.8	4.0	3.1	2.8	2.6	2.3	2.2	2.1	2.1	2.1	2.1	2.0	2.0	2.0	2.0	2.0	2.0	2.0	2.0	2.0	2.0		
Prinos pirolitičkog gasa*	g	0	0	0	0	0	0	0	0	0	0.2	0.3	0.6	0.9	1.1	1.9	2.8	3.7	4.6	5.2	6.0	6.9	7.2	7.4	7.7	7.8	7.9	7.9	7.9	7.9	8.0	8.0	8.0	8.0	8.0	8.0	8.0	8.0	8.0	8.0		

\* Vrednosti određene iz izraza  $m_{\text{gasa}} = m_0 - m$

## PRILOG 11. ISPITIVANJE 7 - nastavak

MERENJE BR: 3												DATUM MERENJA: 6.12.2012.									
UZORAK: MEŠAVINA DRVNE BIOMASE												VREME MERENJA: 19:13 – 19:53									
MASA PRAZNOG SUDA (g): 638						MASA PUNOG SUDA (g): 648						MASA SUDA SA KOKSOM (g): 640									
<i>Naziv veličine</i>																					
Masa uzorka		g																			
Temperatura u reaktoru	°C	14	50	100	150	200	250	300	350	400	450	500	550	600	650						
Vreme odvijanja procesa pirolize	min	0	8.05	9.83	12.33	13.83	16.05	18.13	20.37	21.45	22.43	23.28	24.30	25.33	26.65						
Promena mase uzorka ( vrstog ostatka)	g	10.0	10.0	9.8	9.2	8.5	6.7	5.1	3.3	2.9	2.8	2.7	2.6	2.4	2.3						
Prinos piroliti kog gasa*	g	0	0	0.2	0.8	1.5	3.3	4.9	6.7	7.1	7.2	7.3	7.4	7.6	7.7						
Zapreminske udjeli pirolitičkih gasova u reaktoru	CO	%	0	0.0461	0.05	0.05	0.05	0.05	0.05	0.05	0.05	0.05	0.05	0.05	0.05						
	H <sub>2</sub>	%	0	0.11	0.15	0.20	0.36	0.56	0.65	0.97	1.52	3.20	4.00	4.00	4.00						
	CO <sub>2</sub>	%	0	1.96	2.75	7.20	15.60	32.50	43.50	42.50	38.00	34.50	30.50	29.00	28.50						
	O <sub>2</sub>	%	21.0	20.3	19.2	16.6	10.5	3.2	0.8	0.6	0.4	0.4	0.4	0.4	0.4						
	CH <sub>4</sub>	%	0	0	0	0	1.5	4.5	10.5	11.5	13.5	17.0	22.5	24.0	24.5.						
Masa vrstog ostatka na kraju procesa pirolize	g	2.0																			
Masa tečne faze na kraju procesa pirolize	g	2.3																			
Masa suvog piroliti kog gasa na kraju procesa pirolize	g	5.6																			
Prose na brzinu zagrevanja u reaktoru	°C/min	23																			

\* Vrednosti određene iz izraza  $m_{\text{gas}} = m_0 - m$

## MERENJE BR. 3 - nastavak

<i>Naziv veličine</i>	<i>Jedinica</i>	10																																								
Masa uzorka	g	0	1	2	3	4	5	6	7	8	9	10	11	12	13	14	15	16	17	18	19	20	21	22	23	24	25	26	27	28	29	30	31	32	33	34	35	36	37	38	39	40
Vreme odvijanja procesa pirolize	min	0	10	10	10	10	10	10	10	10	9.8	9.6	9.3	8.9	8.4	7.5	6.7	6.0	5.1	4.1	3.4	3.0	2.9	2.7	2.6	2.5	2.3	2.3	2.2	2.1	2.0	2.0	2.0	2.0	2.0	2.0	2.0	2.0	2.0	2.0		
Promena mase uzorka (vrstog ostatka)	g	10	10	10	10	10	10	10	10	10	9.8	9.6	9.3	8.9	8.4	7.5	6.7	6.0	5.1	4.1	3.4	3.0	2.9	2.7	2.6	2.5	2.3	2.3	2.2	2.1	2.0	2.0	2.0	2.0	2.0	2.0	2.0	2.0	2.0			
Prinos pirolitičkog gasa*	g	0	0	0	0	0	0	0	0	0	0.2	0.4	0.7	1.1	1.6	2.5	3.3	4.0	4.9	5.9	6.6	7.0	7.1	7.3	7.4	7.5	7.7	7.7	7.8	7.9	8.0	8.0	8.0	8.0	8.0	8.0	8.0	8.0	8.0			

\* Vrednosti određene iz izraza  $m_{\text{gasa}} = m_0 - m$

## PRILOG 11. ISPITIVANJE 7 - nastavak

MERENJE BR: 4												DATUM MERENJA: 7.12.2012.					
UZORAK: MEŠAVINA DRVNE BIOMASE												VREME MERENJA: 9:58 –10:38					
MASA PRAZNOG SUDA (g): 638						MASA PUNOG SUDA (g): 648						MASA SUDA SA KOKSOM (g): 640					
Naziv veličine	Jedinica																
Masa uzorka	g																10
Temperatura u reaktoru	°C	14	50	100	150	200	250	300	350	400	450	500	550	600	650		
Vreme odvijanja procesa pirolize	min	0	7.98	9.87	12.08	13.63	15.80	17.88	20.12	21.20	22.18	23.03	24.05	24.55	26.35		
Promena mase uzorka ( vrstog ostatka)	g	10.0	10.0	9.7	9.3	8.4	6.5	4.7	3.5	3.1	3.0	2.8	2.6	2.5	2.2		
Prinos piroliti kog gasa*	g	0	0	0.3	0.7	1.6	3.5	5.3	6.5	6.9	7.0	7.2	7.4	7.5	7.8		
Zapreminske udjeli pirolitičkih gasova u reaktoru																	
CO	%	0	0.0466	0.05	0.05	0.05	0.05	0.05	0.05	0.05	0.05	0.05	0.05	0.05	0.05	0.05	
H <sub>2</sub>	%	0	0.20	0.31	0.35	0.44	0.53	0.71	0.92	2.05	3.50	>4.00	>4.00	>4.00	>4.00	>4.00	
CO <sub>2</sub>	%	0	1.92	2.90	7.60	15.80	33.50	39.50	36.50	35.00	33.50	30.50	29.50	29.00	28.00		
O <sub>2</sub>	%	21.0	20.2	19.2	14.6	10.0	3.6	0.8	0.7	0.5	0.5	0.4	0.4	0.4	0.4		
CH <sub>4</sub>	%	0	0	0	0	1.5	5.0	11.5	13.0	15.5	19.5	22.5	24.0	25.5	26.5		
Masa vrstog ostatka na kraju procesa pirolize	g															2.0	
Masa tečne faze na kraju procesa pirolize	g															2.5	
Prinos suvog piroliti kog gasa na kraju procesa pirolize	g															5.5	
Prose na brzinu zagrevanja u reaktoru	°C/min															20	

\* Vrednosti određene iz izraza  $m_{\text{gasa}} = m_0 - m$

## MERENJE BR. 4 - nastavak

\* Vrednosti određene iz izraza  $m_{\text{gasa}} = m_0 \cdot m$

## PRILOG 11. ISPITIVANJE 7 - nastavak

MERENJE BR: 5												DATUM MERENJA: 7.12.2012.											
UZORAK: MEŠAVINA DRVNE BIOMASE												VREME MERENJA: 19:17 – 19:57											
MASA PRAZNOG SUDA (g): 638				MASA PUNOG SUDA (g): 648								MASA SUDA SA KOKSOM (g): 640.1											
<i>Naziv veličine</i>																							
Masa uzorka	g															10							
Temperatura u reaktoru	°C	15	50	100	150	200	250	300	350	400	450	500	550	600	650								
Vreme odvijanja procesa pirolize	min	0	7.37	9.03	11.25	12.80	14.80	16.88	19.12	20.20	21.17	22.02	23.05	24.53	26.13								
Promena mase uzorka ( vrstog ostatka)	g	10.0	10.0	10.0	9.6	9.1	7.9	6.0	4.2	3.5	3.1	3.0	2.9	2.6	2.5								
Prinos pirolitičkog gaza*	g	0	0	0	0.4	0.9	1.1	4.0	5.8	6.5	6.9	7.0	7.1	7.4	7.5								
Zapreminske udjeli pirolitičkih gasova u reaktoru	CO	%	0	0.0362	0.05	0.05	0.05	0.05	0.05	0.05	0.05	0.05	0.05	0.05	0.05	0.05							
	H <sub>2</sub>	%	0	0.28	0.34	0.42	0.63	0.92	1.11	1.41	2.10	2.87	>4.00	>4.00	>4.00	>4.00							
	CO <sub>2</sub>	%	0	1.22	2.82	8.60	15.20	33.00	41.50	40.00	38.50	35.00	29.50	28.50	28.00	27.50							
	O <sub>2</sub>	%	21.0	20.6	19.4	15.2	11.0	4.0	0.9	0.8	0.5	0.5	0.5	0.5	0.5	0.5							
	CH <sub>4</sub>	%	0	0	0.5	0.5	2.0	5.5	11.0	12.5	16.0	17.5	19.5	21.5	23.5	25.0							
Masa vrstog ostatka na kraju procesa pirolize	g	2.1																					
Masa tečne faze na kraju procesa pirolize	g	2.5																					
Masa suvog pirolitičkog gaza na kraju procesa pirolize	g	5.4																					
Prosečna brzina zagrevanja u reaktoru	°C/min	21																					

\* Vrednosti određene iz izraza  $m_{\text{gasa}} = m_0 - m$

## MERENJE BR. 5 - nastavak

\* Vrednosti određene iz izraza  $m_{\text{gasa}} = m_0 - m$

## PRILOG 12. PIROLIZA MEŠAVINE DRVNE BIOMASE PRI BRZINI ZAGREVANJA OD 32 ° C/min

MERENJE BR: 1												DATUM MERENJA: 19.11.2013.													
UZORAK: MEŠAVINA DRVNE BIOMASE												VREME MERENJA: 11:27 - 11:57													
MASA PRAZNOG SUDA (g): 638						MASA PUNOG SUDA (g): 648						MASA SUDA SA KOKSOM (g): 640.3													
Naziv veličine	Jedinica																								
Masa uzorka	g																								
Temperatura u reaktoru	°C	19.4	50	100	150	200	250	300	350	400	450	500	550	600	650										
Vreme odvijanja procesa pirolize	min	0	6.35	7.40	8.33	9.18	9.95	10.66	11.35	12.03	12.73	13.92	15.67	17.6	19.97										
Promena mase uzorka (vrstog ostatka)	g	10	10	9.8	9.4	8.8	8.3	7.0	5.8	4.3	3.2	3.0	2.7	2.5	2.4										
Prinos piroliti kog gasa*	g	0	0	0.2	0.6	1.2	1.7	3.0	4.2	5.7	6.8	7.0	7.3	7.5	7.6										
Masa vrstog ostatka na kraju procesa pirolize	g																								
Masa tečne faze na kraju procesa pirolize	g																								
Masa suvog piroliti kog gasa na kraju procesa pirolize*	g																								
Prose na brzina zagrevanja u reaktoru	°C/min																								

\* Vrednosti određene iz izraza  $m_{\text{gasa}} = m_0 - m$

Naziv veličine	Jedinica																							
Masa uzorka	g																							
Vreme odvijanja procesa pirolize	min	0	1	2	3	4	5	6	7	8	9	10	11	12	13	14	15	16	17	18	19	20	21	22
Promena mase uzorka (vrstog ostatka)	g	10	10	10	10	10	10	9.9	9.8	9.0	8.3	6.3	4.3	3.1	3.0	2.9	2.6	2.5	2.4	2.4	2.4	2.4	2.3	2.3
Prinos piroliti kog gasa*	g	0	0	0	0	1	1	0.1	0.3	0.6	1.1	2.0	4.0	5.9	6.8	6.1	7.3	7.5	7.6	7.6	7.6	7.7	7.7	7.7

\* Vrednosti određene iz izraza  $m_{\text{gasa}} = m_0 - m$

PRILOG 12. - nastavak

\* Vrednosti određene iz izraza  $m_{\text{gasa}} = m_0 \cdot m$

<i>Naziv veli ina</i>	<i>Jedinica</i>																															
Masa uzorka	g	10																														
Vreme odvijanja procesa pirolize	min	0	1	2	3	4	5	6	7	8	9	10	11	12	13	14	15	16	17	18	19	20	21	22	23	24	25	26	27	28	29	30
Promena mase uzorka ( vrstog ostatka)	g	10	10	10	10	10	10	10	9.9	9.7	9.4	8.9	8.0	6.0	4.1	3.2	2.9	2.7	2.5	2.5	2.4	2.4	2.4	2.3	2.3	2.3	2.3	2.3	2.3	2.3	2.3	2.3
Prinos piroliti kog gasa*	g	0	0	0	0	1	1	1	0.1	0.3	0.6	1.1	2.0	4.0	5.9	6.8	6.1	7.3	7.5	7.5	7.6	7.6	7.6	7.7	7.7	7.7	7.7	7.7	7.7	7.7		

\* Vrednosti određene iz izraza  $m_{\text{gasa}} = m_0 - m$

## PRILOG 13. PIROLIZA MEŠAVINE DRVNE BIOMASE PRI BRZINI ZAGREVANJA OD 55 ° C/min

MERENJE BR: 1												DATUM MERENJA: 13.11.2013.												
UZORAK: MEŠAVINA DRVNE BIOMASE												VREME MERENJA: 12:18 - 12:48												
MASA PRAZNOG SUDA (g): 638						MASA PUNOG SUDA (g): 648						MASA SUDA SA KOKSOM (g): 639.5												
Naziv veličine	Jedinica																							
Masa uzorka	g																							
Temperatura u reaktoru	°C	20.3	50	100	150	200	250	300	350	400	450	500	550	600	650									
Vreme odvijanja procesa pirolize	min	0	3.58	4.57	5.18	5.72	6.17	6.62	7.07	7.55	8.10	8.75	9.52	10.35	11.33									
Promena mase uzorka (vrstog ostatka)	g	10	10	10	10	9.9	9.8	9.7	9.5	9.3	8.8	6.9	4.3	2.5	2.3									
Prinos piroliti kog gasa*	g	0	0	0	0	0.1	0.2	0.3	0.5	0.7	1.2	3.1	5.7	7.5	7.7									
Masa vrstog ostatka na kraju procesa pirolize	g																							
Masa tečne faze na kraju procesa pirolize	g																							
Masa suvog piroliti kog gasa na kraju procesa pirolize*	g																							
Prose na brzina zagrevanja u reaktoru	°C/min																							

\* Vrednosti određene iz izraza  $m_{\text{gasa}} = m_0 - m$

Naziv veličine	Jedinica																							
Masa uzorka	g																							
Vreme odvijanja procesa pirolize	min	0	1	2	3	4	5	6	7	8	9	10	11	12	13	14	15	16	17	18	19	20	21	
Promena mase uzorka (vrstog ostatka)	g	10	10	10	10	10	10	9.9	9.5	9.0	6.0	3.0	2.4	2.0	1.8	1.6	1.5	1.5	1.5	1.5	1.5	1.5	1.5	
Prinos piroliti kog gasa*	g	0	0	0	0	0	0	0.5	1.0	4.0	7.0	7.6	8.0	8.2	8.4	8.5	8.5	8.5	8.5	8.5	8.5	8.5	8.5	

\* Vrednosti određene iz izraza  $m_{\text{gasa}} = m_0 - m$

## PRILOG 13. - nastavak

\* Vrednosti određene iz izraza  $m_{\text{gasa}} = m_0 \cdot m$

\* Vrednosti određene iz izraza  $m_{\text{gasa}} = m_0 \cdot m$